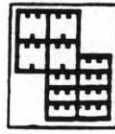




Instituto Tecnológico  
GeoMinero de España



**Región de Murcia**

Consejería de Política Territorial  
y Obras Públicas

**MAPA NEOTECTONICO,  
SISMOTECTONICO  
Y DE ACTIVIDAD DE FALLAS  
DE LA REGION DE MURCIA**  
(Escala 1:200.000 y 1:100.000)

**ANEXO V:  
FICHERO DE FALLAS  
(Volumen I)**

Mayo, 1991

## FICHA DE FALLA

Nº 1 DENOMINACION SITUACION  
SISTEMA \_\_\_\_\_ ZONA BETICA  
FALLA LORCA - ALHAMA DE MURCIA DOMINIO \_\_\_\_\_  
SECTOR \_\_\_\_\_ CUENCA \_\_\_\_\_  
Fecha: 28-9-90 Autor: C. Sanz de Galdeano

Para las fallas bien visibles en superficie:

### GEOMETRIA

LONGITUD 80 km.  
 RUMBO N30-45°E  
 BUZAMIENTO 90°-60°S.

### ANALISIS TECTO/NEO/EVOLUTIVO

Sobre la misma estructura

En estructuras menores asociadas

EDAD DE LOS MATERIALES AFECTADOS	TIPIFICACION				REGIMEN TECTONICO		ESFUERZOS	SALTOS	
	NORMAL	DESGARRE		INVERSA	COMPRESION	DISTENSION	DIRECCION DE $\sigma_1, 0 \sigma_3$ EN LA HORIZONTAL	EN	EN
		MIXTA	L					D	MIXTA
PRE-TORT.									
TORT-IEF.									
TORT-SUP.			X		X		$\sigma_1 \sim N-S$		
MESSIN.			X		X		"		
PLIOCENO	X					X	$\sigma_3 \sim E-W$		
PLIO-CUAT.	X				X	X X	según		
CUATERNARIO	X	X				X			

#### ASPECTO Y NATURALEZA DE LOS MAT. AFECTADOS

- Alpujarride, Neogeno medio y superior, y Cuaternario

#### EL RELLENO

-Relación con las estructuras mayores o con otras fallas importantes:

Quizás, creo que sí, se continúe por la falla de Espinoreto - Oniluela (3). Esta es una de las fallas fundamentales. De alguna manera este fuego es el mismo del de la falla del W. de Almenara que pasa a ser la de Palmares.

Analisis realizado por:

idem



Para todas las fallas

TECTO-SEDIMENTACION

FALLA DETECTADA POR ESTE METODO	SI	<input checked="" type="checkbox"/>	RUMBO PROB.		BUZ. PROB.	
	NO	<input type="checkbox"/>	LONG. PROB.		TIPO PROB.	

Breve descripción de la influencia en las características de la sedimentación y edad de los materiales  
*Mucha influencia, sobre todo en la cantidad de depósitos detríticos (fan deltas, abanicos aluviales... etc.)*

GEOMORFOLOGIA

FALLA DETECTADA POR ESTE METODO	<i>En parte</i>	<input type="checkbox"/>	RUMBO PROB.		BUZ. PROB.	
SE OBSERVA COMO LINEAMIENTO?	<i>si</i>	<input type="checkbox"/>	LONG. PROB.		TIPO PROB.	

ANOMALIAS GEOMORFOLOGICAS LIGADAS Y/O PROB. LIGADAS

EN EL RELIEVE O LADERAS

Escarpe de fallas	<input checked="" type="checkbox"/>
Caras afacetadas	<input checked="" type="checkbox"/>
Basculamientos	<input type="checkbox"/>
Encajamientos	<input type="checkbox"/>
Solapes	<input type="checkbox"/>

EN LA RED HIDROG.

Valles colgados	<input type="checkbox"/>
Capturas	<input type="checkbox"/>
Encajamientos	<input type="checkbox"/>
Inflexiones	<input checked="" type="checkbox"/>
Difluencias	<input type="checkbox"/>
Cambios bruscos en el perfil	<input checked="" type="checkbox"/>

OTROS

*Hay muchos rasgos*

GEOFISICA

FALLA DETECTADA POR ESTE METODO		RUMBO PROB.	<i>NE</i>	BUZ. PROB.	
		LONG. PROB.		TIPO PROB.	

Por el metodo	Electrico	<input checked="" type="checkbox"/>
	Sismico	<input checked="" type="checkbox"/>
	Gravimetrico	<input checked="" type="checkbox"/>

Profundidad de la estructura	
Edad mat. a los que afecta	

**GEOTERMISMO/VOLCANISMO ASOCIADO**

Volcanismo	Quimismo o clase _____ Geotermismo	Manantiales	<input checked="" type="checkbox"/>	Temperatura	40°
	Edad absoluta _____	Sondeo	<input type="checkbox"/>	Profundidad	

**SISMICIDAD ASOCIADA**

HISTORICA

NO SISMOS numerosos CORRELACION B

INTENS. MAY. IX P

ISOSISTAS si M

Relación con la estructura:

INSTRUMENTAL

NO SISMOS numerosos MAGNITUDES MAX. 4.2

PROFUNDIDADES MEDIAS 9 km REPLICAS si

RUMBO DE LAS MISMAS plano viciando al NW 45°

ERROR EPICENTRO 1-13 km ERROR PROF. 1-18 km.

CORRELACION CON LA FALLA B

<input checked="" type="checkbox"/>	B (Buena)
<input type="checkbox"/>	P (Probable)
<input type="checkbox"/>	M (Mala)

CLASE DE ACTIVIDAD

- APECTA AL CUATERNARIO
- APECTA A LA MORFOLOGIA
- ASOCIADA A SISMICIDAD
- GEOTERMISMO

SI	NO	?	CLASIFICACION SEGUN TABLA I
<input checked="" type="checkbox"/>	<input type="checkbox"/>	<input type="checkbox"/>	<b>A-I</b>
<input checked="" type="checkbox"/>	<input type="checkbox"/>	<input type="checkbox"/>	
<input checked="" type="checkbox"/>	<input type="checkbox"/>	<input type="checkbox"/>	
<input checked="" type="checkbox"/>	<input type="checkbox"/>	<input type="checkbox"/>	

### FICHA DE FALLA

Nº 2 DENOMINACION SISTEMA *LORCA-ALHAMA* SITUACION ZONA *BETICA*  
 FALLA *DEL S. de la SIERRA TERCIA* DOMINIO *ALPUJARRIDE*  
 SECTOR *N.E. de LORCA* CUENCA \_\_\_\_\_  
 Fecha: *28-9-90* Autor: *C. Sanz de Galdeano*

Para las fallas bien visibles en superficie:

GEOMETRIA

LONGITUD  $\approx$  15 km.  
 RUMBO  $\approx$  N50°-55°E  
 BUZAMIENTO 90° a 70°S

ANALISIS TECTO/NEO/EVOLUTIVO

Sobre la misma estructura

En estructuras menores asociadas

EDAD DE LOS MATERIALES AFECTADOS	TIPIFICACION				REGIMEN TECTONICO		ESFUERZOS	SALTOS	
	NORMAL	DESGARRE		INVERSA	COMPRESION	DISTENSION	DIRECCION DE $\sigma_1$ O $\sigma_3$ EN LA HORIZONTAL	EN	EN
	MIXTA	L	D	MIXTA				HORIZ.	VERT.
PRE-TORT.									
TORT-IMP.									
TORT-SUP.									
MESSIN.							$\sigma_1 \sim N20^\circ E$		
PLIOCENO									
PLIO-CUAT.									
CUATERNARIO	<input checked="" type="checkbox"/>					<input checked="" type="checkbox"/>	$\sigma_3 \sim N110^\circ E$		>200 m.

ASPECTO Y NATURALEZA DE LOS MAT. AFECTADOS

*Del Alpujarride al Mioc. medio-sup. y Cuaternario*

EL RELLENO

-Relación con las estructuras mayores o con otras fallas importantes:  
*Paralela a la falla Lorca-Alhama (1), la cual en realidad presenta otras muchas fallas paralelas*

Analisis realizado por:  
*idem*

Para todas las fallas

TECTO-SEDIMENTACION

FALLA DETECTADA POR ESTE METODO	SI		RUMBO PROB.		BUZ. PROB.	
	NO		LONG. PROB.		TIPO PROB.	

Breve descripción de la influencia en las características de la sedimentación y edad de los materiales

GEOMORFOLOGIA

FALLA DETECTADA POR ESTE METODO	<i>en parte</i>		RUMBO PROB.		BUZ. PROB.	
SE OBSERVA COMO LINEAMIENTO?	X		LONG. PROB.		TIPO PROB.	

ANOMALIAS GEOMORFOLOGICAS LIGADAS Y/O PROB. LIGADAS

EN EL RELIEVE O LADERAS

EN LA RED HIDROG.

OTROS

Escarpe de fallas	X	Valles colgados	
Caras afacetadas	X	Capturas	
Basculamientos	X	Encajamientos	
Encajamientos		Inflexiones	
Solapes		Difluencias	
		Cambios bruscos en el perfil	X

GEOFISICA

FALLA DETECTADA POR ESTE METODO		RUMBO PROB.		BUZ. PROB.	
		LONG. PROB.		TIPO PROB.	

Por el metodo	Electrico	X	Profundidad de la estructura	
	Sismico		Edad mat. a los que afecta	
	Gravimetrico			

GEOTERMISMO/VOLCANISMO ASOCIADO

Volcanismo	Quimismo o clase _____ Edad absoluta _____	Geotermismo	Manantiales <input type="text"/> Sondeo <input type="text"/>	Temperatura <input type="text"/>	Profundidad <input type="text"/>
------------	---	-------------	---	----------------------------------	----------------------------------

SISMICIDAD ASOCIADA

HISTORICA

Nº SISMOS 9

INTENS. MAX. VIII

ISOSISTAS \_\_\_\_\_

Relación con la estructura:

INSTRUMENTAL

CORRELACION B	4	Nº SISMOS	3.6	MAGNITUDES MAX.
P	5 km.	PROFUNDIDADES MEDIAS		REPLICAS
M	3-16	RUMBO DE LAS MISMAS	2-16	ERROR PROF.
		ERROR EPICENTRO		

CORRELACION CON LA FALLA B

X	B (Buena)
P	P (Probable)
M	M (Mala)

CLASE DE ACTIVIDAD

- APECTA AL CUATERNARIO
- APECTA A LA MORFOLOGIA
- ASOCIADA A SISMICIDAD
- GEOTERMISMO

	SI	NO	?	CLASIFICACION SEGUN TABLA I
APECTA AL CUATERNARIO	X			A-II
APECTA A LA MORFOLOGIA	X			
ASOCIADA A SISMICIDAD	X			
GEOTERMISMO	X			

**FICHA DE FALLA**

Nº 3 DENOMINACION SITUACION  
 SISTEMA BASO SEGURA ZONA BETICA  
 FALLA ESPINARDO-ORIHUELA DOMINIO ALPUJARRIDE  
 SECTOR F. MURCIA CUENCA MURCIA  
 Fecha: 27-9-90 Autor: C. Saiz de Galdano  
 Para las fallas bien visibles en superficie: y. L.H. Barranco

GEOMETRIA

LONGITUD  
RUMBO  
BUZAMIENTO

ANALISIS TECTO/NEO/EVOLUTIVO

Sobre la misma estructura       En estructuras menores asociadas

EDAD DE LOS MATERIALES AFECTADOS	TIPIFICACION				REGIMEN TECTONICO		ESFUERZOS	SALTOS	
	NORMAL	DESGARRE		INVERSA	COMPRESION	DISTENSION	DIRECCION DE $\sigma_1, 0 \sigma_3$ EN LA HORIZONTAL	EN	EN
	MIXTA	L	D	MIXTA				HORIZ.	VERT.
PRE-TORT.									
TORT-IMP.									
TORT-SUP.									
MESSIN.									
EOCENO									
PLIO-CUAT.									
CUATERNARIO									

ASPECTO Y NATURALEZA DE LOS MAT. AFECTADOS

EL RELLENO

-Relación con las estructuras mayores o con otras fallas importantes:

Analisis realizado por:

Para todas las fallas

TECTO-SEDIMENTACION

FALLA DETECTADA POR ESTE METODO	SI	
	NO	

RUMBO PROB.		BUZ. PROB.	
LONG. PROB.		TIPO PROB.	

Breve descripción de la influencia en las características de la sedimentación y edad de los materiales

GEOMORFOLOGIA

FALLA DETECTADA POR ESTE METODO	si
SE OBSERVA COMO LINEAMIENTO?	

RUMBO PROB.		BUZ. PROB.	
LONG. PROB.	>25 km	TIPO PROB.	Desgarre sinistral y normal

ANOMALIAS GEOMORFOLOGICAS LIGADAS Y/O PROB. LIGADAS

EN EL RELIEVE O LADERAS

Escarpe de fallas	
Caras afacetadas	
Basculamientos	
Encajamientos	X
Solapes	

EN LA RED HIDROG.

Valles colgados	
Capturas	
Encajamientos	
Inflexiones	
Difluencias	
Cambios bruscos en el perfil	

OTROS

Valle alineado. Corte en los relieves alpujarrados. Probable continuación de la falla de Lora - Alhama... (1)

GEOFISICA

FALLA DETECTADA POR ESTE METODO	en parte
---------------------------------	----------

RUMBO PROB.	ENE	BUZ. PROB.	
LONG. PROB.	>5 km	TIPO PROB.	Normal

Por el metodo	Electrico	X
	Sismico	
	Gravimetrico	

Profundidad de la estructura	400 m.
Edad mat. a los que afecta	Parece que el Mesozoico afecta y quizás parte del Cuaternario.

GEOTERMISMO/VOLCANISMO ASOCIADO

Volcanismo	Quimismo o clase.....	Geotermismo	Manantiales	Temperatura
	Edad absoluta.....		Sondeo	Profundidad

SISMICIDAD ASOCIADA

HISTORICA

Nº SISMOS numerosos CORRELACION B   
 INTENS. MAX. IX-X? aqui VII P   
 ISOSISTAS en algunas casas. M   
 Relación con la estructura:  
Alineación de sismo.  
Isosistas paralelas

INSTRUMENTAL


Nº SISMOS 1 MAGNITUDES MAX. 2.7  
 PROFUNDIDADES MEDIAS 3? REPLICAS \_\_\_\_\_  
 RUMBO DE LAS MISMAS \_\_\_\_\_  
 ERROR EPICENTRO 1 ERROR PROF. 3

CORRELACION CON LA FALLA B

B	<input type="checkbox"/>	B (Buena)
P	<input checked="" type="checkbox"/>	P (Probable)
M	<input checked="" type="checkbox"/>	M (Mala)

CLASE DE ACTIVIDAD

APECTA AL CUATERNARIO  
 APECTA A LA MORFOLOGIA  
 ASOCIADA A SISMICIDAD  
 GEOTERMISMO

SI	NO	?	CLASIFICACION SEGUN TABLA I
		<input checked="" type="checkbox"/>	
<input checked="" type="checkbox"/>			
<input checked="" type="checkbox"/>			
	<input checked="" type="checkbox"/>		



**FICHA DE FALLA**

Nº 4 DENOMINACION SISTEMA DEL GUADALENTIN SITUACION ZONA BETICA  
 FALLA del W. de la SIERRA DE EN MEDIO DOMINIO ALPUZARRIDE  
 SECTOR Ser de Puerto Lumbreros CUENCA HUERCAL OJERA - PULPI  
 Fecha: 28-9-90 Autor: C. Sanz de Galdos  
 Para las fallas bien visibles en superficie: y L. M. Barranco

GEOMETRIA

LONGITUD  
RUMBO  
BUZAMIENTO

ANALISIS TECTO/NEO/EVOLUTIVO

Sobre la misma estructura       En estructuras menores asociadas

EDAD DE LOS MATERIALES AFECTADOS	TIPIFICACION				REGIMEN TECTONICO		ESFUERZOS	SALTOS	
	NORMAL	DESGARRE		INVERSA	COMPRESION	DISTENSION	DIRECCION DE $\sigma_1$ O $\sigma_3$ EN LA HORIZONTAL	EN	EN
	MIXTA	L	D	MIXTA				HORIZ.	VERT.
PRE-TORT.									
TORT-IMP.									
TORT-SUP.									
MESSIN.									
PLIOCENO									
PLIO-CUAT.									
CUATERNARIO									

ASPECTO Y NATURALEZA DE LOS MAT. AFECTADOS

Alp. - ?

EL RELLENO

-Relación con las estructuras mayores o con otras fallas importantes:

Paralela a la falla Lorca - Albama de Murcia (1)

Analisis realizado por:

idem

Para todas las fallas

TECTO-SEDIMENTACION

FALLA DETECTADA POR ESTE METODO	SI	
	NO	

RUMBO PROB.		BUZ. PROB.	
LONG. PROB.		TIPO PROB.	

Breve descripción de la influencia en las características de la sedimentación y edad de los materiales

GEOMORFOLOGIA

FALLA DETECTADA POR ESTE METODO	Si
SE OBSERVA COMO LINEAMIENTO?	Si

RUMBO PROB.	N30-40°	BUZ. PROB.	90° a 60°W
LONG. PROB.	210 km	TIPO PROB.	Desgarre sinistral y normal

ANOMALIAS GEOMORFOLOGICAS LIGADAS Y/O PROB. LIGADAS

EN EL RELIEVE O LADERAS

- Escarpe de fallas
- Caras afacetadas
- Basculamientos
- Encajamientos
- Solapes


EN LA RED HIDROG.

- Valles colgados
- Capturas
- Encajamientos
- Inflexiones
- Difluencias
- Cambios bruscos en el perfil


OTROS

Cambio de relieve de la S<sup>a</sup> de Enmedio a la cuenca de Huércal-Overa. Cambio bastante regular.

GEOFISICA

FALLA DETECTADA POR ESTE METODO	Si
---------------------------------	----

RUMBO PROB.	NE	BUZ. PROB.	
LONG. PROB.	20 km.	TIPO PROB.	

Por el metodo	Electrico	<input checked="" type="checkbox"/>
	Sismico	<input type="checkbox"/>
	Gravimetrico	<input checked="" type="checkbox"/>

Profundidad de la estructura	> 400 m.
Edad mat. a los que afecta	Pliocenozoico

GEOTERMISMO/VOLCANISMO ASOCIADO

Volcanismo	Quimismo o clase _____ Geotermismo	Manantiales		Temperatura	
	Edad absoluta _____	Sondeo		Profundidad	

SISMICIDAD ASOCIADA

HISTORICA

No SISMOS \_\_\_\_\_

INTENS. MAX. \_\_\_\_\_

CONSISTAS \_\_\_\_\_

Relación con la estructura:

INSTRUMENTAL

	CORRELACION		NOSISMOS	1 ?	MAGNITUDES MAX.	4.3
			PROPUNDADES MEDIAS	5	REPLICAS	
			RUMBO DE LAS MISMAS			
			ERROR EPICENTRO	7	ERROR PROF.	9

CORRELACION CON LA FALLA B

		B (Buena)
		P (Probable)
		M (Mala)
	M ×	

CLASE DE ACTIVIDAD

- APECTA AL CUATERNARIO
- APECTA A LA MORFOLOGIA
- ASOCIADA A SISMICIDAD
- GEOTERMISMO

	SI	NO	?	CLASIFICACION SEGUN TABLA I
APECTA AL CUATERNARIO		×		<div style="border: 1px solid black; padding: 10px; width: fit-content; margin: 0 auto;"> <span style="font-size: 2em;">D-1</span> </div>
APECTA A LA MORFOLOGIA	×			
ASOCIADA A SISMICIDAD			×	
GEOTERMISMO				

**FICHA DE FALLA**

Nº 5 DENOMINACION SISTEMA DEL GUADALENTIN  
 FALLA SE. de la S<sup>o</sup> de ENMEDIO  
 SECTOR S<sup>o</sup> de Enmedio  
 Fecha: 24-9-90

SITUACION ZONA BETICA  
 DOMINIO ALPUJARRIDE  
 CUENCA PULPI  
 Autor: C. Saiz de Galdeano

Para las fallas bien visibles en superficie:

GEOMETRIA

LONGITUD 13 km.  
 RUMBO N 35-40° E  
 BUZAMIENTO Vertical ? al E. ?

ANALISIS TECTO/NEO/EVOLUTIVO

Sobre la misma estructura       En estructuras menores asociadas

EDAD DE LOS MATERIALES AFECTADOS	TIPIFICACION				REGIMEN TECTONICO		ESFUERZOS	SALTOS	
	NORMAL	DESGARRE		INVERSA	COMPRESION	DISTENSION	DIRECCION DE $\sigma_1$ , $0$ $\sigma_3$ EN LA HORIZONTAL	EN	EN
	MIXTA	L	D	MIXTA				HORIZ.	VERT.
PRE-TORT.									
TORT-INF.									
TORT-SUP.	?					$\sigma_3$ 2 E-W?			
MESSIN.									
PLIOCENO									
PLIO-CUAT.									
CUATERNARIO									

Total > 400 m.

ASPECTO Y NATURALEZA DE LOS MAT. AFECTADOS

Alpujarride y Messiniense? (margas y arenizas)

EL RELLENO

Plioceno y Cuaternario en el borde E.

-Relación con las estructuras mayores o con otras fallas importantes:

Del mismo juego de la falla de Pulpi-Pozo de la Higuera (7), pero conjugada en los movimientos verticales.

Analisis realizado por:

idem.

Para todas las fallas

TECTO-SEDIMENTACION

FALLA DETECTADA POR ESTE METODO	SI	
	NO	X

RUMBO PROB.		BUZ. PROB.	
LONG. PROB.		TIPO PROB.	

Breve descripción de la influencia en las características de la sedimentación y edad de los materiales

*No es observable.*

GEOMORFOLOGIA

FALLA DETECTADA POR ESTE METODO	si
SE OBSERVA COMO LINEAMIENTO?	si

RUMBO PROB.		BUZ. PROB.	
LONG. PROB.		TIPO PROB.	

ANOMALIAS GEOMORFOLOGICAS LIGADAS Y/O PROB. LIGADAS

EN EL RELIEVE O LADERAS

EN LA RED HIDROG.

OTROS

Escarpe de fallas	X
Caras afacetadas	
Basculamientos	
Encajamientos	
Solapes	

Valles colgados	
Capturas	
Encajamientos	
Inflexiones	
Difluencias	
Cambios bruscos en el perfil	

GEOFISICA

FALLA DETECTADA POR ESTE METODO	si
---------------------------------	----

RUMBO PROB.	NE.	BUZ. PROB.	
LONG. PROB.		TIPO PROB.	

Por el metodo	Electrico	X
	Sismico	
	Gravimetrico	

Profundidad de la estructura	
Edad mat. a los que afecta	PLIOCUATERNARIO

**GOTERMISMO/VOLCANISMO ASOCIADO**

Volcanismo	Quimismo o clase _____ Geotermismo	Manantiales	<input style="width: 100%; height: 15px;" type="text"/>	Temperatura	<input style="width: 100%; height: 15px;" type="text"/>
	Edad absoluta _____	Sondeo	<input style="width: 100%; height: 15px;" type="text"/>	Profundidad	<input style="width: 100%; height: 15px;" type="text"/>

**SISMICIDAD ASOCIADA**

HISTORICA

No SISMOS \_\_\_\_\_  
 INTENS. MAX. \_\_\_\_\_  
 ISOSISTAS \_\_\_\_\_  
 Relación con la estructura:

INSTRUMENTAL

	CORRELACION	B	<input style="width: 100%; height: 15px;" type="text"/>	NOSISMOS _____	MAGNITUDES MAX. _____
		P	<input style="width: 100%; height: 15px;" type="text"/>	PROPUNDADES MEDIAS _____	REPLICAS _____
		M	<input style="width: 100%; height: 15px;" type="text"/>	RUMBO DE LAS MISMAS _____	ERROR PROF. _____
				ERROR EPICENTRO _____	

CORRELACION CON LA FALLA B

<input style="width: 100%; height: 15px;" type="text"/>	B	(Buena)
<input style="width: 100%; height: 15px;" type="text"/>	P	(Probable)
<input style="width: 100%; height: 15px;" type="text"/>	M	(Mala)

CLASE DE ACTIVIDAD

- Afecta al Cuaternario
- Afecta a la morfología
- Asociada a sismicidad
- Geotermismo

	SI	NO	?	CLASIFICACION SEGUN TABLA I
Afecta al Cuaternario		×		<div style="border: 1px solid black; padding: 5px; width: fit-content; margin: auto;">                     D-1                 </div>
Afecta a la morfología	×			
Asociada a sismicidad			×	
Geotermismo		×		

### FICHA DE FALLA

Nº 6 DENOMINACION SISTEMA CARBONERAS-ALMENARA SITUACION ZONA BETICA  
 FALLA del Cabezo del Muro (DOTE) DOMINIO \_\_\_\_\_  
 SECTOR N. de Pozo de la Higuera CUENCA PULPI  
 Fecha: 24-9-90 Autor: C. Sanz de Galdiano  
 Para las fallas bien visibles en superficie: y P. Silva

**GEOMETRIA**

LONGITUD > 9 km.  
 RUMBO N15-30°E  
 BUZAMIENTO Vertical ? al E. ?

**ANALISIS TECTO/NEO/EVOLUTIVO**

Sobre la misma estructura       En estructuras menores asociadas

EDAD DE LOS MATERIALES AFECTADOS	TIPIFICACION				REGIMEN TECTONICO		ESFUERZOS	SALTOS	
	NORMAL	DESGARRE		INVERSA	COMPRESION	DISTENSION	DIRECCION DE $\sigma_1$ O $\sigma_3$ EN LA HORIZONTAL	EN	EN
		MIXTA	L					D	MIXTA
PRE-TORT.	X								
TORT-INF.									
TORT-SUP.									
MESSIN.	?						$\sigma_3$ ~ E-W ?		
PLIOCENO									
PLIO-CUAT.									
CUATERNARIO	X				X				

Total > 100 m.

**ASPECTO Y NATURALEZA DE LOS MAT. AFECTADOS**

Alp. - Nevado Filabr., Messiniense y Cuaternario

**EL RELLENO**

Plio-Cuaternario

-Relación con las estructuras mayores o con otras fallas importantes:

Paralela y posiblemente conjugada en los movimientos verticales con la de Pulpi. Pozo de la Higuera (7)

Analisis realizado por:

idem.

Para todas las fallas

TECTO-SEDIMENTACION

FALLA DETECTADA POR ESTE METODO	SI		RUMBO PROB.		BUZ. PROB.	
	NO	X	LONG. PROB.		TIPO PROB.	

Breve descripción de la influencia en las características de la sedimentación y edad de los materiales  
*Debió de tener igual influencia que la falla de Pulpi - Pozo de la Higuera, pero no es observable*

GEOMORFOLOGIA

FALLA DETECTADA POR ESTE METODO	si	RUMBO PROB.	N 21° E	BUZ. PROB.	< 45° SE
SE OBSERVA COMO LINEAMIENTO?	si	LONG. PROB.	7.9 km.	TIPO PROB.	normal -sinistral

ANOMALIAS GEOMORFOLOGICAS LIGADAS Y/O PROB. LIGADAS

EN EL RELIEVE O LADERAS

Escarpe de fallas	X
Caras afacetadas	
Basculamientos	X
Encajamientos	
Solapes	

EN LA RED HIDROG.

Valles colgados	
Capturas	
Encajamientos	
Inflexiones	
Difluencias	
Cambios bruscos en el perfil	

OTROS


GEOFISICA

FALLA DETECTADA POR ESTE METODO	si	RUMBO PROB.	NNE	BUZ. PROB.	
		LONG. PROB.		TIPO PROB.	

Por el metodo	Electrico	X
	Sismico	
	Gravimetrico	X

Profundidad de la estructura	600 m.
Edad mat. a los que afecta	Mioceno Sup. - Pliocuaternario



GEOTERMISMO/VOLCANISMO ASOCIADO

Volcanismo	Quimismo o clase	Geotermismo	Manantiales	Temperatura
	Edad absoluta		Sondeo	Profundidad

SISMICIDAD ASOCIADA

HISTORICA

Nº SISMOS \_\_\_\_\_  
 INTENS. MAX. \_\_\_\_\_  
 ISOSISTAS \_\_\_\_\_  
 Relación con la estructura:

INSTRUMENTAL


CORRELACION B P M	Nº SISMOS _____	MAGNITUDES MAX. _____
	PROFUNDIDADES MEDIAS _____	REPLICAS _____
	RUMBO DE LAS MISMAS _____	
	ERROR EPICENTRO _____	ERROR PROF. _____

CORRELACION CON LA FALLA B

B	B (Buena)
P	P (Probable)
M	M (Mala)

CLASE DE ACTIVIDAD

APECTA AL CUATERNARIO  
 APECTA A LA MORFOLOGIA  
 ASOCIADA A SISMICIDAD  
 GEOTERMISMO

SI	NO	?	CLASIFICACION SEGUN TABLA I
×			
×			
		×	
	×		

**FICHA DE FALLA**

**Nº 7 DENOMINACION** SISTEMA CARBONERAS-ALMENARA **SITUACION** ZONA BETICA  
 FALLA PULPI-POZO de la HIGUERA DOMINIO NEVADO-FILABRIDE  
 SECTOR W. de Sr. Almagro CUENCA PULPI  
 Fecha: 24-9-90 Autor: C. Sanz de Galdeano  
 Para las fallas bien visibles en superficie: y P. Silva

**GEOMETRIA**

LONGITUD 18 km en este sector, pero es una zona de fallas que continua por Vera-Palomares a Mojucar y Carboneras (Ala  
 RUMBO N10°-15°E  
 BUZAMIENTO De vertical a buzar fuerte al W.

**ANALISIS TECTO/NEO/EVOLUTIVO**

Sobre la misma estructura       En estructuras menores asociadas

EDAD DE LOS MATERIALES AFECTADOS	TIPIFICACION				REGIMEN TECTONICO		ESFUERZOS	SALTOS	
	NORMAL	DESGARRE		INVERSA	COMPRESION	DISTENSION	DIRECCION DE $\sigma_1, \sigma_2, \sigma_3$ EN LA HORIZONTAL	EN	EN
	MIXTA	L	D	MIXTA				HORIZ.	VERT.
PRE-TORT.									
TORT-INF.									
TORT-SUP.	x →				x		$\sigma_1 \sim$ NNW		
MESSIN.	x →				x		$\sigma_1 \sim$ NNW		
PLIOCENO	x ?					x ?	$\sigma_3 \sim$ E-W		
PLIO-CUAT.									
CUATERNARIO		x			x		$\sigma_1 \sim$ NNW		

en Almería la deformación      Total 30-40 > 0.5 Km. km.

**ASPECTO Y NATURALEZA DE LOS MAT. AFECTADOS**

En el borde E: Alpuj - Nevado - Filabride  
 " " " W: Tort. y Messinense margoso o areniscoso

**EL RELLENO**

Brechas

-Relación con las estructuras mayores o con otras fallas importantes:

Forma parte de la zona de falla de Palomares.  
 Prácticamente paralela a la falla Lorca-Almería (1)

Analisis realizado por:

C. Sanz de Galdeano.

Para todas las fallas

TECTO-SEDIMENTACION

FALLA DETECTADA POR ESTE METODO	SI	
	NO	X

RUMBO PROB.		BUZ. PROB.	
LONG. PROB.		TIPO PROB.	

Breve descripción de la influencia en las características de la sedimentación y edad de los materiales  
*determina la aparición de brechas en el Tortoniano sup. - Messiniense.*  
*influye en la litología del Pleocenario*

GEOMORFOLOGIA

FALLA DETECTADA POR ESTE METODO	X
SE OBSERVA COMO LINEAMIENTO?	X

RUMBO PROB.	N14°E	BUZ. PROB.	> 45°SE
LONG. PROB.	10 Km.	TIPO PROB.	inversa

ANOMALIAS GEOMORFOLOGICAS LIGADAS Y/O PROB. LIGADAS

EN EL RELIEVE O LADERAS

Escarpe de fallas	X
Caras afacetadas	X
Basculamientos	
Encajamientos	
Solapes	X

EN LA RED HIDROG.

Valles colgados	
Capturas	X
Encajamientos	
Inflexiones	
Difluencias	
Cambios bruscos en el perfil	

OTROS

*Frento montañoso rectilíneo*

GEOFISICA

FALLA DETECTADA POR ESTE METODO	X
---------------------------------	---

RUMBO PROB.	NNE	BUZ. PROB.	
LONG. PROB.		TIPO PROB.	

Por el metodo	Electrico	
	Sismico	
	Gravimetrico	X

Profundidad de la estructura	
Edad mat. a los que afecta	

**GEOTERMISMO/VOLCANISMO ASOCIADO**

Volcanismo | Quimismo o clase \_\_\_\_\_ Geotermismo | Manantiales  Temperatura \_\_\_\_\_ *en Almería*

Edad absoluta 8 a 4 m.a. | Sondeo  Profundidad \_\_\_\_\_

**SISMICIDAD ASOCIADA**

HISTORICA

Nº SISMOS \_\_\_\_\_ CORRELACION B

INTENS. MAX. 10 (en Vera, Alm.) P

ISOSISTAS \_\_\_\_\_ M

Relación con la estructura:

INSTRUMENTAL

Nº SISMOS \_\_\_\_\_ MAGNITUDES MAX. \_\_\_\_\_

PROFUNDIDADES MEDIAS \_\_\_\_\_ REPLICAS \_\_\_\_\_

RUMBO DE LAS MISMAS \_\_\_\_\_

ERROR EPICENTRO \_\_\_\_\_ ERROR PROF. \_\_\_\_\_

CORRELACION CON LA FALLA B

P

M

B (Buena)  
P (Probable)  
M (Mala)

CLASE DE ACTIVIDAD

- APECTA AL CUATERNARIO
- APECTA A LA MORFOLOGIA
- ASOCIADA A SISMICIDAD
- GEOTERMISMO

SI	NO	?	CLASIFICACION SEGUN TABLA I
		x	
x			18-1
x			
		x	

*si en Almería.*

### FICHA DE FALLA

Nº 8 DENOMINACION SISTEMA BAJO SEGURA SITUACION ZONA BETICA  
 FALLA Norte de Carrascol DOMINIO ALPUJARRIDE  
 SECTOR E. de Carrascol CUENCA MURCIA  
 Fecha: 27-9-90 Autor: C. Saiz de Galdano y P. Silva  
 Para las fallas bien visibles en superficie:

#### GEOMETRIA

LONGITUD > 19 km.  
 RUMBO ~ N45°30', hacia el W. NEC°E  
 BUZAMIENTO 90 a 60°N y 60°S

#### ANALISIS TECTO/NEO/EVOLUTIVO

Sobre la misma estructura       En estructuras menores asociadas

EDAD DE LOS MATERIALES AFECTADOS	TIPIFICACION				REGIMEN TECTONICO			ESFUERZOS	SALTOS	
	NORMAL	DESGARRE		INVERSA	COMPRESION	DISTENSION	DIRECCION DE $\sigma_1$ O $\sigma_2$ EN LA HORIZONTAL	EN HORIZ.	EN VERT.	
	MIXTA	L	D	MIXTA						
PRE-TORT.										
TORT-INF.										
TORT-SUP.							$\sigma_1 \sim N-S$			
MESSIN.	x	x	x		x	x	x	$\sigma_3 \sim E-W$	>300	
PLIOCENO										
PLIO-CUAT.										
CUATERNARIO	x?									

**ASPECTO Y NATURALEZA DE LOS MAT. AFECTADOS**

C. Alpujarride, Lughiesca-Serravalleusa, Tortoniese  
 ; localmente Messiniense y Cuaternario.

**EL RELLENO**

Abundantes abanicos cuaternarios en parte, afectados.

-Relación con las estructuras mayores o con otras fallas importantes:

Practicamente paralela a la falla Espinardo-Orihuela. (3)  
 Ambas forman la depresión de Murcia

Analisis realizado por:

C. Saiz de Galdano.

Para todas las fallas

TECTO-SEDIMENTACION

FALLA DETECTADA POR ESTE METODO	SI	RUMBO PROB.	BUZ. PROB.
	NO	LONG. PROB.	TIPO PROB.

Breve descripción de la influencia en las características de la sedimentación y edad de los materiales

GEOMORFOLOGIA

FALLA DETECTADA POR ESTE METODO	En parte	RUMBO PROB.	160°E	BUZ. PROB.	?
SE OBSERVA COMO LINEAMIENTO?	Si	LONG. PROB.	15 km	TIPO PROB.	

ANOMALIAS GEOMORFOLOGICAS LIGADAS Y/O PROB. LIGADAS

EN EL RELIEVE O LADERAS

EN LA RED HIDROG.

OTROS

Escarpe de fallas	x	Valles colgados	
Caras afacetadas	x	Capturas	
Basculamientos	x	Encajamientos	
Encajamientos	x	Inflexiones	
Solapes	x	Difluencias	
		Cambios bruscos en el perfil	

GEOFISICA

FALLA DETECTADA POR ESTE METODO	x	RUMBO PROB.	BUZ. PROB.
		LONG. PROB.	TIPO PROB.

Por el metodo	Electrico	x	Profundidad de la estructura	
	Sismico		Edad mat. a los que afecta	
	Gravimetrico			

**GEOTERMISMO/VOLCANISMO ASOCIADO**

Volcanismo	Quimismo o clase _____	Geotermismo	Manantiales	Temperatura	
	Edad absoluta _____		Sondeo	Profundidad	

**SISMICIDAD ASOCIADA**

HISTORICA

Nº SISMOS \_\_\_\_\_ 5 \_\_\_\_\_  
 INTENS. MAX. \_\_\_\_\_ V \_\_\_\_\_  
 ISOSISTAS \_\_\_\_\_  
 Relación con la estructura:

INSTRUMENTAL

CORRELACION B   
 P   
 M

Nº SISMOS \_\_\_\_\_ 1 \_\_\_\_\_ MAGNITUDES MAX. \_\_\_\_\_ 2.7 \_\_\_\_\_  
 PROFUNDIDADES MEDIAS \_\_\_\_\_ < 20 km \_\_\_\_\_ REPLICAS \_\_\_\_\_  
 RUMBO DE LAS MISMAS \_\_\_\_\_  
 ERROR EPICENTRO \_\_\_\_\_ > 10 km \_\_\_\_\_ ERROR PROF. \_\_\_\_\_ < 5 km \_\_\_\_\_

CORRELACION CON LA FALLA B

B	<input type="checkbox"/>	B (Buena)
P	<input checked="" type="checkbox"/>	P (Probable)
M	<input type="checkbox"/>	M (Mala)

CLASE DE ACTIVIDAD

APECTA AL CUATERNARIO  
 APECTA A LA MORFOLOGIA  
 ASOCIADA A SISMICIDAD  
 GEOTERMISMO

	SI	NO	?	CLASIFICACION SEGUN TABLA I
APECTA AL CUATERNARIO	X			A-II
APECTA A LA MORFOLOGIA	X			
ASOCIADA A SISMICIDAD	X			
GEOTERMISMO			X	

**FICHA DE FALLA**

Nº 9 DENOMINACION SITUACION  
 SISTEMA Carraascoy ZONA BETICA  
 FALLA N. del Puntarrin DOMINIO ALPUJARRIDE  
 SECTOR SE. de Murcia CUENCA S. de Carraascoy  
 Fecha: 27-9-90 Autor: C. Sanz de Galdeano

Para las fallas bien visibles en superficie:

**GEOMETRIA**

LONGITUD ~ 7 km.  
 RUMBO N40-N10°E  
 BUZAMIENTO ~ 70°N

**ANALISIS TECTO/NEO/EVOLUTIVO**

Sobre la misma estructura       En estructuras menores asociadas

EDAD DE LOS MATERIALES AFECTADOS	TIPIFICACION				REGIMEN TECTONICO		ESFUERZOS	SALTOS	
	NORMAL	DESGARRE		INVERSA	COMPRESION	DISTENSION	DIRECCION DE $\sigma_1$ , $0$ $\sigma_3$ EN LA HORIZONTAL	EN	EN
		MIXTA	L					D	MIXTA
PRE-TORT.									
TORT-INF.	x					x	$\sigma_2$ E-W		>50m
TORT-SUP.									
MESSIN.									
PLIOCENO									
PLIO-CUAT.									
CUATERNARIO									

**ASPECTO Y NATURALEZA DE LOS MAT. AFECTADOS**

Arenas y limos y conglomerados Tortonenses

**EL RELLENO**

No existe

-Relación con las estructuras mayores o con otras fallas importantes:

Forma parte del grupo de fallas del sector E. de la Sierra de Carraascoy (8).

Analisis realizado por:

idem



Para todas las fallas

TECTO-SEDIMENTACION

FALLA DETECTADA POR ESTE METODO	SI		RUMBO PROB.		BUZ. PROB.	
	NO		LONG. PROB.		TIPO PROB.	

Breve descripción de la influencia en las características de la sedimentación y edad de los materiales

GEOMORFOLOGIA

FALLA DETECTADA POR ESTE METODO	En parte	RUMBO PROB.		BUZ. PROB.	
SE OBSERVA COMO LINEAMIENTO?		LONG. PROB.		TIPO PROB.	

ANOMALIAS GEOMORFOLOGICAS LIGADAS Y/O PROB. LIGADAS

EN EL RELIEVE O LADERAS

EN LA RED HIDROG.

OTROS

Escarpe de fallas	<input checked="" type="checkbox"/>	Valles colgados	<input type="checkbox"/>
Caras afacetadas	<input checked="" type="checkbox"/>	Capturas	<input type="checkbox"/>
Basculamientos	<input type="checkbox"/>	Encajamientos	<input type="checkbox"/>
Encajamientos	<input type="checkbox"/>	Inflexiones	<input type="checkbox"/>
Solapes	<input type="checkbox"/>	Difluencias	<input type="checkbox"/>
		Cambios bruscos en el perfil	<input type="checkbox"/>

GEOFISICA

FALLA DETECTADA POR ESTE METODO		RUMBO PROB.		BUZ. PROB.	
		LONG. PROB.		TIPO PROB.	

Por el metodo	Electrico	<input type="checkbox"/>
	Sismico	<input type="checkbox"/>
	Gravimetrico	<input type="checkbox"/>

Profundidad de la estructura	<input type="checkbox"/>
Edad mat. a los que afecta	<input type="checkbox"/>

**GEOTERMISMO/VOLCANISMO ASOCIADO**

Volcanismo	Quimismo o clase _____	Geotermismo	Manantiales	<input type="checkbox"/>	Temperatura	<input type="checkbox"/>
	Edad absoluta _____		Sondeo	<input type="checkbox"/>	Profundidad	<input type="checkbox"/>

**SISMICIDAD ASOCIADA**

HISTORICA

Nº SISMOS \_\_\_\_\_

INTENS. MAX. \_\_\_\_\_

ISCALISTAS \_\_\_\_\_

Relación con la estructura:

CORRELACION B

INSTRUMENTAL

Nº SISMOS \_\_\_\_\_ MAGNITUDES MAX. \_\_\_\_\_

PROPUNDDIDADES MEDIAS \_\_\_\_\_ REPLICAS \_\_\_\_\_

RUMBO DE LAS MISMAS \_\_\_\_\_

ERROR EPICENTRO \_\_\_\_\_ ERROR PROF. \_\_\_\_\_

P

M

CORRELACION CON LA FALLA B

P

M

B (Buena)  
P (Probable)  
M (Mala)

CLASE DE ACTIVIDAD

- APECTA AL CUATERNARIO
- APECTA A LA MORFOLOGIA
- ASOCIADA A SISMICIDAD
- GEOTERMISMO

	SI	NO	?	CLASIFICACION SEGUN TABLA I		
APECTA AL CUATERNARIO		x		<div style="border: 1px solid black; padding: 5px; display: inline-block;">                     b-2                 </div>		
APECTA A LA MORFOLOGIA	x					
ASOCIADA A SISMICIDAD		x				
GEOTERMISMO		x				

**FICHA DE FALLA**

Nº 10 DENOMINACION SISTEMA de Carrascol SITUACION ZONA BETICA  
 FALLA SE. del Puntarrón DOMINIO ALPUJARRIDA  
 SECTOR SE. de Murcia CUENCA S. de Carrascol  
 Fecha: 27-9-90 Autor: C. Sanz de Galdeano

Para las fallas bien visibles en superficie:

**GEOMETRIA**

LONGITUD ~ 2.5 km  
 RUMBO N30°E  
 BUZAMIENTO ~ 70°E

**ANALISIS TECTO/NEO/EVOLUTIVO**

Sobre la misma estructura       En estructuras menores asociadas

EDAD DE LOS MATERIALES AFECTADOS	TIPIFICACION				REGIMEN TECTONICO		ESFUERZOS	SALTOS	
	NORMAL	DESGARRE		INVERSA	COMPRESION	DISTENSION	DIRECCION DE $\sigma_1, 0 \sigma_3$ EN LA HORIZONTAL	EN	EN
		MIXTA	L					D	MIXTA
PRE-TORT.									
TORT-IMP.	x					x	$\sigma_3 \sim E-W$		>100m
TORT-SUP.									
MESSIN.									
PLIOCENO									
PLIO-CUAT.									
CUATERNARIO									

**ASPECTO Y NATURALEZA DE LOS MAT. AFECTADOS**

*Areniscas rojas y margas limosas del Tortonmiense inferior*

**EL RELLENO**

-Relación con las estructuras mayores o con otras fallas importantes:

*Conjugada con la falla del N. del Puntarrón (9)*

Analisis realizado por:

*idem*

Para todas las fallas

TECTO-SEDIMENTACION

FALLA DETECTADA POR ESTE METODO	SI		RUMBO PROB.		BUZ. PROB.	
	NO		LONG. PROB.		TIPO PROB.	

Breve descripción de la influencia en las características de la sedimentación y edad de los materiales

GEOMORFOLOGIA

FALLA DETECTADA POR ESTE METODO	<i>En parte</i>		RUMBO PROB.		BUZ. PROB.	
SE OBSERVA COMO LINEAMIENTO?			LONG. PROB.		TIPO PROB.	

ANOMALIAS GEOMORFOLOGICAS LIGADAS Y/O PROB. LIGADAS

EN EL RELIEVE O LADERAS

EN LA RED HIDROG.

OTROS

Escarpe de fallas	<input checked="" type="checkbox"/>	Valles colgados	<input type="checkbox"/>
Caras afacetadas	<input type="checkbox"/>	Capturas	<input type="checkbox"/>
Basculamientos	<input type="checkbox"/>	Encajamientos	<input type="checkbox"/>
Encajamientos	<input type="checkbox"/>	Inflexiones	<input type="checkbox"/>
Solapes	<input type="checkbox"/>	Difluencias	<input type="checkbox"/>
		Cambios bruscos en el perfil	<input type="checkbox"/>

GEOFISICA

FALLA DETECTADA POR ESTE METODO		RUMBO PROB.		BUZ. PROB.	
		LONG. PROB.		TIPO PROB.	

Por el metodo

Electrico	<input type="checkbox"/>
Sismico	<input type="checkbox"/>
Gravimetrico	<input type="checkbox"/>

Profundidad de la estructura	<input type="text"/>
Edad mat. a los que afecta	<input type="text"/>

**GEOTERMISMO/VOLCANISMO ASOCIADO**

Volcanismo	Quimismo o clase _____	Geotermismo	Manantiales	<input type="text"/>	Temperatura	<input type="text"/>
	Edad absoluta _____		Sondeo	<input type="text"/>	Profundidad	<input type="text"/>

**SISMICIDAD ASOCIADA**

HISTORICA

Nº SISMOS \_\_\_\_\_

INTENS. MAX. \_\_\_\_\_

ISOSISTAS \_\_\_\_\_

Relación con la estructura:

INSTRUMENTAL

CORRELACION	B	<input type="text"/>	Nº SISMOS _____	MAGNITUDES MAX. _____
	P	<input type="text"/>	PROFUNDIDADES MEDIAS _____	REPLICAS _____
	M	<input type="text"/>	RUMBO DE LAS MISMAS _____	
		<input type="text"/>	ERROR EPICENTRO _____	ERROR PROF. _____

CORRELACION CON LA FALLA B

<input type="text"/>	B (Buena)
<input type="text"/>	P (Probable)
<input type="text"/>	M (Mala)

CLASE DE ACTIVIDAD

- APECTA AL CUATERNARIO
- APECTA A LA MORFOLOGIA
- ASOCIADA A SISMICIDAD
- GEOTERMISMO

	SI	NO	?	CLASIFICACION SEGUN TABLA I
APECTA AL CUATERNARIO		X		<div style="border: 1px solid black; padding: 5px; display: inline-block;">                     a-14                 </div>
APECTA A LA MORFOLOGIA	X			
ASOCIADA A SISMICIDAD		X		
GEOTERMISMO		X		

**FICHA DE FALLA**

Nº 11 DENOMINACION SITUACION  
 SISTEMA CUÑA de AGUILAS ZONA BETICA  
 FALLA oriental de S. Almagro DOMINIO \_\_\_\_\_  
 SECTOR \_\_\_\_\_ CUENCA \_\_\_\_\_  
 Fecha: 24-9-90 Autor: C. Sanz de Galdeano

Para las fallas bien visibles en superficie:

**GEOMETRIA**

LONGITUD 15 km.  
 RUMBO N 35° E  
 BUZAMIENTO Vertical

**ANALISIS TECTO/NEO/EVOLUTIVO**

Sobre la misma estructura       En estructuras menores asociadas

EDAD DE LOS MATERIALES AFECTADOS	TIPIFICACION				REGIMEN TECTONICO		ESFUERZOS	SALTOS	
	NORMAL	DESGARRE		INVERSA	COMPRESION	DISTENSION	DIRECCION DE $\sigma_1$ , $0$ $\sigma_3$ EN LA HORIZONTAL	EN	EN
	MIXTA	L	D	MIXTA				HORIZ.	VERT.
PRE-TORT.									
TORT-INF.		x			x		$\sigma_1 \sim N-S$		
TORT-SUP.		x	?		x		$\sigma_1 \sim N-S$		
MESSIN.			?						
PLIOCENO		?				?			
PLIO-CUAT.									
CUATERNARIO									

**ASPECTO Y NATURALEZA DE LOS MAT. AFECTADOS**

Alpujarride y Nevado - Filabride más Tortoniese inferior (rojo conglomerático) y sup. (margoso?).  
 Bandas cataclásticas y estrigaciones horizontales y verticales.

**EL RELLENO**

-Relación con las estructuras mayores o con otras fallas importantes:

Ligeramente oblicua a la falla Pulpi-Pozo de la Higuera (7).  
 Del mismo piezo. No aparecen materiales Messiniense, pero los movimientos debían ser en parte de esa edad

Analisis realizado por:

Idem.

Para todas las fallas

TECTO-SEDIMENTACION

FALLA DETECTADA POR ESTE METODO	SI	
	NO	X

RUMBO PROB.		BUZ. PROB.	
LONG. PROB.		TIPO PROB.	

Breve descripción de la influencia en las características de la sedimentación y edad de los materiales

*Los materiales Miocenos aparecen puzados y muy tectonizados. La influencia debe ser similar a la de la falla Pulpi-Pozo de la Higuera.*

GEOMORFOLOGIA

FALLA DETECTADA POR ESTE METODO	
SE OBSERVA COMO LINEAMIENTO?	si

RUMBO PROB.		BUZ. PROB.	
LONG. PROB.		TIPO PROB.	

ANOMALIAS GEOMORFOLOGICAS LIGADAS Y/O PROB. LIGADAS

EN EL RELIEVE O LADERAS

EN LA RED HIDROG.

OTROS

Escarpe de fallas

X

Valles colgados


Caras afacetadas

Capturas

Basculamientos

Encajamientos

Encajamientos

Inflexiones

Escarpes

Difluencias

Cambios bruscos en el perfil

GEOFISICA

FALLA DETECTADA POR ESTE METODO	
---------------------------------	--

RUMBO PROB.		BUZ. PROB.	
LONG. PROB.		TIPO PROB.	

Por el metodo Electrico


Profundidad de la estructura


Sismico

Edad mat. a los que afecta

Gravimetrico

GEOTERMISMO/VOLCANISMO ASOCIADO

Volcanismo	Quimismo o clase _____	Geotermismo	Manantiales	Temperatura	
	Edad absoluta _____		Sondeo	Profundidad	

SISMICIDAD ASOCIADA

HISTORICA

Nº SISMOS \_\_\_\_\_

INTENS. MAX. \_\_\_\_\_

ISOSISTAS \_\_\_\_\_

Relación con la estructura:

INSTRUMENTAL

CORRELACION B P M	Nº SISMOS _____	MAGNITUDES MAX. _____
	PROFUNDIDADES MEDIAS _____	REPLICAS _____
	RUMBO DE LAS MISMAS _____	
	ERROR EPICENTRO _____	ERROR PROF. _____

CORRELACION CON LA FALLA B

B
P
M

B (Buena)  
P (Probable)  
M (Mala)

CLASE DE ACTIVIDAD

- AFECTA AL CUATERNARIO
- AFECTA A LA MORFOLOGIA
- ASOCIADA A SISMICIDAD
- GEOTERMISMO

	SI	NO	?	CLASIFICACION SEGUN TABLA I
AFECTA AL CUATERNARIO		x		<div style="border: 1px solid black; padding: 5px; display: inline-block;">           b-2         </div>
AFECTA A LA MORFOLOGIA	x			
ASOCIADA A SISMICIDAD			x	
GEOTERMISMO			x	



### FICHA DE FALLA

Nº 12 DENOMINACION SITUACION  
 SISTEMA CUÑA DE AGUILAS ZONA BETICA  
 FALLA de la Serrata (w-NW de Aguilas) DOMINIO Nevado-Filabride  
 SECTOR \_\_\_\_\_ CUENCA Aguilas  
 Fecha: 24-9-90 Autor: C. Sanz de Galdano

Para las fallas bien visibles en superficie:

GEOMETRIA

LONGITUD 14 Km.  
 RUMBO N10-15°E  
 BUZAMIENTO Vertical - Buz d. w. ?

ANALISIS TECTO/NEO/EVOLUTIVO

Sobre la misma estructura       En estructuras menores asociadas

EDAD DE LOS MATERIALES AFECTADOS	TIPIFICACION				REGIMEN TECTONICO		ESFUERZOS	SALTOS	
	NORMAL	DESGARRE		INVERSA	COMPRESION	DISTENSION	DIRECCION DE $\sigma_1$ O $\sigma_3$ EN LA HORIZONTAL	EN	EN
	MIXTA	L	D	MIXTA				HORIZ.	VERT.
PRE-TORT.									
TORT-INF.									
TORT-SUP.									
MESSIN.									
PLIENO									
POLO-COAT.									
CUATERNARIO									

Total  $\uparrow$  250 m.

**ASPECTO Y NATURALEZA DE LOS MAT. AFECTADOS**

*AL. E. materiales del Nevado-Filabride*

**EL RELLENO**

-Relación con las estructuras mayores o con otras fallas importantes:

*Paralela a la falla de Polpi-Pozo de la Higuera (7)*

Análisis realizado por:

*idem*

Para todas las fallas

TECTO-SEDIMENTACION

FALLA DETECTADA POR ESTE METODO	SI	
	NO	X

RUMBO PROB.		BUZ. PROB.	
LONG. PROB.		TIPO PROB.	

Breve descripción de la influencia en las características de la sedimentación y edad de los materiales

*Desconocida*

GEOMORFOLOGIA

FALLA DETECTADA POR ESTE METODO	SI
SE OBSERVA COMO LINEAMIENTO?	SI

RUMBO PROB.		BUZ. PROB.	
LONG. PROB.		TIPO PROB.	

ANOMALIAS GEOMORFOLOGICAS LIGADAS Y/O PROB. LIGADAS

EN EL RELIEVE O LADERAS

EN LA RED HIDROG.

OTROS

Escarpe de fallas	X	Valles colgados	
Caras afacetadas		Capturas	
Basculamientos		Encajamientos	
Encajamientos		Inflexiones	
Solapes		Difluencias	
		Cambios bruscos en el perfil	

GEOFISICA

FALLA DETECTADA POR ESTE METODO	
---------------------------------	--

RUMBO PROB.		BUZ. PROB.	
LONG. PROB.		TIPO PROB.	

Por el metodo	Electrico	
	Sismico	
	Gravimetrico	

Profundidad de la estructura	
Edad mat. a los que afecta	

GEOTERMISMO/VOLCANISMO ASOCIADO

Volcanismo	Quimismo o clase _____ Geotermismo Edad absoluta _____	Manantiales  Sondeo	<input style="width: 20px; height: 20px;" type="text"/>  <input style="width: 20px; height: 20px;" type="text"/>	Temperatura <input style="width: 80px; height: 20px;" type="text"/> Profundidad <input style="width: 80px; height: 20px;" type="text"/>
------------	---	---------------------------	--	--

SISMICIDAD ASOCIADA

HISTORICA

Nº SISMOS \_\_\_\_\_  
 INTENS. MAX. \_\_\_\_\_  
 ISOSISTAS \_\_\_\_\_  
 Relación con la estructura:

INSTRUMENTAL

	CORRELACION	B	Nº SISMOS _____	MAGNITUDES MAX. _____
		P	PROFUNDIDADES MEDIAS _____	REPLICAS _____
		M	RUMBO DE LAS MISMAS _____	ERROR EPICENTRO _____
			ERROR EPICENTRO _____	ERROR PROF. _____

CORRELACION CON LA FALLA

B	B (Buena)
P	P (Probable)
M	M (Mala)

CLASE DE ACTIVIDAD

- APECTA AL CUATERNARIO
- APECTA A LA MORFOLOGIA
- ASOCIADA A SISMICIDAD
- GEOTERMISMO

	SI	NO	?	CLASIFICACION SEGUN TABLA I
APECTA AL CUATERNARIO		x		<div style="border: 1px solid black; padding: 10px; width: fit-content; margin: 0 auto;"> <span style="font-size: 1.5em;">b-2</span> </div>
APECTA A LA MORFOLOGIA	x			
ASOCIADA A SISMICIDAD			?	
GEOTERMISMO			?	

**FICHA DE FALLA**

Nº 13 DENOMINACION SITUACION  
 SISTEMA CUÑA DE AGUILAS ZONA BETICA  
 FALLA de las Palomas DOMINIO NEVADO-FILABRIDE  
 SECTOR NNW de Aguilas CUENCA Aguilas  
 Fecha: 24-9-90 Autor: C. Souza de Galdeano

Para las fallas bien visibles en superficie:

GEOMETRIA

LONGITUD 5 km  
 RUMBO ~ N-S  
 BUZAMIENTO Vertical?

ANALISIS TECTO/NEO/EVOLUTIVO

Sobre la misma estructura       En estructuras menores asociadas

EDAD DE LOS MATERIALES AFECTADOS	TIPIFICACION				REGIMEN TECTONICO		ESFUERZOS	SALTOS	
	NORMAL	DESGARRE		INVERSA	COMPRESION	DISTENSION	DIRECCION DE $\sigma_1$ O $\sigma_3$ EN LA HORIZONTAL	EN	EN
	MIXTA	L	D	MIXTA				HORIZ.	VERT.
PRE-TORT.									
TORT-IMP.									
TORT-SUP.									
MESSIN.									
PLIOCENO									
PLIO-CUAT.									
CUATERNARIO									

ASPECTO Y NATURALEZA DE LOS MAT. AFECTADOS

*Esquistos Nevado-Filabrides*

EL RELLENO

-Relación con las estructuras mayores o con otras fallas importantes:

*Prácticamente paralelas a la falla Pulpi-Pozuelo  
 Higuera (F).  
 Aquí se resumen dos fallas paralelas próximas*

Análisis realizado por:

*idem*

Para todas las fallas

TECTO-SEDIMENTACION

FALLA DETECTADA POR ESTE METODO	SI	<input type="checkbox"/>
	NO	<input checked="" type="checkbox"/>

RUMBO PROB.	<input type="checkbox"/>	BUZ. PROB.	<input type="checkbox"/>
LONG. PROB.	<input type="checkbox"/>	TIPO PROB.	<input type="checkbox"/>

Breve descripción de la influencia en las características de la sedimentación y edad de los materiales

GEOMORFOLOGIA

FALLA DETECTADA POR ESTE METODO	SI	<input type="checkbox"/>
SE OBSERVA COMO LINEAMIENTO?	NO	<input type="checkbox"/>

RUMBO PROB.	<input type="checkbox"/>	BUZ. PROB.	<input type="checkbox"/>
LONG. PROB.	<input type="checkbox"/>	TIPO PROB.	<input type="checkbox"/>

ANOMALIAS GEOMORFOLOGICAS LIGADAS Y/O PROB. LIGADAS

EN EL RELIEVE O LADERAS

EN LA RED HIDROG.

OTROS

Escarpe de fallas

<input checked="" type="checkbox"/>
<input type="checkbox"/>
<input type="checkbox"/>
<input type="checkbox"/>
<input type="checkbox"/>

Valles colgados

<input type="checkbox"/>
<input type="checkbox"/>
<input type="checkbox"/>
<input type="checkbox"/>
<input type="checkbox"/>
<input type="checkbox"/>

Caras afacetadas

Capturas

Basculamientos

Encajamientos

Encajamientos

Inflexiones

Solapes

Difluencias

Cambios bruscos en el perfil

GEOFISICA

FALLA DETECTADA POR ESTE METODO	<input type="checkbox"/>
---------------------------------	--------------------------

RUMBO PROB.	<input type="checkbox"/>	BUZ. PROB.	<input type="checkbox"/>
LONG. PROB.	<input type="checkbox"/>	TIPO PROB.	<input type="checkbox"/>

Por el metodo Electrico

<input type="checkbox"/>
<input type="checkbox"/>
<input type="checkbox"/>

Sismico

Gravimetrico

Profundidad de la estructura

Edad mat. a los que afecta

<input type="checkbox"/>
<input type="checkbox"/>

GEOTERMISMO/VOLCANISMO ASOCIADO

Volcanismo	Quimismo o clase _____ Edad absoluta _____	Geotermismo Manantiales Sondeo	Temperatura Profundidad	<input style="width: 100%; height: 100%; border: none;" type="text"/> <input style="width: 100%; height: 100%; border: none;" type="text"/>
------------	---	--------------------------------------	----------------------------	--

SISMICIDAD ASOCIADA

HISTORICA

Nº SISMOS \_\_\_\_\_  
 INTENS. MAX. \_\_\_\_\_  
 ISOSISTAS \_\_\_\_\_  
 Relación con la estructura:

INSTRUMENTAL

CORRELACION	B	Nº SISMOS _____	MAGNITUDES MAX. _____
	P	PROFUNDIDADES MEDIAS _____	REPLICAS _____
	M	RUMBO DE LAS MISMAS _____	ERROR EPICENTRO _____
		ERROR PROF. _____	ERROR PROF. _____

CORRELACION CON LA FALLA

B		B (Buena)
P		P (Probable)
M		M (Mala)

CLASE DE ACTIVIDAD

- APECTA AL CUATERNARIO
- APECTA A LA MORFOLOGIA
- ASOCIADA A SISMICIDAD
- GEOTERMISMO

	SI	NO	?	CLASIFICACION SEGUN TABLA I
APECTA AL CUATERNARIO		×		<div style="border: 1px solid black; width: 40px; height: 40px; margin: 0 auto; display: flex; align-items: center; justify-content: center;"> <span style="font-size: 24px; font-weight: bold;">b-2</span> </div>
APECTA A LA MORFOLOGIA	×			
ASOCIADA A SISMICIDAD			×	
GEOTERMISMO		×		

### FICHA DE FALLA

Nº 14 DENOMINACION SISTEMA CUÑA DE AGUILAS SITUACION ZONA BETICA  
 SISTEMA CUÑA DE AGUILAS ZONA BETICA  
 FALLA Rancho de Chuecos DOMINIO \_\_\_\_\_  
 SECTOR 5 km. al S. de Campico de la Lopez CUENCA \_\_\_\_\_  
 Fecha: 25-5-90 Autor: C. Sanz de Galdeano

Para las fallas bien visibles en superficie:

#### GEOMETRIA

LONGITUD > 10 Km  
 RUMBO N62E  
 BUZAMIENTO 90°?

#### ANALISIS TECTO/NEO/EVOLUTIVO

Sobre la misma estructura       En estructuras menores asociadas

EDAD DE LOS MATERIALES AFECTADOS	TIPIFICACION				REGIMEN TECTONICO		ESFUERZOS	SALTOS	
	NORMAL	DESGARRE		INVERSA	COMPRESION	DISTENSION	DIRECCION DE $\sigma_1$ O $\sigma_3$ EN LA HORIZONTAL	EN	EN
		MIXTA	L					D	MIXTA
PRE-TORT.		X	→		X		$\sigma_1 \sim 90^\circ$	?	> 150 m.
TORT-INF.		?			?				
TORT-SUP.									
MESSIN.									
PLIOCENO									
PLIO-CUAT.									
CUATERNARIO									

**ASPECTO Y NATURALEZA DE LOS MAT. AFECTADOS**

Alpujarride y Mioceno medio - Tort. inf.?. Limos, margas, cretas y areniscas.

**EL RELLENO**

-Relación con las estructuras mayores o con otras fallas importantes:

De parecida dirección a las del Cerro de Bas (20).  
 Es continuación hacia el Sur de la falla de la Majada (17) ?

Analisis realizado por:

idem.

Para todas las fallas

TECTO-SEDIMENTACION

FALLA DETECTADA POR ESTE METODO	SI	<input type="checkbox"/>
	NO	<input checked="" type="checkbox"/>

RUMBO PROB.	<input type="checkbox"/>	BUZ. PROB.	<input type="checkbox"/>
LONG. PROB.	<input type="checkbox"/>	TIPO PROB.	<input type="checkbox"/>

Breve descripción de la influencia en las características de la sedimentación y edad de los materiales

GEOMORFOLOGIA

FALLA DETECTADA POR ESTE METODO	<i>en parte</i>	<input type="checkbox"/>
SE OBSERVA COMO LINEAMIENTO?		<input type="checkbox"/>

RUMBO PROB.	<input type="checkbox"/>	BUZ. PROB.	<input type="checkbox"/>
LONG. PROB.	<input type="checkbox"/>	TIPO PROB.	<input type="checkbox"/>

ANOMALIAS GEOMORFOLOGICAS LIGADAS Y/O PROB. LIGADAS

EN EL RELIEVE O LADERAS

EN LA RED HIDROG.

OTROS

Escarpe de fallas	<input checked="" type="checkbox"/>	Valles colgados	<input type="checkbox"/>
Caras afacetadas	<input type="checkbox"/>	Capturas	<input type="checkbox"/>
Basculamientos	<input type="checkbox"/>	Encajamientos	<input type="checkbox"/>
Encajamientos	<input type="checkbox"/>	Inflexiones	<input type="checkbox"/>
Solapes	<input type="checkbox"/>	Difluencias	<input type="checkbox"/>
		Cambios bruscos en el perfil	<input type="checkbox"/>

GEOFISICA

FALLA DETECTADA POR ESTE METODO	<input type="checkbox"/>
---------------------------------	--------------------------

RUMBO PROB.	<input type="checkbox"/>	BUZ. PROB.	<input type="checkbox"/>
LONG. PROB.	<input type="checkbox"/>	TIPO PROB.	<input type="checkbox"/>

Por el metodo	Electrico	<input type="checkbox"/>
	Sismico	<input type="checkbox"/>
	Gravimetrico	<input type="checkbox"/>

Profundidad de la estructura	<input type="checkbox"/>
Edad mat. a los que afecta	<input type="checkbox"/>



GEOTERMISMO/VOLCANISMO ASOCIADO

Volcanismo	Quimismo o clase _____	Geotermismo	Manantiales	<input type="text"/>	Temperatura	<input type="text"/>
	Edad absoluta _____		Sondeo	<input type="text"/>	Profundidad	<input type="text"/>

SISMICIDAD ASOCIADA

HISTORICA

Nº SISMOS \_\_\_\_\_

INTENS. MAX. \_\_\_\_\_

ISOSISTAS \_\_\_\_\_

Relación con la estructura:

INSTRUMENTAL

Nº SISMOS \_\_\_\_\_ MAGNITUDES MAX. \_\_\_\_\_

PROPUNDADES MEDIAS \_\_\_\_\_ REPLICAS \_\_\_\_\_

RUMBO DE LAS MISMAS \_\_\_\_\_

ERROR EPICENTRO \_\_\_\_\_ ERROR PROF. \_\_\_\_\_

CORRELACION CON LA FALLA B

<input type="text"/>
<input type="text"/>
<input type="text"/>

B (Buena)  
P (Probable)  
M (Mala)

CLASE DE ACTIVIDAD

- APECTA AL CUATERNARIO
- APECTA A LA MORFOLOGIA
- ASOCIADA A SISMICIDAD
- GEOTERMISMO

	SI	NO	?	CLASIFICACION SEGUN TABLA I
APECTA AL CUATERNARIO		X		<div style="border: 1px solid black; padding: 5px; display: inline-block;">                     b-2                 </div>
APECTA A LA MORFOLOGIA	X			
ASOCIADA A SISMICIDAD			?	
GEOTERMISMO		X		

**FICHA DE FALLA**

Nº 15 DENOMINACION SISTEMA CUÑA DE AGUILAS SITUACION ZONA BETIGA  
 FALLA del Campico de los Lopez DOMINIO \_\_\_\_\_  
 SECTOR el Aguilas-Mezarion, cruce a el CUENCA \_\_\_\_\_  
 Fecha: 25-9-90 Autor: C. Souza de Galdeano

Para las fallas bien visibles en superficie:

GEOMETRIA

LONGITUD > 4 km  
 RUMBO ~ N70°  
 BUZAMIENTO 90° a 70°N

ANALISIS TECTO/NEO/EVOLUTIVO

Sobre la misma estructura  En estructuras menores asociadas

EDAD DE LOS MATERIALES AFECTADOS	TIPIFICACION				REGIMEN TECTONICO		ESFUERZOS	SALTOS	
	NORMAL	DESGARRE		INVERSA	COMPRESION	DISTENSION	DIRECCION DE $\sigma_1$ O $\sigma_3$ EN LA HORIZONTAL	EN HORIZ.	EN VERT.
	MIXTA	L	D	MIXTA					
PRE-TORT.				x	x				
TORT-INF.		←		x	x ?		$\sigma_1 \sim N100^\circ$	?	7100 m.
TORT-SUP.									
MESSIN.									
PLIOCENO									
PLIO-CGAT.									
CUATERNARIO									

**ASPECTO Y NATURALEZA DE LOS MAT. AFECTADOS**

Alpujárnide + conglomerados, limos y arenas del Serravalleense, con restos de Alpujárnides incluidos.

**EL RELLENO**

-Relación con las estructuras mayores o con otras fallas importantes:

Paralela a la del borde Sf. del Lomo de Pozo (20)

Análisis realizado por:

Idem.

Para todas las fallas

TECTO-SEDIMENTACION

FALLA DETECTADA POR ESTE METODO	SI	
	NO	X

RUMBO PROB.		BUZ. PROB.	
LONG. PROB.		TIPO PROB.	

Breve descripción de la influencia en las características de la sedimentación y edad de los materiales  
*Los restos caídos del Alpujarride en estos materiales del Serravallo se muestran la inestabilidad del medio*

GEOMORFOLOGIA

FALLA DETECTADA POR ESTE METODO	NO	
SE OBSERVA COMO LINEAMIENTO?		

RUMBO PROB.		BUZ. PROB.	
LONG. PROB.		TIPO PROB.	

ANOMALIAS GEOMORFOLOGICAS LIGADAS Y/O PROB. LIGADAS

EN EL RELIEVE O LADERAS

EN LA RED HIDROG.

OTROS

Escarpe de fallas	X	Valles colgados		
Caras afacetadas		Capturas		
Basculamientos		Encajamientos		
Encajamientos		Inflexiones		
Solapes		Difluencias		
		Cambios bruscos en el perfil		

GEOFISICA

FALLA DETECTADA POR ESTE METODO	
---------------------------------	--

RUMBO PROB.		BUZ. PROB.	
LONG. PROB.		TIPO PROB.	

Por el metodo	Electrico	□
	Sismico	□
	Gravimetrico	□

Profundidad de la estructura	
Edad mat. a los que afecta	

GEOTERMISMO/VOLCANISMO ASOCIADO

Volcanismo	Quimismo o clase _____	Geotermismo	Manantiales	Temperatura	
	Edad absoluta _____		Sondeo	Profundidad	

SISMICIDAD ASOCIADA

HISTORICA

Nº SISMOS \_\_\_\_\_

INTENS. MAX. \_\_\_\_\_

ISOSISTAS \_\_\_\_\_

Relación con la estructura:

INSTRUMENTAL

CORRELACION	B	Nº SISMOS _____	MAGNITUDES MAX. _____
	P	PROPUNDDIDADES MEDIAS _____	REPLICAS _____
	M	RUMBO DE LAS MISMAS _____	ERROR EPICENTRO _____
		ERROR PROF. _____	

CORRELACION CON LA FALLA B

B	B (Buena)
P	P (Probable)
M	M (Mala)

CLASE DE ACTIVIDAD

AFECTA AL CUATERNARIO

AFECTA A LA MORFOLOGIA

ASOCIADA A SISMICIDAD

GEOTERMISMO

	SI	NO	?	CLASIFICACION SEGUN TABLA I
AFECTA AL CUATERNARIO		x		<div style="border: 1px solid black; padding: 5px; display: inline-block;">                     b-2                 </div>
AFECTA A LA MORFOLOGIA	x			
ASOCIADA A SISMICIDAD		x		
GEOTERMISMO		x		

### FICHA DE FALLA

Nº 16 DENOMINACION SISTEMA LUNA DE AGUILAS SITUACION ZONA BETICA  
 FALLA del Colado del Alcaitor (Lomo de Bes) DOMINIO \_\_\_\_\_  
 SECTOR W. de Lomo de Bes CUENCA \_\_\_\_\_  
 Fecha: 25-9-90 Autor: C. Souza de Galdeano  
Para las fallas bien visibles en superficie:

GEOMETRIA

LONGITUD > 5 Km  
 RUMBO N65°E  
 BUZAMIENTO 90°

ANALISIS TECTO/NEO/EVOLUTIVO

Sobre la misma estructura       En estructuras menores asociadas

EDAD DE LOS MATERIALES AFECTADOS	TIPIFICACION				REGIMEN TECTONICO		ESFUERZOS	SALTOS	
	NORMAL	DESGARRE		INVERSA	COMPRESION	DISTENSION	DIRECCION DE $\sigma_1$ O $\sigma_2$ EN LA HORIZONTAL	EN	EN
	MIXTA	L	D	MIXTA				HORIZ.	VERT
PRE-TORT.			x		x		$\sigma_1$ 2 E-W	?	> 100 m.
TORT-INF.									
TORT-SUP.									
MESSIN.									
PLIOCENO									
PLIO-CUAT.									
CUATERNARIO									

ASPECTO Y NATURALEZA DE LOS MAT. AFECTADOS

*Navado - Filabride, Alpujarride y Sorravaliese puzado y muy fracturado.*

EL RELLENO

-Relación con las estructuras mayores o con otras fallas importantes:

*Casi paralela a la del borde Sur del Lomo de Bes (20).*

Analisis realizado por:

*C. Souza de Galdeano*

Para todas las fallas

TECTO-SEDIMENTACION

FALLA DETECTADA POR ESTE METODO	SI	<input type="checkbox"/>
	NO	<input checked="" type="checkbox"/>

RUMBO PROB.	<input type="text"/>	BUZ. PROB.	<input type="text"/>
LONG. PROB.	<input type="text"/>	TIPO PROB.	<input type="text"/>

Breve descripción de la influencia en las características de la sedimentación y edad de los materiales

GEOMORFOLOGIA

FALLA DETECTADA POR ESTE METODO	<i>en parte</i>
SE OBSERVA COMO LINEAMIENTO?	<input type="checkbox"/>

RUMBO PROB.	<input type="text"/>	BUZ. PROB.	<input type="text"/>
LONG. PROB.	<input type="text"/>	TIPO PROB.	<input type="text"/>

ANOMALIAS GEOMORFOLOGICAS LIGADAS Y/O PROB. LIGADAS

EN EL RELIEVE O LADERAS

EN LA RED HIDROG.

OTROS

Escarpe de fallas	<input checked="" type="checkbox"/>	Valles colgados	<input type="checkbox"/>
Caras afacetadas	<input type="checkbox"/>	Capturas	<input type="checkbox"/>
Basculamientos	<input type="checkbox"/>	Encajamientos	<input type="checkbox"/>
Encajamientos	<input type="checkbox"/>	Inflexiones	<input type="checkbox"/>
Solapes	<input type="checkbox"/>	Difluencias	<input type="checkbox"/>
		Cambios bruscos en el perfil	<input type="checkbox"/>

GEOFISICA

FALLA DETECTADA POR ESTE METODO	<input type="checkbox"/>
---------------------------------	--------------------------

RUMBO PROB.	<input type="text"/>	BUZ. PROB.	<input type="text"/>
LONG. PROB.	<input type="text"/>	TIPO PROB.	<input type="text"/>

Por el metodo	Electrico	<input type="checkbox"/>
	Sismico	<input type="checkbox"/>
	Gravimetrico	<input type="checkbox"/>

Profundidad de la estructura	<input type="text"/>
Edad mat. a los que afecta	<input type="text"/>

GEOTERMISMO/VOLCANISMO ASOCIADO

Volcanismo | Quimismo o clase \_\_\_\_\_ Geotermismo | Manantiales  Temperatura   
 Edad absoluta \_\_\_\_\_ | Sondeo  Profundidad

SISMICIDAD ASOCIADA

HISTORICA

Nº SISMOS \_\_\_\_\_  
 INTENS. MAX. \_\_\_\_\_  
 ISOSISTAS \_\_\_\_\_  
 Relación con la estructura:

INSTRUMENTAL

CORRELACION B   
 P   
 M

Nº SISMOS \_\_\_\_\_ MAGNITUDES MAX. \_\_\_\_\_  
 PROFUNDIDADES MEDIAS \_\_\_\_\_ REPLICAS \_\_\_\_\_  
 RUMBO DE LAS MISMAS \_\_\_\_\_  
 ERROR EPICENTRO \_\_\_\_\_ ERROR PROF. \_\_\_\_\_

CORRELACION CON LA FALLA B  B (Buena)  
 P  P (Probable)  
 M  M (Mala)

CLASE DE ACTIVIDAD

- APECTA AL CUATERNARIO
- APECTA A LA MORFOLOGIA
- ASOCIADA A SISMICIDAD
- GEOTERMISMO

	SI	NO	?	CLASIFICACION SEGUN TABLA I
APECTA AL CUATERNARIO		X		<div style="border: 1px solid black; padding: 5px; display: inline-block;">           b-2         </div>
APECTA A LA MORFOLOGIA	X			
ASOCIADA A SISMICIDAD		X		
GEOTERMISMO		X		

**FICHA DE FALLA**

Nº 17 DENOMINACION SITUACION  
 SISTEMA HAZARRON ZONA BETICA  
 FALLA de la MAJADA DOMINIO \_\_\_\_\_  
 SECTOR Bordo ESE de Almenora CUENCA HAZARRON  
 Fecha: 25-9-90 Autor: C. Sanz de Galdeano

Para las fallas bien visibles en superficie:

**GEOMETRIA**

LONGITUD > 70 Km.  
 RUMBO ~ N48°E  
 BUZAMIENTO 90°?

**ANALISIS TECTO/NEO/EVOLUTIVO**

Sobre la misma estructura       En estructuras menores asociadas

EDAD DE LOS MATERIALES AFECTADOS	TIPIFICACION				REGIMEN TECTONICO		ESFUERZOS	SALTOS	
	NORMAL	DESGARRE		INVERSA	COMPRESION	DISTENSION	DIRECCION DE $\sigma_1, \sigma_2, \sigma_3$ EN LA HORIZONTAL	EN	EN
	MIXTA	L	D	MIXTA				HORIZ.	VERT.
PRE-TORT.									
TORT-INF.									
TORT-SUP.									
MESSIN.		x → ?				x	$\sigma_3 \sim E-W$	?	200 m.
PIRENEO									
OLIO-CUAT.									
CUATERNARIO									

**ASPECTO Y NATURALEZA DE LOS MAT. AFECTADOS**

Alpujarrice y Messiniense - Tortoniese sup. con salada de material volcánico.

**EL RELLENO**

-Relación con las estructuras mayores o con otras fallas importantes:

¿Puede ser continuada con la falla de Rambla de las Chuecas (14)?

Analisis realizado por:

C. Sanz de Galdeano.



Para todas las fallas

TECTO-SEDIMENTACION

FALLA DETECTADA POR ESTE METODO	SI	<input type="checkbox"/>
	NO	<input checked="" type="checkbox"/>

RUMBO PROB.	<input type="checkbox"/>	BUZ. PROB.	<input type="checkbox"/>
LONG. PROB.	<input type="checkbox"/>	TIPO PROB.	<input type="checkbox"/>

Breve descripción de la influencia en las características de la sedimentación y edad de los materiales

GEOMORFOLOGIA

FALLA DETECTADA POR ESTE METODO	<i>cu</i>	<i>rente</i>
SE OBSERVA COMO LINEAMIENTO?	<input type="checkbox"/>	<input type="checkbox"/>

RUMBO PROB.	<input type="checkbox"/>	BUZ. PROB.	<input type="checkbox"/>
LONG. PROB.	<input type="checkbox"/>	TIPO PROB.	<input type="checkbox"/>

ANOMALIAS GEOMORFOLOGICAS LIGADAS Y/O PROB. LIGADAS

EN EL RELIEVE O LADERAS

EN LA RED HIDROG.

OTROS

Escarpe de fallas

<input checked="" type="checkbox"/>
<input type="checkbox"/>
<input type="checkbox"/>
<input type="checkbox"/>
<input type="checkbox"/>

Valles colgados

<input type="checkbox"/>
<input type="checkbox"/>
<input type="checkbox"/>
<input type="checkbox"/>
<input type="checkbox"/>
<input type="checkbox"/>

Caras afacetadas

Capturas

Basculamientos

Encajamientos

Encajamientos

Inflexiones

Solapes

Difluencias

Cambios bruscos en el perfil

GEOFISICA

FALLA DETECTADA POR ESTE METODO	<input type="checkbox"/>
---------------------------------	--------------------------

RUMBO PROB.	<input type="checkbox"/>	BUZ. PROB.	<input type="checkbox"/>
LONG. PROB.	<input type="checkbox"/>	TIPO PROB.	<input type="checkbox"/>

Por el metodo

Electrico

<input type="checkbox"/>
<input type="checkbox"/>
<input type="checkbox"/>

Sismico

Gravimetrico

Profundidad de la estructura

Edad mat. a los que afecta

<input type="checkbox"/>
<input type="checkbox"/>

GEOTERMISMO/VOLCANISMO ASOCIADO

Volcanismo	Quimismo o clase _____ Geotermismo	Manantiales	Temperatura
	Edad absoluta <u>? ≈ 8 M.a.</u> <i>Tort Sup - Base del Mesiniense</i>	Sondeo	Profundidad

SISMICIDAD ASOCIADA

HISTORICA

Nº SISMOS \_\_\_\_\_  
 INTENS. MAX. \_\_\_\_\_  
 ISOSISTAS \_\_\_\_\_  
 Relación con la estructura:

INSTRUMENTAL

CORRELACION B P M	Nº SISMOS _____	MAGNITUDES MAX. _____
	PROFUNDIDADES MEDIAS _____	REPLICAS _____
	RUMBO DE LAS MISMAS _____	
	ERROR EPICENTRO _____	ERROR PROF. _____

CORRELACION CON LA FALLA B

B	B (Buena)
P	P (Probable)
M	M (Mala)

CLASE DE ACTIVIDAD

APECTA AL CUATERNARIO  
 APECTA A LA MORFOLOGIA  
 ASOCIADA A SISMICIDAD  
 GEOTERMISMO

	SI	NO	?	CLASIFICACION SEGUN TABLA I
APECTA AL CUATERNARIO		X		<div style="border: 1px solid black; padding: 5px; display: inline-block;">b-2</div>
APECTA A LA MORFOLOGIA	X			
ASOCIADA A SISMICIDAD			X	
GEOTERMISMO			X	

### FICHA DE FALLA

Nº 18 DENOMINACION SITUACION  
 SISTEMA MAZARRON ZONA BETICA  
 FALLA W. de S<sup>ra</sup> de las Moreras DOMINIO \_\_\_\_\_  
 SECTOR \_\_\_\_\_ CUENCA MAZARRON  
 Fecha: 25-9-90 Autor: C. Souz de Galdeano

Para las fallas bien visibles en superficie:

GEOMETRIA

LONGITUD > 2 km  
 RUMBO N45°E  
 BUZAMIENTO 80°NW

ANALISIS TECTO/NEO/EVOLUTIVO

Sobre la misma estructura       En estructuras menores asociadas

EDAD DE LOS MATERIALES AFECTADOS	TIPIFICACION				REGIMEN TECTONICO		ESFUERZOS	SALTOS	
	NORMAL	DESGARRE		INVERSA	COMPRESION	DISTENSION	DIRECCION DE $\sigma_1$ O $\sigma_3$ EN LA HORIZONTAL	EN	EN
	MIXTA	L	D	MIXTA				HORIZ.	VERT.
PRE-TORT.									
TORT-INF.									
TORT-SUP.									
MESSIN.									
PLIOCENO									
PLIO-CUAT.									
ATERNARIO									

ASPECTO Y NATURALEZA DE LOS MAT. AFECTADOS  
 AL Alpújaride

EL RELLENO

-Relación con las estructuras mayores o con otras fallas importantes:  
 Paralela y posiblemente conjugada con la falla de la Majada (17).

Analisis realizado por:  
 Idem.

Para todas las fallas

TECTO-SEDIMENTACION

FALLA DETECTADA POR ESTE METODO	SI	RUMBO PROB.	BUZ. PROB.
	NO	LONG. PROB.	TIPO PROB.

Breve descripción de la influencia en las características de la sedimentación y edad de los materiales

GEOMORFOLOGIA

FALLA DETECTADA POR ESTE METODO	×	RUMBO PROB.	BUZ. PROB.
SE OBSERVA COMO LINEAMIENTO?		LONG. PROB.	TIPO PROB.

ANOMALIAS GEOMORFOLOGICAS LIGADAS Y/O PROB. LIGADAS

EN EL RELIEVE O LADERAS

EN LA RED HIDROG.

OTROS

Escarpe de fallas	×	Valles colgados	
Caras afacetadas		Capturas	
Basculamientos		Encajamientos	
Encajamientos		Inflexiones	
Solapes		Difluencias	
		Cambios bruscos en el perfil	

GEOFISICA

FALLA DETECTADA POR ESTE METODO	RUMBO PROB.	BUZ. PROB.
	LONG. PROB.	TIPO PROB.

Por el metodo	Electrico	
	Sismico	
	Gravimetrico	

Profundidad de la estructura	
Edad mat. a los que afecta	

GEOTERMISMO/VOLCANISMO ASOCIADO

Volcanismo	Quimismo o clase _____	Geotermismo	Manantiales	<input type="checkbox"/>	Temperatura	<input type="checkbox"/>
	Edad absoluta _____		Sondeo	<input type="checkbox"/>	Profundidad	<input type="checkbox"/>

SISMICIDAD ASOCIADA

HISTORICA

INSTRUMENTAL

Nº SISMOS \_\_\_\_\_ CORRELACION B

INTENS. MAX. \_\_\_\_\_ P

ISOSISTAS \_\_\_\_\_ M

Relación con la estructura:

Nº SISMOS \_\_\_\_\_ MAGNITUDES MAX. \_\_\_\_\_

PROFUNDIDADES MEDIAS \_\_\_\_\_ REPLICAS \_\_\_\_\_

RUMBO DE LAS MISMAS \_\_\_\_\_

ERROR EPICENTRO \_\_\_\_\_ ERROR PROF. \_\_\_\_\_

CORRELACION CON LA FALLA B

P

M

B (Buena)  
P (Probable)  
M (Mala)

CLASE DE ACTIVIDAD

- APECTA AL CUATERNARIO
- APECTA A LA MORFOLOGIA
- ASOCIADA A SISMICIDAD
- GEOTERMISMO

	SI	NO	?	CLASIFICACION		
				SEGUN	TABLA	I
APECTA AL CUATERNARIO		X				
APECTA A LA MORFOLOGIA	X					
ASOCIADA A SISMICIDAD		X				
GEOTERMISMO		X				

b-2

**FICHA DE FALLA**

Nº 19 DENOMINACION \_\_\_\_\_ SITUACION \_\_\_\_\_  
 SISTEMA HAZARRON ZONA Bética  
 FALLA E. de la SE de Las Moreras DOMINIO \_\_\_\_\_  
 SECTOR Sur de Mazarron CUENCA Mazarron  
 Fecha: 26-9-90 Autor: C. Scuz de Galdeano

Para las fallas bien visibles en superficie:

**GEOMETRIA**

LONGITUD 2 km.  
 RUMBO N40°E  
 BUZAMIENTO 90°

**ANALISIS TECTO/NEO/EVOLUTIVO**

Sobre la misma estructura       En estructuras menores asociadas

EDAD DE LOS MATERIALES AFECTADOS	TIPIFICACION				REGIMEN TECTONICO		ESFUERZOS	SALTOS	
	NORMAL	DESGARRE		INVERSA	COMPRESION	DISTENSION	DIRECCION DE $\sigma_1$ , $\sigma_2$ , $\sigma_3$ EN LA HORIZONTAL	EN HORIZ.	EN VERT.
	MIXTA	L	D	MIXTA					
PRE-TORT.							$\sigma_1 \sim N10^\circ$	?	>250 m.
TORT-INF.	X	X			X	X	$\sigma_3 \sim N100^\circ$		
TORT-SUP.			X ?						
MESSIN.									
PLIOCENO									
PLIC-COAT.									
CUATERNARIO									

**ASPECTO Y NATURALEZA DE LOS MAT. AFECTADOS**

Alpujarride. El Messiniense y el Plioceno parecen localizar la falla.

**EL RELLENO**

Brecha

-Relación con las estructuras mayores o con otras fallas importantes:

Sensiblemente paralela a la falla del borde W. de la Cuenca de Mazarron (18). Fuente (un poco sulfurosa) en la playa, justo en el cruce con la falla del Sur de la Sierra de las Moreras (27)

Analisis realizado por:

idem.

Para todas las fallas

TECTO-SEDIMENTACION

FALLA DETECTADA POR ESTE METODO	SI	
	NO	

RUMBO PROB.		BUZ. PROB.	
LONG. PROB.		TIPO PROB.	

Breve descripción de la influencia en las características de la sedimentación y edad de los materiales

GEOMORFOLOGIA

FALLA DETECTADA POR ESTE METODO	<i>cu parte</i>
SE OBSERVA COMO LINEAMIENTO?	

RUMBO PROB.		BUZ. PROB.	
LONG. PROB.		TIPO PROB.	

ANOMALIAS GEOMORFOLOGICAS LIGADAS Y/O PROB. LIGADAS

EN EL RELIEVE O LADERAS

EN LA RED HIDROG.

OTROS

- Escarpe de fallas
- Caras afacetadas
- Basculamientos
- Encajamientos
- Solapes

- Valles colgados
- Capturas
- Encajamientos
- Inflexiones
- Difluencias
- Cambios bruscos en el perfil

GEOFISICA

FALLA DETECTADA POR ESTE METODO	
---------------------------------	--

RUMBO PROB.		BUZ. PROB.	
LONG. PROB.		TIPO PROB.	

- Por el metodo
- Electrico
  - Sismico
  - Gravimetrico

- Profundidad de la estructura
- Edad mat. a los que afecta

GEOTERMISMO/VOLCANISMO ASOCIADO

Volcanismo	Quimismo o clase _____	Geotermismo	Manantiales	[ ]	Temperatura	[ ]
	Edad absoluta _____		Sondeo	[ ]	Profundidad	[ ]

SISMICIDAD ASOCIADA

HISTORICA

Nº SISMOS \_\_\_\_\_

MENS. MAX. \_\_\_\_\_

ISOSISTAS \_\_\_\_\_

Relación con la estructura:

INSTRUMENTAL


B	Nº SISMOS _____	MAGNITUDES MAX. _____
P	PROFUNDIDADES MEDIAS _____	REPLICAS _____
M	RUMBO DE LAS MISMAS _____	ERROR EPICENTRO _____
	ERROR PROF. _____	

CORRELACION CON LA FALLA

B	[ ]	B (Buena)
P	[ ]	P (Probable)
M	[ ]	M (Mala)

CLASE DE ACTIVIDAD

- APECTA AL CUATERNARIO
- APECTA A LA MORFOLOGIA
- ASOCIADA A SISMICIDAD
- GEOTERMISMO

	SI	NO	?	CLASIFICACION SEGUN TABLA I
APECTA AL CUATERNARIO		x		<div style="border: 1px solid black; padding: 5px; display: inline-block;">  </div>
APECTA A LA MORFOLOGIA	x			
ASOCIADA A SISMICIDAD		x		
GEOTERMISMO			x	



**FICHA DE FALLA**

Nº 26 DENOMINACION SISTEMA CUÑA DE AGUILAS SITUACION ZONA BÉTICA  
 FALLA SE. de Lomo de Bas DOMINIO \_\_\_\_\_  
 SECTOR Lomo de Bas CUENCA \_\_\_\_\_  
 Fecha: 25-9-90 Autor: C. Sanz de Galdeano

Para las fallas bien visibles en superficie:

GEOMETRIA

LONGITUD > 13 km  
 RUMBO 2 N 75° E  
 BUZAMIENTO Vertical

ANALISIS TECTO/NEO/EVOLUTIVO

Sobre la misma estructura       En estructuras menores asociadas

EDAD DE LOS MATERIALES AFECTADOS	TIPIFICACION				REGIMEN TECTONICO		ESFUERZOS	SALTOS	
	NORMAL	DESCARRE		INVERSA	COMPRESION	DISTENSION	DIRECCION DE $\sigma_1$ , $\sigma_2$ , $\sigma_3$ EN LA HORIZONTAL	EN	EN
	MIXTA	L	D	MIXTA				HORIZ.	VERT.
PRE-TORT.	x		?					?	> 400m
TORT-INF.									
TORT-SUP.									
MESSIN.									
PLIOCENO									
PLIO-CUAT.									
CUATERNARIO									

**ASPECTO Y NATURALEZA DE LOS MAT. AFECTADOS**

*Nevedo - Filabánide y Alpujárnide. La edad de la falla puede ser del Mioceno superior - Tort. inf. o posterior. En el extremo E. se puede dividir en dos ramas*

**EL RELLENO**

-Relación con las estructuras mayores o con otras fallas importantes:

*Borde Sur del Lomo de Bas. Parte de la diferencia de nivel entre el Lomo y el Cuaternario puede ser debida a plegamiento y no a falla.*

Analisis realizado por:

*idem.*

Para todas las fallas

TECTO-SEDIMENTACION

FALLA DETECTADA POR ESTE METODO	SI		RUMBO PROB.		BUZ. PROB.	
	NO	X	LONG. PROB.		TIPO PROB.	

Breve descripción de la influencia en las características de la sedimentación y edad de los materiales

GEOMORFOLOGIA

FALLA DETECTADA POR ESTE METODO	<i>en perfil</i>		RUMBO PROB.		BUZ. PROB.	
SE OBSERVA COMO LINEAMIENTO?	X		LONG. PROB.		TIPO PROB.	

ANOMALIAS GEOMORFOLOGICAS LIGADAS Y/O PROB. LIGADAS

EN EL RELIEVE O LADERAS

EN LA RED HIDROG.

OTROS

Escarpe de fallas	X	Valles colgados	
Caras afacetadas		Capturas	
Basculamientos		Encajamientos	
Encajamientos		Inflexiones	
Solapas		Difluencias	
		Cambios bruscos en el perfil	

GEOFISICA

FALLA DETECTADA POR ESTE METODO		RUMBO PROB.		BUZ. PROB.	
		LONG. PROB.		TIPO PROB.	

Por el metodo

Electrico	
Sismico	
Gravimetrico	

Profundidad de la estructura	
Edad mat. a los que afecta	

GEOTERMISMO/VOLCANISMO ASOCIADO

Volcanismo	Quiémsmo o clase _____ Geotermismo Edad absoluta _____	Manantiales  Sondeo	<input style="width: 100%; height: 100%; border: 1px solid black;" type="text"/> <input style="width: 100%; height: 100%; border: 1px solid black;" type="text"/>	Temperatura  Profundidad
------------	---	---------------------------	--	--------------------------------

SISMICIDAD ASOCIADA

HISTORICA

Nº SISMOS \_\_\_\_\_  
 INTENS. MAX. \_\_\_\_\_  
 ISOSISTAS \_\_\_\_\_  
 Relación con la estructura:

INSTRUMENTAL

CORRELACION B	B	Nº SISMOS _____	MAGNITUDES MAX. _____
P	P	PROFUNDIDADES MEDIAS _____	REPLICAS _____
M	M	RUMBO DE LAS MISMAS _____	ERROR EPICENTRO _____
		ERROR PROF. _____	

CORRELACION CON LA FALLA B

B	B (Buena)
P	P (Probable)
M	M (Mala)

CLASE DE ACTIVIDAD

- APECTA AL CUATERNARIO
- APECTA A LA MORFOLOGIA
- ASOCIADA A SISMICIDAD
- GEOTERMISMO

	SI	NO	?	CLASIFICACION SEGUN TABLA I
APECTA AL CUATERNARIO		×		<div style="border: 1px solid black; padding: 5px; width: fit-content; margin: 0 auto;">                     b-2                 </div>
APECTA A LA MORFOLOGIA	×			
ASOCIADA A SISMICIDAD			×	
GEOTERMISMO		×		

**FICHA DE FALLA**

Nº 21 DENOMINACION SITUACION  
 SISTEMA CUÑA DE AGUILAS ZONA BETICA  
 FALLA Los Casicos DOMINIO \_\_\_\_\_  
 SECTOR NNW de Lope CUENCA \_\_\_\_\_  
 Fecha: 25-9-90 Autor: C. Souza de Galdeanos

Para las fallas bien visibles en superficie:

GEOMETRIA

LONGITUD > 7 km.  
 RUMBO N60°E  
 BUZAMIENTO Vertical

ANALISIS TECTO/NEO/EVOLUTIVO

Sobre la misma estructura       En estructuras menores asociadas

EDAD DE LOS MATERIALES AFECTADOS	TIPIFICACION			REGIMEN TECTONICO		ESFUERZOS	SALTOS		
	NORMAL	DESGARRE		INVERSA	COMPRESION	DISTENSION	DIRECCION DE $\sigma_1$ , $\sigma_2$ , EN LA HORIZONTAL	EN HORIZ.	EN VERT.
	MIXTA	L	D	MIXTA					
PRE-TORT.		x →			?		$\sigma_1$ E-W?	?	>100 m.
TORT-INF.									
TORT-SUP.									
MESSIN.									
PLIOCENO									
PLIO-CUAT.									
CUATERNARIO									

ASPECTO Y NATURALEZA DE LOS MAT. AFECTADOS

Se ven afectados la materiales alpujardicos.

EL RELLENO

-Relación con las estructuras mayores o con otras fallas importantes:

Casi paralela a falla de Lomo de Bcs (20). En realidad en el sector hay otras tres similares y paralelas.

Analisis realizado por:

idem.

Para todas las fallas

TECTO-SEDIMENTACION

FALLA DETECTADA POR ESTE METODO	SI		RUMBO PROB.		BUZ. PROB.	
	NO	X	LONG. PROB.		TIPO PROB.	

Breve descripción de la influencia en las características de la sedimentación y edad de los materiales

GEOMORFOLOGIA

FALLA DETECTADA POR ESTE METODO	SI		RUMBO PROB.		BUZ. PROB.	
SE OBSERVA COMO LINEAMIENTO?			LONG. PROB.		TIPO PROB.	

ANOMALIAS GEOMORFOLOGICAS LIGADAS Y/O PROB. LIGADAS

EN EL RELIEVE O LADERAS

EN LA RED HIDROG.

OTROS

Escarpe de fallas  
Caras afacetadas  
Bascamientos  
Encajamientos  
Solapes

X

Valles colgados  
Capturas  
Encajamientos  
Inflexiones  
Difluencias  
Cambios bruscos en el perfil


GEOFISICA

FALLA DETECTADA POR ESTE METODO	
---------------------------------	--

RUMBO PROB.		BUZ. PROB.	
LONG. PROB.		TIPO PROB.	

Por el metodo Electrico  
Sismico  
Gravimetrico


Profundidad de la estructura  
Edad mat. a los que afecta


GEOTERMISMO/VOLCANISMO ASOCIADO

Volcanismo	Quimismo o clase _____	Geotermismo	Manantiales	<input type="checkbox"/>	Temperatura	<input type="checkbox"/>
	Edad absoluta _____		Sondeo	<input type="checkbox"/>	Profundidad	<input type="checkbox"/>

SISMICIDAD ASOCIADA

HISTORICA

Nº SISMOS \_\_\_\_\_

INTENS. MAX. \_\_\_\_\_

ISOSISTAS \_\_\_\_\_

Relación con la estructura:

INSTRUMENTAL

CORRELACION	B	Nº SISMOS _____	MAGNITUDES MAX. _____
	P	PROPUNDDIDADES MEDIAS _____	REPLICAS _____
	M	RUMEO DE LAS MISMAS _____	ERROR EPICENTRO _____
		ERROR PROF. _____	

CORRELACION CON LA FALLA B

P

M

B (Buena)  
P (Probable)  
M (Mala)

CLASE DE ACTIVIDAD

- APECTA AL CUATERNARIO
- APECTA A LA MORFOLOGIA
- ASOCIADA A SISMICIDAD
- GEOTERMISMO

	SI	NO	?	CLASIFICACION		
				SEGUN	TABLA	I
APECTA AL CUATERNARIO		X		<div style="border: 1px solid black; padding: 5px; display: inline-block;">           6-2         </div>		
APECTA A LA MORFOLOGIA	X					
ASOCIADA A SISMICIDAD			?			
GEOTERMISMO		X				

**FICHA DE FALLA**

Nº 22 DENOMINACION SISTEMA CUNYA DE AGUILAS SITUACION ZONA BETICA  
 FALLA de AGUILAS DOMINIO \_\_\_\_\_  
 SECTOR \_\_\_\_\_ CUENCA AGUILAS  
 Fecha: 25-9-90 Autor: C. Sanz de Galdeano  
 y T. Berdaji

Para las fallas bien visibles en superficie:

**GEOMETRIA**

LONGITUD > 4 km  
 RUMBO N75°E  
 BUZAMIENTO ~ Vertical

**ANALISIS TECTO/NEO/EVOLUTIVO**

Sobre la misma estructura       En estructuras menores asociadas

EDAD DE LOS MATERIALES AFECTADOS	TIPIFICACION				REGIMEN TECTONICO		ESFUERZOS	SALTOS	
	NORMAL	DESCARRE		INVERSA	COMPRESION	DISTENSION	DIRECCION DE $\sigma_1$ O $\sigma_3$ EN LA HORIZONTAL	EN	EN
	MIXTA	L	D	MIXTA				HORIZ.	VERT.
PRE-TORT.									
TORT-INF.	X		X		X		$\sigma_1 \sim E-W$	?	
TORT-SUP.									
MESSIN.									
PLIOCENO									
PLIO-CUAT.	X					X	$\sigma_3 \sim N-S$		~100 m
CUATERNARIO		X	X		X		$\sigma_1 \sim 180^\circ E$		

**ASPECTO Y NATURALEZA DE LOS MAT. AFECTADOS**

Alpujarras y margas del Mioceno medio a Tort. inf.? El Plioceno proximo afectado por fracturas de tension. Afecta igualmente a abanicos aluviales cuaternarios, a derrubios y a la barrera colitica Tirreniense (T-II).

**EL RELLENO**

-Relación con las estructuras mayores o con otras fallas importantes:

Falla paralela a las de las bordas del  
 Lomo de Bas (20)

Analisis realizado por:

C. Sanz de Galdeano,  
 T. Berdaji

Para todas las fallas

TECTO-SEDIMENTACION

FALLA DETECTADA POR ESTE METODO	SI	<input checked="" type="checkbox"/>
	NO	<input type="checkbox"/>

RUMBO PROB.		BUZ. PROB.	
LONG. PROB.		TIPO PROB.	

Breve descripción de la influencia en las características de la sedimentación y edad de los materiales

GEOMORFOLOGIA

FALLA DETECTADA POR ESTE METODO	<input checked="" type="checkbox"/>
SE OBSERVA COMO LINEAMIENTO?	<input checked="" type="checkbox"/>

RUMBO PROB.	N60°	BUZ. PROB.	
LONG. PROB.		TIPO PROB.	

ANOMALIAS GEOMORFOLOGICAS LIGADAS Y/O PROB. LIGADAS

EN EL RELIEVE O LADERAS

EN LA RED HIDROG.

OTROS

Escarpe de fallas

Valles colgados

Caras afacetadas

Capturas

Basculamientos

Encajamientos

Encajamientos

Inflexiones

Solapes

Difluencias

Cambios bruscos en el perfil

GEOFISICA

FALLA DETECTADA POR ESTE METODO	<input type="checkbox"/>
---------------------------------	--------------------------

RUMBO PROB.		BUZ. PROB.	
LONG. PROB.		TIPO PROB.	

Por el metodo

Electrico

Profundidad de la estructura

--

Sismico

Edad mat. a los que afecta

Gravimetrico



**GEOTERMISMO/VOLCANISMO ASOCIADO**

Volcanismo	Quimismo o clase _____	Geotermaismo	Manantiales	<input type="text"/>	Temperatura	<input type="text"/>
	Edad absoluta _____		Sondeo	<input type="text"/>	Profundidad	<input type="text"/>

**SISMICIDAD ASOCIADA**

HISTORICA

Nº SISMOS \_\_\_\_\_

INTENS. MAX. \_\_\_\_\_

ISOSISTAS \_\_\_\_\_

Relación con la estructura:

INSTRUMENTAL

CORRELACION	B P M	<input type="text"/>	Nº SISMOS _____	MAGNITUDES MAX. _____
		<input type="text"/>	PROFUNDIDADES MEDIAS _____	REPLICAS _____
		<input type="text"/>	RUMBO DE LAS MISMAS _____	
		<input type="text"/>	ERROR EPICENTRO _____	ERROR PROF. _____

CORRELACION CON LA FALLA

B	<input type="text"/>	B (Buena)
P	<input type="text"/>	P (Probable)
M	<input type="text"/>	M (Mala)

CLASE DE ACTIVIDAD

- APECTA AL CUATERNARIO
- APECTA A LA MORFOLOGIA
- ASOCIADA A SISMICIDAD
- GEOTERMISMO

	SI	NO	?	CLASIFICACION		
				SEGUN	TABLA	I
APECTA AL CUATERNARIO	x			<div style="border: 1px solid black; padding: 5px; display: inline-block;">a-I</div>		
APECTA A LA MORFOLOGIA	x					
ASOCIADA A SISMICIDAD			x			
GEOTERMISMO		x				

**FICHA DE FALLA**

Nº 23 DENOMINACION SITUACION  
 SISTEMA CUÑA DE AGUILAS ZONA BETICA  
 FALLA Yegua Blanca DOMINIO \_\_\_\_\_  
 SECTOR Loma de Bas. CUENCA \_\_\_\_\_  
 Fecha: 25-9-90 Autor: C. Sanz de Galdeano

Para las fallas bien visibles en superficie:

GEOMETRIA

LONGITUD  
 RUMBO 2 N 75° E  
 BUZAMIENTO

ANALISIS TECTO/NEO/EVOLUTIVO

Sobre la misma estructura       En estructuras menores asociadas

EDAD DE LOS MATERIALES AFECTADOS	TIPIFICACION				REGIMEN TECTONICO		ESFUERZOS	SALTOS	
	NORMAL	DESGARRE		INVERSA	COMPRESION	DISTENSION	DIRECCION DE $\sigma_1$ O $\sigma_3$ EN LA HORIZONTAL	EN	EN
	MIXTA	L	D	MIXTA				HORIZ.	VERT.
PRE-TORT.									
TORT-INF.									
TORT-SUP.									
MESIN.									
MIOCENO									
PLIO-QUAT.									
CUATERNARIO									

ASPECTO Y NATURALEZA DE LOS MAT. AFECTADOS

*Nevedo-Filabride*

RELLENO

-Relación con las estructuras mayores o con otras fallas importantes:

*Paralela a las del borde S. del propio Loma de Bas (25).*

Analisis realizado por:

Para todas las fallas

TECTO-SEDIMENTACION

FALLA DETECTADA POR ESTE METODO	SI	<input type="checkbox"/>
	NO	<input checked="" type="checkbox"/>

RUMBO PROB.	<input type="checkbox"/>	BUZ. PROB.	<input type="checkbox"/>
LONG. PROB.	<input type="checkbox"/>	TIPO PROB.	<input type="checkbox"/>

Breve descripción de la influencia en las características de la sedimentación y edad de los materiales

GEOMORFOLOGIA

FALLA DETECTADA POR ESTE METODO	<input checked="" type="checkbox"/>
SE OBSERVA COMO LINEAMIENTO?	<input type="checkbox"/>

RUMBO PROB.	N80°	BUZ. PROB.	90°
LONG. PROB.	7 Km.	TIPO PROB.	Dorsale D. + Oblicuo normal

ANOMALIAS GEOMORFOLOGICAS LIGADAS Y/O PROB. LIGADAS

EN EL RELIEVE O LADERAS

EN LA RED HIDROG.

OTROS

- Escarpe de fallas
- Caras afacetadas
- Basculamientos
- Encajamientos
- Solapes

<input checked="" type="checkbox"/>
<input type="checkbox"/>
<input type="checkbox"/>
<input type="checkbox"/>
<input type="checkbox"/>

- Valles colgados
- Capturas
- Encajamientos
- Inflexiones
- Difluencias
- Cambios bruscos en el perfil

<input type="checkbox"/>
<input type="checkbox"/>
<input type="checkbox"/>
<input type="checkbox"/>
<input type="checkbox"/>
<input type="checkbox"/>

GEOFISICA

FALLA DETECTADA POR ESTE METODO	<input type="checkbox"/>
---------------------------------	--------------------------

RUMBO PROB.	<input type="checkbox"/>	BUZ. PROB.	<input type="checkbox"/>
LONG. PROB.	<input type="checkbox"/>	TIPO PROB.	<input type="checkbox"/>

- Por el metodo Electrico
- Sismico
- Gravimetrico

<input type="checkbox"/>
<input type="checkbox"/>
<input type="checkbox"/>

- Profundidad de la estructura
- Edad mat. a los que afecta

<input type="checkbox"/>
<input type="checkbox"/>

GEOTERMISMO/VOLCANISMO ASOCIADO

Volcanismo	Quimismo o clase _____	Geotermismo	Manantiales	<input type="checkbox"/>	Temperatura	<input type="checkbox"/>
	Edad absoluta _____		Sondeo	<input type="checkbox"/>	Profundidad	<input type="checkbox"/>

SISMICIDAD ASOCIADA

HISTORICA

NO SISMOS \_\_\_\_\_

INTENS. MAX. \_\_\_\_\_

ISOCOSTAS \_\_\_\_\_

Relación con la estructura:

INSTRUMENTAL

CORRELACION	B <input type="checkbox"/>	NO SISMOS _____	MAGNITUDES MAX. _____
	P <input type="checkbox"/>	PROFUNDIDADES MEDIAS _____	REPLICAS _____
	M <input type="checkbox"/>	RUMBO DE LAS MISMAS _____	ERROR EPICENTRO _____
		ERROR PROF. _____	

CORRELACION CON LA FALLA B 

P 

M 

B (Buena)

P (Probable)

M (Mala)

CLASE DE ACTIVIDAD

- APECTA AL CUATERNARIO
- APECTA A LA MORFOLOGIA
- ASOCIADA A SISMICIDAD
- GEOTERMISMO

	SI	NO	?	CLASIFICACION SEGUN TABLA I		
APECTA AL CUATERNARIO		X		<div style="border: 1px solid black; padding: 5px; display: inline-block;">                     b-2                 </div>		
APECTA A LA MORFOLOGIA	X					
ASOCIADA A SISMICIDAD		X				
GEOTERMISMO		X				

### FICHA DE FALLA

Nº24 DENOMINACION SITUACION  
 SISTEMA CUÑA DE AGUILAS ZONA BETICA  
 FALLA Ramonete DOMINIO \_\_\_\_\_  
 SECTOR N. de Lomo de Bas CUENCA de Ramonete  
 Fecha: 26-9-90 Autor: C. Sanz de Galdeano y T. Bardaji  
 Para las fallas bien visibles en superficie:

GEOMETRIA

LONGITUD > 5 km.  
 RUMBO N90°-110°E  
 BUZAMIENTO 70°S = 90°

ANALISIS TECTO/NEO/EVOLUTIVO

Sobre la misma estructura       En estructuras menores asociadas

EDAD DE LOS MATERIALES AFECTADOS	TIPIFICACION				REGIMEN TECTONICO		ESFUERZOS	SALTOS	
	NORMAL	DESGARRE		INVERSA	COMPRESION	DISTENSION	DIRECCION DE $\sigma_1$ O $\sigma_2$ EN LA HORIZONTAL	EN	EN
	MIXTA	L	D	MIXTA				HORIZ.	VERT.
PRE-TORT.			←*		*		$\sigma_1 \approx N110^\circ$	?	> 150 m.
TORT-INF.									
TORT-SUP.									
MESSIN.									
PLIOCENO									
PLIO-CUAT.									
CUATERNARIO		* ←							

**ASPECTO Y NATURALEZA DE LOS MAT. AFECTADOS**

Alpujarride y Mioceno medio cabalgado.  
 Afecta a los depósitos marinos del Pleistoceno inferior-medio, generando una zona subsidente en la cuenca de Ramonete

**EL RELLENO**

-Relación con las estructuras mayores o con otras fallas importantes:

Paralela y posiblemente coetánea con las fallas del Sur del Lomo de Bas (2C). Se relaciona con el arco de Aguila y la falla de Pozo del Esperto, activa desde el Mioceno Medio.

Análisis realizado por:

idem

Para todas las fallas

TECTO-SEDIMENTACION

FALLA DETECTADA POR ESTE METODO	SI	<input checked="" type="checkbox"/>
	NO	<input type="checkbox"/>

RUMBO PROB.		BUZ. PROB.	
LONG. PROB.		TIPO PROB.	

Breve descripción de la influencia en las características de la sedimentación y edad de los materiales  
*Genera una cuenca subsidente (límite el Sur de la Cuenca) desde el Plioceno sup-  
 plioceno. Así mismo afecta a la "abscisión deltoica" cuaternaria de la Rambla de  
 Ramonote.*

GEOMORFOLOGIA

FALLA DETECTADA POR ESTE METODO	<i>en parte</i>	<input checked="" type="checkbox"/>
SE OBSERVA COMO LINEAMIENTO?		<input checked="" type="checkbox"/>

RUMBO PROB.		BUZ. PROB.	
LONG. PROB.		TIPO PROB.	

ANOMALIAS GEOMORFOLOGICAS LIGADAS Y/O PROB. LIGADAS

EN EL RELIEVE O LADERAS

Escarpe de fallas	<input checked="" type="checkbox"/>
Caras afacetadas	<input type="checkbox"/>
Basculamientos	<input type="checkbox"/>
Encajamientos	<input type="checkbox"/>
Solapes	<input type="checkbox"/>

EN LA RED HIDROG.

Valles colgados	<input type="checkbox"/>
Capturas	<input type="checkbox"/>
Encajamientos	<input checked="" type="checkbox"/>
Inflexiones	<input checked="" type="checkbox"/>
Difluencias	<input type="checkbox"/>
Cambios bruscos en el perfil	<input type="checkbox"/>

OTROS

GEOFISICA

FALLA DETECTADA POR ESTE METODO	Si
---------------------------------	----

RUMBO PROB.	<i>WNW</i>	BUZ. PROB.	
LONG. PROB.		TIPO PROB.	

Por el metodo	Electrico	<input checked="" type="checkbox"/>
	Sismico	<input type="checkbox"/>
	Gravimetrico	<input type="checkbox"/>

Profundidad de la estructura	
Edad mat. a los que afecta	

GEOTERMISMO/VOLCANISMO ASOCIADO

Volcanismo	Quimismo o clase _____ Geotermismo	Manantiales		Temperatura	
	Edad absoluta _____	Sondeo		Profundidad	

SISMICIDAD ASOCIADA

HISTORICA

Nº SISMOS \_\_\_\_\_

INTENS. MAX. \_\_\_\_\_

ISOSISTAS \_\_\_\_\_

Relación con la estructura:

INSTRUMENTAL


		Nº SISMOS _____	MAGNITUDES MAX. _____
CORRELACION B		PROPUNDDIDADES MEDIAS _____	REPLICAS _____
P		RUMBO DE LAS MISMAS _____	
M		ERROR EPICENTRO _____	ERROR PROF. _____

CORRELACION CON LA FALLA B

		B (Buena)
P		P (Probable)
M		M (Mala)

CLASE DE ACTIVIDAD

- APECTA AL CUATERNARIO
- APECTA A LA MORFOLOGIA
- ASOCIADA A SISMICIDAD
- GEOTERMISMO

	SI	NO	?	CLASIFICACION SEGUN TABLA I
APECTA AL CUATERNARIO	×			<div style="border: 1px solid black; padding: 5px; text-align: center;">  </div>
APECTA A LA MORFOLOGIA	×			
ASOCIADA A SISMICIDAD			×	
GEOTERMISMO		×		

**FICHA DE FALLA**

Nº 25 DENOMINACION SISTEMA CUÑA DE AGUILAS SITUACION ZONA BETICA  
 FALLA de Ramble de Ugijer DOMINIO \_\_\_\_\_  
 SECTOR \_\_\_\_\_ CUENCA \_\_\_\_\_  
 Fecha: 26-9-90 Autor: C. Saiz de Galdano

Para las fallas bien visibles en superficie:

GEOMETRIA

LONGITUD 22 Km.  
 RUMBO N110°E  
 BUZAMIENTO ~ 40°N

ANALISIS TECTO/NEO/EVOLUTIVO

Sobre la misma estructura       En estructuras menores asociadas

EDAD DE LOS MATERIALES AFECTADOS	TIPIFICACION				REGIMEN TECTONICO		ESFUERZOS	SALTOS	
	NORMAL	DESGARRE		INVERSA	COMPRESION	DISTENSION	DIRECCION DE $\sigma_1$ O $\sigma_2$ EN LA HORIZONTAL	EN	EN
	MIXTA	L	D	MIXTA				HORIZ.	VERT.
PRE-TORT.				x	x		<u><math>\sigma_1</math> ~ N-S</u>	?	>200 m.
TORT-IMP.									
TORT-SUP.									
MESSIN.									
PLIOCENO									
PLIO-CUAT.									
CUATERNARIO									

ASPECTO Y NATURALEZA DE LOS MAT. AFECTADOS

*Alpujarride cabalgante sobre Mésica Medio.*

EL RELLENO

-Relación con las estructuras mayores o con otras fallas importantes:

*Posiblemente es una escama relacionada con movimientos de desgarre*

Analisis realizado por:

*idem*



Para todas las fallas

TECTO-SEDIMENTACION

FALLA DETECTADA POR ESTE METODO	SI	
	NO	X

RUMBO PROB.		BUZ. PROB.	
LONG. PROB.		TIPO PROB.	

Breve descripción de la influencia en las características de la sedimentación y edad de los materiales

GEOMORFOLOGIA

FALLA DETECTADA POR ESTE METODO	<i>en parte</i>
SE OBSERVA COMO LINEAMIENTO?	

RUMBO PROB.		BUZ. PROB.	
LONG. PROB.		TIPO PROB.	

ANOMALIAS GEOMORFOLOGICAS LIGADAS Y/O PROB. LIGADAS

EN EL RELIEVE O LADERAS

Escarpe de fallas	X
Caras afacetadas	
Basculamientos	
Encajamientos	
Solapes	

EN LA RED HIDROG.

Valles colgados	
Capturas	
Encajamientos	
Inflexiones	
Difluencias	
Cambios bruscos en el perfil	

OTROS

GEOFISICA

FALLA DETECTADA POR ESTE METODO	
---------------------------------	--

RUMBO PROB.		BUZ. PROB.	
LONG. PROB.		TIPO PROB.	

Por el metodo	Electrico	
	Sismico	
	Gravimetrico	

Profundidad de la estructura	
Edad mat. a los que afecta	

**GEOTERMISMO/VOLCANISMO ASOCIADO**

Volcanismo	Quimismo o clase _____	Geotermismo	Manantiales		Temperatura	
	Edad absoluta _____		Sondeo		Profundidad	

**SISMICIDAD ASOCIADA**

HISTORICA

Nº SISMOS \_\_\_\_\_ CORRELACION B

INTENS. MAX. \_\_\_\_\_ P

ISOSISTAS \_\_\_\_\_ M

Relación con la estructura:

INSTRUMENTAL

Nº SISMOS \_\_\_\_\_ MAGNITUDES MAX. \_\_\_\_\_

PROPUNDDIDADES MEDIAS \_\_\_\_\_ REPLICAS \_\_\_\_\_

RUMBO DE LAS MISMAS \_\_\_\_\_

ERROR EPICENTRO \_\_\_\_\_ ERROR PROF. \_\_\_\_\_

CORRELACION CON LA FALLA B

	B (Buena)
	P (Probable)
	M (Mala)

CLASE DE ACTIVIDAD

- APECTA AL CUATERNARIO
- APECTA A LA MORFOLOGIA
- ASOCIADA A SISMICIDAD
- GEOTERMISMO

	SI	NO	?	CLASIFICACION		
				SEGUN	TABLA	I
APECTA AL CUATERNARIO		×		<div style="border: 1px solid black; padding: 5px; display: inline-block;"> <span style="font-size: 1.2em;">b-2</span> </div>		
APECTA A LA MORFOLOGIA	×					
ASOCIADA A SISMICIDAD		×				
GEOTERMISMO		×				

### FICHA DE FALLA

Nº 26 DENOMINACION SISTEMA MAZARRON SITUACION ZONA BETICA  
 FALLA de MORATA DOMINIO \_\_\_\_\_  
 SECTOR SW de la Cuenca de Mazarron. CUENCA \_\_\_\_\_  
 Fecha: 25-9-90 Autor: C. Souza de Galdeano  
 Para las fallas bien visibles en superficie:

GEOMETRIA

LONGITUD  $\geq 5$  Km  
 RUMBO  $\approx N100^{\circ}E$   
 BUZAMIENTO  $90^{\circ}?$

ANALISIS TECTO/NEO/EVOLUTIVO

Sobre la misma estructura       En estructuras menores asociadas

EDAD DE LOS MATERIALES AFECTADOS	TIPIFICACION				REGIMEN TECTONICO		ESFUERZOS	SALTOS	
	NORMAL	DESGARRE		INVERSA	COMPRESION	DISTENSION	DIRECCION DE $\sigma_1$ O $\sigma_3$ EN LA HORIZONTAL	EN	EN
	MIXTA	L	D	MIXTA				HORIZ.	VERT.
PRE-TORT.									
TORT-INF.									
TORT-SUP.		X	X		X	puede variar X	?		>100 m.
MESSIN.									
PLIOGENO									
PLIO-CUAT.									
CUATERNARIO									

**ASPECTO Y NATURALEZA DE LOS MAT. AFECTADOS**

*Alpujarride, Messiniense y Tortoniense Sup., con salida de material volcánico*

**EL RELLENO**

-Relación con las estructuras mayores o con otras fallas importantes:

*Paralela a las falla que forman el borde N. y S. de la SS de las Moreras (27 y 28).*

Análisis realizado por:

*idem.*

Para todas las fallas

TECTO-SEDIMENTACION

FALLA DETECTADA POR ESTE METODO	SI	
	NO	

RUMBO PROB.		BUZ. PROB.	
LONG. PROB.		TIPO PROB.	

Breve descripción de la influencia en las características de la sedimentación y edad de los materiales

GEOMORFOLOGIA

FALLA DETECTADA POR ESTE METODO	en parte
SE OBSERVA COMO LINEAMIENTO?	

RUMBO PROB.		BUZ. PROB.	
LONG. PROB.		TIPO PROB.	

ANOMALIAS GEOMORFOLOGICAS LIGADAS Y/O PROC. LIGADAS

EN EL RELIEVE O LADERAS

EN LA RED HIDROG.

OTROS

Escarpe de fallas

x

Valles colgados


Caras afacetadas

Capturas

Basculamientos

Encajamientos

Encajamientos

Inflexiones

Solapes

Difluencias

Cambios bruscos en el perfil

GEOFISICA

FALLA DETECTADA POR ESTE METODO	
---------------------------------	--

RUMBO PROB.		BUZ. PROB.	
LONG. PROB.		TIPO PROB.	

Por el metodo Electrico


Profundidad de la estructura


Sismico

Edad mat. a los que afecta

Gravimetrico

GEOTERMISMO/VOLCANISMO ASOCIADO

Volcanismo | Quimismo o clase Calco-alc. patesica | Geotermismo | Manantiales  | Temperatura   
 Edad absoluta ~ 8 m.a | | | Sondeo  | Profundidad

SISMICIDAD ASOCIADA

HISTORICA

Nº SISMOS \_\_\_\_\_  
 INTENS. MAX. \_\_\_\_\_  
 ISOSISTAS \_\_\_\_\_  
 Relación con la estructura:

INSTRUMENTAL

Nº SISMOS \_\_\_\_\_ MAGNITUDES MAX. \_\_\_\_\_  
 PROFUNDIDADES MEDIAS \_\_\_\_\_ REPLICAS \_\_\_\_\_  
 RUMBO DE LAS MISMAS \_\_\_\_\_  
 ERROR EPICENTRO \_\_\_\_\_ ERROR PROF. \_\_\_\_\_

CORRELACION B   
 P   
 M

CORRELACION CON LA FALLA B

B (Buena)  
 P (Probable)  
 M (Mala)

CLASE DE ACTIVIDAD

APECTA AL CUATERNARIO  
 APECTA A LA MORFOLOGIA  
 ASOCIADA A SISMICIDAD  
 GEOTERMISMO

	SI	NO	?	CLASIFICACION SEGUN TABLA I
APECTA AL CUATERNARIO		X		<div style="border: 1px solid black; padding: 5px; display: inline-block;">           b-2         </div>
APECTA A LA MORFOLOGIA	X			
ASOCIADA A SISMICIDAD		X		
GEOTERMISMO			X	

**FICHA DE FALLA**

Nº 27 **DENOMINACION** SISTEMA HAZARRON **SITUACION** ZONA Batica  
**FALLA** de las Moreras **DOMINIO** \_\_\_\_\_  
**SECTOR** S. de S. de las Moreras **CUENCA** Sw. de Hazarron  
**Fecha:** 26-9-90 **Autor:** C. Souza de Galdeano  
**Para las fallas bien visibles en superficie:** y T. Bardaji

**GEOMETRIA**

LONGITUD > 10 km.  
 RUMBO N100-110°E  
 BUZAMIENTO ~90°

**ANALISIS TECTO/NEO/EVOLUTIVO**

Sobre la misma estructura  En estructuras menores asociadas

EDAD DE LOS MATERIALES AFECTADOS	TIPIFICACION				REGIMEN TECTONICO		ESFUERZOS	SALTOS	
	NORMAL	DESGARRE		INVERSA	COMPRESION	DISTENSION	DIRECCION DE $\sigma_1$ O $\sigma_3$ EN LA HORIZONTAL	EN	EN
	MIXTA	L	D	MIXTA				HORIZ.	VERT.
PRE-TORT.									
TORT-INF.									
TORT-SUP.									
MESSIN.		X?	→?		X	X	$\sigma_1 \sim N130^\circ$ $\sigma_3 \sim N-S$	?	>200 m.
PLIO-NO									
PLIO-CUAT.									
CUATERNARIO	X		X						

**ASPECTO Y NATURALEZA DE LOS MAT. AFECTADOS**

Alpuzarnide. Limos, margas y arenas del Mesiniense y Plioceno.  
 Afecta a la sedimentación marina durante el Plioceno superior y el Cuaternario.  
 Marca el límite Norte de la cuenca de Ramona. Afecta al subsiguiente de  
 EL RELLENO abanico aluvial cuaternario.

-Relación con las estructuras mayores o con otras fallas importantes:  
 Similar a la del N. de la S. de las Moreras. En ambas hay una historia complicada, cambiada en el tiempo (28).  
 Se relaciona con el Arco de Aguilas y pertenece al sistema dorsal de dicho Arco.

Analisis realizado por:  
 Idem.

Para todas las fallas

TECTO-SEDIMENTACION

FALLA DETECTADA POR ESTE METODO	SI	<input checked="" type="checkbox"/>	RUMBO PROB.	N-110°	BUZ. PROB.	
	NO		LONG. PROB.		TIPO PROB.	

Breve descripción de la influencia en las características de la sedimentación y edad de los materiales *marca el límite Norte de la cuenca de Ramoneta, generada desde el Mioceno superior como consecuencia del movimiento del Arco de Aguilas.*

GEOMORFOLOGIA

FALLA DETECTADA POR ESTE METODO	<i>su parte</i>	<input checked="" type="checkbox"/>	RUMBO PROB.		BUZ. PROB.	
SE OBSERVA COMO LINEAMIENTO?		<input checked="" type="checkbox"/>	LONG. PROB.		TIPO PROB.	

ANOMALIAS GEOMORFOLOGICAS LIGADAS Y/O PROB. LIGADAS

EN EL RELIEVE O LADERAS

Escarpe de fallas	<input checked="" type="checkbox"/>
Caras afacetadas	<input checked="" type="checkbox"/>
Basculamientos	<input type="checkbox"/>
Encajamientos	<input type="checkbox"/>
Solapes	<input checked="" type="checkbox"/>

EN LA RED HIDROG.

Valles colgados	<input checked="" type="checkbox"/>
Capturas	<input type="checkbox"/>
Encajamientos	<input type="checkbox"/>
Inflexiones	<input type="checkbox"/>
Difluencias	<input type="checkbox"/>
Cambios bruscos en el perfil	<input type="checkbox"/>

OTROS

*Fuente o cita junto al mar, justo en el cruce con la falla del borde W. de la Sierra de la Morera.*

GEOFISICA

FALLA DETECTADA POR ESTE METODO		RUMBO PROB.		BUZ. PROB.	
		LONG. PROB.		TIPO PROB.	

Por el metodo	Electrico	<input type="checkbox"/>
	Sismico	<input type="checkbox"/>
	Gravimetrico	<input type="checkbox"/>

Profundidad de la estructura	<input type="text"/>
Edad mat. a los que afecta	<input type="text"/>

GEOTERMISMO/VOLCANISMO ASOCIADO

Volcanismo	Quimismo o clase _____ Edad absoluta _____	Geotermismo	Manantiales <input type="checkbox"/> Sondeo <input type="checkbox"/>	Temperatura <input type="text"/> Profundidad <input type="text"/>
------------	---	-------------	---	--

SISMICIDAD ASOCIADA

HISTORICA

Nº SISMOS \_\_\_\_\_  
 INTENS. MAX. \_\_\_\_\_  
 ISOSISTAS \_\_\_\_\_  
 Relación con la estructura:

INSTRUMENTAL


CORRELACION	B		Nº SISMOS _____	MAGNITUDES MAX. _____
	P		PROPUNDDIDADES MEDIAS _____	REPLICAS _____
	M		RUMBO DE LAS MISMAS _____	ERROR EPICENTRO _____
			ERROR PROF. _____	

CORRELACION CON LA FALLA

B		B (Buena)
P		P (Probable)
M		M (Mala)

CLASE DE ACTIVIDAD

- APECTA AL CUATERNARIO
- APECTA A LA MORFOLOGIA
- ASOCIADA A SISMICIDAD
- GEOTERMISMO

	SI	NO	?	CLASIFICACION SEGUN TABLA I
APECTA AL CUATERNARIO	×			
APECTA A LA MORFOLOGIA	×			
ASOCIADA A SISMICIDAD			?	
GEOTERMISMO		×		



**FICHA DE FALLA**

Nº 28 DENOMINACION SISTEMA HAZARRON SITUACION  
FALLA Sur Cuenca Mazarron ZONA BETICA  
SECTOR N. de la Morera DOMINIO  
Fecha: 25-9-90 CUENCA HAZARRON  
Autor: C. Suaz de Galdames

Para las fallas bien visibles en superficie:

**GEOMETRIA**

LONGITUD > 14 km  
 RUMBO N 110° E  
 BUZAMIENTO Vertical, 70° N en el extremo W. ≈ 70° S en el extremo E.

**ANALISIS TECTO/NEO/EVOLUTIVO**

Sobre la misma estructura  En estructuras menores asociadas

EDAD DE LOS MATERIALES AFECTADOS	TIPIFICACION				REGIMEN TECTONICO		ESFUERZOS	SALTOS	
	NORMAL	DESGARRE		INVERSA	COMPRESION	DISTENSION	DIRECCION DE $\sigma_1, 0 \sigma_3$ EN LA HORIZONTAL	EN	EN
	MIXTA	L	D	MIXTA				HORIZ.	VERT
PRE-TORT.									
TORT-INF.									
TORT-SUP.									
MESSIN.	x	x	→ ?	x ← x	x	x	uzna con el tiempo	?	> 200 m.
PLIO-CEENO									
PLIO-CUAT.									
CUATERNARIO									

**ASPECTO Y NATURALEZA DE LOS MAT. AFECTADOS**

Alpujarride y Messinense - Tort. Sup., con salida de material volcánico.  
 Louzeire se como afecta al T2 (marga) y riolitos del Tort. terminal.  
 Bousquet da como cuaternario sus últimos movimientos.

**EL RELLENO**

-Relación con las estructuras mayores o con otras fallas importantes:  
 Forma parte del sistema que limita la Cuenca de Mazarrón.

Analisis realizado por:  
 idem.

Para todas las fallas

TECTO-SEDIMENTACION

FALLA DETECTADA POR ESTE METODO	SI	RUMBO PROB.	BUZ. PROB.
	NO	LONG. PROB.	TIPO PROB.

Breve descripción de la influencia en las características de la sedimentación y edad de los materiales

GEOMORFOLOGIA

FALLA DETECTADA POR ESTE METODO	<i>en parte</i>	RUMBO PROB.	BUZ. PROB.
SE OBSERVA COMO LINEAMIENTO?	<i>si</i>	LONG. PROB.	TIPO PROB.

ANOMALIAS GEOMORFOLOGICAS LIGADAS Y/O PROB. LIGADAS

EN EL RELIEVE O LADERAS

EN LA RED HIDROG.

OTROS

Escarpe de fallas	<input checked="" type="checkbox"/>	Valles colgados	<input type="checkbox"/>
Caras afacetadas	<input type="checkbox"/>	Capturas	<input type="checkbox"/>
Basculamientos	<input type="checkbox"/>	Encajamientos	<input type="checkbox"/>
Encajamientos	<input type="checkbox"/>	Inflexiones	<input type="checkbox"/>
Solapes	<input type="checkbox"/>	Difluencias	<input type="checkbox"/>
		Cambios bruscos en el perfil	<input type="checkbox"/>

GEOFISICA

FALLA DETECTADA POR ESTE METODO	<i>si</i>	RUMBO PROB.	BUZ. PROB.
		LONG. PROB.	TIPO PROB.

Por el metodo	Electrico	<input checked="" type="checkbox"/>	Profundidad de la estructura	<i>&gt; 150 m</i>
	Sismico	<input type="checkbox"/>	Edad mat. a los que afecta	<i>PLIOCEN.</i>
	Gravimetrico	<input type="checkbox"/>		

GEOTERMISMO/VOLCANISMO ASOCIADO

Volcanismo

Quimismo o clase

*calco-alkalio  
potasica*

Geotermismo

Manantiales

Temperatura

Edad absoluta

*6.8-8.2 M.a.*

Sondeo

Profundidad

*Port. sup. - base del Mersinouse*

SISMICIDAD ASOCIADA

HISTORICA

Nº SISMOS

*1*

CORRELACION

B  
P  
M

INSTRUMENTAL

Nº SISMOS

MAGNITUDES MAX.

PROFUNDIDADES MEDIAS

REPLICAS

RUMBO DE LAS MISMAS

ERROR EPICENTRO

ERROR PROF.

ICOSTAS

Relación con la estructura:

CORRELACION CON LA FALLA

B  
P  
M

B (Buena)

P (Probable)

M (Mala)


CLASE DE ACTIVIDAD

APECTA AL CUATERNARIO

APECTA A LA MORFOLOGIA

ASOCIADA A SISMICIDAD

GEOTERMISMO

	SI	NO	?	CLASIFICACION		
				SEGUN	TABLA	I
APECTA AL CUATERNARIO		X				
APECTA A LA MORFOLOGIA	X					
ASOCIADA A SISMICIDAD			X			
GEOTERMISMO			X			

**FICHA DE FALLA**

Nº 29 DENOMINACION SISTEMA HAZARRON SITUACION ZONA BETICA  
 FALLA de Bolnuevo DOMINIO \_\_\_\_\_  
 SECTOR Cerro Lobos CUENCA \_\_\_\_\_  
 Fecha: 26-9-90 Autor: C. Saiz de Galdeano  
 Para las fallas bien visibles en superficie: C. Zazo

**GEOMETRIA**

LONGITUD 300 m  
 RUMBO ~ N70°E  
 BUZAMIENTO 30°N

**ANALISIS TECTO/NEO/EVOLUTIVO**

Sobre la misma estructura       En estructuras menores asociadas

EDAD DE LOS MATERIALES AFECTADOS	TIPIFICACION				REGIMEN TECTONICO		ESFUERZOS	SALTOS	
	NORMAL	DESGARRE		INVERSA	COMPRESION	DISTENSION	DIRECCION DE $\sigma_1, 0 \sigma_2$ EN LA HORIZONTAL	EN	EN
		MIXTA	L					D	MIXTA
PRE-TORT.				x	x		$\sigma_1 \sim N160^\circ$	?	>30 m.
TORT-INF.									
TORT-SUP.									
MESSIN.									
PLIOCENO	x					x	?		
PLIO-CUAT.									
CUATERNARIO	x					x	?		

**ASPECTO Y NATURALEZA DE LOS MAT. AFECTADOS**

*Alpujárride que cabalga a conglomerados rojos del Serravaliese, afecta a depósitos del Plioc. sup. y del Pleistoceno.*

**EL RELLENO**

*Brechas.*

-Relación con las estructuras mayores o con otras fallas importantes:

Analisis realizado por:  
*idem.*

Para todas las fallas

TECTO-SEDIMENTACION

FALLA DETECTADA POR ESTE METODO	SI	RUMBO PROB.	BUZ. PROB.
	NO	LONG. PROB.	TIPO PROB.

Breve descripción de la influencia en las características de la sedimentación y edad de los materiales

GEOMORFOLOGIA

FALLA DETECTADA POR ESTE METODO	NO	RUMBO PROB.	BUZ. PROB.
SE OBSERVA COMO LINEAMIENTO?		LONG. PROB.	TIPO PROB.

ANOMALIAS GEOMORFOLOGICAS LIGADAS Y/O PROB. LIGADAS

EN EL RELIEVE O LADERAS

EN LA RED HIDROG.

OTROS

Escarpe de fallas	X	Valles colgados	
Caras afacetadas		Capturas	
Basculamientos		Encajamientos	
Encajamientos		Inflexiones	
Solapes		Difluencias	
		Cambios bruscos en el perfil	

GEOFISICA

FALLA DETECTADA POR ESTE METODO	RUMBO PROB.	BUZ. PROB.
	LONG. PROB.	TIPO PROB.

Por el metodo	Electrico	
	Sismico	
	Gravimetrico	

Profundidad de la estructura	
Edad mat. a los que afecta	

GEOTERMISMO/VOLCANISMO ASOCIADO

Volcanismo | Quimismo o clase \_\_\_\_\_ Geotermismo | Manantiales  Temperatura   
 Edad absoluta \_\_\_\_\_ | Sondeo  Profundidad

SISMICIDAD ASOCIADA

HISTORICA

Nº SISMOS \_\_\_\_\_  
 INTENS. MAX. \_\_\_\_\_  
 FOSILITAS \_\_\_\_\_  
 Relación con la estructura:

INSTRUMENTAL


CORRELACION B   
 P   
 M

NOSISMOS \_\_\_\_\_ MAGNITUDES MAX. \_\_\_\_\_  
 PROFUNDIDADES MEDIAS \_\_\_\_\_ REPLICAS \_\_\_\_\_  
 RUMBO DE LAS MISMAS \_\_\_\_\_  
 ERROR EPICENTRO \_\_\_\_\_ ERROR PROF. \_\_\_\_\_

CORRELACION CON LA FALLA B  B (Buena)  
 P  P (Probable)  
 M  M (Mala)

CLASE DE ACTIVIDAD

- APECTA AL CUATERNARIO
- APECTA A LA MORFOLOGIA
- ASOCIADA A SISMICIDAD
- GEOTERMISMO

	SI	NO	?	CLASIFICACION SEGUN TABLA I
APECTA AL CUATERNARIO	X			
APECTA A LA MORFOLOGIA			X	
ASOCIADA A SISMICIDAD		X		
GEOTERMISMO		X		

**FICHA DE FALLA**

Nº 30 DENOMINACION \_\_\_\_\_ SITUACION \_\_\_\_\_  
 SISTEMA HAZARRON ZONA BETICA  
 FALLA E. de Hazarron DOMINIO \_\_\_\_\_  
 SECTOR \_\_\_\_\_ CUENCA HAZARRON  
 Fecha: 26-9-90 Autor: C. Sanz de Galdano

Para las fallas bien visibles en superficie:

GEOMETRIA

LONGITUD > 2 km.  
 RUMBO N55°E  
 BUZAMIENTO ~ 90°

ANALISIS TECTO/NEO/EVOLUTIVO

Sobre la misma estructura       En estructuras menores asociadas

EDAD DE LOS MATERIALES AFECTADOS	TIPIFICACION				REGIMEN TECTONICO		ESFUERZOS	SALTOS	
	NORMAL	DESGARRE		INVERSA	COMPRESION	DISTENSION	DIRECCION DE $\sigma_1$ O $\sigma_3$ EN LA HORIZONTAL	EN	EN
	MIXTA	L	D	MIXTA				HORIZ.	VERT
PRE-TORT.	x →				x			?	> 50 m.
TORT-INF.									
TORT-SUP.									
MESSIN.									
PLIOCENO									
PLIO-CUAT.									
CUATERNARIO									

ASPECTO Y NATURALEZA DE LOS MAT. AFECTADOS

*Pequeña falla que afecta al Alpujarride*

EL RELLENO

-Relación con las estructuras mayores o con otras fallas importantes:

*Se relaciona esta falla ya que hacia el E, cada vez son menos patentas las grandes cuencas de falla, aunque es posible que existan y sean paralelas a esta, incluso con volcanismo.*

Analisis realizado por:

*idem.*

Para todas las fallas

TECTO-SEDIMENTACION

FALLA DETECTADA POR ESTE METODO	SI	
	NO	<input checked="" type="checkbox"/>

RUMBO PROB.		BUZ. PROB.	
LONG. PROB.		TIPO PROB.	

Breve descripción de la influencia en las características de la sedimentación y edad de los materiales

GEOMORFOLOGIA

FALLA DETECTADA POR ESTE METODO	<i>en parte</i>
SE OBSERVA COMO LINEAMIENTO?	

RUMBO PROB.		BUZ. PROB.	
LONG. PROB.		TIPO PROB.	

ANOMALIAS GEOMORFOLOGICAS LIGADAS Y/O PROB. LIGADAS

EN EL RELIEVE O LADERAS

EN LA RED HIDROG.

OTROS

Escarpe de fallas

<input checked="" type="checkbox"/>
<input type="checkbox"/>
<input type="checkbox"/>
<input type="checkbox"/>
<input type="checkbox"/>

Valles colgados

<input type="checkbox"/>
<input type="checkbox"/>
<input type="checkbox"/>
<input type="checkbox"/>
<input type="checkbox"/>
<input type="checkbox"/>

Caras afacetadas

Capturas

Basculamientos

Encajamientos

Encajamientos

Inflexiones

Solapes

Difluencias

Cambios bruscos en el perfil

GEOFISICA

FALLA DETECTADA POR ESTE METODO	
---------------------------------	--

RUMBO PROB.		BUZ. PROB.	
LONG. PROB.		TIPO PROB.	

Por el metodo

Electrico

<input type="checkbox"/>
<input type="checkbox"/>
<input type="checkbox"/>

Sismico

Gravimetrico

Profundidad de la estructura

Edad mat. a los que afecta




GEOTERMISMO/VOLCANISMO ASOCIADO

Volcanismo	Quimismo o clase _____	Geotermismo	Manantiales	<input type="text"/>	Temperatura	<input type="text"/>
	Edad absoluta _____		Sondeo	<input type="text"/>	Profundidad	<input type="text"/>

SISMICIDAD ASOCIADA

HISTORICA

Nº SISMOS \_\_\_\_\_

INTENS. MAX. \_\_\_\_\_

ISOSISTAS \_\_\_\_\_

Relación con la estructura:

INSTRUMENTAL

CORRELACION	B	<input type="text"/>	Nº SISMOS _____	MAGNITUDES MAX. _____
	P	<input type="text"/>	PROPUNDDIDADES MEDIAS _____	REPLICAS _____
	M	<input type="text"/>	RUMBO DE LAS MISMAS _____	
		<input type="text"/>	ERROR EPICENTRO _____	ERROR PROF. _____

CORRELACION CON LA FALLA

B	<input type="text"/>	B (Buena)
P	<input type="text"/>	P (Probable)
M	<input type="text"/>	M (Mala)

CLASE DE ACTIVIDAD

APECTA AL CUATERNARIO  
 APECTA A LA MORFOLOGIA  
 ASOCIADA A SISMICIDAD  
 GEOTERMISMO

	SI	NO	?	CLASIFICACION SEGUN TABLA I
APECTA AL CUATERNARIO		X		<div style="border: 1px solid black; padding: 5px; display: inline-block;">b-2</div>
APECTA A LA MORFOLOGIA	X			
ASOCIADA A SISMICIDAD		X		
GEOTERMISMO		X		

**FICHA DE FALLA**

Nº 31 DENOMINACION SITUACION  
 SISTEMA HAZARRON ZONA BETICA  
 FALLA E. de S<sup>a</sup> Almenara DOMINIO \_\_\_\_\_  
 SECTOR " CUENCA HAZARRON  
 Fecha: 25-9-90 Autor: C. Souza de Galdeano

Para las fallas bien visibles en superficie:

GEOMETRIA

LONGITUD > 3 Km.  
 RUMBO N-S  
 BUZAMIENTO Vertical a 70° E.

ANALISIS TECTO/WBO/EVOLUTIVO

Sobre la misma estructura       En estructuras menores asociadas

EDAD DE LOS MATERIALES AFECTADOS	TIPIFICACION				REGIMEN TECTONICO		ESFUERZOS	SALTOS	
	NORMAL	DESGARRE		INVERSA	COMPRESION	DISTENSION	DIRECCION DE $\sigma_1, \sigma_2, \sigma_3$ EN LA HORIZONTAL	EN	EN
		MIXTA	L					D	MIXTA
PRE-TORT.									
TORT-IMP.									
TORT-SUP.									
MESSIN.		x	→ ?			x	$\sigma_3 \sim E-W$		> 200 m.
PLIOCENO									
PLIO-CUAT.									
CUATERNARIO									

ASPECTO Y NATURALEZA DE LOS MAT. AFECTADOS

Alpujárride y Messiniense - Tortoniense, sup., con salida de material volcánico.

EL RELLENO

-Relación con las estructuras mayores o con otras fallas importantes:

Paralela a la del borde E. de la cuenca de Mazarrón (32)

Analisis realizado por:

Idem.

Para todas las fallas

TECTO-SEDIMENTACION

FALLA DETECTADA POR ESTE METODO	SI		RUMBO PROB.		BUZ. PROB.	
	NO	X	LONG. PROB.		TIPO PROB.	

Breve descripción de la influencia en las características de la sedimentación y edad de los materiales

GEOMORFOLOGIA

FALLA DETECTADA POR ESTE METODO	<i>en parte</i>		RUMBO PROB.		BUZ. PROB.	
SE OBSERVA COMO LINEAMIENTO?			LONG. PROB.		TIPO PROB.	

ANOMALIAS GEOMORFOLOGICAS LIGADAS Y/O PROB. LIGADAS

EN EL RELIEVE O LADERAS

EN LA RED HIDROG.

OTROS

Escarpe de fallas	X	Valles colgados	
Caras afacetadas		Capturas	
Basculamientos		Encajamientos	
Encajamientos		Inflexiones	
Solapes		Difluencias	
		Cambios bruscos en el perfil	

GEOFISICA

FALLA DETECTADA POR ESTE METODO		RUMBO PROB.		BUZ. PROB.	
		LONG. PROB.		TIPO PROB.	

Por el metodo	Electrico		Profundidad de la estructura	
	Sismico		Edad mat. a los que afecta	
	Gravimetrico			

GEOTERMISMO/VOLCANISMO ASOCIADO

Volcanismo	Quimismo o clase <u>Shosonitico</u>	Geotermismo	Manantiales		Temperatura
	Edad absoluta <u>6.8-8.2 M.a</u>		Sondeo		Profundidad

SISMICIDAD ASOCIADA

HISTORICA

Nº SISMOS \_\_\_\_\_

INTENS. MAX. \_\_\_\_\_

ISOSISTAS \_\_\_\_\_

Relación con la estructura:

INSTRUMENTAL

B	CORRELACION	Nº SISMOS _____	MAGNITUDES MAX. _____
P		PROFUNDIDADES MEDIAS _____	REPLICAS _____
M		RUMBO DE LAS MISMAS _____	ERROR EPICENTRO _____
		ERROR PROF. _____	

CORRELACION CON LA FALLA

B
P
M

B (Buena)  
P (Probable)  
M (Mala)

CLASE DE ACTIVIDAD

- APECTA AL CUATERNARIO
- APECTA A LA MORFOLOGIA
- ASOCIADA A SISMICIDAD
- GEOTERMISMO

	SI	NO	?	CLASIFICACION SEGUN TABLA I
APECTA AL CUATERNARIO		X		<div style="border: 1px solid black; width: 40px; height: 40px; margin: 0 auto; display: flex; align-items: center; justify-content: center;"> <span style="font-size: 24px;">b-2</span> </div>
APECTA A LA MORFOLOGIA	X			
ASOCIADA A SISMICIDAD		X		
GEOTERMISMO			X	

**FICHA DE FALLA**

Nº 32 DENOMINACION SITUACION  
 SISTEMA MAZARRON ZONA BETICA  
 FALLA R. Cuenca de Mazarron DOMINIO \_\_\_\_\_  
 SECTOR N. de Mazarron CUENCA MAZARRON  
 Fecha: 26-9-90 Autor: C. Saiz de Galdeano

Para las fallas bien visibles en superficie:

GEOMETRIA

LONGITUD > 6.5  
 RUMBO ~ N-S  
 BUZAMIENTO Vertical ?

ANALISIS TECTO/NEO/EVOLUTIVO

Sobre la misma estructura       En estructuras menores asociadas

EDAD DE LOS MATERIALES AFECTADOS	TIPIFICACION				REGIMEN TECTONICO		ESFUERZOS	SALTOS	
	NORMAL	DESGARRE		INVERSA	COMPRESION	DISTENSION	DIRECCION DE $\sigma_1$ , $0$ , $\sigma_3$ EN LA HORIZONTAL	EN	EN
	MIXTA	L	D	MIXTA				HORIZ.	VERT
PRE-TORT.									
TORT-IMP.									
TORT-SUP.	x					x	$\sigma_3 \sim E-W$	0	>150 m
MESSIN.									
PLIOCENO									
PLIO-CUAT.									
CUATERNARIO									

ASPECTO Y NATURALEZA DE LOS MAT. AFECTADOS

Alpujárnide al E., y materiales del Terc. Sup. al W.

EL RELLENO

-Relación con las estructuras mayores o con otras fallas importantes:

Analisis realizado por:  
idem.

Para todas las fallas

TECTO-SEDIMENTACION

FALLA DETECTADA POR ESTE METODO	SI	
	NO	X

RUMBO PROB.		BUZ. PROB.	
LONG. PROB.		TIPO PROB.	

Breve descripción de la influencia en las características de la sedimentación y edad de los materiales

GEOMORFOLOGIA

FALLA DETECTADA POR ESTE METODO	En parte
SE OBSERVA COMO LINEAMIENTO?	

RUMBO PROB.		BUZ. PROB.	
LONG. PROB.		TIPO PROB.	

ANOMALIAS GEOMORFOLOGICAS LIGADAS Y/O PROB. LIGADAS

EN EL RELIEVE O LADERAS

EN LA RED HIDROG.

OTROS

- Escarpe de fallas
- Caras afacetadas
- Basculamientos
- Encajamientos
- Solapes

- Valles colgados
- Capturas
- Encajamientos
- Inflexiones
- Difluencias
- Cambios bruscos en el perfil

GEOFISICA

FALLA DETECTADA POR ESTE METODO	
---------------------------------	--

RUMBO PROB.		BUZ. PROB.	
LONG. PROB.		TIPO PROB.	

- Por el metodo
- Electrico
  - Sismico
  - Gravimetrico

- Profundidad de la estructura
- Edad mat. a los que afecta

GEOTERMISMO/VOLCANISMO ASOCIADO

Volcanismo | Quimismo o clase Calcio-alkalino | Geotermismo | Manantiales | Temperatura |

Edad absoluta 6.8-8.2 M.a. | | | Sondeo | Profundidad |

SISMICIDAD ASOCIADA

HISTORICA

INSTRUMENTAL

Nº SISMOS \_\_\_\_\_ CORRELACION B

INTENS. MAX. \_\_\_\_\_ P

ISOSISTAS \_\_\_\_\_ M

Relación con la estructura:

Nº SISMOS \_\_\_\_\_ MAGNITUDES MAX. \_\_\_\_\_

PROFUNDIDADES MEDIAS \_\_\_\_\_ REPLICAS \_\_\_\_\_

RUMBO DE LAS MISMAS \_\_\_\_\_

ERROR EPICENTRO \_\_\_\_\_ ERROR PROF. \_\_\_\_\_

CORRELACION CON LA FALLA B

P

M

B (Buena)  
P (Probable)  
M (Mala)

CLASE DE ACTIVIDAD

- APECTA AL CUATERNARIO
- APECTA A LA MORFOLOGIA
- ASOCIADA A SISMICIDAD
- GEOTERMISMO

	SI	NO	?	CLASIFICACION SEGUN TABLA I		
APECTA AL CUATERNARIO		X		<div style="border: 1px solid black; padding: 5px; display: inline-block;">b-2</div>		
APECTA A LA MORFOLOGIA	X					
ASOCIADA A SISMICIDAD			X			
GEOTERMISMO			X			

**FICHA DE FALLA**

Nº 33 DENOMINACION SISTEMA CARRASCOY SITUACION ZONA BETICA  
 FALLA Puerto de S. Pedro DOMINIO \_\_\_\_\_  
 SECTOR 3.5 km. d NNW de Sucina CUENCA S. de Carrascoy.  
 Fecha: 27-9-90 Autor: C. Sauz de Galdeano

Para las fallas bien visibles en superficie:

**GEOMETRIA**

LONGITUD ~ 3.5 km.  
 RUMBO N75°E  
 BUZAMIENTO ~ 70°S

**ANALISIS TECTO/NEO/EVOLUTIVO**

Sobre la misma estructura       En estructuras menores asociadas

EDAD DE LOS MATERIALES AFECTADOS	TIPIFICACION				REGIMEN TECTONICO		ESFUERZOS	SALTOS	
	NORMAL	DESGARRE		INVERSA	COMPRESION	DISTENSION	DIRECCION DE $\sigma_1$ , $0$ $\sigma_2$ EN LA HORIZONTAL	EN	EN
	MIXTA	L	D	MIXTA				HORIZ.	VERT.
PRE-TORT.									
TORT-INF.									
TORT-SUP.									
MESSIN.					x	x	$\sigma_1 \sim N165$		250 m.
PLIOCENO									
PLIO-CUAT.									
CUATERNARIO									

**ASPECTO Y NATURALEZA DE LOS MAT. AFECTADOS**

*Areniscas y conglomerados del Tortoniuense, sobre morros del Messiniense.*

**EL RELLENO**

-Relación con las estructuras mayores o con otras fallas importantes:

Analisis realizado por: *idem.*



Para todas las fallas

TECTO-SEDIMENTACION

FALLA DETECTADA POR ESTE METODO	SI
	NO

RUMBO PROB.		BUZ. PROB.	
LONG. PROB.		TIPO PROB.	

Breve descripción de la influencia en las características de la sedimentación y edad de los materiales

GEOMORFOLOGIA

FALLA DETECTADA POR ESTE METODO	<i>a parte</i>
SE OBSERVA COMO LINEAMIENTO?	

RUMBO PROB.		BUZ. PROB.	
LONG. PROB.		TIPO PROB.	

ANOMALIAS GEOMORFOLOGICAS LIGADAS Y/O PROB. LIGADAS

EN EL RELIEVE O LADERAS

EN LA RED HIDROG.

OTROS

- Escarpe de fallas
- Caras afacetadas
- Basculamientos
- Encajamientos
- Solapes

- Valles colgados
- Capturas
- Encajamientos
- Inflexiones
- Difluencias
- Cambios bruscos en el perfil

GEOFISICA

FALLA DETECTADA POR ESTE METODO	
---------------------------------	--

RUMBO PROB.		BUZ. PROB.	
LONG. PROB.		TIPO PROB.	

- Por el metodo
- Electrico
  - Sismico
  - Gravimetrico

- Profundidad de la estructura
- Edad mat. a los que afecta

GEOTERMISMO/VOLCANISMO ASOCIADO

Volcanismo	Quimismo o clase _____ Geotermismo Edad absoluta _____	Manantiales  Sondeo	<input style="width: 20px; height: 20px;" type="text"/> <input style="width: 20px; height: 20px;" type="text"/>	Temperatura  Profundidad	<input style="width: 100%; height: 20px;" type="text"/> <input style="width: 100%; height: 20px;" type="text"/>
------------	---	---------------------------	--	--------------------------------	--

SISMICIDAD ASOCIADA

HISTORICA

Nº SISMOS \_\_\_\_\_ CORRELACION B

INTENS. MAX. \_\_\_\_\_ P

ISOSISTAS \_\_\_\_\_ M

Relación con la estructura:

INSTRUMENTAL

Nº SISMOS \_\_\_\_\_ MAGNITUDES MAX. \_\_\_\_\_

PROFUNDIDADES MEDIAS \_\_\_\_\_ REPLICAS \_\_\_\_\_

RUMBO DE LAS MISMAS \_\_\_\_\_

ERROR EPICENTRO \_\_\_\_\_ ERROR PROF. \_\_\_\_\_

CORRELACION CON LA FALLA B

P

M

B (Buena)  
P (Probable)  
M (Mala)

CLASE DE ACTIVIDAD

- APECTA AL CUATERNARIO
- APECTA A LA MORFOLOGIA
- ASOCIADA A SISMICIDAD
- GEOTERMISMO

	SI	NO	?	CLASIFICACION SEGUN TABLA I
APECTA AL CUATERNARIO		×		<div style="border: 1px solid black; padding: 10px; display: inline-block;">                     b-2                 </div>
APECTA A LA MORFOLOGIA	×			
ASOCIADA A SISMICIDAD		×		
GEOTERMISMO		×		

### FICHA DE FALLA

Nº 34 DENOMINACION SITUACION  
 SISTEMA CARRASCOY ZONA BETICA  
 FALLA N. del Puerto de S. Pedro DOMINIO \_\_\_\_\_  
 SECTOR 4 km. al NNW de Suñig CUENCA S. de Carrascoy  
 Fecha: 27-9-90 Autor: C. Saiz de Galdano  
Para las fallas bien visibles en superficie:

**GEOMETRIA**

LONGITUD ~ 1 km  
 RUMBO ~ N30°E  
 BUZAMIENTO ~ 60°E

**ANALISIS TECTO/NEO/EVOLUTIVO**

Sobre la misma estructura       En estructuras menores asociadas

EDAD DE LOS MATERIALES AFECTADOS	TIPIFICACION				REGIMEN TECTONICO		ESFUERZOS	SALTOS	
	NORMAL	DESGARRE		INVERSA	COMPRESION	DISTENSION	DIRECCION DE $\sigma_1$ O $\sigma_2$ EN LA HORIZONTAL	EN HORIZ.	EN VERT.
	MIXTA	L	D	MIXTA					
PRE-TORT.									
TORT-INF.									
TORT-SUP.									
MESSIN.	x					x	$\sigma_3 \sim E-W$		$\sim 50$ m.
PLIOCENO									
PLIO-CUAT.									
CUATERNARIO									

**ASPECTO Y NATURALEZA DE LOS MAT. AFECTADOS**

*Areiscas y conglomerados del Tortonienso y margen del Terto-Messiniense hundidas.*

**EL RELLENO**

-Relación con las estructuras mayores o con otras fallas importantes:

*Relacionada posiblemente con la falla del Puerto de S. Pedro (33). Corresponde a la distension ligada a la compresion N-S.*

Analisis realizado por:

*idem.*

Para todas las fallas

TECTO-SEDIMENTACION

FALLA DETECTADA POR ESTE METODO	SI	RUMBO PROB.	BUZ. PROB.
	NO	LONG. PROB.	TIPO PROB.

Breve descripción de la influencia en las características de la sedimentación y edad de los materiales

GEOMORFOLOGIA

FALLA DETECTADA POR ESTE METODO	si por	RUMBO PROB.	BUZ. PROB.
SE OBSERVA COMO LINEAMIENTO?	no	LONG. PROB.	TIPO PROB.

ANOMALIAS GEOMORFOLOGICAS LIGADAS Y/O PROB. LIGADAS

EN EL RELIEVE O LADERAS

EN LA RED HIDROG.

OTROS

- Escarpe de fallas
- Caras afacetadas
- Basculamientos
- Encajamientos
- Solapes


- Valles colgados
- Capturas
- Encajamientos
- Inflexiones
- Difluencias
- Cambios bruscos en el perfil


GEOFISICA

FALLA DETECTADA POR ESTE METODO	RUMBO PROB.	BUZ. PROB.
	LONG. PROB.	TIPO PROB.

- Por el metodo
- Electrico
  - Sismico
  - Gravimetrico


- Profundidad de la estructura
- Edad mat. a los que afecta

GEOTERMISMO/VOLCANISMO ASOCIADO

Volcanismo	Quimismo o clase	Geotermismo	Manantiales	Temperatura
	Edad absoluta		Sondeo	Profundidad

SISMICIDAD ASOCIADA

HISTORICA

Nº SISMOS \_\_\_\_\_  
 INTENS. MAX. \_\_\_\_\_  
 OSISTAS \_\_\_\_\_  
 Relación con la estructura:

INSTRUMENTAL

CORRELACION B P M	Nº SISMOS _____	MAGNITUDES MAX. _____
	PROFUNDIDADES MEDIAS _____	REPLICAS _____
	RUMBO DE LAS MISMAS _____	
	ERROR EPICENTRO _____	ERROR PROF. _____

CORRELACION CON LA FALLA B

B	B (Buena)
P	P (Probable)
M	M (Mala)

CLASE DE ACTIVIDAD

APECTA AL CUATERNARIO  
 APECTA A LA MORFOLOGIA  
 ASOCIADA A SISMICIDAD  
 GEOTERMISMO

	SI	NO	?	CLASIFICACION SEGUN TABLA I
APECTA AL CUATERNARIO		x		b-2
APECTA A LA MORFOLOGIA	x			
ASOCIADA A SISMICIDAD		x		
GEOTERMISMO		x		

**FICHA DE FALLA**

Nº35 DENOMINACION \_\_\_\_\_ SITUACION \_\_\_\_\_  
 SISTEMA CARRASCOY ZONA BETICA  
 FALLA W. del Puntarron DOMINIO \_\_\_\_\_  
 SECTOR SE. de Murcia CUENCA S. de Carrascoy  
 Fecha: 27-9-90 Autor: C. Sanz de Galdos  
 Para las fallas bien visibles en superficie:

GEOMETRIA

LONGITUD 600 m  
 RUMBO ~ N150°E  
 BUZAMIENTO ~ 85-90°W

ANALISIS TECTO/NEO/EVOLUTIVO

Sobre la misma estructura       En estructuras menores asociadas

EDAD DE LOS MATERIALES AFECTADOS	TIPIFICACION				REGIMEN TECTONICO		ESFUERZOS	SALTOS	
	NORMAL	DESGARRE		INVERSA	COMPRESION	DISTENSION	DIRECCION DE $\sigma_1$ O $\sigma_3$ EN LA HORIZONTAL	EN	EN
	MIXTA	L	D	MIXTA				HORIZ.	VERT.
PRE-TORT.									
TORT-IMP.	x					x	$\sigma_3 \sim N60^\circ$		>100 m.
TORT-SUP.									
MESSIN.									
PLIOCENO									
PLIO-CUAT.									
CUATERNARIO									

ASPECTO Y NATURALEZA DE LOS MAT. AFECTADOS

*Areniscas rojas y margas del Tort. inferior  
 Espléndido plano y estrías.*

EL RELLENO

-Relación con las estructuras mayores o con otras fallas importantes:

*Corta a las fallas del N. y S. del Puntarron (9-10)*

Analisis realizado por:

*idem*

Para todas las fallas

TECTO-SEDIMENTACION

FALLA DETECTADA POR ESTE METODO	SI		RUMBO PROB.		BUZ. PROB.	
	NO		LONG. PROB.		TIPO PROB.	

Breve descripción de la influencia en las características de la sedimentación y edad de los materiales

GEOMORFOLOGIA

FALLA DETECTADA POR ESTE METODO		RUMBO PROB.		BUZ. PROB.	
SE OBSERVA COMO LINEAMIENTO?		LONG. PROB.		TIPO PROB.	

ANOMALIAS GEOMORFOLOGICAS LIGADAS Y/O PROB. LIGADAS

EN EL RELIEVE O LADERAS

EN LA RED HIDROG.

OTROS

Escarpe de fallas	<input checked="" type="checkbox"/>	Valles colgados	<input type="checkbox"/>
Caras afacetadas	<input type="checkbox"/>	Capturas	<input type="checkbox"/>
Basculamientos	<input type="checkbox"/>	Encajamientos	<input type="checkbox"/>
Encajamientos	<input type="checkbox"/>	Inflexiones	<input type="checkbox"/>
Solapes	<input type="checkbox"/>	Difluencias	<input type="checkbox"/>
		Cambios bruscos en el perfil	<input type="checkbox"/>

GEOFISICA

FALLA DETECTADA POR ESTE METODO		RUMBO PROB.		BUZ. PROB.	
		LONG. PROB.		TIPO PROB.	

Por el metodo	Electrico	<input type="checkbox"/>
	Sismico	<input type="checkbox"/>
	Gravimetrico	<input type="checkbox"/>

Profundidad de la estructura	<input type="text"/>
Edad mat. a los que afecta	<input type="text"/>

GEOTERMISMO/VOLCANISMO ASOCIADO

Volcanismo | Quiemismo o clase \_\_\_\_\_ Geotermismo | Manantiales  Temperatura   
 Edad absoluta \_\_\_\_\_ | Sondos  Profundidad

SISMICIDAD ASOCIADA

HISTORICA

Nº SISMOS \_\_\_\_\_  
 INTENS. MAX. \_\_\_\_\_  
 ISOSISTAS \_\_\_\_\_  
 Relación con la estructura:

INSTRUMENTAL

CORRELACION B  Nº SISMOS \_\_\_\_\_ MAGNITUDES MAX. \_\_\_\_\_  
 P  PROFUNDIDADES MEDIAS \_\_\_\_\_ REPLICAS \_\_\_\_\_  
 M  RUMBO DE LAS MISMAS \_\_\_\_\_  
 ERROR EPICENTRO \_\_\_\_\_ ERROR PROF. \_\_\_\_\_

CORRELACION CON LA FALLA B  B (Buena)  
 P  P (Probable)  
 M  M (Mala)

CLASE DE ACTIVIDAD

- APECTA AL CUATERNARIO
- APECTA A LA MORFOLOGIA
- ASOCIADA A SISMICIDAD
- GEOTERMISMO

	SI	NO	?	CLASIFICACION SEGUN TABLA I
APECTA AL CUATERNARIO		x		<div style="border: 1px solid black; padding: 5px; display: inline-block;">           b-2         </div>
APECTA A LA MORFOLOGIA	x			
ASOCIADA A SISMICIDAD		x		
GEOTERMISMO		x		



**FICHA DE FALLA**

Nº36 DENOMINACION \_\_\_\_\_ SITUACION \_\_\_\_\_  
 SISTEMA LORCA ZONA BETICA  
 FALLA Casa de la Fuente DOMINIO \_\_\_\_\_  
 SECTOR NW. de Lorca CUENCA LORCA  
 Fecha: \_\_\_\_\_ Autor: C. Saiz de Galdeano

Para las fallas bien visibles en superficie:

GEOMETRIA

LONGITUD ~ 2.5 km.  
 RUMBO N30°E  
 BUZAMIENTO 60°E

ANALISIS TECTO/NEO/EVOLUTIVO

Sobre la misma estructura       En estructuras menores asociadas

EDAD DE LOS MATERIALES AFECTADOS	TIPIFICACION				REGIMEN TECTONICO		ESFUERZOS	SALTOS	
	NORMAL	DESCARRE		INVERSA	COMPRESION	DISTENSION	DIRECCION DE $\sigma_1$ , $\sigma_2$ , EN LA HORIZONTAL	EN HORIZ.	EN VERT.
		MIXTA	L						
PRE-TORT.									
TORT-IMP.									
TORT-SUP.	x					x	$\sigma_3$ 2 N60		>30 m.
MESSIN.									
PLIOCENO									
PLIO-CUAT.									
CUATERNARIO									

ASPECTO Y NATURALEZA DE LOS MAT. AFECTADOS

*Tortoniciense superior de Calcaremita y marges.*

EL RELLENO

-Relación con las estructuras mayores o con otras fallas importantes:

*Paralela a la que forma el borde oriental de la SE de las Estancias (37)*

Análisis realizado por:

*idem*

Para todas las fallas

TECTO-SEDIMENTACION

FALLA DETECTADA POR ESTE METODO	SI
	NO

RUMBO PROB.		BUZ. PROB.	
LONG. PROB.		TIPO PROB.	

Breve descripción de la influencia en las características de la sedimentación y edad de los materiales

GEOMORFOLOGIA

FALLA DETECTADA POR ESTE METODO	en parte
SE OBSERVA COMO LINEAMIENTO?	no

RUMBO PROB.		BUZ. PROB.	
LONG. PROB.		TIPO PROB.	

ANOMALIAS GEOMORFOLOGICAS LIGADAS Y/O PROB. LIGADAS

EN EL RELIEVE O LADERAS

EN LA RED HIDROG.

OTROS

- Escarpe de fallas
- Caras afacetadas
- Basculamientos
- Encajamientos
- Solapes

X

- Valles colgados
- Capturas
- Encajamientos
- Inflexiones
- Difluencias
- Cambios bruscos en el perfil


GEOFISICA

FALLA DETECTADA POR ESTE METODO	
---------------------------------	--

RUMBO PROB.		BUZ. PROB.	
LONG. PROB.		TIPO PROB.	

Por el metodo	Electrico	
	Sismico	
	Gravimetrico	

Profundidad de la estructura	
Edad mat. a los que afecta	

GEOTERMISMO/VOLCANISMO ASOCIADO

Volcanismo	Quimismo o clase _____ Geotermismo	Manantiales		Temperatura	
	Edad absoluta _____	Sondeo		Profundidad	

SISMICIDAD ASOCIADA

HISTORICA

Nº SISMOS \_\_\_\_\_

INTENS. MAX. \_\_\_\_\_

ISOSISTAS \_\_\_\_\_

Relación con la estructura:

INSTRUMENTAL

		Nº SISMOS _____	MAGNITUDES MAX. _____
		PROFUNDIDADES MEDIAS _____	REPLICAS _____
		RUMBO DE LAS MISMAS _____	
		ERROR EPICENTRO _____	ERROR PROF. _____

CORRELACION CON LA FALLA

		B (Buena)
		P (Probable)
		M (Mala)

CLASE DE ACTIVIDAD

- APECTA AL CUATERNARIO
- APECTA A LA MORFOLOGIA
- ASOCIADA A SISMICIDAD
- GEOTERMISMO

	SI	NO	?	CLASIFICACION SEGUN TABLA I
APECTA AL CUATERNARIO		×		<div style="border: 1px solid black; padding: 10px; display: inline-block;">                     b-2                 </div>
APECTA A LA MORFOLOGIA	×			
ASOCIADA A SISMICIDAD		×		
GEOTERMISMO		×		

### FICHA DE FALLA

Nº 37 DENOMINACION \_\_\_\_\_ SITUACION \_\_\_\_\_  
 SISTEMA   LORCA   ZONA   BETICA    
 FALLA   de Los Aljez   DOMINIO \_\_\_\_\_  
 SECTOR   NW de Lorca   CUENCA   LORCA    
 Fecha:   28-9-90   Autor:   C. Souza de Galdeano    
 Para las fallas bien visibles en superficie:

GEOMETRIA

LONGITUD ~ 5 Km.  
 RUMBO ~ N130°E  
 BUZAMIENTO ~ 70°E

ANALISIS TECTO/NEO/EVOLUTIVO

Sobre la misma estructura       En estructuras menores asociadas

EDAD DE LOS MATERIALES AFECTADOS	TIPIFICACION				REGIMEN TECTONICO		ESFUERZOS	SALTOS	
	NORMAL	DESGARRE		INVERSA	COMPRESION	DISTENSION	DIRECCION DE $\sigma_1, \sigma_2, \sigma_3$ EN LA HORIZONTAL	EN	EN
	MIXTA	L	D	MIXTA				HORIZ.	VERT.
PRE-TORT.									
TORT-INF.									
TORT-SUP.	x					x	$\sigma_3 \sim N60$		>50 m.
MIOCEN.									
EOLIOCENO									
PLIO-CUAT.									
CUATERNARIO									

ASPECTO Y NATURALEZA DE LOS MAT. AFECTADOS

*Alpujarride y Tortoniense superior. Calcarenitas y margas*

EL RELLENO

-Relación con las estructuras mayores o con otras fallas importantes:

Analisis realizado por:  
*idem*

Para todas las fallas

TECTO-SEDIMENTACION

FALLA DETECTADA POR ESTE METODO	SI
	NO

RUMBO PROB.		BUZ. PROB.	
LONG. PROB.		TIPO PROB.	

Breve descripción de la influencia en las características de la sedimentación y edad de los materiales

GEOMORFOLOGIA

FALLA DETECTADA POR ESTE METODO	<i>en parte</i>
SE OBSERVA COMO LINEAMIENTO?	X

RUMBO PROB.		BUZ. PROB.	
LONG. PROB.		TIPO PROB.	

ANOMALIAS GEOMORFOLOGICAS LIGADAS Y/O PROB. LIGADAS

EN EL RELIEVE O LADERAS

Escarpe de fallas	X
Caras afacetadas	
Basculamientos	
Encajamientos	
Solapes	

EN LA RED HIDROG.

Valles colgados	
Capturas	
Encajamientos	
Inflexiones	X
Difluencias	
Cambios bruscos en el perfil	

OTROS

GEOFISICA

FALLA DETECTADA POR ESTE METODO	X
---------------------------------	---

RUMBO PROB.	<i>NW</i>	BUZ. PROB.	
LONG. PROB.		TIPO PROB.	

Por el metodo	Electrico	
	Sismico	
	Gravimetrico	X

Profundidad de la estructura	
Edad mat. a los que afecta	

**GEOTERMISMO/VOLCANISMO ASOCIADO**

Volcanismo	Quimismo o clase _____	Geotermismo	Manantiales	[ ]	Temperatura	[ ]
	Edad absoluta _____		Sondeo	[ ]	Profundidad	[ ]

**SISMICIDAD ASOCIADA**

HISTORICA

Nº SISMOS \_\_\_\_\_

INTENS. MAX. \_\_\_\_\_

ISOSISTAS \_\_\_\_\_

Relación con la estructura:

CORRELACION B [ ]

P [ ]

M [ ]

INSTRUMENTAL

Nº SISMOS 1 MAGNITUDES MAX. 3.1

PROFUNDIDADES MEDIAS < 20 km REPLICAS \_\_\_\_\_

RUMBO DE LAS MISMAS \_\_\_\_\_

ERROR EPICENTRO ? ERROR PROF. < 5 km

CORRELACION CON LA FALLA E

[ X ]	B (Buena)
[ ]	P (Probable)
[ ]	M (Mala)

CLASE DE ACTIVIDAD

- APECTA AL CUATERNARIO
- APECTA A LA MORFOLOGIA
- ASOCIADA A SISMICIDAD
- GEOTERMISMO

	SI	NO	?	CLASIFICACION SEGUN TABLA I
APECTA AL CUATERNARIO		X		<div style="border: 1px solid black; padding: 5px; display: inline-block;">B-M</div>
APECTA A LA MORFOLOGIA	X			
ASOCIADA A SISMICIDAD	X			
GEOTERMISMO		X		

### FICHA DE FALLA

Nº 38 DENOMINACION \_\_\_\_\_ SITUACION \_\_\_\_\_  
 SISTEMA Prebético ZONA PREBETICA  
 FALLA Ascoy DOMINIO Kendoual  
 SECTOR NW. de la S<sup>e</sup> de Ascoy CUENCA \_\_\_\_\_  
 Fecha: \_\_\_\_\_ Autor: L.M. Borrero

Para las fallas bien visibles en superficie:

GEOMETRIA

LONGITUD  
 RUMBO  
 BUZAMIENTO

ANALISIS TECTO/NEO/EVOLUTIVO

Sobre la misma estructura       En estructuras menores asociadas

EDAD DE LOS MATERIALES AFECTADOS	TIPIFICACION				REGIMEN TECTONICO		ESFUERZOS	SALTOS	
	NORMAL	DESGARRE		INVERSA	COMPRESION	DISTENSION	DIRECCION DE $\sigma_1$ O $\sigma_3$ EN LA HORIZONTAL	EN	EN
	MIXTA	L	D	MIXTA				HORIZ.	VERT
PRE-TORT.									
TORT-INF.									
TORT-SUP.									
MESIN.									
MIOCENO									
PLIO-CUAT.									
CUATERNARIO									

ASPECTO Y NATURALEZA DE LOS MAT. AFECTADOS

EL RELLENO

-Relación con las estructuras mayores o con otras fallas importantes:

Analisis realizado por:

Para todas las fallas

TECTO-SEDIMENTACION

FALLA DETECTADA POR ESTE METODO	SI	
	NO	

RUMBO PROB.		BUZ. PROB.	
LONG. PROB.		TIPO PROB.	

Breve descripción de la influencia en las características de la sedimentación y edad de los materiales

GEOMORFOLOGIA

FALLA DETECTADA POR ESTE METODO	
SE OBSERVA COMO LINEAMIENTO?	

RUMBO PROB.		BUZ. PROB.	
LONG. PROB.		TIPO PROB.	

ANOMALIAS GEOMORFOLOGICAS LIGADAS Y/O PROB. LIGADAS

EN EL RELIEVE O LADERAS

Escarpe de fallas	<input type="checkbox"/>
Caras afacetadas	<input type="checkbox"/>
Basculamientos	<input type="checkbox"/>
Encajamientos	<input type="checkbox"/>
Solapes	<input type="checkbox"/>

EN LA RED HIDROG.

Valles colgados	<input type="checkbox"/>
Capturas	<input type="checkbox"/>
Encajamientos	<input type="checkbox"/>
Inflexiones	<input type="checkbox"/>
Difluencias	<input type="checkbox"/>
Cambios bruscos en el perfil	<input type="checkbox"/>

OTROS

GEOFISICA

FALLA DETECTADA POR ESTE METODO	X
---------------------------------	---

RUMBO PROB.	NE	BUZ. PROB.	al S.
LONG. PROB.	10 km	TIPO PROB.	normal

Por el metodo	Electrico	<input checked="" type="checkbox"/>
	Sismico	<input checked="" type="checkbox"/>
	Gravimetrico	<input type="checkbox"/>

Profundidad de la estructura	600 m.
Edad mat. a los que afecta	Miéc. Sup.

Un cabalgamiento antiguo es reactivado en el Miéc. Sup., condicionando la sedimentación de este.



GEOTERMISMO/VOLCANISMO ASOCIADO

Volcanismo	Quimismo o clase	Geotermismo	Manantiales	Temperatura
	Edad absoluta		Sondeo	Profundidad

SISMICIDAD ASOCIADA

HISTORICA

Nº SISMOS \_\_\_\_\_  
 INTENS. MAX. \_\_\_\_\_  
 ISOSISTAS \_\_\_\_\_  
 Relación con la estructura:

CORRELACION B  
 P  
 M

INSTRUMENTAL

Nº SISMOS 1 (3)      MAGNITUDES MAX. 2.9 (3.9)  
 PROFUNDIDADES MEDIAS 5      REPLICAS \_\_\_\_\_  
 RUMBO DE LAS MISMAS \_\_\_\_\_  
 ERROR EPICENTRO 9-14      ERROR PROF. 14-25

CORRELACION CON LA FALLA B  
 P  
 M

B (Buena)  
 P (Probable)  
 M (Mala)

CLASE DE ACTIVIDAD

- APECTA AL CUATERNARIO
- APECTA A LA MORFOLOGIA
- ASOCIADA A SISMICIDAD
- GEOTERMISMO

	SI	NO	?	CLASIFICACION SEGUN TABLA I
APECTA AL CUATERNARIO			X	A-IV
APECTA A LA MORFOLOGIA			X	
ASOCIADA A SISMICIDAD			X	
GEOTERMISMO		X		

**FICHA DE FALLA**

Nº 39 DENOMINACION SITUACION  
 SISTEMA PREBETICO ZONA PREBETICA  
 FALLA Rambla del Moro DOMINIO INTERNO-MERIDIONAL  
 SECTOR Su Sierra de Ascoy-Sopalma CUENCA \_\_\_\_\_  
 Fecha: \_\_\_\_\_ Autor: L. H. Barranco

Para las fallas bien visibles en superficie:

GEOMETRIA

LONGITUD  
 RUMBO  
 BUZAMIENTO

ANALISIS TECTO/NEO/EVOLUTIVO

Sobre la misma estructura       En estructuras menores asociadas

EDAD DE LOS MATERIALES AFECTADOS	TIPIFICACION				REGIMEN TECTONICO		ESFUERZOS	SALTOS	
	NORMAL	DESGARRE		INVERSA	COMPRESION	DISTENSION	DIRECCION DE $\sigma_1$ O $\sigma_2$ EN LA HORIZONTAL	EN	EN
	MIXTA	L	D	MIXTA				HORIZ.	VERT
PRE-TORT.									
TORT-INF.									
TORT-SUP.									
MESSIN.									
PLIOCENO									
PLIO-CUAT.									
CUATERNARIO									

ASPECTO Y NATURALEZA DE LOS MAT. AFECTADOS

EL RELLENO

-Relación con las estructuras mayores o con otras fallas importantes:

Analisis realizado por:

Para todas las fallas

TECTO-SEDIMENTACION

FALLA DETECTADA POR ESTE METODO	SI	RUMBO PROB.	BUZ. PROB.
	NO	LONG. PROB.	TIPO PROB.

Breve descripción de la influencia en las características de la sedimentación y edad de los materiales

GEOMORFOLOGIA

FALLA DETECTADA POR ESTE METODO	SI	RUMBO PROB.	NE-NEE	BUZ. PROB.
SE OBSERVA COMO LINEAMIENTO?	SI	LONG. PROB.	20 Km.	TIPO PROB.

ANOMALIAS GEOMORFOLOGICAS LIGADAS Y/O PROB. LIGADAS

EN EL RELIEVE O LADERAS

EN LA RED HIDROG.

OTROS

Escarpe de fallas  
Caras afacetadas  
Basculamientos  
Encajamientos  
Solapes

X

Valles colgados  
Capturas  
Encajamientos  
Inflexiones  
Difluencias  
Cambios bruscos en el perfil


GEOFISICA

FALLA DETECTADA POR ESTE METODO	SI	RUMBO PROB.	NE	BUZ. PROB.	SUR
		LONG. PROB.	20 Km.	TIPO PROB.	

Por el metodo Electrico  
Sismico  
Gravimetrico

X
X

Profundidad de la estructura  
Edad mat. a los que afecta

> 600 m.
Mioc. Sup.

*Cabalgamiento antiguo que funciona como normal en el Mioc. Superior.*

GEOTERMISMO/VOLCANISMO ASOCIADO

Volcanismo	Quimismo o clase	Geotermismo	Manantiales	Temperatura
	Edad absoluta		Sondeo	Profundidad

SISMICIDAD ASOCIADA

HISTORICA

Nº SISMOS \_\_\_\_\_  
 INTENS. MAX. \_\_\_\_\_  
 ISOSISTAS \_\_\_\_\_  
 Relación con la estructura:

INSTRUMENTAL

B	Nº SISMOS	4	MAGNITUDES MAX.	3.9
P	PROPUNDDIDADES MEDIAS	5 km	REPLICAS	
M	RUMBO DE LAS MISMAS			
	ERROR EPICENTRO	9-14	ERROR PROF.	14-25

CORRELACION CON LA FALLA E

B	B (Buena)
P	P (Probable)
M	M (Mala)

CLASE DE ACTIVIDAD

APECTA AL CUATERNARIO  
 APECTA A LA MORFOLOGIA  
 ASOCIADA A SISMICIDAD  
 GEOTERMISMO

SI	NO	?	CLASIFICACION SEGUN TABLA I
		X	<div style="border: 1px solid black; padding: 5px; display: inline-block;">                     B-1                 </div>
X			
X			
	X		

**FICHA DE FALLA**

Nº 40 DENOMINACION SITUACION  
 SISTEMA SUBBÁTICO ZONA SUBBÁTICA  
 FALLAS O. de Pericay - G. Sanz DOMINIO INTERNO  
 SECTOR Sub. Valdein/Peruo CUENCA \_\_\_\_\_  
 Fecha: \_\_\_\_\_ Autor: J. M. Sosa  
Para las fallas bien visibles en superficie:

**GEOMETRIA**

LONGITUD 2-3 Km.  
 RUMBO N20°E / N120°E  
 BUZAMIENTO 80-90°W / 70-90°SW

**ANALISIS TECTO/NEO/EVOLUTIVO**

Sobre la misma estructura       En estructuras menores asociadas

EDAD DE LOS MATERIALES AFECTADOS	TIPIFICACION				REGIMEN TECTONICO		ESFUERZOS	SALTOS	
	NORMAL	DESGARRE		INVERSA	COMPRESION	DISTENSION	DIRECCION DE $\sigma_1$ O $\sigma_2$ EN LA HORIZONTAL	EN	EN
		MIXTA	L					D	MIXTA
PRE-TORT.									
TORT-INF.									
TORT-SUP.									
MESIN.									
PLIOCENO									
PLIO-CUAT.									
CUATERNARIO	X					X	$\sigma_3 \approx E-W$		

**ASPECTO Y NATURALEZA DE LOS MAT. AFECTADOS**

En ambas fracturas se observan depósitos de vertiente claramente deformados. Incluso pequeños sistemas de poca salto de fracturas antitehicas en el interior de los mismos.

**EL RELLENO**

El relleno, constituido por caliche masiva sin evidencias de deformación posterior a su genesis

-Relación con las estructuras mayores o con otras fallas importantes:

Analisis realizado por:  
idem.

Para todas las fallas

TECTO-SEDIMENTACION

FALLA DETECTADA POR ESTE METODO	SI	
	NO	

RUMBO PROB.		BUZ. PROB.	
LONG. PROB.		TIPO PROB.	

Breve descripción de la influencia en las características de la sedimentación y edad de los materiales

GEOMORFOLOGIA

FALLA DETECTADA POR ESTE METODO	X
SE OBSERVA COMO LINEAMIENTO?	

RUMBO PROB.		BUZ. PROB.	
LONG. PROB.		TIPO PROB.	

ANOMALIAS GEOMORFOLOGICAS LIGADAS Y/O PROB. LIGADAS

EN EL RELIEVE O LADERAS

EN LA RED HIDROG.

OTROS

Escarpe de fallas	X
Caras afacetadas	
Basculamientos	X
Encajamientos	
Solapes	

Valles colgados	
Capturas	
Encajamientos	
Inflexiones	
Difluencias	
Cambios bruscos en el perfil	

GEOFISICA

FALLA DETECTADA POR ESTE METODO	
---------------------------------	--

RUMBO PROB.		BUZ. PROB.	
LONG. PROB.		TIPO PROB.	

Por el metodo	Electrico	
	Sismico	
	Gravimetrico	

Profundidad de la estructura	
Edad mat. a los que afecta	

**GEOTERMISMO/VOLCANISMO ASOCIADO**

Volcanismo	Quimismo o clase _____ Edad absoluta _____	Geotermismo	Manantiales <input type="checkbox"/> Sondeo <input type="checkbox"/>	Temperatura <input type="text"/> Profundidad <input type="text"/>
------------	---	-------------	---	--

**SISMICIDAD ASOCIADA**

HISTORICA

Nº SISMOS \_\_\_\_\_  
 INTENS. MAX. \_\_\_\_\_  
 ISOSISTAS \_\_\_\_\_  
 Relación con la estructura:

INSTRUMENTAL

CORRELACION	B	Nº SISMOS <u>3</u>	MAGNITUDES MAX. <u>3.3</u>
	P	PROFUNDIDADES MEDIAS <u>5 km</u>	REPLICAS _____
	M	RUMBO DE LAS MISMAS _____	ERROR EPICENTRO <u>&lt;&lt; 5 km</u>
		ERROR PROF. <u>&lt;&lt; 5 km.</u>	

CORRELACION CON LA FALLA

B	<input checked="" type="checkbox"/>	B (Buena)
P	<input checked="" type="checkbox"/>	P (Probable)
M	<input type="checkbox"/>	M (Mala)

CLASE DE ACTIVIDAD

- APECTA AL CUATERNARIO
- APECTA A LA MORFOLOGIA
- ASOCIADA A SISMICIDAD
- GEOTERMISMO

	SI	NO	?	CLASIFICACION SEGUN TABLA I
APECTA AL CUATERNARIO	X			<div style="border: 1px solid black; padding: 5px; width: fit-content; margin: 0 auto;">A-II</div>
APECTA A LA MORFOLOGIA	X			
ASOCIADA A SISMICIDAD	X			
GEOTERMISMO		X		

**FICHA DE FALLA**

Nº 41 DENOMINACION SITUACION  
 SISTEMA SUBBETICO ZONA SUBBETICO-PRABETICO  
 FALLA Ranbla del Puerto DOMINIO trazo Subbetico  
 SECTOR \_\_\_\_\_ CUENCA \_\_\_\_\_  
 Fecha: \_\_\_\_\_ Autor: J. H. Soria

Para las fallas bien visibles en superficie:

GEOMETRIA

LONGITUD 2 Km  
 RUMBO N 20° E  
 BOZAMIENTO Vertical

ANALISIS TECTO/NEO/EVOLUTIVO

Sobre la misma estructura       En estructuras menores asociadas

EDAD DE LOS MATERIALES AFECTADOS	TIPIFICACION				REGIMEN TECTONICO		ESFUERZOS	SALTOS	
	NORMAL		DESGARRE		COMPRESION	DISTENSION	DIRECCION DE $\sigma_1$ O $\sigma_3$ EN LA HORIZONTAL	EN	EN
	MIXTA	L	D	MIXTA				HORIZ.	VERT.
PRE-TORT.									
TORT-IMP.									
TORT-SUP.									
MESSIN.									
PLIOCENO									
PLIO-QUAT.									
CUATERNARIO	X					X	$\sigma_3 = NW-SE$		> 20 u.

**ASPECTO Y NATURALEZA DE LOS MAT. AFECTADOS**

Un cuaternario reciente (coluviones) está limitado por el propio plano de falla, que afecta claramente a los calizas paleógenas, originando un resalte morfológico muy patente.

**EL RELLENO**

Aunque hay diaclasas abiertas paralelas al plano de falla principal, no se observan rellenos, posiblemente debido al carácter reciente de la fractura.

-Relación con las estructuras mayores o con otras fallas importantes:

Analisis realizado por:

Esta fractura discurre paralela al posillo neógeno que separa los relieves subbeticos del macizo de la Cabra y Revolcadores.

idem



Para todas las fallas

TECTO-SEDIMENTACION

FALLA DETECTADA POR ESTE METODO	SI	
	NO	

RUMBO PROB.		BUZ. PROB.	
LONG. PROB.		TIPO PROB.	

Breve descripción de la influencia en las características de la sedimentación y edad de los materiales

GEOMORFOLOGIA

FALLA DETECTADA POR ESTE METODO	X
SE OBSERVA COMO LINEAMIENTO?	

RUMBO PROB.		BUZ. PROB.	
LONG. PROB.		TIPO PROB.	

ANOMALIAS GEOMORFOLOGICAS LIGADAS Y/O PROB. LIGADAS

EN EL RELIEVE O LADERAS

EN LA RED HIDROG.

OTROS

Escarpe de fallas

Valles colgados

Caras afacetadas

Capturas

Basculamientos

Encajamientos

Encajamientos

Inflexiones

Solapes

Difluencias

Cambios bruscos en el perfil

GEOFISICA

FALLA DETECTADA POR ESTE METODO	
---------------------------------	--

RUMBO PROB.		BUZ. PROB.	
LONG. PROB.		TIPO PROB.	

Por el metodo Electrico

Profundidad de la estructura

Sismico

Edad mat. a los que afecta

Gravimetrico

**GEOTERMISMO/VOLCANISMO ASOCIADO**

Volcanismo	Quimismo o clase _____ Geotermismo	Manantiales <input type="checkbox"/>	Temperatura	<input style="width: 90%;" type="text"/>
	Edad absoluta _____	Sondeo <input type="checkbox"/>	Profundidad	<input style="width: 90%;" type="text"/>

**SISMICIDAD ASOCIADA**

HISTORICA

No SISMOS \_\_\_\_\_ CORRELACION B   
 INTENS. MAY. \_\_\_\_\_ P   
 ISOSISTAS \_\_\_\_\_ M   
 Relación con la estructura:

INSTRUMENTAL

No SISMOS \_\_\_\_\_ MAGNITUDES MAX. \_\_\_\_\_  
 PROFUNDIDADES MEDIAS \_\_\_\_\_ REPLICAS \_\_\_\_\_  
 RUMBO DE LAS MISMAS \_\_\_\_\_  
 ERROR EPICENTRO \_\_\_\_\_ ERROR PROF. \_\_\_\_\_

CORRELACION CON LA FALLA E

P

M

B (Buena)  
 P (Probable)  
 M (Mala)

CLASE DE ACTIVIDAD

	SI	NO	?	CLASIFICACION		
				SEGUN	TABLA	I
APECTA AL CUATERNARIO	X					
APECTA A LA MORFOLOGIA	X					
ASOCIADA A SISMICIDAD		X				
GEOTERMISMO		X				

**FICHA DE FALLA**

Nº42 DENOMINACION SITUACION  
 SISTEMA SUBBETICO ZONA SUBBETICO-PRERBTICO  
 FALLA Sin Reveladores DOMINIO preta Subbética (externa)  
 SECTOR \_\_\_\_\_ CUENCA \_\_\_\_\_  
 Fecha: \_\_\_\_\_ Autor: J. M. Soria

Para las fallas bien visibles en superficie:

GEOMETRIA

LONGITUD 1-1'5 km  
 RUMBO N 80° E a E-W  
 BUZAMIENTO Vertical

ANALISIS TECTO/NEO/EVOLUTIVO

Sobre la misma estructura       En estructuras menores asociadas

EDAD DE LOS MATERIALES AFECTADOS	TIPIFICACION				REGIMEN TECTONICO		ESFUERZOS	SALTOS	
	NORMAL	DESGARRE		INVERSA	COMPRESION	DISTENSION	DIRECCION DE $\sigma_1$ , $0$ $\sigma_3$ EN LA HORIZONTAL	EN	EN
	MIXTA	L	D	MIXTA				HORIZ.	VERT
PRE-TORT.									
TORT-INF.									
TORT-SUP.									
MESSIN.									
PLIOCENO									
PLIO-CUAT.									
CUATERNARIO	X					X	?		±30 m.

ASPECTO Y NATURALEZA DE LOS MAT. AFECTADOS

*Grandes formaciones de abanicos aluviales a presenten afectados en sus partes apicales*

EL RELLENO

-Relación con las estructuras mayores o con otras fallas importantes:

Analisis realizado por:  
*idem*

Para todas las fallas

TECTO-SEDIMENTACION

FALLA DETECTADA POR ESTE METODO	SI	RUMBO PROB.	BUZ. PROB.
	NO	LONG. PROB.	TIPO PROB.

Breve descripción de la influencia en las características de la sedimentación y edad de los materiales

GEOMORFOLOGIA

FALLA DETECTADA POR ESTE METODO	X	RUMBO PROB.	BUZ. PROB.
SE OBSERVA COMO LINEAMIENTO?		LONG. PROB.	TIPO PROB.

ANOMALIAS GEOMORFOLOGICAS LIGADAS Y/O PROB. LIGADAS

EN EL RELIEVE O LADERAS

EN LA RED HIDROG.

OTROS

Escarpe de fallas	X	Valles colgados	
Caras afacetadas		Capturas	
Basculamientos		Encajamientos	
Encajamientos		Inflexiones	
Solapes		Difluencias	
		Cambios bruscos en el perfil	

GEOFISICA

FALLA DETECTADA POR ESTE METODO	RUMBO PROB.	BUZ. PROB.
	LONG. PROB.	TIPO PROB.

Por el metodo	Electrico	
	Sismico	
	Gravimetrico	

Profundidad de la estructura	
Edad mat. a los que afecta	

**GEOTERMISMO/VOLCANISMO ASOCIADO**

Volcanismo	Quimismo o clase _____	Geotermismo	Manantiales		Temperatura	
	Edad absoluta _____		Sondeo		Profundidad	

**SISMICIDAD ASOCIADA**

HISTORICA

INSTRUMENTAL

Nº SISMOS \_\_\_\_\_ CORRELACION B

INTENS. MAX. \_\_\_\_\_ P

ISOSISTAS \_\_\_\_\_ M

Relación con la estructura:

Nº SISMOS \_\_\_\_\_ MAGNITUDES MAX. \_\_\_\_\_

PROFUNDIDADES MEDIAS \_\_\_\_\_ REPLICAS \_\_\_\_\_

RUMBO DE LAS MISMAS \_\_\_\_\_

ERROR EPICENTRO \_\_\_\_\_ ERROR PROF. \_\_\_\_\_

CORRELACION CON LA FALLA B


P

M

B (Buena)  
P (Probable)  
M (Mala)

CLASE DE ACTIVIDAD

- APECTA AL CUATERNARIO
- APECTA A LA MORFOLOGIA
- ASOCIADA A SISMICIDAD
- GEOTERMISMO

	SI	NO	?	CLASIFICACION SEGUN TABLA I
APECTA AL CUATERNARIO	X			
APECTA A LA MORFOLOGIA	X			
ASOCIADA A SISMICIDAD		X		
GEOTERMISMO		X		

### FICHA DE FALLA

Nº 43 DENOMINACION SISTEMA PREBETICO SITUACION ZONA PREBETICO  
 FALLA Del Sabinar DOMINIO INTERNO  
 SECTOR \_\_\_\_\_ CUENCA \_\_\_\_\_  
 Fecha: \_\_\_\_\_ Autor: J. H. Song

Para las fallas bien visibles en superficie:

GEOMETRIA

LONGITUD 1.5 km  
 RUMBO N 30-40° E  
 BUZAMIENTO Variable, 60° al SE o al NW.

ANALISIS TECTO/NEO/EVOLUTIVO

Sobre la misma estructura       En estructuras menores asociadas

EDAD DE LOS MATERIALES AFECTADOS	TIPIFICACION				REGIMEN TECTONICO		ESFUERZOS	SALTOS	
	NORMAL	DESGARRE		INVERSA	COMPRESION	DISTENSION	DIRECCION DE $\sigma_1, 0 \sigma_3$ EN LA HORIZONTAL	EN	EN
		MIXTA	L					D	MIXTA
PRE-TORT.									
TORT-INF.									
TORT-SUP.									
MESSIN.									
PLIOCENO									
PLIO-CUAT.									
CUATERNARIO	X					X	$\sigma_3 \approx E-W$		

**ASPECTO Y NATURALEZA DE LOS MAT. AFECTADOS**

Todas las fracturas observadas pertenecen a un sistema extensional que afecta al Cuaternario aluvial de la Vega del Sabinar; en las bordes de este Vega las fracturas muestran excelentes ejemplos de estrías verticales en sus planos

**ELLENDO**

-Relación con las estructuras mayores o con otras fallas importantes:

Analisis realizado por:

Idem.

Para todas las fallas

TECTO-SEDIMENTACION

FALLA DETECTADA POR ESTE METODO	SI	X
	NO	

RUMBO PROB.		BUZ. PROB.	
LONG. PROB.		TIPO PROB.	

Breve descripción de la influencia en las características de la sedimentación y edad de los materiales coincide la zona de acumulación aluvial con un sector subsidente controlado por las fracturas descritas

GEOMORFOLOGIA

FALLA DETECTADA POR ESTE METODO	En parte
SE OBSERVA COMO LINEAMIENTO?	

RUMBO PROB.		BUZ. PROB.	
LONG. PROB.		TIPO PROB.	

ANOMALIAS GEOMORFOLOGICAS LIGADAS Y/O PROB. LIGADAS

EN EL RELIEVE O LADERAS

EN LA RED HIDROG.

OTROS

Escarpe de fallas	X
Caras afacetadas	
Basculamientos	
Encajamientos	
Solapes	

Valles colgados	
Capturas	
Encajamientos	
Inflexiones	
Difluencias	
Cambios bruscos en el perfil	

GEOFISICA

FALLA DETECTADA POR ESTE METODO	
---------------------------------	--

RUMBO PROB.		BUZ. PROB.	
LONG. PROB.		TIPO PROB.	

Por el método	Electrico	
	Sismico	
	Gravimetrico	

Profundidad de la estructura	
Edad mat. a los que afecta	

GEOTERMISMO/VOLCANISMO ASOCIADO

Volcanismo	Quimismo o clase _____	Geotermismo	Manantiales		Temperatura	
	Edad absoluta _____		Sondeo		Profundidad	

SISMICIDAD ASOCIADA

HISTORICA

Nº SISMOS \_\_\_\_\_ CORRELACION B   
 INTENS. MAX. \_\_\_\_\_ P   
 ISOSISTAS \_\_\_\_\_ M   
 Relación con la estructura:

INSTRUMENTAL

Nº SISMOS \_\_\_\_\_ MAGNITUDES MAX. \_\_\_\_\_  
 PROFUNDIDADES MEDIAS \_\_\_\_\_ REPLICAS \_\_\_\_\_  
 RUMBO DE LAS MISMAS \_\_\_\_\_  
 ERROR EPICENTRO \_\_\_\_\_ ERROR PROF. \_\_\_\_\_

CORRELACION CON LA FALLA B


P

M

B (Buena)  
 P (Probable)  
 M (Mala)

CLASE DE ACTIVIDAD

- APECTA AL CUATERNARIO
- APECTA A LA MORFOLOGIA
- ASOCIADA A SISMICIDAD
- GEOTERMISMO

	SI	NO	?	CLASIFICACION		
				SEGUN	TABLA	I
APECTA AL CUATERNARIO	×			<div style="border: 1px solid black; padding: 10px; width: fit-content; margin: 0 auto;">  </div>		
APECTA A LA MORFOLOGIA	×					
ASOCIADA A SISMICIDAD		×				
GEOTERMISMO		×				



### FICHA DE FALLA

Nº 44 DENOMINACION \_\_\_\_\_ SITUACION \_\_\_\_\_  
 SISTEMA SUBBETICO ZONA SUBBETICA  
 FALLA ARCHIVEL DOMINIO EXTERNO  
 SECTOR Archivel CUENCA Corveles  
 Fecha: \_\_\_\_\_ Autor: A. Estevez, Lopez Arca.  
 Para las fallas bien visibles en superficie: J.M. Andreu y P. Alfaro

#### GEOMETRIA

LONGITUD ≈ 6 kms.  
 RUMBO ≈ N150°E  
 BUZAMIENTO \_\_\_\_\_

#### ANALISIS TECTO/NEO/EVOLUTIVO

Sobre la misma estructura       En estructuras menores asociadas

EDAD DE LOS MATERIALES AFECTADOS	TIPIFICACION				REGIMEN TECTONICO		ESFUERZOS	SALTOS	
	NORMAL	DESGARRE		INVERSA	COMPRESION	DISTENSION	DIRECCION DE $\sigma_1$ , $\sigma_2$ EN LA HORIZONTAL	EN	EN
	MIXTA	L	D	MIXTA				HORIZ.	VERT.
PRE-TORT.									
TORT-INF.									
TORT-SUP.									
MESSIN.									
PLIOCENO	x				x	x	$\sigma_1 \approx N-S$		
PLIO-CUAT.	x				x	x	$\sigma_3 \approx E-W$		
CUATERNARIO									

#### ASPECTO Y NATURALEZA DE LOS MAT. AFECTADOS

Plioceno y Pleistoceno con diacépsa variable localmente. Relaciones al valle NW-SE. Pliogua métrica al E. del Cortijo del Paletón (ctra. Sabinor-Archivel).

#### EL RELLENO

-Relación con las estructuras mayores o con otras fallas importantes:

La subcuenca de N. de Archivel parece estar relacionada con fallas del sistema NW-SE. Son fallas detectables solo por geomorfología

Analisis realizado por:

idem.

Para todas las fallas

TECTO-SEDIMENTACION

FALLA DETECTADA POR ESTE METODO	SI	
	NO	X

RUMBO PROB.		BUZ. PROB.	
LONG. PROB.		TIPO PROB.	

Breve descripción de la influencia en las características de la sedimentación y edad de los materiales

GEOMORFOLOGIA

FALLA DETECTADA POR ESTE METODO	X
SE OBSERVA COMO LINEAMIENTO?	NO

RUMBO PROB.	NW-SE	BUZ. PROB.	
LONG. PROB.		TIPO PROB.	

ANOMALIAS GEOMORFOLOGICAS LIGADAS Y/O PROB. LIGADAS

EN EL RELIEVE O LADERAS

Escarpe de fallas	
Caras afacetadas	
Basculamientos	
Encajamientos	
Solapes	

EN LA RED HIDROG.

Valles colgados	
Capturas	
Encajamientos	X
Inflexiones	
Difluencias	
Cambios bruscos en el perfil	

OTROS

Zona deprimida.

GEOFISICA

FALLA DETECTADA POR ESTE METODO	SI
---------------------------------	----

RUMBO PROB.	N150°E	BUZ. PROB.	
LONG. PROB.	6 Km.	TIPO PROB.	

Por el metodo	Electrico	X
	Sismico	
	Gravimetrico	

Profundidad de la estructura	600 m.
Edad mat. a los que afecta	Plioceno ?

**GEOTERMISMO/VOLCANISMO ASOCIADO**

Volcanismo	Quimismo o clase _____	Geotermismo	Manantiales	<input type="checkbox"/>	Temperatura	<input type="checkbox"/>
	Edad absoluta _____		Sondeo	<input type="checkbox"/>	Profundidad	<input type="checkbox"/>

**SISMICIDAD ASOCIADA**

HISTORICA

Nº SISMOS \_\_\_\_\_  
 INTENS. MAX. \_\_\_\_\_  
 SISMAS \_\_\_\_\_  
 relación con la estructura:


INSTRUMENTAL

CORRELACION	B	Nº SISMOS _____	MAGNITUDES MAX. _____
	P	PROPUNDDIDADES MEDIAS _____	REPLICAS _____
	M	RUMBO DE LAS MISMAS _____	ERROR PROF. _____
		ERROR EPICENTRO _____	

CORRELACION CON LA FALLA B  B (Buena)  
 P  P (Probable)  
 M  M (Mala)

CLASE DE ACTIVIDAD

- APECTA AL CUATERNARIO
- APECTA A LA MORFOLOGIA
- ASOCIADA A SISMICIDAD
- GEOTERMISMO

	SI	NO	?	CLASIFICACION		
				SEGUN	TABLA	I
APECTA AL CUATERNARIO	X					
APECTA A LA MORFOLOGIA	X					
ASOCIADA A SISMICIDAD			X			
GEOTERMISMO		X				

### FICHA DE FALLA

Nº 45 DENOMINACION

SITUACION

SISTEMA SUBBETICO

ZONA SUBBETICA

FALLA La Juguera-Mancheño

DOMINIO EXTERNO

SECTOR Coroico-La Puebla

CUENCA Tarapaya

Fecha:

Autor: Lopez Arca, A. Estevez.

Para las fallas bien visibles en superficie: J.H. Andreu, P. Alfaro

#### GEOMETRIA

LONGITUD ≈ 10 km

RUMBO ≈ N 150° E

BUZAMIENTO

#### ANALISIS TECTO/NEO/EVOLUTIVO

Sobre la misma estructura

En estructuras menores asociadas

EDAD DE LOS MATERIALES AFECTADOS	TIPIFICACION				REGIMEN TECTONICO		ESFUERZOS	SALTOS	
	NORMAL	DESGARRE		INVERSA	COMPRESION	DISTENSION	DIRECCION DE $\sigma_1$ O $\sigma_2$ EN LA HORIZONTAL	EN	EN
		MIXTA	L					D	MIXTA
PRE-TORT.									
TORT-INF.									
TORT-SUP.									
MESSIN.									
PLIOCENO									
PLIO-CUAT.									
CUATERNARIO									

#### ASPECTO Y NATURALEZA DE LOS MAT. AFECTADOS

Rocas desde el Triás al Neógeno inferior y superior.  
Estración de cantos.

#### EL RELLENO

-Relación con las estructuras mayores o con otras fallas importantes:

Afecta al sistema de pliegues de Mancheño que alcanzó al Plioceno y al sinclinal de Moralejo

Análisis realizado por:

Idem.

Para todas las fallas

TECTO-SEDIMENTACION

FALLA DETECTADA POR ESTE METODO	SI	RUMBO PROB.	BUZ. PROB.
	NO	LONG. PROB.	TIPO PROB.

Breve descripción de la influencia en las características de la sedimentación y edad de los materiales

GEOMORFOLOGIA

FALLA DETECTADA POR ESTE METODO	X	RUMBO PROB.	BUZ. PROB.
SE OBSERVA COMO LINEAMIENTO?	Si	LONG. PROB.	TIPO PROB.

ANOMALIAS GEOMORFOLOGICAS LIGADAS Y/O PROB. LIGADAS

EN EL RELIEVE O LADERAS

EN LA RED HIDROG.

OTROS

Escarpe de fallas	X	Valles colgados	
Caras afacetadas		Capturas	
Basculamientos		Encajamientos	
Encajamientos	X	Inflexiones	
Solapes		Difluencias	
		Cambios bruscos en el perfil	

GEOFISICA

FALLA DETECTADA POR ESTE METODO	RUMBO PROB.	BUZ. PROB.
	LONG. PROB.	TIPO PROB.

Por el metodo	Electrico	Profundidad de la estructura
	Sismico	Edad mat. a los que afecta
	Gravimetrico	

GEOTERMISMO/VOLCANISMO ASOCIADO

Volcanismo	Quimismo o clase _____	Geotermismo	Manantiales	<input type="checkbox"/>	Temperatura	<input type="checkbox"/>
	Edad absoluta _____		Sondeo	<input type="checkbox"/>	Profundidad	<input type="checkbox"/>

SISMICIDAD ASOCIADA

HISTORICA

Nº SISMOS \_\_\_\_\_  
 INTENS. MAX. \_\_\_\_\_  
 ISOSISTAS \_\_\_\_\_  
 Relación con la estructura:

INSTRUMENTAL

CORRELACION	B	Nº SISMOS _____	MAGNITUDES MAX. _____
	P	PROPUNDADES MEDIAS _____	REPLICAS _____
	M	RUMBO DE LAS MISMAS _____	ERROR EPICENTRO _____
		ERROR PROF. _____	

CORRELACION CON LA FALLA B  B (Buena)  
 P  P (Probable)  
 M  M (Mala)

CLASE DE ACTIVIDAD

- APECTA AL CUATERNARIO
- APECTA A LA MORFOLOGIA
- ASOCIADA A SISMICIDAD
- GEOTERMISMO

	SI	NO	?	CLASIFICACION		
				SEGUN	TABLA	I
APECTA AL CUATERNARIO			X	<div style="border: 1px solid black; padding: 5px; display: inline-block;">b-1</div>		
APECTA A LA MORFOLOGIA	X					
ASOCIADA A SISMICIDAD			X			
GEOTERMISMO		X				

**FICHA DE FALLA**

Nº 46 DENOMINACION

SITUACION

SISTEMA SUBBETICO

ZONA SUBBETICA

FALLA LAS AGUZADERAS - EL CARRO

DOMINIO EXTERNO

SECTOR CORVAICO - LA PUÑOLA

CUENCA TARRAÑOSA

Fecha:

Autor: A. Estevez, López Arcos

Para las fallas bien visibles en superficie: J.M. Andreu y P. Alfaro

**GEOMETRIA**

LONGITUD  $\approx 5$  km

RUMBO  $\approx 150^\circ E$

BUZAMIENTO

**ANALISIS TECTO/NEO/EVOLUTIVO**

Sobre la misma estructura

En estructuras menores asociadas

EDAD DE LOS MATERIALES AFECTADOS	TIPIFICACION				REGIMEN TECTONICO		ESFUERZOS	SALTOS	
	NORMAL	DESGARRE		INVERSA	COMPRESION	DISTENSION		DIRECCION DE $\sigma_1, \sigma_2, \sigma_3$ EN LA HORIZONTAL	EN HORIZ.
		MIXTA	L				D		
PRE-TORT.	x					*			
TORT-INF.									
TORT-SUP.									
MESSIN.									
PLIOCENO	x					x	$\sigma_1 \approx N-S$		
PLIO-CUAT.									
CUATERNARIO									

**ASPECTO Y NATURALEZA DE LOS MAT. AFECTADOS**

Materiales como arcillas, conglomerados y mergas-calizas de Edad Mesozoica a Neogeno Superior

**EL RELLENO**

-Relación con las estructuras mayores o con otras fallas importantes:

Debe afectar a la falla del Barranco de Tarrasoya.  
Es paralelo al sistema de la Junguera-Mancheña.  
Debe ser de la misma edad

Analisis realizado por:

Idem

Para todas las fallas

TECTO-SEDIMENTACION

FALLA DETECTADA POR ESTE METODO	SI	
	NO	

RUMBO PROB.		BUZ. PROB.	
LONG. PROB.		TIPO PROB.	

Breve descripción de la influencia en las características de la sedimentación y edad de los materiales

GEOMORFOLOGIA

FALLA DETECTADA POR ESTE METODO	X
SE OBSERVA COMO LINEAMIENTO?	no

RUMBO PROB.		BUZ. PROB.	
LONG. PROB.		TIPO PROB.	

ANOMALIAS GEOMORFOLOGICAS LIGADAS Y/O PROB. LIGADAS

EN EL RELIEVE O LADERAS

EN LA RED HIDROG.

OTROS

Escarpe de fallas	X
Caras afacetadas	
Basculamientos	
Encajamientos	
Solapes	

Valles colgados	
Capturas	
Encajamientos	
Inflexiones	
Difluencias	
Cambios bruscos en el perfil	

GEOFISICA

FALLA DETECTADA POR ESTE METODO	
---------------------------------	--

RUMBO PROB.		BUZ. PROB.	
LONG. PROB.		TIPO PROB.	

Por el metodo	Electrico	
	Sismico	
	Gravimetrico	

Profundidad de la estructura	
Edad mat. a los que afecta	



**GEOTERMISMO/VOLCANISMO ASOCIADO**

Volcanismo	Quimismo o clase _____ Edad absoluta _____	Geotermismo Sondeo	Manantiales <input type="text"/> Sondeo <input type="text"/>	Temperatura <input type="text"/> Profundidad <input type="text"/>
------------	---	-----------------------	---	--

**SISMICIDAD ASOCIADA**

HISTORICA

Nº SISMOS \_\_\_\_\_  
 INTENS. MAX. \_\_\_\_\_  
 ISOSISTAS \_\_\_\_\_  
 Relación con la estructura:

INSTRUMENTAL

Nº SISMOS \_\_\_\_\_  
 PROFUNDIDADES MEDIAS \_\_\_\_\_  
 RUMBO DE LAS MISMAS \_\_\_\_\_  
 ERROR EPICENTRO \_\_\_\_\_

MAGNITUDES MAX. \_\_\_\_\_  
 REPLICAS \_\_\_\_\_  
 ERROR PROF. \_\_\_\_\_

CORRELACION B  
P  
M

CORRELACION CON LA FALLA B

	B (Buena)
	P (Probable)
	M (Mala)

P  
M

CLASE DE ACTIVIDAD

- APECTA AL CUATERNARIO
- APECTA A LA MORFOLOGIA
- ASOCIADA A SISMICIDAD
- GEOTERMISMO

	SI	NO	?	CLASIFICACION SEGUN TABLA I
APECTA AL CUATERNARIO		×		<div style="border: 1px solid black; width: 40px; height: 40px; margin: 0 auto; display: flex; align-items: center; justify-content: center;"> <span style="font-size: 24px; font-weight: bold;">b-2</span> </div>
APECTA A LA MORFOLOGIA	×			
ASOCIADA A SISMICIDAD		×		
GEOTERMISMO		×		

FICHA DE FALLA

Nº 47 DENOMINACION SISTEMA SUBBETICO SITUACION ZONA SUBBETICO  
 FALLA Taragoza DOMINIO EXTERNA  
 SECTOR Oravaca - la Royas CUENCA de Taragoza  
 Fecha: Autor: A. Estevez, Lopez Arcas  
 Para las fallas bien visibles en superficie: J.A. Andreu, P. Alfaro  
y G. Barranco

GEOMETRIA

LONGITUD  $\approx 15$  km.  
 RUMBO  $\approx N60^\circ E$   
 BOZAMIENTO

ANALISIS TECTO/NEO/EVOLUTIVO

Sobre la misma estructura  En estructuras menores asociadas

EDAD DE LOS MATERIALES AFECTADOS	TIPIFICACION				REGIMEN TECTONICO		ESFUERZOS	SALTOS	
	NORMAL	DESGARRE		INVERSA	COMPRESION	DISTENSION	DIRECCION DE $\sigma_1, \sigma_2, \sigma_3$ EN LA HORIZONTAL	EN HORIZ.	EN VERT.
		MIXTA	L						
PRE-TORT.			X		X		$\sigma_1 \approx E-W$		
TORT-INF.									
TORT-SUP.									
MESSIN.			X		X?		$\sigma_1 \approx N-S$		
PLIOCENO									
PLIO-CUAT.			X		X		$\sigma_1 \approx N-S$		
CUATERNARIO									

ASPECTO Y NATURALEZA DE LOS MAT. AFECTADOS

Del Trias al Neogeno Sup. Plioceno basculado y plegado en diversos puntos a ambos lados de la falla. Pliegues y falla de menor entidad. Hay desviados de los materiales pliocenos a ambos lados de la Rambla. Efectos diapiricos.

EL RELLENO

-Relación con las estructuras mayores o con otras fallas importantes:

Dirección paralela al occidente Cadiz - Alicante (Bullas - Arboleas). Desaparece en las afloramientos de Tria que aflora el sistema la Juncosa-Mancheño.

Analisis realizado por:

Idem

Para todas las fallas

TECTO-SEDIMENTACION

FALLA DETECTADA POR ESTE METODO	SI	X	RUMBO PROB.		BUZ. PROB.	
	NO		LONG. PROB.		TIPO PROB.	

Breve descripción de la influencia en las características de la sedimentación y edad de los materiales  
*La polaridad observada en la sedimentación en el Plioceno y Cuaternario se debe al juego de este accidente.*

GEOMORFOLOGIA

FALLA DETECTADA POR ESTE METODO	X	RUMBO PROB.	N 60° E	BUZ. PROB.	
SE OBSERVA COMO LINEAMIENTO?	+	LONG. PROB.	215 km	TIPO PROB.	

ANOMALIAS GEOMORFOLOGICAS LIGADAS Y/O PROB. LIGADAS

EN EL RELIEVE O LADERAS

EN LA RED HIDROG.

OTROS

Escarpe de fallas	<input type="checkbox"/>	Valles colgados	<input type="checkbox"/>
Caras afacetadas	<input type="checkbox"/>	Capturas	<input type="checkbox"/>
Basculamientos	X	Encajamientos	X
Encajamientos	<input type="checkbox"/>	Inflexiones	<input type="checkbox"/>
Solapes	<input type="checkbox"/>	Difluencias	<input type="checkbox"/>
		Cambios bruscos en el perfil	<input type="checkbox"/>

GEOFISICA

FALLA DETECTADA POR ESTE METODO	Si	RUMBO PROB.	N 70° E	BUZ. PROB.	90°
		LONG. PROB.	12 km.	TIPO PROB.	normal

Por el metodo	Electrico	X
	Sismico	<input type="checkbox"/>
	Gravimetrico	<input type="checkbox"/>

Profundidad de la estructura	800 m.
Edad mat. a los que afecta	Plioceno

*Es una falla que hunde el Mesozoico del bloque N, el Mioceno del bloque Sur, y que produce desajustes durante el Pliocuaternario.*

GEOTERMISMO/VOLCANISMO ASOCIADO

Volcanismo	Quimismo o clase _____ Edad absoluta _____	Geotermismo	Manantiales <input style="width: 20px; height: 20px;" type="text"/> Sondeo <input style="width: 20px; height: 20px;" type="text"/>	Temperatura <input style="width: 40px; height: 20px;" type="text"/> Profundidad <input style="width: 40px; height: 20px;" type="text"/>
------------	---	-------------	---	--

SISMICIDAD ASOCIADA

HISTORICA

INSTRUMENTAL

Nº SISMOS \_\_\_\_\_ CORRELACION B

INTENS. MAX. \_\_\_\_\_ P

ISOSISTAS \_\_\_\_\_ M

Relación con la estructura:

Nº SISMOS \_\_\_\_\_ MAGNITUDES MAX. \_\_\_\_\_

PROFUNDIDADES MEDIAS \_\_\_\_\_ REPLICAS \_\_\_\_\_

RUMBO DE LAS MISMAS \_\_\_\_\_

ERROR EPICENTRO \_\_\_\_\_ ERROR PROF. \_\_\_\_\_

CORRELACION CON LA FALLA B

P

M

B (Buena)  
 P (Probable)  
 M (Mala)

CLASE DE ACTIVIDAD

- APECTA AL CUATERNARIO
- APECTA A LA MORFOLOGIA
- ASOCIADA A SISMICIDAD
- GEOTERMISMO

	SI	NO	?	CLASIFICACION SEGUN TABLA I
APECTA AL CUATERNARIO			×	<div style="border: 1px solid black; padding: 5px; display: inline-block;">b-1</div>
APECTA A LA MORFOLOGIA	×			
ASOCIADA A SISMICIDAD			×	
GEOTERMISMO		×		

**FICHA DE FALLA**

Nº 48 DENOMINACION \_\_\_\_\_ SITUACION \_\_\_\_\_  
 SISTEMA SUBBETICO ZONA SUBBETICO  
 FALLA PICO PELADOS DOMINIO EXTERNO  
 SECTOR \_\_\_\_\_ CUENCA Torosoya  
 Fecha: \_\_\_\_\_ Autor: A. Estvez, L. Arca, J.M. Andru  
 Para las fallas bien visibles en superficie: y P. Alfaro

**GEOMETRIA**

LONGITUD 10 km.  
 RUMBO S-W  
 BUZAMIENTO 80-90°S

**ANALISIS TECTO/NEO/EVOLUTIVO**

Sobre la misma estructura       En estructuras menores asociadas

EDAD DE LOS MATERIALES AFECTADOS	TIPIFICACION				REGIMEN TECTONICO		ESFUERZOS	SALTOS	
	NORMAL	DESGARRE		INVERSA	COMPRESION	DISTENSION	DIRECCION DE $\sigma_1$ , $0$ $\sigma_3$ EN LA HORIZONTAL	EN	EN
		MIXTA	L					D	MIXTA
PRE-TORT.									
TORT-IMP.									
TORT-SUP.					X		$\sigma_1 \approx N160^\circ$		Importante
MESSIN.					X		"		Importante
PLIOCENO					X		"		Importante
PLIO-CUAT.									Importante
CUATERNARIO					X		$\sigma_1 \approx N170^\circ$		

**ASPECTO Y NATURALEZA DE LOS MAT. AFECTADOS**

Desde el Trias al Cuaternario. Estruccion de cantos, Diaclastas y microfallas en el Mibc. Superior. Fallas inversas y pliegues en el Juraceno terminada al Sur de Pico Madroños. Plioceno plegado y fracturado. Terrazas cuaternarias plegadas

EL RELLENO fallado y basculado hacia el Norte.

-Relación con las estructuras mayores o con otras fallas importantes:

Representa el sulco del Accidente Bullas-Archeva (o Cádiz-Alicante) con el sistema de fallas de la faja de Murcia-Murcia. (N45°)

Analisis realizado por:

Ikem.

Para todas las fallas

TECTO-SEDIMENTACION

FALLA DETECTADA POR ESTE METODO	SI	
	NO	

RUMBO PROB.		BUZ. PROB.	
LONG. PROB.		TIPO PROB.	

Breve descripción de la influencia en las características de la sedimentación y edad de los materiales

GEOMORFOLOGIA

FALLA DETECTADA POR ESTE METODO	X
SE OBSERVA COMO LINEAMIENTO?	SI

RUMBO PROB.		BUZ. PROB.	
LONG. PROB.		TIPO PROB.	

ANOMALIAS GEOMORFOLOGICAS LIGADAS Y/O PROB. LIGADAS

EN EL RELIEVE O LADERAS

EN LA RED HIDROG.

OTROS

Escarpe de fallas	
Caras afacetadas	
Basculamientos	X
Encajamientos	X
Solapes	

Valles colgados	
Capturas	
Encajamientos	X
Inflexiones	
Difluencias	
Cambios bruscos en el perfil	

GEOFISICA

FALLA DETECTADA POR ESTE METODO	X
---------------------------------	---

RUMBO PROB.	ESE	BUZ. PROB.	
LONG. PROB.	10 km.	TIPO PROB.	

Por el metodo	Electrico	X
	Sismico	
	Gravimetrico	

Profundidad de la estructura	800 m.
Edad mat. a los que afecta	Plioceno.

GEOTERMISMO/VOLCANISMO ASOCIADO

Volcanismo	Quimismo o clase	Geotermismo	Manantiales	Temperatura	
	Edad absoluta		Sondeo	Profundidad	

SISMICIDAD ASOCIADA

HISTORICA

INSTRUMENTAL

No SISMOS _____ INTENS. MAX. _____ ISOSISTAS _____ Relación con la estructura:	CORRELACION B P M	No SISMOS _____ PROFUNDIDADES MEDIAS _____ RUMBO DE LAS MISMAS _____ ERROR EPICENTRO _____	MAGNITUDES MAX. _____ REPLICAS _____ ERROR PROF. _____
---	-------------------------	---	--

CORRELACION CON LA FALLA B

B	B (Buena)
P	P (Probable)
M	M (Mala)

GRADO DE ACTIVIDAD

	SI	NO	?	CLASIFICACION SEGUN TABLA I		
	APECTA AL CUATERNARIO	×			<div style="border: 1px solid black; padding: 5px; display: inline-block;">                     A-II                 </div>	
APECTA A LA MORFOLOGIA	×					
ASOCIADA A SISMICIDAD			×			
GEOTERMISMO		×				

### FICHA DE FALLA

**Nº 49 DENOMINACION** CADIZ - ALICANTE **SITUACION**  
**SISTEMA** CADIZ - ALICANTE **ZONA** SUBBETICA  
**FALLA** BULLAS - ARCHENA **DOMINIO** MEDIO-EXTERNO  
**SECTOR** \_\_\_\_\_ **CUENCA** \_\_\_\_\_  
**Fecha:** \_\_\_\_\_ **Autor:** A. Estevez, Lopez Arca  
J. M. Andrau, P. Alfaro  
y L. M. Barranco.

Para las fallas bien visibles en superficie:

**GEOMETRIA**

LONGITUD  $\approx 70$  km  
 RUMBO  $\approx N60-65^\circ E$   
 BUZAMIENTO  $\approx 70 S - 60 N$

**ANALISIS TECTO/NEO/EVOLUTIVO**

Sobre la misma estructura       En estructuras menores asociadas

EDAD DE LOS MATERIALES AFECTADOS	TIPIFICACION				REGIMEN TECTONICO		ESFUERZOS	SALTOS	
	NORMAL	DESGARRE		INVERSA	COMPRESION	DISTENSION	DIRECCION DE $\sigma_1$ , $0$ , $\sigma_3$ EN LA HORIZONTAL	EN	EN
		MIXTA	L					D	MIXTA
PRE-TORT.									
TORT-INF.				X					Importante
TORT-SUP.				X			$\sigma_1 \approx 150^\circ E$		
MESSIN.				X					
PLIOCENO		X					$\sigma_1 \approx N-S$		
PLIO-CUAT.		X					$\sigma_1 \approx N70^\circ E$		
CUATERNARIO		X							

**ASPECTO Y NATURALEZA DE LOS MAT. AFECTADOS**

Desde el Trias al Cuaternario. Estricciones de cantos, chicalasos y microfallas en el Mioc. sup. Pliegues desde el Mioc. sup. hasta el Cuaternario. Terresta y Travertina cuaternaria plegada y basculada al S. y SW de Bullas (Rambal de Coaraja), donde el Mesozoico presenta EL RELLENO ta foliación cataclástica.

El rñia se encuentra extruido a favor del accidente, y en algunos casos llega a extrabarsarse más o menos ampliamente (vert. Sur de la SE de Ricote).

-Relación con las estructuras mayores o con otras fallas importantes:

Se trata de un conjunto de fallas agrupada bajo la denominación de Accidente de Cadiz - Alicante (aquí de Bullas - Archena). Estas afectadas por falla del sistema más reciente de dirección NW-SE.

Análisis realizado por:

Idem.



Para todas las fallas

TECTO-SEDIMENTACION

FALLA DETECTADA POR ESTE METODO	SI	<input checked="" type="checkbox"/>	RUMBO PROB.	N60 E	BUZ. PROB.	Vertical (medic)
	NO	<input type="checkbox"/>	LONG. PROB.	escala reg.	TIPO PROB.	desgarro

Breve descripción de la influencia en las características de la sedimentación y edad de los materiales  
 influye en la sedimentación de la materia neógena reciente, a cuaternaria, y es responsable de cambios laterales de facies. En algunas zonas las cuencas se desarrollan al N. del Accidente (Caravaca-Torrogoya), y otras al Sur (Mur).  
 27-

GEOMORFOLOGIA

FALLA DETECTADA POR ESTE METODO	<input checked="" type="checkbox"/>	RUMBO PROB.	N60°E	BUZ. PROB.	Vertical (medic)
SE OBSERVA COMO LINEAMIENTO?	si	LONG. PROB.	escala reg.	TIPO PROB.	Desgarro

ANOMALIAS GEOMORFOLOGICAS LIGADAS Y/O PROB. LIGADAS

EN EL RELIEVE O LADERAS

EN LA RED HIDROG.

OTROS

Escarpe de fallas	<input checked="" type="checkbox"/>	Valles colgados	<input type="checkbox"/>
Caras afacetadas	<input type="checkbox"/>	Capturas	<input type="checkbox"/>
Basculamientos	<input checked="" type="checkbox"/>	Encajamientos	<input type="checkbox"/>
Encajamientos	<input checked="" type="checkbox"/>	Inflexiones	<input type="checkbox"/>
Solapes	<input type="checkbox"/>	Difluencias	<input type="checkbox"/>
		Cambios bruscos en el perfil	<input type="checkbox"/>

GEOFISICA

FALLA DETECTADA POR ESTE METODO	<input checked="" type="checkbox"/>	RUMBO PROB.	N65°E	BUZ. PROB.	≥ 90°
		LONG. PROB.		TIPO PROB.	normal -desgarro-

Possible falsedad de la data por opau. Talamiento trasico.

Por el metodo	Electrico	<input type="checkbox"/>	Profundidad de la estructura	10 Km?
	Sismico	<input checked="" type="checkbox"/>	Edad mat. a los que afecta	Hasta al Plioceno
	Gravimetrico	<input type="checkbox"/>		

GEOTERMISMO/VOLCANISMO. ASOCIADO

Volcanismo	Quimismo o clase	Geotermismo	Manantiales	3	Temperatura	21°
	Edad absoluta		Sondeo	1	Profundidad	

SISMICIDAD ASOCIADA

HISTORICA

NO SISMOS NUMERO

INTENS. MAX. \_\_\_\_\_

ISOSISTAS \_\_\_\_\_

Relación con la estructura:

INSTRUMENTAL

CORRELACION B P M	NO SISMOS	1 (3)	MAGNITUDES MAX.	3.7
	PROFUNDIDADES MEDIAS	5	REPLICAS	
	RUMBO DE LAS MISMAS			
	ERROR EPICENTRO	1	ERROR PROF.	5

CORRELACION CON LA FALLA B

B	X
P	
M	

B (Buena)  
P (Probable)  
M (Mala)

CLASE DE ACTIVIDAD

- APECTA AL CUATERNARIO
- APECTA A LA MORFOLOGIA
- ASOCIADA A SISMICIDAD
- GEOTERMISMO

SI	NO	?	CLASIFICACION SEGUN TABLA I
X			A-II
X			
X			
X			

**FICHA DE FALLA**

Nº 50 DENOMINACION SITUACION  
 SISTEMA CADIZ-AUCANTE ZONA SUBBETICO - PREBETICO  
 FALLA Archena - Maccisbenda DOMINIO frente Subbetico  
 SECTOR \_\_\_\_\_ CUENCA \_\_\_\_\_  
 Fecha: \_\_\_\_\_ Autor: A. Estevez, Lopez Arcos  
Para las fallas bien visibles en superficie:

**GEOMETRIA**

LONGITUD 2 36 kms.  
 RUMBO 2 N60°E  
 BUZAMIENTO 3 60°N-90°

**ANALISIS TECTO/NEO/EVOLUTIVO**

Sobre la misma estructura       En estructuras menores asociadas

EDAD DE LOS MATERIALES AFECTADOS	TIPIFICACION				REGIMEN TECTONICO		ESFUERZOS	SALTOS	
	NORMAL	DESGARRE		INVERSA	COMPRESION	DISTENSION	DIRECCION DE $\sigma_1$ O $\sigma_2$ EN LA HORIZONTAL	EN HORIZ.	EN VERT.
		MIXTA	L						
PRE-TORT.									
TORT-INF.									
TORT-SUP.			X		X		$\sigma_1 \approx 160 E$		
MESSIN.			X		X				
PLIOCENO									
PLIO-CUAT.									
CUATERNARIO			X ?				$\sigma_1 \approx N-S ?$		

**ASPECTO Y NATURALEZA DE LOS MAT. AFECTADOS**

Afecta al Mioc. Sup. y estriccion de cantos, diaclasas y microfallas. Pliegues tambien. Es presumible que afecte tambien a los materiales cuaternarios, pero no se tienen datos.

**EL RELLENO**

El Tria se encuentra grabado en nucleos anticlinales fallados

-Relacion con las estructuras mayores o con otras fallas importantes:

Conjunto de fallas agrupadas bajo la denominacion de Accidente Cadiz-Alicante. Afectado por falla de activacion mas reciente de direccion NW-SE. Tiende a obliterar la direccion N60°E.

Analisis realizado por:

Idem.

Para todas las fallas

TECTO-SEDIMENTACION

FALLA DETECTADA POR ESTE METODO	SI	<input checked="" type="checkbox"/>	RUMBO PROB.	N60°E	BUZ. PROB.	
	NO	<input type="checkbox"/>	LONG. PROB.		TIPO PROB.	

Breve descripción de la influencia en las características de la sedimentación y edad de los materiales

*influye en la sedimentación de los materiales del Tortoniano superior, y es responsable de cambios laterales de facies*

GEOMORFOLOGIA

FALLA DETECTADA POR ESTE METODO	<i>en parte</i>	<input type="checkbox"/>	RUMBO PROB.		BUZ. PROB.	
SE OBSERVA COMO LINEAMIENTO?		<input type="checkbox"/>	LONG. PROB.		TIPO PROB.	

ANOMALIAS GEOMORFOLOGICAS LIGADAS Y/O PROB. LIGADAS

EN EL RELIEVE O LADERAS

EN LA RED HIDROG.

OTROS

Escarpe de fallas	<input checked="" type="checkbox"/>	Valles colgados	<input type="checkbox"/>
Caras afacetadas	<input type="checkbox"/>	Capturas	<input type="checkbox"/>
Basculamientos	<input checked="" type="checkbox"/>	Encajamientos	<input checked="" type="checkbox"/>
Encajamientos	<input checked="" type="checkbox"/>	Inflexiones	<input type="checkbox"/>
Solapes	<input type="checkbox"/>	Difluencias	<input type="checkbox"/>
		Cambios bruscos en el perfil	<input type="checkbox"/>

GEOFISICA

FALLA DETECTADA POR ESTE METODO		RUMBO PROB.		BUZ. PROB.	
		LONG. PROB.		TIPO PROB.	

Por el metodo	Electrico	<input type="checkbox"/>
	Sismico	<input type="checkbox"/>
	Gravimetrico	<input type="checkbox"/>

Profundidad de la estructura	<input type="checkbox"/>
Edad mat. a los que afecta	<input type="checkbox"/>

GEOTERMISMO/VOLCANISMO ASOCIADO

Volcanismo	Quimismo o clase _____	Geotermismo	Manantiales	<input checked="" type="checkbox"/>	Temperatura	<input type="text"/>
	Edad absoluta _____		Sondeo	<input type="checkbox"/>	Profundidad	<input type="text"/>

SISMICIDAD ASOCIADA

HISTORICA

Nº SISMOS numeroso

INTENS. MAX. \_\_\_\_\_

ISOSISTAS \_\_\_\_\_

Relación con la estructura:

INSTRUMENTAL

B	WOSISMOS _____	MAGNITUDES MAX. _____
P	PROPUNDADES MEDIAS _____	REPLICAS _____
<input checked="" type="checkbox"/>	RUMBO DE LAS MISMAS _____	
M	ERROR EPICENTRO _____	ERROR PROP. _____

CORRELACION CON LA FALLA

B	B (Buena)
P	P (Probable)
M	M (Mala)

CLASE DE ACTIVIDAD

- APECTA AL CUATERNARIO
- APECTA A LA MORFOLOGIA
- ASOCIADA A SISMICIDAD
- GEOTERMISMO

	SI	NO	?	CLASIFICACION SEGUN TABLA I		
	APECTA AL CUATERNARIO			<input checked="" type="checkbox"/>	<div style="border: 1px solid black; border-radius: 50%; width: 40px; height: 40px; display: flex; align-items: center; justify-content: center; margin: 0 auto;"> <span style="font-size: 24px; font-weight: bold;">B-1</span> </div>	
APECTA A LA MORFOLOGIA	<input checked="" type="checkbox"/>					
ASOCIADA A SISMICIDAD	<input checked="" type="checkbox"/>					
GEOTERMISMO	<input checked="" type="checkbox"/>					

**FICHA DE FALLA**

Nº 51 DENOMINACION

SITUACION

SISTEMA SUBBETICO

ZONA SUBBETICO

FALLA CARAVACA-SINGLA

DOMINIO INTERNO

SECTOR

CUENCA CARAVACA-TAREAGUAY

Fecha:

Autor: A. Estavez, L. Aron, J.M. Andru

Para las fallas bien visibles en superficie: y P. Alfaro

**GEOMETRIA**

LONGITUD 310 Km  
 RUMBO ± N25°E  
 BUZAMIENTO ± 90°

**ANALISIS TECTO/NEO/EVOLUTIVO**

Sobre la misma estructura       En estructuras menores asociadas

EDAD DE LOS MATERIALES AFECTADOS	TIPIFICACION				REGIMEN TECTONICO			ESFUERZOS	SALTOS	
	NORMAL	DESGARRE		INVERSA	COMPRESION	DISTENSION	DIRECCION DE $\sigma_1$ $\sigma_2$ $\sigma_3$ EN LA HORIZONTAL	EN	EN	
	MIXTA	L	D	MIXTA				HORIZ.	VERT.	
PRE-TORT.										
TORT-INF.										
TORT-SUP.			X							
MESSIN.					X	X	X ?			
PLIOCENO			X		X	X	X	$\sigma_1 \approx N-S$		
PLIO-CUAT.			X		X	X	X	$\sigma_3 \approx E-W$		
CUATERNARIO			X		X	X	X	$\sigma_1 \approx N-S$		

**ASPECTO Y NATURALEZA DE LOS MAT. AFECTADOS**

Estratificación de cantos del Plioceno y Pleistoceno. Estratificación afectada de los mismos. Existencia de pliaques cartografiadas de dirección N60°E relacionada con el mismo esfuerzo

**EL RELLENO**

-Relación con las estructuras mayores o con otras fallas importantes:

Subparalela a otras fallas arcuadas (52). Forma sintema NE-SW conjugada del NW-SE mejor representado. Relacionado con el borde oriental del Subbetico de Cerro Gordo.

Analisis realizado por:

Idem

Para todas las fallas

TECTO-SEDIMENTACION

FALLA DETECTADA POR ESTE METODO	SI		RUMBO PROB.		EUZ. PROB.	
	NO	X	LONG. PROB.		TIPO PROB.	

Breve descripción de la influencia en las características de la sedimentación y edad de los materiales

GEOMORFOLOGIA

FALLA DETECTADA POR ESTE METODO	X	RUMBO PROB.		EUZ. PROB.	
SE OBSERVA COMO LINEAMIENTO?	no	LONG. PROB.		TIPO PROB.	

ANOMALIAS GEOMORFOLOGICAS LIGADAS Y/O PROB. LIGADAS

EN EL RELIEVE O LADERAS

EN LA RED HIDROG.

OTROS

Escarpe de fallas	X	Valles colgados	
Caras afacetadas		Capturas	
Basculamientos		Encajamientos	
Encajamientos		Inflexiones	
Solapes		Difluencias	
		Cambios bruscos en el perfil	

GEOFISICA

FALLA DETECTADA POR ESTE METODO		RUMBO PROB.		EUZ. PROB.	
		LONG. PROB.		TIPO PROB.	

Por el metodo Electrico

Sismico

Gravimetrico


Profundidad de la estructura

Edad mat. a los que afecta


GEOTERMISMO/VOLCANISMO ASOCIADO

Volcanismo	Quimismo o clase	Geotermismo	Manantiales	Temperatura
	Edad absoluta		Sondeo	Profundidad

SISMICIDAD ASOCIADA

HISTORICA

Nº SISMOS 1

INTENS. MAX. IV

ISOSISTAS Si

Relación con la estructura:

*Paralelas.*

INSTRUMENTAL

CORRELACION	B	<input checked="" type="checkbox"/>	Nº SISMOS	MAGNITUDES MAX.
	P	<input type="checkbox"/>	PROPUNDDIDADES MEDIAS	REPLICAS
	M	<input type="checkbox"/>	RUMBO DE LAS MISMAS	
			ERROR EPICENTRO	ERROR PROF.

CORRELACION CON LA FALLA

B	<input checked="" type="checkbox"/>	B (Buena)
P	<input checked="" type="checkbox"/>	P (Probable)
M	<input type="checkbox"/>	M (Mala)


CLASE DE ACTIVIDAD

APECTA AL CUATERNARIO

APECTA A LA MORFOLOGIA

ASOCIADA A SISMICIDAD

GEOTERMISMO

	SI	NO	?	CLASIFICACION SEGUN TABLA I
APECTA AL CUATERNARIO	<input checked="" type="checkbox"/>			
APECTA A LA MORFOLOGIA	<input checked="" type="checkbox"/>			
ASOCIADA A SISMICIDAD	<input checked="" type="checkbox"/>			
GEOTERMISMO		<input checked="" type="checkbox"/>		



**FICHA DE FALLA**

Nº 52 DENOMINACION \_\_\_\_\_ SITUACION \_\_\_\_\_  
 SISTEMA SUBBETICO ZONA SUBBETICA  
 FALLA Loma de Yeguas - Cumbre Lengua DOMINIO EXTERNO  
 SECTOR Almudévar - Ceravaca CUENCA Tarragona  
 Fecha: \_\_\_\_\_ Autor: A. Estvez, Lope Arco, J.M. Andue  
 Para las fallas bien visibles en superficie: P. Quijano y L.M. Barranco

**GEOMETRIA**

LONGITUD 2.16 km  
 RUMBO 2 N30°E  
 BUZAMIENTO \_\_\_\_\_

**ANALISIS TECTO/NEO/EVOLUTIVO**

Sobre la misma estructura       En estructuras menores asociadas

EDAD DE LOS MATERIALES AFECTADOS	TIPIFICACION				REGIMEN TECTONICO		ESFUERZOS	SALTOS	
	NORMAL	DESGARRE		INVERSA	COMPRESION	DISTENSION	DIRECCION DE $\sigma_1$ O $\sigma_3$ EN LA HORIZONTAL	EN	EN
	MIXTA	L	D	MIXTA				HORIZ.	VERT.
PRE-TORT.									
TORT-INF.									
TORT-SUP.									
MESSIN.									
PLIOCENO	x								
PLIO-CUAT.		x			x		$\sigma_1 \sim N-S$		
CUATERNARIO	x								

**ASPECTO Y NATURALEZA DE LOS MAT. AFECTADOS**

Plioceno con chudosos y cantos estrizados. Pliegues cartografiados truncados. Cuaternario basculado. En el extremo sur se prende bajo la coltura. Hacia el Norte alcanza el cauce del río Aragón, afectando probablemente al cuaternario de pie de monte.

**EL RELLENO**

-Relación con las estructuras mayores o con otras fallas importantes:

Pertenece al sistema NE-SW y a ella se asocian pequeñas fallas inversas, y cambios de buzamiento de materiales pliocénicos.

Analisis realizado por:

Idem.

Para todas las fallas

TECTO-SEDIMENTACION

FALLA DETECTADA POR ESTE METODO	SI		RUMBO PROB.		BUZ. PROB.	
	NO	X	LONG. PROB.		TIPO PROB.	

Breve descripción de la influencia en las características de la sedimentación y edad de los materiales

GEOMORFOLOGIA

FALLA DETECTADA POR ESTE METODO	X	RUMBO PROB.		BUZ. PROB.	
SE OBSERVA COMO LINEAMIENTO?	no	LONG. PROB.		TIPO PROB.	

ANOMALIAS GEOMORFOLOGICAS LIGADAS Y/O PROB. LIGADAS

EN EL RELIEVE O LADERAS

Escarpe de fallas	X
Caras afacetadas	
Basculamientos	X
Encajamientos	
Solapes	

EN LA RED HIDROG.

Valles colgados	
Capturas	
Encajamientos	X
Inflexiones	
Difluencias	
Cambios bruscos en el perfil	

OTROS

GEOFISICA

FALLA DETECTADA POR ESTE METODO	SI	RUMBO PROB.	N 40° E	BUZ. PROB.	
		LONG. PROB.		TIPO PROB.	

Por el metodo	Electrico	X
	Sismico	
	Gravimetrico	

Profundidad de la estructura	
Edad mat. a los que afecta	Plioceno

GEOTERMISMO/VOLCANISMO ASOCIADO

Volcanismo	Quimismo o clase _____ Geotermismo	Manantiales		Temperatura	
	Edad absoluta _____	Sondeo		Profundidad	

SISMICIDAD ASOCIADA

HISTORICA

Nº SISMOS \_\_\_\_\_ CORRELACION B

INTENS. MAX. \_\_\_\_\_ P

ISOSISTAS \_\_\_\_\_ M

Relación con la estructura:

INSTRUMENTAL

Nº SISMOS \_\_\_\_\_ MAGNITUDES MAX. \_\_\_\_\_

PROFUNDIDADES MEDIAS \_\_\_\_\_ REPLICAS \_\_\_\_\_

RUMBO DE LAS MISMAS \_\_\_\_\_

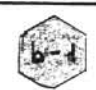
ERROR EPICENTRO \_\_\_\_\_ ERROR PROF. \_\_\_\_\_

CORRELACION CON LA FALLA B

	B (Buena)
	P (Probable)
	M (Mal)

CLASE DE ACTIVIDAD

- APECTA AL CUATERNARIO
- APECTA A LA MORFOLOGIA
- ASOCIADA A SISMICIDAD
- GEOTERMISMO

	SI	NO	?	CLASIFICACION SEGUN TABLA I
APECTA AL CUATERNARIO	×			<div style="border: 1px solid black; padding: 10px; display: inline-block;">  </div>
APECTA A LA MORFOLOGIA	×			
ASOCIADA A SISMICIDAD			×	
GEOTERMISMO		×		

**FICHA DE FALLA**

Nº 53 DENOMINACION SITUACION  
 SISTEMA SUBBETICA ZONA SUBBETICA  
 FALLA Cauçada del Catalán DOMINIO EXTERNO  
 SECTOR S. de la Encarnación CUENCA Tarragona  
 Fecha: Autor: A. Estevez Lopez Arce  
 Para las fallas bien visibles en superficie: P. Alfaro y J.M. Andueza

**GEOMETRIA**

LONGITUD ≈ 6 Km  
 RUMBO ≈ N 135° E  
 BUZAMIENTO

**ANALISIS TECTO/NEO/EVOLUTIVO**

Sobre la misma estructura       En estructuras menores asociadas

EDAD DE LOS MATERIALES AFECTADOS	TIPIFICACION				REGIMEN TECTONICO		ESFUERZOS	SALTOS	
	NORMAL	DESGARRE		INVERSA	COMPRESION	DISTENSION	DIRECCION DE $\sigma_1, 0 \sigma_2$ EN LA HORIZONTAL	EN HORIZ.	EN VERT
		MIXTA	L						
PRE-TORT.									
TORT-INF.									
TORT-SUP.									
MESSIN.									
PLIOCENO	x	x?			x	x	$\sigma_1 \approx N-S$ $\sigma_2 \approx E-W$		
PLIO-CUAT.									
CUATERNARIO	x?								

**ASPECTO Y NATURALEZA DE LOS MAT. AFECTADOS**

Plioceno afectado por un gran número de fallas normales a lo largo de la Rambla, y afectado en el conuino cercano a la misma. Cantos estratificados en su unidad monoclinal.

**EL RELLENO**

-Relación con las estructuras mayores o con otras fallas importantes:

Sistema NW-SE

Analisis realizado por:

Idem.

Para todas las fallas

TECTO-SEDIMENTACION

FALLA DETECTADA POR ESTE METODO	SI	
	NO	X

RUMBO PROB.		BUZ. PROB.	
LONG. PROB.		TIPO PROB.	

Breve descripción de la influencia en las características de la sedimentación y edad de los materiales

Hacia el relieve porfirico el Ploceano aumenta su contenido en cañones. El relieve porfirico situado al NE. influye ligeramente en la naturaleza del depósito que se hace brechoso solo en la vecindad del contacto, probablemente por fuga de fallas relacionada con este.

GEOMORFOLOGIA

FALLA DETECTADA POR ESTE METODO	X
SE OBSERVA COMO LINEAMIENTO?	

RUMBO PROB.		BUZ. PROB.	
LONG. PROB.		TIPO PROB.	

ANOMALIAS GEOMORFOLOGICAS LIGADAS Y/O PROB. LIGADAS

EN EL RELIEVE O LADERAS

EN LA RED HIDROG.

OTROS

Escarpe de fallas		Valles colgados	
Caras afacetadas		Capturas	
Basculamientos	X	Encajamientos	X
Encajamientos	X	Inflexiones	
Solapes		Difluencias	
		Cambios bruscos en el perfil	

GEOFISICA

FALLA DETECTADA POR ESTE METODO	
---------------------------------	--

RUMBO PROB.		BUZ. PROB.	
LONG. PROB.		TIPO PROB.	

Por el metodo	Electrico	
	Sismico	
	Gravimetrico	

Profundidad de la estructura	
Edad mat. a los que afecta	

GEOTERMISMO/VOLCANISMO ASOCIADO

Volcanismo	Quimismo o clase _____	Geotermismo	Manantiales	<input type="text"/>	Temperatura	<input type="text"/>
	Edad absoluta _____		Sondeo	<input type="text"/>	Profundidad	<input type="text"/>

SISMICIDAD ASOCIADA

HISTORICA

INSTRUMENTAL

Nº SISMOS \_\_\_\_\_ CORRELACION B

INTENS. MAX. \_\_\_\_\_ P

ISOSISTAS \_\_\_\_\_ M

Relación con la estructura:

Nº SISMOS \_\_\_\_\_ MAGNITUDES MAX. \_\_\_\_\_

PROFUNDIDADES MEDIAS \_\_\_\_\_ REPLICAS \_\_\_\_\_

RUMBO DE LAS MISMAS \_\_\_\_\_

ERROR EPICENTRO \_\_\_\_\_ ERROR PROF. \_\_\_\_\_

CORRELACION CON LA FALLA B


P

M

B (Buena)  
P (Probable)  
M (Mala)

CLASE DE ACTIVIDAD

- APECTA AL CUATERNARIO
- APECTA A LA MORFOLOGIA
- ASOCIADA A SISMICIDAD
- GEOTERMISMO

	SI	NO	?	CLASIFICACION SEGUN TABLA I	
APECTA AL CUATERNARIO			X	<div style="border: 1px solid black; padding: 5px; display: inline-block;">  </div>	
APECTA A LA MORFOLOGIA	X				
ASOCIADA A SISMICIDAD			X		
GEOTERMISMO		X			

**FICHA DE FALLA**

Nº 54 DENOMINACION SITUACION  
 SISTEMA SUBBETICO ZONA SUBBETICO  
 FALLA La Encarnacion DOMINIO Externo  
 SECTOR \_\_\_\_\_ CUENCA Tarragona  
 Fecha: \_\_\_\_\_ Autor: A. Estevez, Lopez Arcon.  
 Para las fallas bien visibles en superficie: P. Alfaro y S.M. Andreu

GEOMETRIA

LONGITUD 2.6 Km  
 RUMBO 3 N 55° E  
 BUZAMIENTO 3 60° W

ANALISIS TECTO/NEO/EVOLUTIVO

Sobre la misma estructura       En estructuras menores asociadas

EDAD DE LOS MATERIALES AFECTADOS	TIPIFICACION				REGIMEN TECTONICO		ESFUERZOS	SALTOS	
	NORMAL	DESGARRE		INVERSA	COMPRESION	DISTENSION	DIRECCION DE $\sigma_1$ O $\sigma_3$ EN LA HORIZONTAL	EN HORIZ.	EN VERT.
		MIXTA	L						
PRE-TORT.									
TORT-INF.									
TORT-SUP.	x								
MESSIN.									
PLIOCENO	x								
PLIO-CUAT.									
CUATERNARIO	x					x	$\sigma_3 \sim E-W$		

ASPECTO Y NATURALEZA DE LOS MAT. AFECTADOS

Afecta al contacto Tortomense - pie de monte cuaternario. Superficie de falla irregular, cañon del pie de monte atravesada verticalmente.

EL RELLENO

-Relación con las estructuras mayores o con otras fallas importantes:  
sistema NW-SE.

Analisis realizado por:  
Idem

Para todas las fallas

TECTO-SEDIMENTACION

FALLA DETECTADA POR ESTE METODO	SI		RUMBO PROB.		BUZ. PROB.	
	NO	X	LONG. PROB.		TIPO PROB.	

Breve descripción de la influencia en las características de la sedimentación y edad de los materiales

GEOMORFOLOGIA

FALLA DETECTADA POR ESTE METODO	X	RUMBO PROB.	NW-SE	BUZ. PROB.	
SE OBSERVA COMO LINEAMIENTO?		LONG. PROB.		TIPO PROB.	

ANOMALIAS GEOMORFOLOGICAS LIGADAS Y/O PROB. LIGADAS

EN EL RELIEVE O LADERAS

EN LA RED HIDROG.

OTROS

Escarpe de fallas	X	Valles colgados	
Caras afacetadas		Capturas	
Basculamientos		Encajamientos	
Encajamientos		Inflexiones	
Solapes		Difluencias	
		Cambios bruscos en el perfil	

GEOFISICA

FALLA DETECTADA POR ESTE METODO		RUMBO PROB.		BUZ. PROB.	
		LONG. PROB.		TIPO PROB.	

Por el metodo

Electrico	
Sismico	
Gravimetrico	

Profundidad de la estructura	
Edad mat. a los que afecta	



GEOTERMISMO/VOLCANISMO ASOCIADO

Volcanismo	Quimismo o clase _____ Geotermismo	Manantiales		Temperatura	
	Edad absoluta _____	Sondeo		Profundidad	

SISMICIDAD ASOCIADA

HISTORICA

Nº SISMOS \_\_\_\_\_

INTENS. MAX. \_\_\_\_\_

ISOSISTAS \_\_\_\_\_

Relación con la estructura:

CORRELACION B

P

M

INSTRUMENTAL

Nº SISMOS \_\_\_\_\_ MAGNITUDES MAX. \_\_\_\_\_

PROFUNDIDADES MEDIAS \_\_\_\_\_ REPLICAS \_\_\_\_\_

RUMBO DE LAS MISMAS \_\_\_\_\_

ERROR EPICENTRO \_\_\_\_\_ ERROR PROF. \_\_\_\_\_

CORRELACION CON LA FALLA B


B (Buena)

P (Probable)

M (Mala)

CLASE DE ACTIVIDAD

- AFECTA AL CUATERNARIO
- AFECTA A LA MORFOLOGIA
- ASOCIADA A SISMICIDAD
- GEOTERMISMO

	SI	NO	?	CLASIFICACION SEGUN TABLA I
AFECTA AL CUATERNARIO	×			<div style="border: 1px solid black; padding: 10px; width: 50px; margin: 0 auto;">  </div>
AFECTA A LA MORFOLOGIA	×			
ASOCIADA A SISMICIDAD		×		
GEOTERMISMO		×		

### FICHA DE FALLA

Nº 55 DENOMINACION \_\_\_\_\_ SITUACION \_\_\_\_\_  
 SISTEMA SUBBETICO ZONA SUBBETICA  
 FALLA Sopalmo-Clavijo DOMINIO EXTERNO  
 SECTOR \_\_\_\_\_ CUENCA TRATORGAYA  
 Fecha: \_\_\_\_\_ Autor: A. Estévez, López Arco  
 Para las fallas bien visibles en superficie: P. Alfaro, J. U. Andreu

GEOMETRIA

LONGITUD 3.5 kms  
 RUMBO N 160°-170° E  
 BUZAMIENTO \_\_\_\_\_

ANALISIS TECTO/NEO/EVOLUTIVO

Sobre la misma estructura       En estructuras menores asociadas

EDAD DE LOS MATERIALES AFECTADOS	TIPIFICACION				REGIMEN TECTONICO		ESFUERZOS	SALTOS	
	NORMAL	DESGARRE		INVERSA	COMPRESION	DISTENSION	DIRECCION DE $\sigma_1$ O $\sigma_3$ EN LA HORIZONTAL	EN	EN
	MIXTA	L	D	MIXTA				HORIZ.	VERT.
PRE-TORT.									
TORT-INF.									
TORT-SUP.	x								
MESSIN.	x								
PLIOGENO	x					x	$\sigma_1 \approx N-S$ $\sigma_3 \approx E-W$		
PLIO-CUAT.									
CUATERNARIO									

**ASPECTO Y NATURALEZA DE LOS MAT. AFECTADOS**

*Afecta al Tort. Sup - Messiniense y Plioceno. Los buzamientos estan afectados por estas fallas.*

**EL RELLENO**

-Relación con las estructuras mayores o con otras fallas importantes:

*afectan al Accidente Bullas - Archena*

Analisis realizado por:

*Idem.*

Para todas las fallas

TECTO-SEDIMENTACION

FALLA DETECTADA POR ESTE METODO	SI		RUMBO PROB.		BUZ. PROB.	
	NO	X	LONG. PROB.		TIPO PROB.	

Breve descripción de la influencia en las características de la sedimentación y edad de los materiales

GEOMORFOLOGIA

FALLA DETECTADA POR ESTE METODO	X		RUMBO PROB.	NNW-SSE	BUZ. PROB.	
SE OBSERVA COMO LINEAMIENTO?			LONG. PROB.		TIPO PROB.	

ANOMALIAS GEOMORFOLOGICAS LIGADAS Y/O PROB. LIGADAS

EN EL RELIEVE O LADERAS

EN LA RED HIDROG.

OTROS

Escarpe de fallas	<input type="checkbox"/>	Valles colgados	<input type="checkbox"/>
Caras afacetadas	<input type="checkbox"/>	Capturas	<input type="checkbox"/>
Easculamientos	<input type="checkbox"/>	Encajamientos	<input type="checkbox"/>
Encajamientos	X	Inflexiones	<input type="checkbox"/>
Solapes	<input type="checkbox"/>	Difluencias	<input type="checkbox"/>
		Cambios bruscos en el perfil	<input type="checkbox"/>

GEOFISICA

FALLA DETECTADA POR ESTE METODO		RUMBO PROB.		BUZ. PROB.	
		LONG. PROB.		TIPO PROB.	

Por el metodo	Electrico	<input type="checkbox"/>	Profundidad de la estructura	<input type="checkbox"/>
	Sismico	<input type="checkbox"/>	Edad mat. a los que afecta	<input type="checkbox"/>
	Gravimetrico	<input type="checkbox"/>		

**GEOTERMISMO/VOLCANISMO ASOCIADO**

Volcanismo	Quimismo o clase _____	Geotermismo	Manantiales	<input type="text"/>	Temperatura	<input type="text"/>
	Edad absoluta _____		Sondeo	<input type="text"/>	Profundidad	<input type="text"/>

**SISMICIDAD ASOCIADA**

HISTORICA

Nº SISMOS \_\_\_\_\_

INTENS. MAX. \_\_\_\_\_

ISOSISTAS \_\_\_\_\_

Relación con la estructura:

CORRELACION B

P

M

INSTRUMENTAL

Nº SISMOS \_\_\_\_\_ MAGNITUDES MAX. \_\_\_\_\_

PROFUNDIDADES MEDIAS \_\_\_\_\_ REPLICAS \_\_\_\_\_

RUMBO DE LAS MISMAS \_\_\_\_\_

ERROR EPICENTRO \_\_\_\_\_ ERROR PROF. \_\_\_\_\_

CORRELACION CON LA FALLA B

P

M

B (Buena)  
P (Probable)  
M (Mala)

CLASE DE ACTIVIDAD

APECTA AL CUATERNARIO

APECTA A LA MORFOLOGIA

ASOCIADA A SISMICIDAD

GEOTERMISMO

	SI	NO	?	CLASIFICACION		
				SEGUN	TABLA	I
APECTA AL CUATERNARIO			X	<div style="border: 1px solid black; padding: 5px; display: inline-block;">b-2</div>		
APECTA A LA MORFOLOGIA			X			
ASOCIADA A SISMICIDAD			X			
GEOTERMISMO		X				

**FICHA DE FALLA**

Nº 56 DENOMINACION \_\_\_\_\_ SITUACION \_\_\_\_\_  
 SISTEMA SUBBETICO ZONA SUBBETICA  
 FALLA Ceacejo - Ceperos DOMINIO MEDIO-EXTERNOS  
 SECTOR Villa San Vicente CUENCA \_\_\_\_\_  
 Fecha: \_\_\_\_\_ Autor: A. Estevez y otros.

Para las fallas bien visibles en superficie:

GEOMETRIA

LONGITUD  $\approx 1$  km  
 RUMBO  $\approx N35^\circ E$   
 BUZAMIENTO Vertical

ANALISIS TECTO/NEO/EVOLUTIVO

Sobre la misma estructura       En estructuras menores asociadas

EDAD DE LOS MATERIALES AFECTADOS	TIPIFICACION				REGIMEN TECTONICO		ESFUERZOS	SALTOS	
	NORMAL	DESGARRE		INVERSA	COMPRESION	DISTENSION	DIRECCION DE $\sigma_1, \sigma_2, \sigma_3$ EN LA HORIZONTAL	EN	EN
		MIXTA	L					D	MIXTA
PRE-TORT.									
TORT-INF.									
TORT-SUP.									
MESSIN.									
PLIOCENO									
PLIO-CUAT.									
CUATERNARIO			X		X	X	$\sigma_1 \approx N-S$ $\sigma_3 \approx E-W$		

ASPECTO Y NATURALEZA DE LOS MAT. AFECTADOS

Afecto al Cuaternario rojo cementado

EL RELLENO

-Relación con las estructuras mayores o con otras fallas importantes:

Corta al Accidente Bulla - Ardeusa  
Sistema NE-SW.

Analisis realizado por:

Idem.

Para todas las fallas

TECTO-SEDIMENTACION

FALLA DETECTADA POR ESTE METODO	SI	<input type="checkbox"/>
	NO	<input checked="" type="checkbox"/>

RUMBO PROB.	<input type="text"/>	BUZ. PROB.	<input type="text"/>
LONG. PROB.	<input type="text"/>	TIPO PROB.	<input type="text"/>

Breve descripción de la influencia en las características de la sedimentación y edad de los materiales

GEOMORFOLOGIA

FALLA DETECTADA POR ESTE METODO	<input type="checkbox"/>
SE OBSERVA COMO LINEAMIENTO?	<input type="checkbox"/>

RUMBO PROB.	<input type="text"/>	BUZ. PROB.	<input type="text"/>
LONG. PROB.	<input type="text"/>	TIPO PROB.	<input type="text"/>

ANOMALIAS GEOMORFOLOGICAS LIGADAS Y/O PROB. LIGADAS

EN EL RELIEVE O LADERAS

EN LA RED HIDROG.

OTROS

- Escarpe de fallas
- Caras afacetadas
- Basculamientos
- Encajamientos
- Solapes

- Valles colgados
- Capturas
- Encajamientos
- Inflexiones
- Difluencias
- Cambios bruscos en el perfil

*Se ve el desplazamiento de la falla Bullos - Arabeus.*

GEOFISICA

FALLA DETECTADA POR ESTE METODO	<input type="checkbox"/>
---------------------------------	--------------------------

RUMBO PROB.	<input type="text"/>	BUZ. PROB.	<input type="text"/>
LONG. PROB.	<input type="text"/>	TIPO PROB.	<input type="text"/>

- Por el metodo
- Electrico
  - Sismico
  - Gravimetrico

- Profundidad de la estructura
- Edad mat. a los que afecta

**GEOTERMISMO/VOLCANISMO ASOCIADO**

Volcanismo	Quimismo o clase _____	Geotermismo	Manantiales		Temperatura	
	Edad absoluta _____		Sondeo		Profundidad	

**SISMICIDAD ASOCIADA**

HISTORICA

Nº SISMOS \_\_\_\_\_

INTENS. MAX. \_\_\_\_\_

ISOSISTAS \_\_\_\_\_

Relación con la estructura:

CORRELACION B

INSTRUMENTAL

Nº SISMOS 1      MAGNITUDES MAX. 2.9

PROFUNDIDADES MEDIAS 5      REPLICAS \_\_\_\_\_

RUMBO DE LAS MISMAS ← 5

ERROR EPICENTRO < 5      ERROR PROP. < 5

B

P

M

CORRELACION CON LA FALLA B

B		B (Buena)
P	X	P (Probable)
M		M (Mala)

CLASE DE ACTIVIDAD

- APECTA AL CUATERNARIO
- APECTA A LA MORFOLOGIA
- ASOCIADA A SISMICIDAD
- GEOTERMISMO

	SI	NO	?	CLASIFICACION SEGUN TABLA I
APECTA AL CUATERNARIO	X			<div style="border: 1px solid black; padding: 5px; display: inline-block;">A-II</div>
APECTA A LA MORFOLOGIA			X	
ASOCIADA A SISMICIDAD	X			
GEOTERMISMO		X		

**FICHA DE FALLA**

Nº 57 DENOMINACION

SITUACION

SISTEMA SUBBETICO

ZONA SUBBETICO

FALLA Cerro Pelado

DOMINIO MEDIO

SECTOR Coy

CUENCA \_\_\_\_\_

Fecha: \_\_\_\_\_

Autor: A. Estévez, Lopez Arca, J. M. Andreu

Para las fallas bien visibles en superficie: y P. Alfaro.

**GEOMETRIA**

LONGITUD 3.6 kms  
RUMBO 3 N60°E  
BOZAMIENTO \_\_\_\_\_

**ANALISIS TECTO/NEO/EVOLUTIVO**

Sobre la misma estructura       En estructuras menores asociadas

EDAD DE LOS MATERIALES AFECTADOS	TIPIFICACION				REGIMEN TECTONICO		ESFUERZOS	SALTOS	
	NORMAL	DESGARRE		INVERSA	COMPRESION	DISTENSION	DIRECCION DE $\sigma_1$ O $\sigma_3$ EN LA HORIZONTAL	EN HORIZ.	EN VERT.
	MIXTA	L	D	MIXTA					
PRE-TORT.									
TORT-IMP.									
TORT-SUP.									
MESSIN.									
PLIOCENO									
PLIO-CUAT.		<u>x?</u>	<u>x</u>		<u>x</u>		<u><math>\sigma_1 \approx N-S</math></u>		
CUATERNARIO									

**ASPECTO Y NATURALEZA DE LOS MAT. AFECTADOS**

*Alineacion sospechosa de afloramiento trásico.  
Inflexión sinforme del Plio-cuatrenario de Cañada Jora al S. de Coy.*

**EL RELLENO**

-Relación con las estructuras mayores o con otras fallas importantes:

*Paralela al accidente Bullas - Archena (Cádiz - Alicante)*

Analisis realizado por:

*Idem*



Para todas las fallas

TECTO-SEDIMENTACION

FALLA DETECTADA POR ESTE METODO	SI	
	NO	<

RUMBO PROB.		BUZ. PROB.	
LONG. PROB.		TIPO PROB.	

Breve descripción de la influencia en las características de la sedimentación y edad de los materiales

GEOMORFOLOGIA

FALLA DETECTADA POR ESTE METODO	<
SE OBSERVA COMO LINEAMIENTO?	

RUMBO PROB.		BUZ. PROB.	
LONG. PROB.		TIPO PROB.	

ANOMALIAS GEOMORFOLOGICAS LIGADAS Y/O PROB. LIGADAS

EN EL RELIEVE O LADERAS

Escarpe de fallas	
Caras afacetadas	
Basculamientos	
Encajamientos	
Solapes	

EN LA RED HIDROG.

Valles colgados	
Capturas	
Encajamientos	<
Inflexiones	
Difluencias	
Cambios bruscos en el perfil	

OTROS

GEOFISICA

FALLA DETECTADA POR ESTE METODO	
---------------------------------	--

RUMBO PROB.		BUZ. PROB.	
LONG. PROB.		TIPO PROB.	

Por el metodo	Electrico	
	Sismico	
	Gravimetrico	

Profundidad de la estructura	
Edad mat. a los que afecta	

GEOTERMISMO/VOLCANISMO ASOCIADO

Volcanismo | Quimismo o clase \_\_\_\_\_ Geotermismo | Manantiales  Temperatura   
 | Edad absoluta \_\_\_\_\_ | Sondeo  Profundidad

SISMICIDAD ASOCIADA

HISTORICA

INSTRUMENTAL

№ SISMOS \_\_\_\_\_ CORRELACION B   
 INTENS. MAX. \_\_\_\_\_ P   
 ISOSISTAS \_\_\_\_\_ M   
 Relación con la estructura:

№ SISMOS \_\_\_\_\_ MAGNITUDES MAX. \_\_\_\_\_  
 PROFUNDIDADES MEDIAS \_\_\_\_\_ REPLICAS \_\_\_\_\_  
 RUMBO DE LAS MISMAS \_\_\_\_\_  
 ERROR EPICENTRO \_\_\_\_\_ ERROR PROF. \_\_\_\_\_

CORRELACION CON LA FALLA B  B (Buena)  
 P  P (Probable)  
 M  M (Mala)

CLASE DE ACTIVIDAD

- APECTA AL CUATERNARIO
- APECTA A LA MORFOLOGIA
- ASOCIADA A SISMICIDAD
- GEOTERMISMO

	SI	NO	?	CLASIFICACION		
				SEGUN	TABLA	I
APECTA AL CUATERNARIO			X	<div style="border: 1px solid black; padding: 5px; display: inline-block;">           A-III         </div>		
APECTA A LA MORFOLOGIA	X					
ASOCIADA A SISMICIDAD			X			
GEOTERMISMO		X				

### FICHA DE FALLA

Nº 58 DENOMINACION \_\_\_\_\_ SITUACION \_\_\_\_\_  
 SISTEMA SUBBETICO ZONA SUBBETICA  
 FALLA de Coy DOMINIO MEDIO  
 SECTOR N. de Coy CUENCA \_\_\_\_\_  
 Fecha: \_\_\_\_\_ Autor: A. Estévez y Lopez Arcos.

Para las fallas bien visibles en superficie:

GEOMETRIA

LONGITUD  $\approx 3$  kms  
 RUMBO  $\approx N 70^{\circ} E$   
 BUZAMIENTO \_\_\_\_\_

ANALISIS TECTO/NEO/EVOLUTIVO

Sobre la misma estructura       En estructuras menores asociadas

EDAD DE LOS MATERIALES AFECTADOS	TIPIFICACION				REGIMEN TECTONICO		ESFUERZOS	SALTOS	
	NORMAL	DESGARRE		INVERSA	COMPRESION	DISTENSION	DIRECCION DE $\sigma_1$ O $\sigma_3$ EN LA HORIZONTAL	EN	EN
	MIXTA	L	D	MIXTA				HORIZ.	VERT.
PRE-TORT.									
TORT-INF.									
TORT-SUP.			x — x						
MESSIN.			x — x						
PLIOCENO			x — x				$\sigma_1 \approx N-S$		
PLIO-CUAT.									
CUATERNARIO			x ? — x ?						

ASPECTO Y NATURALEZA DE LOS MAT. AFECTADOS

*Mioceno superior tectonizado y disclasado con fuerte inflexion perisinclinal*

EL RELLENO

-Relación con las estructuras mayores o con otras fallas importantes:

*Subordinada a la falla Bullón-Arcos (Cádiz-Alicante)*

Analisis realizado por:

*Idem.*

Para todas las fallas

TECTO-SEDIMENTACION

FALLA DETECTADA POR ESTE METODO	SI		RUMBO PROB.		BUZ. PROB.	
	NO	X	LONG. PROB.		TIPO PROB.	

Breve descripción de la influencia en las características de la sedimentación y edad de los materiales

GEOMORFOLOGIA

FALLA DETECTADA POR ESTE METODO	X	RUMBO PROB.		BUZ. PROB.	
SE OBSERVA COMO LINEAMIENTO?		LONG. PROB.		TIPO PROB.	

ANOMALIAS GEOMORFOLOGICAS LIGADAS Y/O PROB. LIGADAS

EN EL RELIEVE O LADERAS

EN LA RED HIDROG.

OTROS

Escarpe de fallas  
Caras afacetadas  
Basculamientos  
Encajamientos  
Solapes

X
X

Valles colgados  
Capturas  
Encajamientos  
Inflexiones  
Difluencias  
Cambios bruscos en el perfil

X

GEOFISICA

FALLA DETECTADA POR ESTE METODO		RUMBO PROB.		BUZ. PROB.	
		LONG. PROB.		TIPO PROB.	

Por el metodo Electrico  
Sismico  
Gravimetrico


Profundidad de la estructura  
Edad mat. a los que afecta


**GEOTERMISMO/VOLCANISMO ASOCIADO**

Volcanismo	Quimismo o clase _____	Geotermaismo	Manantiales	<input type="text"/>	Temperatura	<input type="text"/>
	Edad absoluta _____		Sondeo	<input type="text"/>	Profundidad	<input type="text"/>

**SISMICIDAD ASOCIADA**

HISTORICA

INSTRUMENTAL

Nº SISMOS \_\_\_\_\_ CORRELACION B

INTENS. MAX. \_\_\_\_\_ P

ISOSISTAS \_\_\_\_\_ M

Relación con la estructura:

Nº SISMOS \_\_\_\_\_ MAGNITUDES MAX. \_\_\_\_\_

PROFUNDIDADES MEDIAS \_\_\_\_\_ REPLICAS \_\_\_\_\_

RUMBO DE LAS MISMAS \_\_\_\_\_

ERROR EPICENTRO \_\_\_\_\_ ERROR PROF. \_\_\_\_\_

CORRELACION CON LA FALLA B

B (Buena)

P (Probable)

M (Mala)

CLASE DE ACTIVIDAD

APECTA AL CUATERNARIO

APECTA A LA MORFOLOGIA

ASOCIADA A SISMICIDAD

GEOTERMISMO

	SI	NO	?	CLASIFICACION SEGUN TABLA I
APECTA AL CUATERNARIO			x	<div style="border: 1px solid black; padding: 5px; display: inline-block;">b-2</div>
APECTA A LA MORFOLOGIA	x			
ASOCIADA A SISMICIDAD		x		
GEOTERMISMO		x		

**FICHA DE FALLA**

Nº 59 DENOMINACION

SITUACION

SISTEMA SUBBETICO

ZONA SUBBETICO

FALLA Aviles Norte

DOMINIO MEDIO

SECTOR Aviles

CUENCA Aviles

Fecha:

Autor: A. Estevez, Lopez Areas.

Para las fallas bien visibles en superficie: J.M. Andru, y P. Alfaro

**GEOMETRIA**

LONGITUD ± 13 kms  
 RUMBO ± N45°E  
 BOZAMIENTO

**ANALISIS TECTO/NEO/EVOLUTIVO**

Sobre la misma estructura

En estructuras menores asociadas

EDAD DE LOS MATERIALES AFECTADOS	TIPIFICACION				REGIMEN TECTONICO		ESFUERZOS	SALTOS	
	NORMAL	DESGARRE		INVERSA	COMPRESION	DISTENSION	DIRECCION DE $\sigma_1$ O $\sigma_2$ , EN LA HORIZONTAL	EN HORIZ.	EN VERT.
		MIXTA	L D	MIXTA					
PRE-TORT.									
TORT-INF.									
TORT-SUP.									
MESSIN.									
PLIOCENO	x		x ?				$\sigma_2$ N-S ? $\sigma_3$ E-W		
PLIO-CUAT.									
CUATERNARIO									

**ASPECTO Y NATURALEZA DE LOS MAT. AFECTADOS**

Afecta al Plioceno y posiblemente al Pleistoceno. Se observan buzamientos del Plioceno, más acusados en la vecindad de la traza de la falla.

**EL RELLENO**

-Relación con las estructuras mayores o con otras fallas importantes:

Paralela al Accidente Cádiz-Alicante (Bulles-Archena)

Análisis realizado por:

Idem.

Para todas las fallas

TECTO-SEDIMENTACION

FALLA DETECTADA POR ESTE METODO	SI	
	NO	X

RUMBO PROB.		BUZ. PROB.	
LONG. PROB.		TIPO PROB.	

Breve descripción de la influencia en las características de la sedimentación y edad de los materiales

GEOMORFOLOGIA

FALLA DETECTADA POR ESTE METODO	X
SE OBSERVA COMO LINEAMIENTO?	no

RUMBO PROB.		BUZ. PROB.	
LONG. PROB.		TIPO PROB.	

ANOMALIAS GEOMORFOLOGICAS LIGADAS Y/O PROB. LIGADAS

EN EL RELIEVE O LADERAS

EN LA RED HIDROG.

OTROS

Escarpe de fallas	X
Caras afacetadas	
Basculamientos	
Encajamientos	X
Solapes	

Valles colgados	
Capturas	
Encajamientos	
Inflexiones	
Difluencias	
Cambios bruscos en el perfil	

GEOFISICA

FALLA DETECTADA POR ESTE METODO	
---------------------------------	--

RUMBO PROB.		BUZ. PROB.	
LONG. PROB.		TIPO PROB.	

Por el metodo	Electrico	
	Sismico	
	Gravimetrico	

Profundidad de la estructura	
Edad mat. a los que afecta	

GEOTERMISMO/VOLCANISMO ASOCIADO

Volcanismo	Quimismo o clase _____	Geotermismo	Manantiales <input type="checkbox"/>	Temperatura <input type="text"/>
	Edad absoluta _____		Sondeo <input type="checkbox"/>	Profundidad <input type="text"/>

SISMICIDAD ASOCIADA

HISTORICA

Nº SISMOS \_\_\_\_\_  
 INTENS. MAX. \_\_\_\_\_  
 ISOSISTAS \_\_\_\_\_  
 Relación con la estructura:

INSTRUMENTAL

Nº SISMOS 1      MAGNITUDES MAX. 2.9  
 PROFUNDIDADES MEDIAS 5 km      REPLICAS \_\_\_\_\_  
 RUMBO DE LAS MISMAS \_\_\_\_\_  
 ERROR EPICENTRO < 5      ERROR PROF. < 5

CORRELACION CON LA FALLA B

B	<input type="checkbox"/>
P	<input checked="" type="checkbox"/>
M	<input type="checkbox"/>

B (Buena)  
 P (Probable)  
 M (Mala)

CLASE DE ACTIVIDAD

	SI	NO	?	CLASIFICACION		
				SEGUN	TABELA	I
APECTA AL CUATERNARIO			X			
APECTA A LA MORFOLOGIA	X					
ASOCIADA A SISMICIDAD	X					
GEOTERMISMO		X				

[B-2]



**FICHA DE FALLA**

Nº60 DENOMINACION SITUACION  
 SISTEMA SUBBETICA ZONA SUBBETICA  
 FALLA Lomas de Cliter - Aviles Sur DOMINIO MEDIO  
 SECTOR SA Cambra - Aviles CUENCA Aviles

Fecha:

Autor: A. Echever, Lopez Arcos, J.M. Andrea

Para las fallas bien visibles en superficie: P. Alfaro y P. Silva.

**GEOMETRIA**

LONGITUD 2.7 kms.  
 RUMBO N 14-35° E  
 BUZAMIENTO > 45° NW

**ANALISIS TECTO/NEO/EVOLUTIVO**

Sobre la misma estructura       En estructuras menores asociadas

EDAD DE LOS MATERIALES AFECTADOS	TIPIFICACION				REGIMEN TECTONICO		ESFUERZOS	SALTOS	
	NORMAL	DESGARRE		INVERSA	COMPRESION	DISTENSION	DIRECCION DE $\sigma_1$ O $\sigma_3$ EN LA HORIZONTAL	EN	EN
	MIXTA	L	D	MIXTA				HORIZ.	VERT.
PRE-TORT.									
TORT-IMP.									
TORT-SUP.									
MESSIN.									
PLIOCENO	x		x ?				$\sigma_1$ ? N-S ? $\sigma_2$ ? E-W.		
PLIO-CUAT.	x								
CUATERNARIO	x ?								

**ASPECTO Y NATURALEZA DE LOS MAT. AFECTADOS**

Afecta al Plioceno, luego coetáneo con el depósito Pliocuaternario

**EL RELLENO**

-Relación con las estructuras mayores o con otras fallas importantes:

Pertenece al sistema NE-SW.

Analisis realizado por:

idem

Para todas las fallas

TECTO-SEDIMENTACION

FALLA DETECTADA POR ESTE METODO	SI	<input checked="" type="checkbox"/>
	NO	<input type="checkbox"/>

RUMBO PROB.		BUZ. PROB.	
LONG. PROB.		TIPO PROB.	

Breve descripción de la influencia en las características de la sedimentación y edad de los materiales  
*Durante el Plió-cuaternario afecta a la formación de las conos de deyección*

GEOMORFOLOGIA

FALLA DETECTADA POR ESTE METODO	<input checked="" type="checkbox"/>
SE OBSERVA COMO LINEAMIENTO?	<input checked="" type="checkbox"/>

RUMBO PROB.	N14°E	BUZ. PROB.	> 45° NW
LONG. PROB.	E.7W	TIPO PROB.	normal

ANOMALIAS GEOMORFOLOGICAS LIGADAS Y/O PROB. LIGADAS

EN EL RELIEVE O LADERAS

EN LA RED HIDROG.

OTROS

Escarpe de fallas	<input checked="" type="checkbox"/>	Valles colgados	<input type="checkbox"/>
Caras afacetadas	<input checked="" type="checkbox"/>	Capturas	<input type="checkbox"/>
Basculamientos	<input checked="" type="checkbox"/>	Encajamientos	<input type="checkbox"/>
Encajamientos	<input type="checkbox"/>	Inflexiones	<input checked="" type="checkbox"/>
Solapes	<input checked="" type="checkbox"/>	Difluencias	<input type="checkbox"/>
		Cambios bruscos en el perfil	<input type="checkbox"/>

GEOFISICA

FALLA DETECTADA POR ESTE METODO	<input type="checkbox"/>
---------------------------------	--------------------------

RUMBO PROB.		BUZ. PROB.	
LONG. PROB.		TIPO PROB.	

Por el metodo	Electrico	<input type="checkbox"/>
	Sismico	<input type="checkbox"/>
	Gravimetrico	<input type="checkbox"/>

Profundidad de la estructura	<input type="checkbox"/>
Edad mat. a los que afecta	<input type="checkbox"/>

**GEOTERMISMO/VOLCANISMO ASOCIADO**

Volcanismo	Quimismo o clase _____	Geotermismo	Manantiales	<input type="checkbox"/>	Temperatura	<input type="checkbox"/>
	Edad absoluta _____		Sondeo	<input type="checkbox"/>	Profundidad	<input type="checkbox"/>

**SISMICIDAD ASOCIADA**

HISTORICA

Nº SISMOS \_\_\_\_\_

INTENS. MAX. \_\_\_\_\_

ISOSISTAS \_\_\_\_\_

Relación con la estructura:

CORRELACION B

P

M

INSTRUMENTAL

Nº SISMOS 1 MAGNITUDES MAX. 2.9

PROFUNDIDADES MEDIAS 5 REPLICAS \_\_\_\_\_

RUMBO DE LAS MISMAS \_\_\_\_\_

ERROR EPICENTRO < 5 ERROR PROF. < 5

CORRELACION CON LA FALLA B

P

M

B (Buena)  
P (Probable)  
M (Mala)


CLASE DE ACTIVIDAD

APECTA AL CUATERNARIO

APECTA A LA MORFOLOGIA

ASOCIADA A SISMICIDAD

GEOTERMISMO

	SI	NO	?	CLASIFICACION		
				SEGUN	TABLA	I
APECTA AL CUATERNARIO			X			
APECTA A LA MORFOLOGIA	X					
ASOCIADA A SISMICIDAD	X					
GEOTERMISMO		X				

**FICHA DE FALLA**

Nº 61 DENOMINACION SUBBETICO SITUACION SUBBETICO  
 SISTEMA La Peca ZONA MEDIO  
 FALLA La Peca DOMINIO Aviles  
 SECTOR La Peca CUENCA Aviles  
 Fecha: Autor: A. Estevez Lopez Arco  
 Para las fallas bien visibles en superficie: J.M. Andreu y P. Alfaro

**GEOMETRIA**

LONGITUD 2.3 kms  
 RUMBO E-W  
 BUZAMIENTO

**ANALISIS TECTO/NEO/EVOLUTIVO**

Sobre la misma estructura       En estructuras menores asociadas

EDAD DE LOS MATERIALES AFECTADOS	TIPIFICACION				REGIMEN TECTONICO		ESFUERZOS	SALTOS	
	NORMAL	DESGARRE		INVERSA	COMPRESION	DISTENSION	DIRECCION DE $\sigma_1, 0, \sigma_3$ EN LA HORIZONTAL	EN	EN
	MIXTA	L	D	MIXTA				HORIZ.	VERT.
PRE-TORT.									
TORT-IMP.									
TORT-SUP.									
MESSIN.									
PLIOCENO					x		0, 2 N-S?		
PLIO-CUAT.					x ?				
CUATERNARIO									

**ASPECTO Y NATURALEZA DE LOS MAT. AFECTADOS**

Desnivelación del Plio-Cuaternario y diáclasis 3 N-S

**EL RELLENO**

-Relación con las estructuras mayores o con otras fallas importantes:

Analisis realizado por:  
Idem.

Para todas las fallas

TECTO-SEDIMENTACION

FALLA DETECTADA POR ESTE METODO	SI	<input type="checkbox"/>
	NO	<input checked="" type="checkbox"/>

RUNBO PROB.	<input type="text"/>	BUZ. PROB.	<input type="text"/>
LONG. PROB.	<input type="text"/>	TIPO PROB.	<input type="text"/>

Breve descripción de la influencia en las características de la sedimentación y edad de los materiales

GEOMORFOLOGIA

FALLA DETECTADA POR ESTE METODO	<input checked="" type="checkbox"/>
SE OBSERVA COMO LINEAMIENTO?	<input type="checkbox"/>

RUNBO PROB.	<input type="text"/>	BUZ. PROB.	<input type="text"/>
LONG. PROB.	<input type="text"/>	TIPO PROB.	<input type="text"/>

ANOMALIAS GEOMORFOLOGICAS LIGADAS Y/O PROB. LIGADAS

EN EL RELIEVE O LADERAS

EN LA RED HIDROG.

OTROS

Escarpe de fallas	<input checked="" type="checkbox"/>
Caras afacetadas	<input type="checkbox"/>
Basculamientos	<input type="checkbox"/>
Encajamientos	<input type="checkbox"/>
Solapes	<input type="checkbox"/>

Valles colgados	<input type="checkbox"/>
Capturas	<input type="checkbox"/>
Encajamientos	<input checked="" type="checkbox"/>
Inflexiones	<input type="checkbox"/>
Difluencias	<input type="checkbox"/>
Cambios bruscos en el perfil	<input type="checkbox"/>

GEOFISICA

FALLA DETECTADA POR ESTE METODO	<input type="checkbox"/>
---------------------------------	--------------------------

RUNBO PROB.	<input type="text"/>	BUZ. PROB.	<input type="text"/>
LONG. PROB.	<input type="text"/>	TIPO PROB.	<input type="text"/>

Por el metodo	Electrico	<input type="checkbox"/>
	Sismico	<input type="checkbox"/>
	Gravimetrico	<input type="checkbox"/>

Profundidad de la estructura	<input type="text"/>
Edad mat. a los que afecta	<input type="text"/>

GEOTERMISMO/VOLCANISMO ASOCIADO

Volcanismo	Quimismo o clase _____ Edad absoluta _____	Geotermismo	Manantiales <input type="checkbox"/> Sondeo <input type="checkbox"/>	Temperatura <input type="text"/>	Profundidad <input type="text"/>
------------	---	-------------	---	----------------------------------	----------------------------------

SISMICIDAD ASOCIADA

HISTORICA

Nº SISMOS \_\_\_\_\_  
 INTENS. MAX. \_\_\_\_\_  
 ISOSISTAS \_\_\_\_\_  
 Relación con la estructura:

INSTRUMENTAL

CORRELACION	B	Nº SISMOS <u>1</u>	MAGNITUDES MAX. <u>3.9</u>
	P	PROFUNDIDADES MEDIAS <u>5</u>	REPLICAS _____
	M	RUMBO DE LAS MISMAS _____	ERROR EPICENTRO <u>&lt; 5</u>
			ERROR PROF. <u>22 km.</u>

CORRELACION CON LA FALLA

B		B (Buena)
P	x	P (Probable)
M		M (Mala)

CLASE DE ACTIVIDAD

- APECTA AL CUATERNARIO
- APECTA A LA MORFOLOGIA
- ASOCIADA A SISMICIDAD
- GEOTERMISMO

	SI	NO	?	CLASIFICACION SEGUN TABLA I
APECTA AL CUATERNARIO			x	<div style="border: 1px solid black; padding: 5px; display: inline-block;">B-1</div>
APECTA A LA MORFOLOGIA	x			
ASOCIADA A SISMICIDAD	x			
GEOTERMISMO		x		

### FICHA DE FALLA

Nº 62 DENOMINACION SITUACION  
 SISTEMA PREBETICO ZONA PREBETICO  
 FALLA Yeda-Jumilla DOMINIO EXTERNO  
 SECTOR \_\_\_\_\_ CUENCA \_\_\_\_\_  
 Fecha: \_\_\_\_\_ Autor: A. Estevez, Lopez Arcos  
 Para las fallas bien visibles en superficie: y J. A. Pina.

**GEOMETRIA**

LONGITUD ≈ 44 kms.  
 RUMBO N50°E  
 BUZAMIENTO \_\_\_\_\_

**ANALISIS TECTO/NEO/EVOLUTIVO**

Sobre la misma estructura       En estructuras menores asociadas

EDAD DE LOS MATERIALES AFECTADOS	TIPIFICACION				REGIMEN TECTONICO		ESFUERZOS	SALTOS	
	NORMAL	DESGARRE		INVERSA	COMPRESION	DISTENSION	DIRECCION DE $\sigma_1$ O $\sigma_3$ EN LA HORIZONTAL	EN	EN
	MIXTA	L	D	MIXTA				HORIZ.	VERT.
PRE-TORT.									
TORT-INF.									
TORT-SUP.			X						
MESSIN.			X						
PLIOCENO			X						
PLIO-CUAT.			X				$\sigma_1$ N-S		
CUATERNARIO			X				$\sigma_1$ N-S		

**ASPECTO Y NATURALEZA DE LOS MAT. AFECTADOS**

Afecta desde el Tortoniano al Cuaternario. El Tria se sitúa en la creencia de la falla. Plegamiento en el Pliocuaterno con la misma dirección. Direccionamiento y caute. Estrada en las formaciones recientes. Volcanismo asociado.

**EL RELLENO** La existencia de pliegues y cabalgamiento que afectan al Plioceno Superior parece estar asociada a este accidente.

-Relación con las estructuras mayores o con otras fallas importantes:

Subparalela al accidente Cádiz-Alicante.

Análisis realizado por:

Idem.

Para todas las fallas

TECTO-SEDIMENTACION

FALLA DETECTADA POR ESTE METODO	SI	<input checked="" type="checkbox"/>
	NO	<input type="checkbox"/>

RUMBO PROB.	<input type="text"/>	BUZ. PROB.	<input type="text"/>
LONG. PROB.	<input type="text"/>	TIPO PROB.	<input type="text"/>

Breve descripción de la influencia en las características de la sedimentación y edad de los materiales  
*afecta a la sedimentación en el Pleo-Cuaternario y Cuaternario al N.E. de Yock*

GEOMORFOLOGIA

FALLA DETECTADA POR ESTE METODO	<input checked="" type="checkbox"/>
SE OBSERVA COMO LINEAMIENTO?	<input type="checkbox"/>

RUMBO PROB.	<input type="text"/>	BUZ. PROB.	<input type="text"/>
LONG. PROB.	<input type="text"/>	TIPO PROB.	<input type="text"/>

ANOMALIAS GEOMORFOLOGICAS LIGADAS Y/O PROB. LIGADAS

EN EL RELIEVE O LADERAS

EN LA RED HIDROG.

OTROS

Escarpe de fallas	<input checked="" type="checkbox"/>
Caras afacetadas	<input type="checkbox"/>
Basculamientos	<input type="checkbox"/>
Encajamientos	<input checked="" type="checkbox"/>
Solapes	<input type="checkbox"/>

Valles colgados	<input type="checkbox"/>
Capturas	<input type="checkbox"/>
Encajamientos	<input checked="" type="checkbox"/>
Inflexiones	<input type="checkbox"/>
Difluencias	<input type="checkbox"/>
Cambios bruscos en el perfil	<input type="checkbox"/>

GEOFISICA

FALLA DETECTADA POR ESTE METODO	<input type="checkbox"/>
---------------------------------	--------------------------

RUMBO PROB.	<input type="text"/>	BUZ. PROB.	<input type="text"/>
LONG. PROB.	<input type="text"/>	TIPO PROB.	<input type="text"/>

Por el metodo	Electrico	<input type="checkbox"/>
	Sismico	<input type="checkbox"/>
	Gravimetrico	<input type="checkbox"/>

Profundidad de la estructura	<input type="text"/>
Edad mat. a los que afecta	<input type="text"/>



**GEOTERMISMO/VOLCANISMO ASOCIADO**

Volcanismo	Quimismo o clase _____	Geotermismo	Manantiales	<input checked="" type="checkbox"/>	Temperatura	
	Edad absoluta _____		Sondeo	<input type="checkbox"/>	Profundidad	

**SISMICIDAD ASOCIADA**

HISTORICA

Nº SISMOS 3

INTENS. MAY. V1

ISOSISTAS si

Relación con la estructura:

INSTRUMENTAL


	CORRELACION B	<input checked="" type="checkbox"/>	Nº SISMOS <u>1</u>	MAGNITUDES MAX. <u>4.2</u>
		<input checked="" type="checkbox"/>	PROFUNDIDADES MEDIAS <u>5</u>	REPLICAS _____
		<input type="checkbox"/>	RUMBO DE LAS MISMAS _____	
		<input type="checkbox"/>	ERROR EPICENTRO <u>&lt; 5</u>	ERROR PROF. <u>&gt; 5</u>

CORRELACION CON LA FALLA B

	<input type="checkbox"/>	B (Buena)
	<input checked="" type="checkbox"/>	P (Probable)
	<input type="checkbox"/>	M (Mala)

CLASE DE ACTIVIDAD

- APECTA AL CUATERNARIO
- APECTA A LA MORFOLOGIA
- ASOCIADA A SISMICIDAD
- GEOTERMISMO

	SI	NO	?	CLASIFICACION SEGUN TABLA I
APECTA AL CUATERNARIO	X			<div style="border: 1px solid black; padding: 5px; display: inline-block;">  </div>
APECTA A LA MORFOLOGIA	X			
ASOCIADA A SISMICIDAD	X			
GEOTERMISMO	X			

**FICHA DE FALLA**

Nº 63 DENOMINACION

SITUACION

SISTEMA PREBETICO

ZONA PREBETICO

FALLA Accidente de SOCOVOS

DOMINIO EXTERNO-INTERNO

SECTOR \_\_\_\_\_

CUENCA \_\_\_\_\_

Fecha: \_\_\_\_\_

Autor: A. Estevez, Lopez Arcos

Para las fallas bien visibles en superficie: v J.A. Pina, L.M. Barral

**GEOMETRIA**

LONGITUD ≈ 44 kms.

RUMBO ≈ R-W entre Calasparra-Cieza, ≈ N115°E al W de Calasparra

BOZAMIENTO \_\_\_\_\_

**ANALISIS TECTO/NEO/EVOLUTIVO**

Sobre la misma estructura

En estructuras menores asociadas

EDAD DE LOS MATERIALES AFECTADOS	TIPIFICACION				REGIMEN TECTONICO		ESFUERZOS	SALTOS	
	NORMAL	DESGARRE		INVERSA	COMPRESION	DISTENSION	DIRECCION DE $\sigma_1$ O $\sigma_3$ EN LA HORIZONTAL	EN	EN
	MIXTA	L	D	MIXTA				HORIZ.	VERT.
PRE-TORT.									
TORT-INF.									
TORT-SUP.			x ← x						
MESSIN.			x ← x						
PLIOCENO			x ← x						
PLIO-CUAT.			x				0,3 N-S		
CUATERNARIO			x				0,2 N-S		

**ASPECTO Y NATURALEZA DE LOS MAT. AFECTADOS**

*Bedingacion intensa en los materiales del terciario (incluida la n. volcánica de Calasparra que afloran a lo largo de la superficie de falla.*

**EL RELLENO**

*Relleno cuaternario de caliza con estria horizontales en la vecindad de Calasparra.*

-Relación con las estructuras mayores o con otras fallas importantes:

*Afectado por falla NW-SE, especialmente al S. de Cieza*

Analisis realizado por:

*Idem.*

Para todas las fallas

TECTO-SEDIMENTACION

FALLA DETECTADA POR ESTE METODO	SI	<input checked="" type="checkbox"/>
	NO	<input type="checkbox"/>

RUMBO PROB.		BUZ. PROB.	
LONG. PROB.		TIPO PROB.	

Breve descripción de la influencia en las características de la sedimentación y edad de los materiales

GEOMORFOLOGIA

FALLA DETECTADA POR ESTE METODO	<input checked="" type="checkbox"/>
SE OBSERVA COMO LINEAMIENTO?	<input type="checkbox"/>

RUMBO PROB.		BUZ. PROB.	
LONG. PROB.		TIPO PROB.	

ANOMALIAS GEOMORFOLOGICAS LIGADAS Y/O PROB. LIGADAS

EN EL RELIEVE O LADERAS

EN LA RED HIDROG.

OTROS

- Escarpe de fallas
- Caras afacetadas
- Basculamientos
- Encajamientos
- Solapes

<input checked="" type="checkbox"/>
<input type="checkbox"/>
<input type="checkbox"/>
<input type="checkbox"/>
<input type="checkbox"/>

- Valles colgados
- Capturas
- Encajamientos
- Inflexiones
- Difluencias
- Cambios bruscos en el perfil

<input type="checkbox"/>
<input type="checkbox"/>
<input checked="" type="checkbox"/>
<input type="checkbox"/>
<input type="checkbox"/>
<input type="checkbox"/>

GEOFISICA

FALLA DETECTADA POR ESTE METODO	<input checked="" type="checkbox"/>
---------------------------------	-------------------------------------

RUMBO PROB.	E-W	BUZ. PROB.	al S.
LONG. PROB.	~ 40 km	TIPO PROB.	

Por el metodo	Electrico	<input checked="" type="checkbox"/>
	Sismico	<input checked="" type="checkbox"/>
	Gravimetrico	<input type="checkbox"/>

Profundidad de la estructura	> 2 Km
Edad mat. a los que afecta	Mioceno

GOTERMISMO/VOLCANISMO ASOCIADO

Volcanismo	Quimismo o clase _____	Geotermismo	Manantiales		Temperatura	
	Edad absoluta _____		Sondeo		Profundidad	

SISMICIDAD ASOCIADA

HISTORICA

Nº SISMOS varios CORRELACION B   
 INTENS. MAY. IV P   
 ISOSISTAS no M   
 Relación con la estructura:

INSTRUMENTAL

Nº SISMOS varios MAGNITUDES MAX. 3.7  
 PROFUNDIDADES MEDIAS 5 REPLICAS \_\_\_\_\_  
 RUMBO DE LAS MISMAS \_\_\_\_\_  
 ERROR EPICENTRO < 5 ERROR PROF. < 5

CORRELACION CON LA FALLA B

X	B (Buena)
	P (Probable)
	M (Mala)

CLASE DE ACTIVIDAD

- APECTA AL CUATERNARIO
- APECTA A LA MORFOLOGIA
- ASOCIADA A SISMICIDAD
- GOTERMISMO

	SI	NO	?	CLASIFICACION SEGUN TABLA I
APECTA AL CUATERNARIO	X			<b>A-II</b>
APECTA A LA MORFOLOGIA	X			
ASOCIADA A SISMICIDAD	X			
GOTERMISMO			X	

### FICHA DE FALLA

Nº 64 DENOMINACION SISTEMA SEGURA MEDIO SITUACION ZONA SUBBETICO  
 FALLA de Abaron DOMINIO MEDIO-EXTERNO  
 SECTOR Abaron - Archaus CUENCA Abaron  
 Fecha: Autor: A. Estevez, M. Lopez Arcos  
 Para las fallas bien visibles en superficie: y J.A. Pino.

#### GEOMETRIA

LONGITUD ≈ 16 kms.  
 RUMBO ≈ N130°E  
 BUZAMIENTO

#### ANALISIS TECTO/NEO/EVOLUTIVO

Sobre la misma estructura       En estructuras menores asociadas

EDAD DE LOS MATERIALES AFECTADOS	TIPIFICACION				REGIMEN TECTONICO		ESFUERZOS	SALTOS	
	NORMAL	DESGARRE		INVERSA	COMPRESION	DISTENSION	DIRECCION DE $\sigma_1$ , $\sigma_2$ , $\sigma_3$ EN LA HORIZONTAL	EN	EN
	MIXTA	L	D	MIXTA				HORIZ.	VERT.
PRE-TORT.									
TORT-IMP.									
TORT-SUP.	x	→	x						
MESSIN.	x	→	x						
PLIOCENO									
PLIO-CUAT.									
CUATERNARIO	x	→	x		x	x	$\sigma_1$ ≈ N-S $\sigma_3$ ≈ E-W		

#### ASPECTO Y NATURALEZA DE LOS MAT. AFECTADOS

Afecta al Tortoniense sup-Messiniense, y a los contactos con el Triás. Hay la traza cerca de Archaus que estas afectada. En la Sª del lugar se detectan fallas normales de fuego muy reciente.

#### EL RELLENO

-Relación con las estructuras mayores o con otras fallas importantes:

Corta al accidente Bullas - Archaus, y a la de Socoveros.  
 Su fuego más reciente es favorecido por la orientación del esfuerzo  $\sigma_1$  en detrimento de los accidentes antes mencionada.

Analisis realizado por:

Idem.

Para todas las fallas

TECTO-SEDIMENTACION

FALLA DETECTADA POR ESTE METODO	SI	<input checked="" type="checkbox"/>	RUMBO PROB.		BUZ. PROB.	
	NO	<input type="checkbox"/>	LONG. PROB.		TIPO PROB.	

Breve descripción de la influencia en las características de la sedimentación y edad de los materiales

GEOMORFOLOGIA

FALLA DETECTADA POR ESTE METODO	<input checked="" type="checkbox"/>	RUMBO PROB.		BUZ. PROB.	
SE OBSERVA COMO LINEAMIENTO?	<input type="checkbox"/>	LONG. PROB.		TIPO PROB.	

ANOMALIAS GEOMORFOLOGICAS LIGADAS Y/O PROB. LIGADAS

EN EL RELIEVE O LADERAS

EN LA RED HIDROG.

OTROS

- Escarpe de fallas
- Caras afacetadas
- Basculamientos
- Encajamientos
- Solapes

<input type="checkbox"/>
<input type="checkbox"/>
<input checked="" type="checkbox"/>
<input type="checkbox"/>
<input type="checkbox"/>

- Valles colgados
- Capturas
- Encajamientos
- Inflexiones
- Difluencias
- Cambios bruscos en el perfil

<input type="checkbox"/>
<input type="checkbox"/>
<input checked="" type="checkbox"/>
<input type="checkbox"/>
<input type="checkbox"/>
<input type="checkbox"/>

GEOFISICA

FALLA DETECTADA POR ESTE METODO		RUMBO PROB.		BUZ. PROB.	
		LONG. PROB.		TIPO PROB.	

- Por el metodo
- Electrico
  - Sismico
  - Gravimetrico

<input type="checkbox"/>
<input type="checkbox"/>
<input type="checkbox"/>

- Profundidad de la estructura
- Edad mat. a los que afecta


GEOTERMISMO/VOLCANISMO ASOCIADO

Volcanismo	Quimismo o clase _____	Geotermismo	Manantiales <input checked="" type="checkbox"/>	Temperatura	40°
	Edad absoluta _____		Sondeo	Profundidad	

SISMICIDAD ASOCIADA

HISTORICA

INSTRUMENTAL


NO SISMOS varios CORRELACION B   
 INTENS. MAX. IV P   
 POSISTAS si M   
 Relación con la estructura:

NO SISMOS \_\_\_\_\_ MAGNITUDES MAX. \_\_\_\_\_  
 PROFUNDIDADES MEDIAS \_\_\_\_\_ REPLICAS \_\_\_\_\_  
 RUMBO DE LAS MISMAS \_\_\_\_\_  
 ERROR EPICENTRO \_\_\_\_\_ ERROR PROF. \_\_\_\_\_

CORRELACION CON LA FALLA B  B (Buena)  
 P  P (Probable)  
 M  M (Mala)

CLASE DE ACTIVIDAD

- APECTA AL CUATERNARIO
- APECTA A LA MORFOLOGIA
- ASOCIADA A SISMICIDAD
- GEOTERMISMO

SI	NO	?	CLASIFICACION SEGUN TABLA I
<input checked="" type="checkbox"/>			
<input checked="" type="checkbox"/>			
		<input checked="" type="checkbox"/>	
<input checked="" type="checkbox"/>			

### FICHA DE FALLA

Nº 65 DENOMINACION SISTEMA Codiz-Alicante SITUACION ZONA PRABETICO  
 FALLA Abanilla DOMINIO MERIDIONAL  
 SECTOR Abanilla CUENCA Fortuna  
 Fecha: Autor: A. Estevez, M. Lopez Arco  
 Para las fallas bien visibles en superficie: y J. A. Pina

#### GEOMETRIA

LONGITUD 2.8 kms  
 RUMBO 2 N60°E  
 BUZAMIENTO 3 70°N

#### ANALISIS TECTO/NEO/EVOLUTIVO

Sobre la misma estructura       En estructuras menores asociadas

EDAD DE LOS MATERIALES AFECTADOS	TIPIFICACION				REGIMEN TECTONICO		ESFUERZOS	SALTOS	
	NORMAL	DESGARRE		INVERSA	COMPRESION	DISTENSION	DIRECCION DE $\sigma_1$ O $\sigma_3$ EN LA HORIZONTAL	EN	EN
		MIXTA	L					D	MIXTA
PRE-TORT.									
TORT-INF.				x	x		$\sigma_1$ 2 NNW		
TORT-SUP.		x	x	x	x		$\sigma_1$ 2 NNW		
MESSIN.		x	x	x	x	x	$\sigma_1$ 2 N-S		
PLIOCENO		x	x	x	x		$\sigma_1$ 2 NNE		
PLIO-CUAT.				x	x		$\sigma_1$ 2 NW		
CUATERNARIO		x	x						

#### ASPECTO Y NATURALEZA DE LOS MAT. AFECTADOS

Afecta al Mioceno Superior y Cuaternario. Cabalgamiento hacia el Sur del Subbético sobre Neógeno. Formada por el Messiniense parcialmente, ya que el Plioceno y quizás el Cuaternario vuelven a estar afectados.

#### EL RELLENO

Milonita en la margen de Fortuna.

-Relación con las estructuras mayores o con otras fallas importantes:

Paralela al accidente Codiz-Alicante, aunque puede coincidir con la actividad nord-oriental.

Análisis realizado por:

Estevez y Lukowski



Para todas las fallas

TECTO-SEDIMENTACION

FALLA DETECTADA POR ESTE METODO	SI	<input checked="" type="checkbox"/>
	NO	<input type="checkbox"/>

RUMBO PROB.		BUZ. PROB.	
LONG. PROB.		TIPO PROB.	

Breve descripción de la influencia en las características de la sedimentación y edad de los materiales  
*Controla la sedimentación mesosimense*

GEOMORFOLOGIA

FALLA DETECTADA POR ESTE METODO	<input checked="" type="checkbox"/>
SE OBSERVA COMO LINEAMIENTO?	<input checked="" type="checkbox"/>

RUMBO PROB.		BUZ. PROB.	
LONG. PROB.		TIPO PROB.	

ANOMALIAS GEOMORFOLOGICAS LIGADAS Y/O PROB. LIGADAS

EN EL RELIEVE O LADERAS

EN LA RED HIDROG.

OTROS

Escarpe de fallas	<input checked="" type="checkbox"/>
Caras afacetadas	<input type="checkbox"/>
Basculamientos	<input type="checkbox"/>
Encajamientos	<input checked="" type="checkbox"/>
Solapes	<input type="checkbox"/>

Valles colgados	<input type="checkbox"/>
Capturas	<input type="checkbox"/>
Encajamientos	<input type="checkbox"/>
Inflexiones	<input type="checkbox"/>
Difluencias	<input type="checkbox"/>
Cambios bruscos en el perfil	<input type="checkbox"/>

GEOFISICA

FALLA DETECTADA POR ESTE METODO	<input checked="" type="checkbox"/>
---------------------------------	-------------------------------------

RUMBO PROB.	<i>ENE</i>	BUZ. PROB.	
LONG. PROB.	<i>10 Km</i>	TIPO PROB.	

Por el metodo	Electrico	<input checked="" type="checkbox"/>
	Sismico	<input type="checkbox"/>
	Gravimetrico	<input checked="" type="checkbox"/>

Profundidad de la estructura	<i>&gt; 1 Km</i>
Edad mat. a los que afecta	<i>Todos.</i>

GEOTERMISMO/VOLCANISMO ASOCIADO

Volcanismo	Quimismo o clase <u>Lawproites</u>	Geotermismo	Manantiales	<input checked="" type="checkbox"/>	Temperatura	440
	Edad absoluta <u>6.1 M.a.</u>		Sondeo	<input type="checkbox"/>	Profundidad	

SISMICIDAD ASOCIADA

HISTORICA

Nº SISMOS 5

INTENS. MAX. VII

ISOSISTAS SI

Relación con la estructura:

*En algunos casos muy buena.*

INSTRUMENTAL

CORRELACION	B	<input checked="" type="checkbox"/>	Nº SISMOS <u>6</u>	MAGNITUDES MAX. <u>3.8</u>
	P	<input type="checkbox"/>	PROFUNDIDADES MEDIAS <u>9</u>	REPLICAS _____
	M	<input type="checkbox"/>	RUMBO DE LAS MISMAS _____	
			ERROR EPICENTRO <u>2</u>	ERROR PROF. <u>2</u>

CORRELACION CON LA FALLA B

P

M

B (Buena)  
P (Probable)  
M (Mala)

CLASE DE ACTIVIDAD

- APECTA AL CUATERNARIO
- APECTA A LA MORFOLOGIA
- ASOCIADA A SISMICIDAD
- GEOTERMISMO

	SI	NO	?	CLASIFICACION SEGUN TABLA I		
				I		
APECTA AL CUATERNARIO	<input checked="" type="checkbox"/>			<b>A-II</b>		
APECTA A LA MORFOLOGIA	<input checked="" type="checkbox"/>					
ASOCIADA A SISMICIDAD	<input checked="" type="checkbox"/>					
GEOTERMISMO	<input checked="" type="checkbox"/>					

**FICHA DE FALLA**

Nº 66 DENOMINACION \_\_\_\_\_ SITUACION \_\_\_\_\_  
 SISTEMA GUADALENTIN ZONA BETICA  
 FALLA Umbria DOMINIO \_\_\_\_\_  
 SECTOR \_\_\_\_\_ CUENCA Puipi-Guadaleutin  
 Fecha: \_\_\_\_\_ Autor: L. M. Baranco

Para las fallas bien visibles en superficie:

GEOMETRIA

LONGITUD  
RUMBO  
BUZAMIENTO

ANALISIS TECTO/NEO/EVOLUTIVO

Sobre la misma estructura       En estructuras menores asociadas

EDAD DE LOS MATERIALES AFECTADOS	TIPIFICACION				REGIMEN TECTONICO		ESFUERZOS	SALTOS	
	NORMAL	DESGARRE		INVERSA	COMPRESION	DISTENSION	DIRECCION DE $\sigma_1$ O $\sigma_2$ EN LA HORIZONTAL	EN HORIZ.	EN VERT.
	MIXTA	L	D	MIXTA					
PRE-TORT.									
TORT-INF.									
TORT-SUP.									
MESSIN.									
PLIOCENO									
PLIO-CUAT.									
CUATERNARIO									

ASPECTO Y NATURALEZA DE LOS MAT. AFECTADOS

EL RELLENO

-Relación con las estructuras mayores o con otras fallas importantes:

Analisis realizado por:

Para todas las fallas

TECTO-SEDIMENTACION

FALLA DETECTADA POR ESTE METODO	SI		RUMBO PROB.		BUZ. PROB.	
	NO		LONG. PROB.		TIPO PROB.	

Breve descripción de la influencia en las características de la sedimentación y edad de los materiales

GEOMORFOLOGIA

FALLA DETECTADA POR ESTE METODO		RUMBO PROB.		BUZ. PROB.	
SE OBSERVA COMO LINEAMIENTO?		LONG. PROB.		TIPO PROB.	

ANOMALIAS GEOMORFOLOGICAS LIGADAS Y/O PROB. LIGADAS

EN EL RELIEVE O LADERAS

EN LA RED HIDROG.

OTROS

- Escarpe de fallas
- Caras afacetadas
- Basculamientos
- Encajamientos
- Solapes

- Valles colgados
- Capturas
- Encajamientos
- Inflexiones
- Difluencias
- Cambios bruscos en el perfil

GEOFISICA

FALLA DETECTADA POR ESTE METODO	Si
---------------------------------	----

RUMBO PROB.	NW	BUZ. PROB.	al NE
LONG. PROB.	10 km.	TIPO PROB.	normal - dextral

Por el metodo	Electrico	<input checked="" type="checkbox"/>
	Sismico	<input type="checkbox"/>
	Gravimetrico	<input type="checkbox"/>

Profundidad de la estructura	500 m
Edad mat. a los que afecta	Pliocenozoico

GEOTERMISMO/VOLCANISMO ASOCIADO

Volcanismo | Quimismo o clase \_\_\_\_\_ Geotermismo | Manantiales  Temperatura   
 | Edad absoluta \_\_\_\_\_ | Sondeo  Profundidad

SISMICIDAD ASOCIADA

HISTORICA

Nº SISMOS \_\_\_\_\_  
 INTENS. MAX. \_\_\_\_\_  
 ISOSISTAS \_\_\_\_\_  
 Relación con la estructura:

INSTRUMENTAL

CORRELACION B   
 P   
 M

Nº SISMOS \_\_\_\_\_ MAGNITUDES MAX. \_\_\_\_\_  
 PROFUNDIDADES MEDIAS \_\_\_\_\_ REPLICAS \_\_\_\_\_  
 RUMBO DE LAS MISMAS \_\_\_\_\_  
 ERROR EPICENTRO \_\_\_\_\_ ERROR PROF. \_\_\_\_\_

CORRELACION CON LA FALLA B   
 P   
 M

B (Buena)  
 P (Probable)  
 M (Mala)

CLASE DE ACTIVIDAD

- APECTA AL CUATERNARIO
- APECTA A LA MORFOLOGIA
- ASOCIADA A SISMICIDAD
- GEOTERMISMO

SI	NO	?	CLASIFICACION SEGUN TABLA I
		X	<div style="border: 1px solid black; padding: 5px; display: inline-block;">           a-III         </div>
		X	
		X	
	X		

**FICHA DE FALLA**

Nº 67 DENOMINACION SISTEMA LORCA-ALHAMA SITUACION ZONA BETICA  
FALLA TORRECIJILLA DOMINIO \_\_\_\_\_  
SECTOR Lorca - Pto Lumbroso CUENCA Guadalquivir  
 Fecha: \_\_\_\_\_ Autor: P. Silva

Para las fallas bien visibles en superficie:

**GEOMETRIA**

LONGITUD 9.1 km.  
 RUMBO N 34° E  
 BUZAMIENTO 70° NW

**ANALISIS TECTO/NEO/EVOLUTIVO**

Sobre la misma estructura       En estructuras menores asociadas

EDAD DE LOS MATERIALES AFECTADOS	TIPIFICACION				REGIMEN TECTONICO		ESFUERZOS	SALTOS	
	NORMAL	DESGARRE		INVERSA	COMPRESION	DISTENSION	DIRECCION DE $\sigma_1$ O $\sigma_3$ EN LA HORIZONTAL	EN	EN
		MIXTA	L					D	MIXTA
PRE-TORT.									
TORT-INT.									
TORT-SUP.				X	X				
MESSIN.									
PLIOCENO		X		X			$\sigma_1 \sim$ NNW		
PLIO-CUAT.				X ?			$\sigma_3 \sim$ N		
CUATERNARIO			X	X <sup>(*)</sup>	X		$\sigma_1 -$ N183°E		

(\*) Afecta a construcciones como la Catedral de Lorca y el Hotel de La Villa

**ASPECTO Y NATURALEZA DE LOS MAT. AFECTADOS**

Pone en contacto margas arenilla de Tortoniense II, con limas rosadas carbonatadas posiblemente Plioceno Superior (?), mediante una brecha de falla.

**EL RELLENO**

Margas verticales y cantos brechificados y triturados. Pot 3 70 mts.

-Relación con las estructuras mayores o con otras fallas importantes:

Paralela al occidente principal que se encuentre una 100 mts. al NW, y que pone en contacto las margas arenillas Tort. II con las piletas Alpujarrides, mediante una brecha de unos 30 mts. de mat. tortoniense, Alpujarrides y Malaguide

Analisis realizado por:

Idem.

Para todas las fallas

TECTO-SEDIMENTACION

FALLA DETECTADA POR ESTE METODO	SI	<input checked="" type="checkbox"/>
	NO	<input type="checkbox"/>

RUMBO PROB.		BUZ. PROB.	
LONG. PROB.		TIPO PROB.	

Breve descripción de la influencia en las características de la sedimentación y edad de los materiales  
*El control de las abanicos aluviales a lo largo de esta falla está condicionado por el frasco de la falla.*

GEOMORFOLOGIA

FALLA DETECTADA POR ESTE METODO	SI	<input checked="" type="checkbox"/>
SE OBSERVA COMO LINEAMIENTO?	SI	<input checked="" type="checkbox"/>

RUMBO PROB.	N40°E	BUZ. PROB.	60-70° NW
LONG. PROB.	9.1 km.	TIPO PROB.	inversa - sinestrol

ANOMALIAS GEOMORFOLOGICAS LIGADAS Y/O PROB. LIGADAS

EN EL RELIEVE O LADERAS

Escarpe de fallas	<input checked="" type="checkbox"/>
Caras afacetadas	<input checked="" type="checkbox"/>
Basculamientos	<input checked="" type="checkbox"/>
Encajamientos	<input type="checkbox"/>
Solapes	<input checked="" type="checkbox"/>

EN LA RED HIDROG.

Valles colgados	<input type="checkbox"/>
Capturas	<input type="checkbox"/>
Encajamientos	<input type="checkbox"/>
Inflexiones	<input checked="" type="checkbox"/>
Difluencias	<input type="checkbox"/>
Cambios bruscos en el perfil	<input type="checkbox"/>

OTROS

GEOFISICA

FALLA DETECTADA POR ESTE METODO	<input checked="" type="checkbox"/>
---------------------------------	-------------------------------------

RUMBO PROB.		BUZ. PROB.	
LONG. PROB.		TIPO PROB.	

Por el metodo	Electrico	<input checked="" type="checkbox"/>
	Sismico	<input type="checkbox"/>
	Gravimetrico	<input checked="" type="checkbox"/>

Profundidad de la estructura	400 m.
Edad mat. a los que afecta	

GEOTERMISMO/VOLCANISMO ASOCIADO

Volcanismo	Quimismo o clase _____ Edad absoluta _____	Geotermismo Sondeo	Manantiales <input type="checkbox"/> Sondeo <input type="checkbox"/>	Temperatura <input style="width: 100%;" type="text"/> Profundidad <input style="width: 100%;" type="text"/>
------------	---	-----------------------	---	--

SISMICIDAD ASOCIADA

HISTORICA

No SISMOS 1 CORRELACION B   
 INTENS. MAX. V P   
 ISOSISTAS \_\_\_\_\_ M   
 Relación con la estructura:

INSTRUMENTAL

No SISMOS 4 MAGNITUDES MAX. 4.2  
 PROFUNDIDADES MEDIAS < 20 km REPLICAS Si  
 RUMBO DE LAS MISMAS \_\_\_\_\_  
 ERROR EPICENTRO > 10 km ERROR PROF. > 5 km

CORRELACION CON LA FALLA B

B	X	B (Buena)
P	X	P (Probable)
M		M (Mala)

CLASE DE ACTIVIDAD

- AFECTA AL CUATERNARIO
- AFECTA A LA MORFOLOGIA
- ASOCIADA A SISMICIDAD
- GEOTERMISMO

	SI	NO	?	CLASIFICACION SEGUN TABLA I
AFECTA AL CUATERNARIO	X			<div style="border: 1px solid black; padding: 5px; display: inline-block;">                     II                      ←                 </div>
AFECTA A LA MORFOLOGIA	X			
ASOCIADA A SISMICIDAD	X			
GEOTERMISMO		X		



### FICHA DE FALLA

Nº 68 DENOMINACION SITUACION  
 SISTEMA GUADALENTIN ZONA BETICA  
 FALLA La Estacion DOMINIO \_\_\_\_\_  
 SECTOR Piñonero - Lorca CUENCA Guadalentina  
 Fecha: \_\_\_\_\_ Autor: L. M. Barroco

Para las fallas bien visibles en superficie:

GEOMETRIA

LONGITUD  
RUMBO  
BUZAMIENTO

ANALISIS TECTO/NEO/EVOLUTIVO

Sobre la misma estructura       En estructuras menores asociadas

EDAD DE LOS MATERIALES AFECTADOS	TIPIFICACION				REGIMEN TECTONICO		ESFUERZOS	SALTOS	
	NORMAL	DESGARRE		INVERSA	COMPRESION	DISTENSION	DIRECCION DE $\sigma_1$ O $\sigma_2$ EN LA HORIZONTAL	EN HORIZ.	EN VERT.
	MIXTA	L	D	MIXTA					
PRE-TORT.									
TORT-INF.									
TORT-SUP.									
MESSIN.									
PLIOCENO									
PLIO-CUAT.									
CUATERNARIO									

ASPECTO Y NATURALEZA DE LOS MAT. AFECTADOS

EL RELLENO

-Relación con las estructuras mayores o con otras fallas importantes:

Analisis realizado por:

Para todas las fallas

TECTO-SEDIMENTACION

FALLA DETECTADA POR ESTE METODO	SI	
	NO	

RUMBO PROB.		BUZ. PROB.	
LONG. PROB.		TIPO PROB.	

Breve descripción de la influencia en las características de la sedimentación y edad de los materiales

GEOMORFOLOGIA

FALLA DETECTADA POR ESTE METODO	
SE OBSERVA COMO LINEAMIENTO?	

RUMBO PROB.		BUZ. PROB.	
LONG. PROB.		TIPO PROB.	

ANOMALIAS GEOMORFOLOGICAS LIGADAS Y/O PROB. LIGADAS

EN EL RELIEVE O LADERAS

EN LA RED HIDROG.

OTROS

- Escarpe de fallas
- Caras afacetadas
- Basculamientos
- Encajamientos
- Solapes

- Valles colgados
- Capturas
- Encajamientos
- Inflexiones
- Difluencias
- Cambios bruscos en el perfil

GEOFISICA

FALLA DETECTADA POR ESTE METODO	X
---------------------------------	---

RUMBO PROB.	NE	BUZ. PROB.	al NW
LONG. PROB.	12 Km	TIPO PROB.	

Por el metodo	Electrico	X
	Sismico	
	Gravimetrico	X

Profundidad de la estructura	500 m
Edad mat. a los que afecta	Pliocuaternario

**GEOTERMISMO/VOLCANISMO ASOCIADO**

Volcanismo	Quimismo o clase _____ Geotermismo Edad absoluta _____	Manantiales  Sondeo	<input style="width: 20px; height: 20px;" type="text"/>  <input style="width: 20px; height: 20px;" type="text"/>	Temperatura  Profundidad	<input style="width: 100%; height: 20px;" type="text"/>  <input style="width: 100%; height: 20px;" type="text"/>
------------	---	---------------------------	--	--------------------------------	--

**SISMICIDAD ASOCIADA**

HISTORICA

Nº SISMOS \_\_\_\_\_ CORRELACION B   
 INTENS. MAX. \_\_\_\_\_ P   
 ISOSISTAS \_\_\_\_\_ M   
 Relación con la estructura:

INSTRUMENTAL

Nº SISMOS \_\_\_\_\_ / \_\_\_\_\_ MAGNITUDES MAX. \_\_\_\_\_ 4.3  
 PROFUNDIDADES MEDIAS \_\_\_\_\_ 7 \_\_\_\_\_ REPLICAS \_\_\_\_\_  
 RUMBO DE LAS MISMAS \_\_\_\_\_  
 ERROR EPICENTRO \_\_\_\_\_ 9 \_\_\_\_\_ ERROR PROF. \_\_\_\_\_ 9

CORRELACION CON LA FALLA B

B			B (Buena)
P	X		P (Probable)
M			M (Mala)

CLASE DE ACTIVIDAD

- APECTA AL CUATERNARIO
- APECTA A LA MORFOLOGIA
- ASOCIADA A SISMICIDAD
- GEOTERMISMO

	SI	NO	?	CLASIFICACION SEGUN TABLA I
APECTA AL CUATERNARIO			X	<div style="border: 1px solid black; padding: 5px; display: inline-block;"> <span style="font-size: 1.2em;">a-III</span> </div>
APECTA A LA MORFOLOGIA		X		
ASOCIADA A SISMICIDAD			X	
GEOTERMISMO			X	

### FICHA DE FALLA

Nº69 DENOMINACION SISTEMA LORCA-ALHAMA SITUACION ZONA BETICA  
 FALLA Yeseras-Rombla de la Salud DOMINIO \_\_\_\_\_  
 SECTOR SP. Sada de Tercia (S. Juhua) CUENCA GUADALENTIN  
 Fecha: \_\_\_\_\_ Autor: P. SILVA

Para las fallas bien visibles en superficie:

GEOMETRIA

LONGITUD 5.05 Km (mínimo)  
 RUMBO N 70° E  
 BUZAMIENTO 70° SE

ANALISIS TECTO/NEO/EVOLUTIVO

Sobre la misma estructura       En estructuras menores asociadas

EDAD DE LOS MATERIALES AFECTADOS	TIPIFICACION				REGIMEN TECTONICO		ESFUERZOS	SALTOS	
	NORMAL	DESGARRE		INVERSA	COMPRESION	DISTENSION	DIRECCION DE $\sigma_1, \sigma_2, \sigma_3$ EN LA HORIZONTAL	EN HORIZ.	EN VERT.
		MIXTA	L						
PRE-TORT.									
TORT-INF.									
TORT-SUP.									
MESSIN.									
PLIOCENO									
PLIO-CUAT.									
CUATERNARIO		x		x	x		$\sigma_1, 2 NNE$	?	5 m.

**ASPECTO Y NATURALEZA DE LOS MAT. AFECTADOS**

Pone en contacto a depositos de abanico aluvial del Pleistoceno inferior en el labio hundido con yesos y margas yesíferas Messiniense en el levantado. Los depositos de abanico aluvial aparecen en el labio levantado discordante sobre las margas yesíferas a + 5m. con respecto **EL RELLENO** a los del labio hundido.

Esta constituido por cantos del deposito de abanico aluvial (cuarcita, esquista y dolomitas) verticalizadas por el avance y balance cuaternario.

-Relación con las estructuras mayores o con otras fallas importantes:

Se trata de una ramificación del accidente principal en esta zona, con dirección N50°E, que genera una pequeña cuenca subsidente entre la SE de la Tercia, y la zona de abstracción generada por esta fractura.

Analisis realizado por:

Idem

Para todas las fallas

TECTO-SEDIMENTACION

FALLA DETECTADA POR ESTE METODO	SI	RUMBO PROB.	BUZ. PROB.
	NO	LONG. PROB.	TIPO PROB.

Breve descripción de la influencia en las características de la sedimentación y edad de los materiales

GEOMORFOLOGIA

FALLA DETECTADA POR ESTE METODO	SI	RUMBO PROB.	BUZ. PROB.
SE OBSERVA COMO LINEAMIENTO?	SI	LONG. PROB.	TIPO PROB.

ANOMALIAS GEOMORFOLOGICAS LIGADAS Y/O PROB. LIGADAS

EN EL RELIEVE O LADERAS

EN LA RED HIDROG.

OTROS

Escarpe de fallas	<input checked="" type="checkbox"/>	Valles colgados	<input type="checkbox"/>
Caras afacetadas	<input checked="" type="checkbox"/>	Capturas	<input type="checkbox"/>
Basculamientos	<input checked="" type="checkbox"/>	Encajamientos	<input type="checkbox"/>
Encajamientos	<input type="checkbox"/>	Inflexiones	<input type="checkbox"/>
Solapes	<input type="checkbox"/>	Difluencias	<input type="checkbox"/>
		Cambios bruscos en el perfil	<input type="checkbox"/>

Deflexion dextrogiro de la red de drenaje (Rancho de la Salud).  
 Pendiente anómala por defecto en abanicos aluviales sobre el labio levantado.

GEOFISICA

FALLA DETECTADA POR ESTE METODO	SI	RUMBO PROB.	BUZ. PROB.
		LONG. PROB.	TIPO PROB.

Por el metodo	Electrico	<input checked="" type="checkbox"/>	Profundidad de la estructura	<input type="checkbox"/>
	Sismico	<input type="checkbox"/>	Edad mat. a los que afecta	<input type="checkbox"/>
	Gravimetrico	<input checked="" type="checkbox"/>		

GEOTERMISMO/VOLCANISMO ASOCIADO

Volcanismo	Quimismo o clase _____	Geotermismo	Manantiales	<input type="text"/>	Temperatura	<input type="text"/>
	Edad absoluta _____		Sondeo	<input type="text"/>	Profundidad	<input type="text"/>

SISMICIDAD ASOCIADA

HISTORICA

INSTRUMENTAL

Nº SISMOS \_\_\_\_\_ CORRELACION B

INTENS. MAX. \_\_\_\_\_ P

ISOSISTAS \_\_\_\_\_ M

Relación con la estructura:

Nº SISMOS 2 MAGNITUDES MAX. 3.6

PROFUNDIDADES MEDIAS 20-5 km REPLICAS \_\_\_\_\_

RUMBO DE LAS MISMAS \_\_\_\_\_

ERROR EPICENTRO 10 km ERROR PROF. 5 km

CORRELACION CON LA FALLA B  B (Buena)

P  P (Probable)

M  M (Mala)

CLASE DE ACTIVIDAD

- APECTA AL CUATERNARIO
- APECTA A LA MORFOLOGIA
- ASOCIADA A SISMICIDAD
- GEOTERMISMO

	SI	NO	?	CLASIFICACION SEGUN TABLA I
APECTA AL CUATERNARIO	×			<div style="border: 1px solid black; padding: 5px; display: inline-block;"> <p>A-II ←</p> </div>
APECTA A LA MORFOLOGIA	×			
ASOCIADA A SISMICIDAD	×			
GEOTERMISMO			×	

**FICHA DE FALLA**

Nº 70 DENOMINACION SITUACION  
 SISTEMA CARRASCOY ZONA BETICA  
 FALLA NORD-CARRASCOY DOMINIO \_\_\_\_\_  
 SECTOR Rancho de Ginesa CUENCA GUADALENTIN  
 Fecha: \_\_\_\_\_ Autor: P. Silva y L. H. Barroco

Para las fallas bien visibles en superficie:

**GEOMETRIA**

LONGITUD 3.3  
 RUMBO N 49° E  
 BUZAMIENTO 34° SE

**ANALISIS TECTO/NEO/EVOLUTIVO**

Sobre la misma estructura       En estructuras menores asociadas

EDAD DE LOS MATERIALES AFECTADOS	TIPIFICACION				REGIMEN TECTONICO		ESFUERZOS	SALTOS	
	NORMAL	DESGARRE		INVERSA	COMPRESION	DISTENSION	DIRECCION DE $\sigma_1$ , $\sigma_2$ , $\sigma_3$ EN LA HORIZONTAL	EN HORIZ.	EN VERT.
		MIXTA	L						
PRE-TORT.									
TORT-INF.				x					
TORT-SUP.									
MESSIN.									
PLIOCENO									
PLIO-CUAT.									
CUATERNARIO				x	x	x	$\sigma_1 \sim N195^\circ E$ ?		

**ASPECTO Y NATURALEZA DE LOS MAT. AFECTADOS**

Conglomerada, arcuítica y limos esolizados, quizá del Tort. inf., cabalgando depósitos de fanalco aluvial del Plioceno superior, los cuales se encuentran plegados por el empuje de la falla en sinclinales y anticlinales, o incluso llegan a estar cabalgados.

**EL RELLENO**

Bastante potencia de milonita. Se observan huellas de fricción y entres con horiz. 20° de pitch, cuyo sentido indica un mov. inverso.

-Relación con las estructuras mayores o con otras fallas importantes:

Pertenece a un sistema de fallas que se para la Serra de Carrascoy de la depresión del Guadalentín.

Analisis realizado por:

idem.

Para todas las fallas

TECTO-SEDIMENTACION

FALLA DETECTADA POR ESTE METODO	SI	<input checked="" type="checkbox"/>
	NO	<input type="checkbox"/>

RUMBO PROB.		BUZ. PROB.	
LONG. PROB.		TIPO PROB.	

Breve descripción de la influencia en las características de la sedimentación y edad de los materiales

*Deposito de Abanico aluvial que muestra un buzamiento progresivamente menor hacia tecto, desde 26 hasta 6°.*

GEOMORFOLOGIA

FALLA DETECTADA POR ESTE METODO	SI	<input type="checkbox"/>
SE OBSERVA COMO LINEAMIENTO?	SI	<input type="checkbox"/>

RUMBO PROB.	USY°E	BUZ. PROB.	vertical
LONG. PROB.	3.35 km	TIPO PROB.	INVERSA -SINISTRAL-

ANOMALIAS GEOMORFOLOGICAS LIGADAS Y/O PROB. LIGADAS

EN EL RELIEVE O LADERAS

EN LA RED HIDROG.

OTROS

Escarpe de fallas	<input type="checkbox"/>	Valles colgados	<input type="checkbox"/>
Caras afacetadas	<input checked="" type="checkbox"/>	Capturas	<input type="checkbox"/>
Basculamientos	<input checked="" type="checkbox"/>	Encajamientos	<input type="checkbox"/>
Encajamientos	<input checked="" type="checkbox"/>	Inflexiones	<input type="checkbox"/>
Solapes	<input checked="" type="checkbox"/>	Difluencias	<input type="checkbox"/>
		Cambios bruscos en el perfil	<input type="checkbox"/>

GEOFISICA

FALLA DETECTADA POR ESTE METODO	SI	<input type="checkbox"/>
---------------------------------	----	--------------------------

RUMBO PROB.	USO°	BUZ. PROB.	
LONG. PROB.	>15 km	TIPO PROB.	

Por el metodo	Electrico	<input checked="" type="checkbox"/>
	Sismico	<input checked="" type="checkbox"/>
	Gravimetrico	<input checked="" type="checkbox"/>

Profundidad de la estructura	
Edad mat. a los que afecta	



**GEOTERMISMO/VOLCANISMO ASOCIADO**

Volcanismo	Quimismo o clase	Geotermismo	Manantiales	<input type="checkbox"/>	Temperatura	<input type="text"/>
	Edad absoluta		Sondeo	<input type="checkbox"/>	Profundidad	<input type="text"/>

**SISMICIDAD ASOCIADA**

HISTORICA

INSTRUMENTAL

Nº SISMOS \_\_\_\_\_ CORRELACION B

INTENS. MAX. \_\_\_\_\_ P

ISOSISTAS \_\_\_\_\_ M

Relación con la estructura:

Nº SISMOS 1 MAGNITUDES MAX. 3.3

PROFUNDIDADES MEDIAS 1 km REPLICAS \_\_\_\_\_

RUMBO DE LAS MISMAS \_\_\_\_\_

ERROR EPICENTRO 2 km ERROR PROF. 2 km

CORRELACION CON LA FALLA B

P

M

B (Buena)  
P (Probable)  
M (Mala)

CLASE DE ACTIVIDAD

APECTA AL CUATERNARIO

APECTA A LA MORFOLOGIA

ASOCIADA A SISMICIDAD

GEOTERMISMO

	SI	NO	?	CLASIFICACION		
				SEGUN	TABLA	I
APECTA AL CUATERNARIO	X			<div style="border: 1px solid black; padding: 5px; display: inline-block;">A-II</div>		
APECTA A LA MORFOLOGIA	X					
ASOCIADA A SISMICIDAD	X					
GEOTERMISMO		X				

**FICHA DE FALLA**

Nº 71 DENOMINACION SITUACION  
 SISTEMA LORCA - ALHAMA ZONA BETICA  
 FALLA Algeciras - Alcauterilla DOMINIO \_\_\_\_\_  
 SECTOR Librilla - Alcauterilla CUENCA GUADALENTIN  
 Fecha: \_\_\_\_\_ Autor: P. Silva y L. H. Barroca

Para las fallas bien visibles en superficie:

**GEOMETRIA**

LONGITUD 18.2 km.  
 RUMBO N 49° E  
 BUZAMIENTO vertical

**ANALISIS TECTO/NEO/EVOLUTIVO**

Sobre la misma estructura       En estructuras menores asociadas

EDAD DE LOS MATERIALES AFECTADOS	TIPIFICACION				REGIMEN TECTONICO		ESFUERZOS	SALTOS	
	NORMAL	DESGARRE		INVERSA	COMPRESION	DISTENSION	DIRECCION DE $\sigma_1$ O $\sigma_3$ EN LA HORIZONTAL	EN	EN
		MIXTA	L					D	MIXTA
PRE-TORT.									
TORT-INF.									
TORT-SUP.	x?								
MESSIN.				x?					
PLIOCENO				x?					
PLIO-CUAT.									
CUATERNARIO									

**ASPECTO Y NATURALEZA DE LOS MAT. AFECTADOS**

*Contacto marra - congl. andaluzense o messinenses.*

**EL RELLENO**

-Relación con las estructuras mayores o con otras fallas importantes:

Analisis realizado por:

*idem*

Para todas las fallas

TECTO-SEDIMENTACION

FALLA DETECTADA POR ESTE METODO	SI	<input checked="" type="checkbox"/>	RUMBO PROB.		BUZ. PROB.	
	NO		LONG. PROB.		TIPO PROB.	

Breve descripción de la influencia en las características de la sedimentación y edad de los materiales

Falla progresiva que controla la sedimentación de la Cuenca de Muñ, abriéndose asimétricamente

GEOMORFOLOGIA

FALLA DETECTADA POR ESTE METODO	si	RUMBO PROB.	N49°E	BUZ. PROB.	vertical
SE OBSERVA COMO LINEAMIENTO?	si	LONG. PROB.	18.2km	TIPO PROB.	sinistral

ANOMALIAS GEOMORFOLOGICAS LIGADAS Y/O PROB. LIGADAS

EN EL RELIEVE O LADERAS

EN LA RED HIDROG.

OTROS

Escarpe de fallas	<input checked="" type="checkbox"/>	Valles colgados	<input type="checkbox"/>
Caras afacetadas	<input type="checkbox"/>	Capturas	<input type="checkbox"/>
Basculamientos	<input type="checkbox"/>	Encajamientos	<input type="checkbox"/>
Encajamientos	<input type="checkbox"/>	Inflexiones	<input checked="" type="checkbox"/>
Solapes	<input checked="" type="checkbox"/>	Difluencias	<input type="checkbox"/>
		Cambios bruscos en el perfil	<input type="checkbox"/>

GEOFISICA

FALLA DETECTADA POR ESTE METODO	<input checked="" type="checkbox"/>	RUMBO PROB.	N40°E	BUZ. PROB.	40°W
		LONG. PROB.	> 7 km	TIPO PROB.	normal - mixta

Por el metodo	Electrico	<input checked="" type="checkbox"/>	Profundidad de la estructura	> 4 km.
	Sismico	<input checked="" type="checkbox"/>	Edad mat. a los que afecta	Neogeno.
	Gravimetrico	<input type="checkbox"/>		

GEOTERMISMO/VOLCANISMO ASOCIADO

Volcanismo	Quimismo o clase _____ Geotermismo Edad absoluta _____	Manantiales <input checked="" type="checkbox"/> Sondeo <input type="checkbox"/>	Temperatura <input type="text"/> Profundidad <input type="text"/>
------------	---	--	--

SISMICIDAD ASOCIADA

HISTORICA

No SISMOS \_\_\_\_\_  
 INTENS. MAX. \_\_\_\_\_  
 ISOSISTAS \_\_\_\_\_  
 Relación con la estructura:

INSTRUMENTAL

CORRELACION	B <input type="checkbox"/>	NOSISMOS <u>2</u>	MAGNITUDES MAX. <u>4.6</u>
	P <input type="checkbox"/>	PROFUNDIDADES MEDIAS <u>20-10 km</u>	REPLICAS _____
	M <input type="checkbox"/>	RUMBO DE LAS MISMAS _____	ERROR EPICENTRO <u>&gt; 10 km</u>
			ERROR PROF. <u>&lt;&lt; 5 km</u>

CORRELACION CON LA FALLA B

B	<input type="checkbox"/>	B (Buena)
P	<input checked="" type="checkbox"/>	P (Probable)
M	<input type="checkbox"/>	M (Mala)

CLASE DE ACTIVIDAD

- APECTA AL CUATERNARIO
- APECTA A LA MORFOLOGIA
- ASOCIADA A SISMICIDAD
- GEOTERMISMO

	SI	NO	?	CLASIFICACION SEGUN TABLA I
APECTA AL CUATERNARIO			X	5-1
APECTA A LA MORFOLOGIA	X			
ASOCIADA A SISMICIDAD			X	
GEOTERMISMO		X		

**FICHA DE FALLA**

No 72 DENOMINACION SITUACION  
 SISTEMA GUADALENTIN ZONA BETICA  
 FALLA LOS Salobres DOMINIO \_\_\_\_\_  
 SECTOR Pto Lumbrales - LORCA CUENCA GUADALENTIN  
 Fecha: Autor: L.M. Barroco

Para las fallas bien visibles en superficie:

GEOMETRIA

LONGITUD  
 RUMBO  
 BUZAMIENTO

ANALISIS TECTO/NEO/EVOLUTIVO

Sobre la misma estructura       En estructuras menores asociadas

EDAD DE LOS MATERIALES AFECTADOS	TIPIFICACION				REGIMEN TECTONICO		ESFUERZOS	SALTOS	
	NORMAL	DESGARRE		INVERSA	COMPRESION	DISTENSION	DIRECCION DE $\sigma_1$ O $\sigma_2$ EN LA HORIZONTAL	EN HORIZ.	EN VERT.
	MIXTA	L	D	MIXTA					
PRE-TORT.									
TORT-IMP.									
TORT-SUP.									
MESSIN.									
EOCENO									
PLIO-CUAT.									
CUATERNARIO									

ASPECTO Y NATURALEZA DE LOS MAT. AFECTADOS

EL RELLENO

-Relación con las estructuras mayores o con otras fallas importantes:

Analisis realizado por:

Para todas las fallas

TECTO-SEDIMENTACION

FALLA DETECTADA POR ESTE METODO	SI	
	NO	

RUMBO PROB.		BUZ. PROB.	
LONG. PROB.		TIPO PROB.	

Breve descripción de la influencia en las características de la sedimentación y edad de los materiales

GEOMORFOLOGIA

FALLA DETECTADA POR ESTE METODO	
SE OBSERVA COMO LINEAMIENTO?	

RUMBO PROB.		BUZ. PROB.	
LONG. PROB.		TIPO PROB.	

ANOMALIAS GEOMORFOLOGICAS LIGADAS Y/O PROB. LIGADAS

EN EL RELIEVE O LADERAS

EN LA RED HIDROG.

OTROS

Escarpe de fallas


Valles colgados


Caras afacetadas

Capturas

Basculamientos

Encajamientos

Encajamientos

Inflexiones

Solapes

Difluencias

Cambios bruscos en el perfil

GEOFISICA

FALLA DETECTADA POR ESTE METODO	SI
---------------------------------	----

RUMBO PROB.	NE	BUZ. PROB.	al SE
LONG. PROB.	14 km	TIPO PROB.	normal

Por el metodo Electrico

X

Profundidad de la estructura

600 m.

Sismico

Edad mat. a los que afecta

Mbc. sop. - Ploc. ?

Gravimetrico

GEOTERMISMO/VOLCANISMO ASOCIADO

Volcanismo	Quimismo o clase _____ Geotermismo Edad absoluta _____	Manantiales  Sondeo	<input style="width: 20px; height: 20px;" type="text"/>  <input style="width: 20px; height: 20px;" type="text"/>	Temperatura  Profundidad	<input style="width: 100%; height: 20px;" type="text"/>  <input style="width: 100%; height: 20px;" type="text"/>
------------	---	---------------------------	--	--------------------------------	--

SISMICIDAD ASOCIADA

HISTORICA

Nº SISMOS \_\_\_\_\_ CORRELACION B

INTENS. MAX. \_\_\_\_\_ P

ISOSISTAS \_\_\_\_\_ M

Relación con la estructura:

INSTRUMENTAL

Nº SISMOS \_\_\_\_\_ MAGNITUDES MAX. \_\_\_\_\_

PROFUNDIDADES MEDIAS \_\_\_\_\_ REPLICAS \_\_\_\_\_

RUMBO DE LAS MISMAS \_\_\_\_\_

ERROR EPICENTRO \_\_\_\_\_ ERROR PROF. \_\_\_\_\_

CORRELACION CON LA FALLA B

P

M

B (Buena)  
P (Probable)  
M (Mala)

CLASE DE ACTIVIDAD

- APECTA AL CUATERNARIO
- APECTA A LA MORFOLOGIA
- ASOCIADA A SISMICIDAD
- GEOTERMISMO

	SI	NO	?	CLASIFICACION SEGUN TABLA I
APECTA AL CUATERNARIO			×	<div style="border: 1px solid black; padding: 5px; width: 40px; margin: 0 auto;">G-IV</div>
APECTA A LA MORFOLOGIA		×		
ASOCIADA A SISMICIDAD		×		
GEOTERMISMO		×		

### FICHA DE FALLA

Nº 73 DENOMINACION SITUACION  
 SISTEMA CADIZ-ALICANTE ZONA PREBETICO  
 FALLA Mascibenda DOMINIO MERIDIONAL  
 SECTOR \_\_\_\_\_ CUENCA FORTUNA  
 Fecha: \_\_\_\_\_ Autor: L. H. Berreuco

Para las fallas bien visibles en superficie:

GEOMETRIA

LONGITUD 10 Km.  
 RUMBO N 80° E  
 BUZAMIENTO 80 S.

ANALISIS TECTO/NEO/EVOLUTIVO

Sobre la misma estructura       En estructuras menores asociadas

EDAD DE LOS MATERIALES AFECTADOS	TIPIFICACION				REGIMEN TECTONICO		ESFUERZOS	SALTOS	
	NORMAL	DESGARRE		INVERSA	COMPRESION	DISTENSION	DIRECCION DE $\sigma_1, \sigma_2, \sigma_3$ EN LA HORIZONTAL	EN	EN
		MIXTA	L					D	MIXTA
PRE-TORT.									
TORT-INF.									
TORT-SUP.					x				
MESIN.			x → x		x		$\sigma_1 \sim N-S$		
PLIOCENO									
PLIO-CUAT.									
CUATERNARIO									

ASPECTO Y NATURALEZA DE LOS MAT. AFECTADOS

Individualiza la cuenca de Fortuna en el Mesiniense al cual tambien afecta.

EL RELIEVO

-Relación con las estructuras mayores o con otras fallas importantes:

Analisis realizado por:

Lukowski



Para todas las fallas

TECTO-SEDIMENTACION

FALLA DETECTADA POR ESTE METODO	SI	X
	NO	

RUMBO PROB.		BUZ. PROB.	
LONG. PROB.		TIPO PROB.	

Breve descripción de la influencia en las características de la sedimentación y edad de los materiales

GEOMORFOLOGIA

FALLA DETECTADA POR ESTE METODO	
SE OBSERVA COMO LINEAMIENTO?	X

RUMBO PROB.		BUZ. PROB.	
LONG. PROB.		TIPO PROB.	

ANOMALIAS GEOMORFOLOGICAS LIGADAS Y/O PROB. LIGADAS

EN EL RELIEVE O LADERAS

EN LA RED HIDROG.

OTROS

Escarpe de fallas


Valles colgados


Caras afacetadas

Capturas

Basculamientos

Encajamientos

Encajamientos

Inflexiones

Solapes

Difluencias

Cambios bruscos en el perfil

GEOFISICA

FALLA DETECTADA POR ESTE METODO

RUMBO PROB.

BUZ. PROB.

LONG. PROB.

TIPO PROB.

Por el metodo Electrico


Profundidad de la estructura


Sismico

Edad mat. a los que afecta

Gravimetrico

GEOTERMISMO/VOLCANISMO ASOCIADO

Volcanismo	Quimismo o clase _____ Edad absoluta _____	Geotermismo	Manantiales <input type="checkbox"/> Sondeo <input type="checkbox"/>	Temperatura <input type="text"/>	Profundidad <input type="text"/>
------------	---	-------------	---	----------------------------------	----------------------------------

SISMICIDAD ASOCIADA

HISTORICA

Nº SISMOS \_\_\_\_\_  
 INTENS. MAX. \_\_\_\_\_  
 ISOSISTAS \_\_\_\_\_  
 Relación con la estructura:

INSTRUMENTAL

CORRELACION B	B	Nº SISMOS _____ / _____	MAGNITUDES MAX. _____ 3.4
P	P	PROFUNDIDADES MEDIAS _____ 9	REPLICAS _____
M	M	RUMBO DE LAS MISMAS _____	ERROR EPICENTRO _____ 14
			ERROR PROF. _____ 25

CORRELACION CON LA FALLA B

	B	B (Buena)
	P	P (Probable)
	M	M (Mala)
	X	

CLASE DE ACTIVIDAD

APECTA AL CUATERNARIO  
 APECTA A LA MORFOLOGIA  
 ASOCIADA A SISMICIDAD  
 GEOTERMISMO

	SI	NO	?	CLASIFICACION		
				SEGUN	TABLA	I
APECTA AL CUATERNARIO		X		<div style="border: 1px solid black; padding: 5px; display: inline-block;">                     a-III                 </div>		
APECTA A LA MORFOLOGIA			X			
ASOCIADA A SISMICIDAD			X			
GEOTERMISMO		X				

**FICHA DE FALLA**

Nº 74 DENOMINACION \_\_\_\_\_ SITUACION \_\_\_\_\_  
 SISTEMA PREBETICO ZONA PREBETICO  
 FALLA Cabeza de Asno DOMINIO INTERNO-EXTERNO  
 SECTOR Calaparra - Cieza CUENCA \_\_\_\_\_  
 Fecha: \_\_\_\_\_ Autor: L.H. Barroco

Para las fallas bien visibles en superficie:

GEOMETRIA

LONGITUD  
 RUMBO  
 BUZAMIENTO

ANALISIS TECTO/NEO/EVOLUTIVO

Sobre la misma estructura       En estructuras menores asociadas

EDAD DE LOS MATERIALES AFECTADOS	TIPIFICACION				REGIMEN TECTONICO		ESFUERZOS	SALTOS	
	NORMAL	DESGARRE		INVERSA	COMPRESION	DISTENSION	DIRECCION DE $\sigma_1$ O $\sigma_3$ EN LA HORIZONTAL	EN	EN
	MIXTA	L	D	MIXTA				HORIZ.	VERT
PRE-TORT.									
TORT-INF.									
TORT-SUP.									
MESSIN.									
PLIOCENO									
PLIO-CUAT.									
CUATERNARIO									

ASPECTO Y NATURALEZA DE LOS MAT. AFECTADOS

EL RELLENO

-Relación con las estructuras mayores o con otras fallas importantes:

Analisis realizado por:

Para todas las fallas

TECTO-SEDIMENTACION

FALLA DETECTADA POR ESTE METODO	SI	RUMBO PROB.	BUZ. PROB.
	NO	LONG. PROB.	TIPO PROB.

Breve descripción de la influencia en las características de la sedimentación y edad de los materiales

GEOMORFOLOGIA

FALLA DETECTADA POR ESTE METODO	si	RUMBO PROB.	NE	BUZ. PROB.
SE OBSERVA COMO LINEAMIENTO?	si	LONG. PROB.	24 km.	TIPO PROB.

ANOMALIAS GEOMORFOLOGICAS LIGADAS Y/O PROB. LIGADAS

EN EL RELIEVE O LADERAS

EN LA RED HIDROG.

OTROS

Escarpe de fallas	<input type="checkbox"/>	Valles colgados	<input type="checkbox"/>
Caras afacetadas	<input type="checkbox"/>	Capturas	<input type="checkbox"/>
Basculamientos	<input checked="" type="checkbox"/>	Encajamientos	<input type="checkbox"/>
Encajamientos	<input type="checkbox"/>	Inflexiones	<input type="checkbox"/>
Solapes	<input checked="" type="checkbox"/>	Difluencias	<input type="checkbox"/>
		Cambios bruscos en el perfil	<input type="checkbox"/>

GEOFISICA

FALLA DETECTADA POR ESTE METODO	si	RUMBO PROB.	NE	BUZ. PROB.
		LONG. PROB.	20 km	TIPO PROB.

Por el metodo	Electrico	<input checked="" type="checkbox"/>
	Sismico	<input type="checkbox"/>
	Gravimetrico	<input type="checkbox"/>

Profundidad de la estructura	800 m.
Edad mat. a los que afecta	M. d. a. u.

GEOTERMISMO/VOLCANISMO ASOCIADO

Volcanismo	Quimismo o clase _____	Geotermismo	Manantiales	<input type="checkbox"/>	Temperatura	<input type="checkbox"/>
	Edad absoluta _____		Sondeo	<input type="checkbox"/>	Profundidad	<input type="checkbox"/>

SISMICIDAD ASOCIADA

HISTORICA

Nº SISMOS \_\_\_\_\_

INTENS. MAX. \_\_\_\_\_

ISOSISTAS \_\_\_\_\_

Relación con la estructura:

INSTRUMENTAL

Nº SISMOS 1 MAGNITUDES MAX. 3.6

PROFUNDIDADES MEDIAS 10 REPLICAS \_\_\_\_\_

RUMBO DE LAS MISMAS \_\_\_\_\_

ERROR EPICENTRO 20 ERROR PROF. 67

CORRELACION B

P

M

CORRELACION CON LA FALLA B

B (Buena)

P (Probable)

M (Mala)

CLASE DE ACTIVIDAD

- APECTA AL CUATERNARIO
- APECTA A LA MORFOLOGIA
- ASOCIADA A SISMICIDAD
- GEOTERMISMO

	SI	NO	?	CLASIFICACION SEGUN TABLA I
APECTA AL CUATERNARIO			X	<div style="border: 1px solid black; padding: 5px; display: inline-block;">B-1</div>
APECTA A LA MORFOLOGIA	X			
ASOCIADA A SISMICIDAD			X	
GEOTERMISMO		X		

**FICHA DE FALLA**

No 75 **DENOMINACION** SISTEMA Codiz - Alicante SITUACION  
FALLA La Espada ZONA PREBETICO  
SECTOR Fortuna DOMINIO MERIDIONAL  
Fecha: Autor: L. M. BOYANCO

Para las fallas bien visibles en superficie:

**GEOMETRIA**

LONGITUD 18 km.  
 RUMBO N40°E  
 BUZAMIENTO 80°S

**ANALISIS TECTO/NEO/EVOLUTIVO**

Sobre la misma estructura       En estructuras menores asociadas

EDAD DE LOS MATERIALES AFECTADOS	TIPIFICACION				REGIMEN TECTONICO		ESFUERZOS	SALTOS	
	NORMAL	DESGARRE		INVERSA	COMPRESION	DISTENSION	DIRECCION DE $\sigma_1, \sigma_2, \sigma_3$ EN LA HORIZONTAL	EN	EN
		MIXTA	L					D	MIXTA
PRE-TORT.									
TORT-INF.			X		X		$\sigma_1 \sim N20^\circ E$		
TORT-SUP.			X		X		$\sigma_{1,2} N150^\circ E$		
MESSIN.			X		X		$\sigma_{1,2} N150^\circ E$		
PLIOCENO									
PLIO-CUAT.									
CUATERNARIO									

**ASPECTO Y NATURALEZA DE LOS MAT. AFECTADOS**

Marcas el límite N. de la Cuenca Tortoniense de Fortuna. Afecta al Messiniense.

**EL RELLENO**

-Relacion con las estructuras mayores o con otras fallas importantes:

Se presenta asociada a fallas N a NNW (El Relleno, El Puerto) de la misma edad y mecanismo normal

Analisis realizado por:

Lukowski'

Para todas las fallas

TECTO-SEDIMENTACION

FALLA DETECTADA POR ESTE METODO	SI	<input checked="" type="checkbox"/>	RUMBO PROB.		BUZ. PROB.	
	NO		LONG. PROB.		TIPO PROB.	

Breve descripción de la influencia en las características de la sedimentación y edad de los materiales

*Los pulsos tectónicos marcaron el relieve de la Cuenca de Fertuna con dos discordancias: ultratertuniense y base del Messiniense*

GEOMORFOLOGIA

FALLA DETECTADA POR ESTE METODO		RUMBO PROB.		BUZ. PROB.	
SE OBSERVA COMO LINEAMIENTO?	<input checked="" type="checkbox"/>	LONG. PROB.		TIPO PROB.	

ANOMALIAS GEOMORFOLOGICAS LIGADAS Y/O PROB. LIGADAS

EN EL RELIEVE O LADERAS

EN LA RED HIDROG.

OTROS

Escarpe de fallas

<input type="checkbox"/>
<input type="checkbox"/>
<input type="checkbox"/>
<input type="checkbox"/>
<input type="checkbox"/>
<input type="checkbox"/>

Valles colgados

<input type="checkbox"/>
<input type="checkbox"/>
<input type="checkbox"/>
<input type="checkbox"/>
<input type="checkbox"/>
<input type="checkbox"/>

Caras afacetadas

Capturas

Basculamientos

Encajamientos

Encajamientos

Inflexiones

Solapes

Difluencias

Cambios bruscos en el perfil

GEOFISICA

FALLA DETECTADA POR ESTE METODO	
---------------------------------	--

RUMBO PROB.		BUZ. PROB.	
LONG. PROB.		TIPO PROB.	

Por el metodo Electrico

<input type="checkbox"/>
<input type="checkbox"/>
<input type="checkbox"/>

Profundidad de la estructura


Sismico

Edad mat. a los que afecta

Gravimetrico

GEOTERMISMO/VOLCANISMO ASOCIADO

Volcanismo | Quimismo o clase \_\_\_\_\_ Geotermismo | Manantiales  Temperatura   
 Edad absoluta \_\_\_\_\_ | Sondeo  Profundidad

SISMICIDAD ASOCIADA

HISTORICA

Nº SISMOS \_\_\_\_\_  
 INTENS. MAX. \_\_\_\_\_  
 ISOSISTAS \_\_\_\_\_  
 Relación con la estructura:

INSTRUMENTAL

Nº SISMOS \_\_\_\_\_ MAGNITUDES MAX. \_\_\_\_\_  
 PROFUNDIDADES MEDIAS \_\_\_\_\_ REPLICAS \_\_\_\_\_  
 RUMBO DE LAS MISMAS \_\_\_\_\_  
 ERROR EPICENTRO \_\_\_\_\_ ERROR PROF. \_\_\_\_\_

CORRELACION B   
 P   
 M

CORRELACION CON LA FALLA B

B (Buena)  
 P (Probable)  
 M (Mala)

CLASE DE ACTIVIDAD

- APECTA AL CUATERNARIO
- APECTA A LA MORFOLOGIA
- ASOCIADA A SISMICIDAD
- GEOTERMISMO

	SI	NO	?	CLASIFICACION SEGUN TABLA I
APECTA AL CUATERNARIO		X		<div style="border: 1px solid black; padding: 5px; display: inline-block;">           A-IV         </div>
APECTA A LA MORFOLOGIA			X	
ASOCIADA A SISMICIDAD		X		
GEOTERMISMO		X		



**FICHA DE FALLA**

Nº 76 DENOMINACION SISTEMA *LORCA-ALHAMA ?* SITUACION ZONA *BETICA*  
 FALLA *La Alcaína* DOMINIO \_\_\_\_\_  
 SECTOR *N. Merid.* CUENCA *Fortuna*  
 Fecha: \_\_\_\_\_ Autor: *L. M. Barranco*

Para las fallas bien visibles en superficie:

GEOMETRIA

LONGITUD  
RUMBO  
BUZAMIENTO

ANALISIS TECTO/NEO/EVOLUTIVO

Sobre la misma estructura       En estructuras menores asociadas

EDAD DE LOS MATERIALES AFECTADOS	TIPIFICACION				REGIMEN TECTONICO		ESFUERZOS	SALTOS	
	NORMAL	DESGARRE		INVERSA	COMPRESION	DISTENSION	DIRECCION DE $\sigma_1$ O $\sigma_3$ EN LA HORIZONTAL	EN	EN
		MIXTA	L					D	MIXTA
PRE-TORT.									
TORT-INF.									
TORT-SUP.									
MESSIN.									
PLIOCENO									
PLIO-CUAT.									
CUATERNARIO									

ASPECTO Y NATURALEZA DE LOS MAT. AFECTADOS

*Segun Lubowski la zona es el Mess. Superior*

EL RELLENO

-Relación con las estructuras mayores o con otras fallas importantes:

Analisis realizado por:

*Lubowski*

Para todas las fallas

TECTO-SEDIMENTACION

FALLA DETECTADA POR ESTE METODO	SI	<input checked="" type="checkbox"/>
	NO	<input type="checkbox"/>

RUMBO PROB.	N 55° E	BUZ. PROB.	
LONG. PROB.	25 km.	TIPO PROB.	

Breve descripción de la influencia en las características de la sedimentación y edad de los materiales

GEOMORFOLOGIA

FALLA DETECTADA POR ESTE METODO	<input type="checkbox"/>
SE OBSERVA COMO LINEAMIENTO?	<input type="checkbox"/>

RUMBO PROB.		BUZ. PROB.	
LONG. PROB.		TIPO PROB.	

ANOMALIAS GEOMORFOLOGICAS LIGADAS Y/O PROB. LIGADAS

EN EL RELIEVE O LADERAS

EN LA RED HIDROG.

OTROS

Escarpe de fallas

<input type="checkbox"/>
<input type="checkbox"/>
<input type="checkbox"/>
<input type="checkbox"/>
<input type="checkbox"/>

Valles colgados

<input type="checkbox"/>
<input type="checkbox"/>
<input type="checkbox"/>
<input type="checkbox"/>
<input type="checkbox"/>
<input type="checkbox"/>

Caras afacetadas

Capturas

Basculamientos

Encajamientos

Encajamientos

Inflexiones

Solapes

Difluencias

Cambios bruscos en el perfil

GEOFISICA

FALLA DETECTADA POR ESTE METODO	<input checked="" type="checkbox"/>
---------------------------------	-------------------------------------

RUMBO PROB.		BUZ. PROB.	
LONG. PROB.		TIPO PROB.	

Por el metodo Electrico

<input type="checkbox"/>
<input type="checkbox"/>
<input checked="" type="checkbox"/>

Profundidad de la estructura

Sismico

Edad mat. a los que afecta

Gravimetrico

Mess. españolas

GEOTERMISMO/VOLCANISMO ASOCIADO

Volcanismo	Quimismo o clase	Geotermismo	Manantiales	Temperatura
	Edad absoluta		Sondeo	Profundidad

SISMICIDAD ASOCIADA

HISTORICA

Nº SISMOS \_\_\_\_\_  
 INTENS. MAX. \_\_\_\_\_  
 ISOSISTAS \_\_\_\_\_  
 Relación con la estructura:

INSTRUMENTAL

B	Nº SISMOS	4	MAGNITUDES MAX.	3.2
P	PROFUNDIDADES MEDIAS	5	REPLICAS	
M	RUMBO DE LAS MISMAS			
	ERROR EPICENTRO	0.46	ERROR PROF.	1.88

CORRELACION CON LA FALLA E

B (Buena)
P (Probable)
M (Mala)

P   
 M

CLASE DE ACTIVIDAD

- APECTA AL CUATERNARIO
- APECTA A LA MORFOLOGIA
- ASOCIADA A SISMICIDAD
- GEOTERMISMO

SI	NO	?	CLASIFICACION SEGUN TABLA I
	X		A-IV
		X	
X			
	X		

**FICHA DE FALLA**

Nº 77 DENOMINACION SISTEMA DEL SEGURA SITUACION ZONA BÉTICA  
 FALLA Alcaina - Molina DOMINIO \_\_\_\_\_  
 SECTOR \_\_\_\_\_ CUENCA MULA-FORTUNA  
 Fecha: \_\_\_\_\_ Autor: L. M. Barrauco

Para las fallas bien visibles en superficie:

**GEOMETRIA**

LONGITUD 5 Km.  
 RUMBO N = NE  
 BUZAMIENTO \_\_\_\_\_

**ANALISIS TECTO/NEO/EVOLUTIVO**

Sobre la misma estructura       En estructuras menores asociadas

EDAD DE LOS MATERIALES AFECTADOS	TIPIFICACION				REGIMEN TECTONICO		ESFUERZOS	SALTOS	
	NORMAL	DESGARRE		INVERSA	COMPRESION	DISTENSION	DIRECCION DE $\sigma_1, 0 \sigma_2$ EN LA HORIZONTAL	EN	EN
	MIXTA	L	D	MIXTA				HORIZ.	VERT
PRE-TORT.									
TORT-INF.									
TORT-SUP.									
MESSIN.									
PLIOCENO		x → x							
PLIO-CUAT.									
CUATERNARIO									

**ASPECTO Y NATURALEZA DE LOS MAT. AFECTADOS**

*Afectan al Plioceno inferior (Conglomerada fluvial)*

**EL RELLENO**

-Relación con las estructuras mayores o con otras fallas importantes:

*Es un sistema de fracturas complejo que cisalla al Plioceno inferior y que va desde Alcántarilla hasta, por lo menos, Archena.*

Analisis realizado por:

*Lukowski*

Para todas las fallas

TECTO-SEDIMENTACION

FALLA DETECTADA POR ESTE METODO	SI		RUMBO PROB.		BUZ. PROB.	
	NO		LONG. PROB.		TIPO PROB.	

Breve descripción de la influencia en las características de la sedimentación y edad de los materiales

GEOMORFOLOGIA

FALLA DETECTADA POR ESTE METODO		RUMBO PROB.		BUZ. PROB.	
SE OBSERVA COMO LINEAMIENTO?		LONG. PROB.		TIPO PROB.	

ANOMALIAS GEOMORFOLOGICAS LIGADAS Y/O PROB. LIGADAS

EN EL RELIEVE O LADERAS

Escarpe de fallas  
Caras afacetadas  
Basculamientos  
Encajamientos  
Solapes


EN LA RED HIDROG.

Valles colgados  
Capturas  
Encajamientos  
Inflexiones  
Difluencias  
Cambios bruscos en el perfil


OTROS

GEOFISICA

FALLA DETECTADA POR ESTE METODO	×	RUMBO PROB.		BUZ. PROB.	
		LONG. PROB.		TIPO PROB.	

Por el metodo

Electrico	×
Sismico	
Gravimetrico	

Profundidad de la estructura  
Edad mat. a los que afecta


GEOTERMISMO/VOLCANISMO ASOCIADO

Volcanismo	Quimismo o clase _____	Geotermismo	Manantiales	/	Temperatura	40°
	Edad absoluta _____		Sondeo		Profundidad	

SISMICIDAD ASOCIADA

HISTORICA

Nº SISMOS 100 CORRELACION B

INTENS. MAX. VIII P

ISOSISTAS si M

Relación con la estructura: S;

INSTRUMENTAL

Nº SISMOS 1(3) MAGNITUDES MAX. 3.2

PROFUNDIDADES MEDIAS \_\_\_\_\_ REPLICAS \_\_\_\_\_

RUMBO DE LAS MISMAS \_\_\_\_\_

ERROR EPICENTRO \_\_\_\_\_ ERROR PROF. \_\_\_\_\_


CORRELACION CON LA FALLA B

B	<input type="checkbox"/>	B (Buena)
P	<input checked="" type="checkbox"/>	P (Probable)
M	<input checked="" type="checkbox"/>	M (Mala)

*El centro sismico de  
Lorquén coincide con una  
densidad elevada de fallas*

CLASE DE ACTIVIDAD

- APECTA AL CUATERNARIO
- APECTA A LA MORFOLOGIA
- ASOCIADA A SISMICIDAD
- GEOTERMISMO

SI	NO	?	CLASIFICACION SEGUN TABLA I
		X	
X			
X			
		X	

**FICHA DE FALLA**

Nº 78 DENOMINACION SISTEMA SEGURA MEDIO SITUACION ZONA SUBBETICO  
 FALLA Villanueva DOMINIO \_\_\_\_\_  
 SECTOR Archeus CUENCA Abarau - Mula  
 Fecha: \_\_\_\_\_ Autor: L. M. Barranco

Para las fallas bien visibles en superficie:

**GEOMETRIA**

LONGITUD 6 Km  
 RUMBO WNAE  
 BOZAMIENTO 90°

**ANALISIS TECTO/NEO/EVOLUTIVO**

Sobre la misma estructura       En estructuras menores asociadas

EDAD DE LOS MATERIALES APECTADOS	TIPIFICACION				REGIMEN TECTONICO		ESFUERZOS	SALTOS	
	NORMAL	DESGARRE		INVERSA	COMPRESION	DISTENSION	DIRECCION DE $\sigma_1, 0 \sigma_2$ EN LA HORIZONTAL	EN HORIZ.	EN VERT.
		MIXTA	L						
PRE-TORT.									
TORT-INF.			x		x		$\sigma_1 \sim N-NW$		
TORT-SUP.		x			x		$\sigma_1 \sim N-S$		
MESSIN.		x			x		$\sigma_1 \sim N-S$		
PLIOCENO									
PLIO-CUAT.									
CUATERNARIO									

**ASPECTO Y NATURALEZA DE LOS MAT. APECTADOS**

Separa los calizas de la base del Tortoniano LI del substrato baltico. Genera bloque de Triás y Cretácico dentro de las margas Tortonianas

**EL RELLENO**

Una zona de 100 m de ancho mielonizado.

-Relación con las estructuras mayores o con otras fallas importantes:

Es interpretada como una fractura P del accidente sinistral de Cravilleute.

Analisis realizado por:

J. Loiseau

Para todas las fallas

TECTO-SEDIMENTACION

FALLA DETECTADA POR ESTE METODO	SI	<input checked="" type="checkbox"/>
	NO	<input type="checkbox"/>

RUMBO PROB.	<input type="text"/>	BUZ. PROB.	<input type="text"/>
LONG. PROB.	<input type="text"/>	TIPO PROB.	<input type="text"/>

Breve descripción de la influencia en las características de la sedimentación y edad de los materiales  
*Deposición de bloques mesozoicos coetáneos con la sedimentación margosa del T2*

GEOMORFOLOGIA

FALLA DETECTADA POR ESTE METODO	<input type="text"/>
SE OBSERVA COMO LINEAMIENTO?	<input checked="" type="checkbox"/>

RUMBO PROB.	<input type="text"/>	BUZ. PROB.	<input type="text"/>
LONG. PROB.	<input type="text"/>	TIPO PROB.	<input type="text"/>

ANOMALIAS GEOMORFOLOGICAS LIGADAS Y/O PROB. LIGADAS

EN EL RELIEVE O LADERAS

- Escarpe de fallas
- Caras afacetadas
- Basculamientos
- Encajamientos
- Solapes

EN LA RED HIDROG.

- Valles colgados
- Capturas
- Encajamientos
- Inflexiones
- Difluencias
- Cambios bruscos en el perfil

OTROS

- 
- 
- 
- 
- 
- 

GEOFISICA

FALLA DETECTADA POR ESTE METODO	<input type="text"/>
---------------------------------	----------------------

RUMBO PROB.	<input type="text"/>	BUZ. PROB.	<input type="text"/>
LONG. PROB.	<input type="text"/>	TIPO PROB.	<input type="text"/>

- Por el metodo
- Electrico
  - Sismico
  - Gravimetrico

Profundidad de la estructura	<input type="text"/>
Edad mat. a los que afecta	<input type="text"/>



GEOTERMISMO/VOLCANISMO ASOCIADO

Volcanismo	Quimismo o clase _____	Geotermismo	Manantiales	<input checked="" type="checkbox"/>	Temperatura	40°
	Edad absoluta _____		Sondeo	<input type="checkbox"/>	Profundidad	

SISMICIDAD ASOCIADA

HISTORICA

Nº SISMOS 5

INTENS. MAX. 5

ISOSISTAS si

Relación con la estructura:

INSTRUMENTAL

Nº SISMOS 1 MAGNITUDES MAX. 3.2

PROFUNDIDADES MEDIAS \_\_\_\_\_ REPLICAS \_\_\_\_\_

RUMBO DE LAS MISMAS \_\_\_\_\_

ERROR EPICENTRO \_\_\_\_\_ ERROR PROF. \_\_\_\_\_

CORRELACION B

P

M

CORRELACION CON LA FALLA B

B (Buena)

P (Probable)

M (Mala)

B

P

M

CLASE DE ACTIVIDAD

- APECTA AL CUATERNARIO
- APECTA A LA MORFOLOGIA
- ASOCIADA A SISMICIDAD
- GEOTERMISMO

	SI	NO	?	CLASIFICACION		
				SEGUN	TABLA	I
APECTA AL CUATERNARIO		<input checked="" type="checkbox"/>		<div style="border: 1px solid black; border-radius: 50%; width: 40px; height: 40px; display: flex; align-items: center; justify-content: center; margin: 0 auto;"> <span>A-IV</span> </div>		
APECTA A LA MORFOLOGIA			<input checked="" type="checkbox"/>			
ASOCIADA A SISMICIDAD			<input checked="" type="checkbox"/>			
GEOTERMISMO			<input checked="" type="checkbox"/>			

**FICHA DE FALLA**

Nº 79 DENOMINACION SITUACION  
 SISTEMA Nord-Bético ZONA \_\_\_\_\_  
 FALLA Albudeite DOMINIO \_\_\_\_\_  
 SECTOR \_\_\_\_\_ CUENCA MULA \_\_\_\_\_  
 Fecha: 31-8-90 Autor: L. M. Barranco

Para las fallas bien visibles en superficie:

**GEOMETRIA**

LONGITUD 10 km  
 RUMBO N50°E  
 BUZAMIENTO 90°

**ANALISIS TECTO/NEO/EVOLUTIVO**

Sobre la misma estructura       En estructuras menores asociadas

EDAD DE LOS MATERIALES AFECTADOS	TIPIFICACION				REGIMEN TECTONICO		ESFUERZOS	SALTOS	
	NORMAL	DESGARRE		INVERSA	COMPRESION	DISTENSION	DIRECCION DE $\sigma_1$ O $\sigma_2$ EN LA HORIZONTAL	EN	EN
	MIXTA	L	D	MIXTA				HORIZ.	VERT
PRE-TORT.									
TORT-INF.									
TORT-SUP.			x		x		$\sigma_1 \sim N-S$		
MESSIN.									
PLIOCENO									
PLIO-CUAT.									
CUATERNARIO									

**ASPECTO Y NATURALEZA DE LOS MAT. AFECTADOS**

*Marca del Tortonense superior*

**EL RELLENO**

-Relación con las estructuras mayores o con otras fallas importantes:

*Forma parte del accidente de Veles-Rubio que separa la Zona Exterior de la Interna.*

Analisis realizado por:

*J. LORSEAU*

Para todas las fallas

TECTO-SEDIMENTACION

FALLA DETECTADA POR ESTE METODO	SI	<input checked="" type="checkbox"/>
	NO	<input type="checkbox"/>

RUMBO PROB.		BUZ. PROB.	
LONG. PROB.		TIPO PROB.	

Breve descripción de la influencia en las características de la sedimentación y edad de los materiales  
*Separa al NW carbonatos de procedencia N. y al SE detriticos procedentes del S. (durante el T<sub>2</sub>) y genera una cuenca tectónica.*

GEOMORFOLOGIA

FALLA DETECTADA POR ESTE METODO	<input type="checkbox"/>
SE OBSERVA COMO LINEAMIENTO?	si <input checked="" type="checkbox"/>

RUMBO PROB.		BUZ. PROB.	
LONG. PROB.		TIPO PROB.	

ANOMALIAS GEOMORFOLOGICAS LIGADAS Y/O PROB. LIGADAS

EN EL RELIEVE O LADERAS

Escarpe de fallas	<input type="checkbox"/>
Caras afacetadas	<input type="checkbox"/>
Bascamientos	<input type="checkbox"/>
Encajamientos	<input type="checkbox"/>
Solapes	<input type="checkbox"/>

EN LA RED HIDROG.

Valles colgados	<input type="checkbox"/>
Capturas	<input type="checkbox"/>
Encajamientos	<input type="checkbox"/>
Inflexiones	<input type="checkbox"/>
Difluencias	<input type="checkbox"/>
Cambios bruscos en el perfil	<input type="checkbox"/>

OTROS

GEOFISICA

FALLA DETECTADA POR ESTE METODO	<input checked="" type="checkbox"/>
---------------------------------	-------------------------------------

RUMBO PROB.		BUZ. PROB.	90°
LONG. PROB.		TIPO PROB.	Angare

Por el metodo	Electrico	<input type="checkbox"/>
	Sismico	<input checked="" type="checkbox"/>
	Gravimetrico	<input type="checkbox"/>

Profundidad de la estructura	1.5 Km
Edad mat. a los que afecta	Tertomense

**GEOTERMISMO/VOLCANISMO ASOCIADO**

Volcanismo	Quimismo o clase _____	Geotermismo	Manantiales	2	Temperatura	37-40°
	Edad absoluta _____		Sondeo		Profundidad	

**SISMICIDAD ASOCIADA**

HISTORICA

No SISMOS 1 CORRELACION B

INTENS. MAX. VI P

ISOSISTAS 1943-1958 M

Relación con la estructura:

INSTRUMENTAL

NO SISMOS 2 MAGNITUDES MAX. 3.2

PROFUNDIDADES MEDIAS 11 REPLICAS \_\_\_\_\_

RUMBO DE LAS MISMAS \_\_\_\_\_

ERROR EPICENTRO 1 ERROR PROF. 1

CORRELACION CON LA FALLA B  B (Buena)

P  P (Probable)

M  M (Mala)

CLASE DE ACTIVIDAD

	SI	NO	?	CLASIFICACION		
				SEGUN	TABLA	I
APECTA AL CUATERNARIO		x		<div style="border: 1px solid black; padding: 5px; display: inline-block;">3-4</div>		
APECTA A LA MORFOLOGIA			x			
ASOCIADA A SISMICIDAD	x					
GEOTERMISMO	x					

**FICHA DE FALLA**

Nº 80 DENOMINACION SISTEMA CADIZ - ALICANTE SITUACION ZONA SUBBATICA  
 FALLA Sª de Cajal DOMINIO \_\_\_\_\_  
 SECTOR Sª de Cajal - Cortado CUENCA MULA  
 Fecha: \_\_\_\_\_ Autor: Luis M. Barrauco

Para las fallas bien visibles en superficie:

**GEOMETRIA**

LONGITUD 15 Km  
 RUMBO N60°-75° E  
 BUZAMIENTO 60°-85° S

**ANALISIS TECTO/NEO/EVOLUTIVO**

Sobre la misma estructura       En estructuras menores asociadas

EDAD DE LOS MATERIALES AFECTADOS	TIPIFICACION				REGIMEN TECTONICO		ESFUERZOS	SALTOS	
	NORMAL	DESGARRE		INVERSA	COMPRESION	DISTENSION	DIRECCION DE $\sigma_1, \sigma_2, \sigma_3$ EN LA HORIZONTAL	EN	EN
		MIXTA	L					D	MIXTA
PRE-TORT.									
TORT-INF.			X	X	X		$\sigma_1 - NW$		
TORT-SUP.			X	X	X		$\sigma_1 \sim NS$		
MESSIN.					X				
PLIOCENO									
PLIO-CUAT.									
CUATERNARIO	X?					X?			

**ASPECTO Y NATURALEZA DE LOS MAT. AFECTADOS**

Afecta al T2. El T2 se pone discordante sobre el T1, y apenas sobre deformación.  
 - Loiseau señala al N de la S. de Cajal y Cortado como el accidente de Crevillente.  
 El caso es que el borde Sur está también fallado, afectando en falta normal ENE  
 EL RELLENO a columnas.

Banda miocénica en el Mioceno con bloques de T1a resacudimentada.

-Relación con las estructuras mayores o con otras fallas importantes:

La actividad post T2 se reduce al plegado de un sistema asociado N140° (S) y N20° (d).

Análisis realizado por:

J. Loiseau y L. M. Barrauco

Para todas las fallas

TECTO-SEDIMENTACION

FALLA DETECTADA POR ESTE METODO	SI	<input checked="" type="checkbox"/>
	NO	<input type="checkbox"/>

RUMBO PROB.		BUZ. PROB.	
LONG. PROB.		TIPO PROB.	

Breve descripción de la influencia en las características de la sedimentación y edad de los materiales el relleno Tortoiense (y Messin.?) de la cuenca de Nula Cita controlado por el fuego de este accidente junto con el de Alhama - Barqueros.

GEOMORFOLOGIA

FALLA DETECTADA POR ESTE METODO	<input type="checkbox"/>
SE OBSERVA COMO LINEAMIENTO?	<input checked="" type="checkbox"/>

RUMBO PROB.		BUZ. PROB.	
LONG. PROB.		TIPO PROB.	

ANOMALIAS GEOMORFOLOGICAS LIGADAS Y/O PROB. LIGADAS

EN EL RELIEVE O LADERAS

- Escarpe de fallas
- Caras afacetadas
- Basculamientos
- Encajamientos
- Solapes

EN LA RED HIDROG.

- Valles colgados
- Capturas
- Encajamientos
- Inflexiones
- Difluencias
- Cambios bruscos en el perfil

OTROS

GEOFISICA

FALLA DETECTADA POR ESTE METODO	<input checked="" type="checkbox"/>
---------------------------------	-------------------------------------

RUMBO PROB.	N 65°	BUZ. PROB.	900
LONG. PROB.		TIPO PROB.	Desgare

Por el metodo	Electrico	<input type="checkbox"/>
	Sismico	<input checked="" type="checkbox"/>
	Gravimetrico	<input type="checkbox"/>

Profundidad de la estructura	5 km.
Edad mat. a los que afecta	Cuatern. ?

**GOTERMISMO/VOLCANISMO ASOCIADO**

Volcanismo	Quimismo o clase _____	Geotermismo	Manantiales	<input type="checkbox"/>	Temperatura	<input type="checkbox"/>
	Edad absoluta _____		Sondeo	<input type="checkbox"/>	Profundidad	<input type="checkbox"/>

**SISMICIDAD ASOCIADA**

HISTORICA

Nº SISMOS 2 (7) CORRELACION B

INTENS. MAX. V1 P

ISOSISTAS \_\_\_\_\_ M

Relación con la estructura:

INSTRUMENTAL

Nº SISMOS 3 MAGNITUDES MAX. 3.5

PROPUNDDIDADES MEDIAS 5 REPLICAS \_\_\_\_\_

RUMBO DE LAS MISMAS \_\_\_\_\_


ERROR EPICENTRO 2 ERROR PROF. 3

CORRELACION CON LA FALLA B

<input type="checkbox"/>	B (Buena)
<input type="checkbox"/>	P (Probable)
<input checked="" type="checkbox"/>	M (Mala)

CLASE DE ACTIVIDAD

- APECTA AL CUATERNARIO
- APECTA A LA MORFOLOGIA
- ASOCIADA A SISMICIDAD
- GOTERMISMO

SI	NO	?	CLASIFICACION SEGUN TABLA I
x			
		x	
		x	
	x		

**FICHA DE FALLA**

Nº 81 DENOMINACION SITUACION  
 SISTEMA CADIZ - ALICANTE ZONA SUBBETICO  
 FALLA Soy Ricote DOMINIO MEDIO  
 SECTOR Archeus. Mula CUENCA Mula  
 Fecha: 3-9-90 Autor: L.M. Barrauco

Para las fallas bien visibles en superficie:

**GEOMETRIA**

LONGITUD 5 Km  
 RUMBO NE  
 BUZAMIENTO 30-70° N

**ANALISIS TECTO/NEO/EVOLUTIVO**

Sobre la misma estructura       En estructuras menores asociadas

EDAD DE LOS MATERIALES AFECTADOS	TIPIFICACION				REGIMEN TECTONICO		ESFUERZOS	SALTOS	
	NORMAL	DESGARRE		INVERSA	COMPRESION	DISTENSION	DIRECCION DE $\sigma_1$ O $\sigma_3$ EN LA HORIZONTAL	EN	EN
		MIXTA	L					D	MIXTA
PRE-TORT.									
TORT-INF.									
TORT-SUP.					x	x	$\sigma_1$ -N-S		
MESSIN.									
PLIOCENO									
PLIO-CUAT.									
CUATERNARIO									

**ASPECTO Y NATURALEZA DE LOS MAT. AFECTADOS**

*Las margas tortonienses son plegada y "cabalgada" por la Sierra de Ricote*

**EL RELLENO**

*Banda de nivelización*

-Relación con las estructuras mayores o con otras fallas importantes:

*El sinclinal del Arco inducido por el cabalgamiento de Ricote*

Analisis realizado por:

*J. Loisele*



Para todas las fallas

TECTO-SEDIMENTACION

FALLA DETECTADA POR ESTE METODO	SI	<input checked="" type="checkbox"/>
	NO	<input type="checkbox"/>

RUMBO PROB.	<input type="text"/>	BUZ. PROB.	<input type="text"/>
LONG. PROB.	<input type="text"/>	TIPO PROB.	<input type="text"/>

Breve descripción de la influencia en las características de la sedimentación y edad de los materiales  
*Suclial sin sedimentario en las margas tortuosas*

GEOMORFOLOGIA

FALLA DETECTADA POR ESTE METODO	<input type="text"/>
SE OBSERVA COMO LINEAMIENTO?	<input type="text"/>

RUMBO PROB.	<input type="text"/>	BUZ. PROB.	<input type="text"/>
LONG. PROB.	<input type="text"/>	TIPO PROB.	<input type="text"/>

ANOMALIAS GEOMORFOLOGICAS LIGADAS Y/O PROB. LIGADAS

EN EL RELIEVE O LADERAS

- Escarpe de fallas
- Caras afacetadas
- Basculamientos
- Encajamientos
- Solapes

EN LA RED HIDROG.

- Valles colgados
- Capturas
- Encajamientos
- Inflexiones
- Difluencias
- Cambios bruscos en el perfil

OTROS

GEOFISICA

FALLA DETECTADA POR ESTE METODO	<input type="text"/>
---------------------------------	----------------------

RUMBO PROB.	<input type="text"/>	BUZ. PROB.	<input type="text"/>
LONG. PROB.	<input type="text"/>	TIPO PROB.	<input type="text"/>

- Por el metodo
- Electrico
  - Sismico
  - Gravimetrico

- Profundidad de la estructura
- Edad mat. a los que afecta

**GEOTERMISMO/VOLCANISMO ASOCIADO**

Volcanismo	Quimismo o clase_____	Geotermismo	Manantiales	<input type="text"/>	Temperatura	<input type="text"/>
	Edad absoluta_____		Sondeo	<input type="text"/>	Profundidad	<input type="text"/>

**SISMICIDAD ASOCIADA**

HISTORICA

Nº SISMOS \_\_\_\_\_

INTENS. MAX. \_\_\_\_\_

ISOSISTAS \_\_\_\_\_

Relación con la estructura:

INSTRUMENTAL

Nº SISMOS \_\_\_\_\_ MAGNITUDES MAX. \_\_\_\_\_

PROFUNDIDADES MEDIAS \_\_\_\_\_ REPLICAS \_\_\_\_\_

RUMBO DE LAS MISMAS \_\_\_\_\_

ERROR EPICENTRO \_\_\_\_\_ ERROR PROF. \_\_\_\_\_

CORRELACION B

P

M

CORRELACION CON LA FALLA B

B (Buena)

P (Probable)

M (Mala)

CLASE DE ACTIVIDAD

APECTA AL CUATERNARIO

APECTA A LA MORFOLOGIA

ASOCIADA A SISMICIDAD

GEOTERMISMO

	SI	NO	?	CLASIFICACION		
				SEGUN	TABLA	I
APECTA AL CUATERNARIO		X		<div style="border: 1px solid black; padding: 5px; display: inline-block;">                     A-IV                 </div>		
APECTA A LA MORFOLOGIA			X			
ASOCIADA A SISMICIDAD		X				
GEOTERMISMO		X				

**FICHA DE FALLA**

Nº 82 DENOMINACION \_\_\_\_\_ SITUACION \_\_\_\_\_  
 SISTEMA PREBETICO ZONA PREBETICA  
 FALLA Moratallo - Muñtas DOMINIO INTERNO  
 SECTOR \_\_\_\_\_ CUENCA \_\_\_\_\_  
 Fecha: \_\_\_\_\_ Autor: L. M. Berrojo

Para las fallas bien visibles en superficie:

GEOMETRIA

LONGITUD  
RUMBO  
BUZAMIENTO

ANALISIS TECTO/NEO/EVOLUTIVO

Sobre la misma estructura       En estructuras menores asociadas

EDAD DE LOS MATERIALES AFECTADOS	TIPIFICACION				REGIMEN TECTONICO		ESFUERZOS	SALTOS	
	NORMAL	DESGARRE		INVERSA	COMPRESION	DISTENSION	DIRECCION DE $\sigma_1$ O $\sigma_3$ EN LA HORIZONTAL	EN	EN
		MIXTA	L					D	MIXTA
PRE-TORT.									
TORT-INF.									
TORT-SUP.									
MESSIN.									
PLIO-CENO									
PLIO-CUAT.									
CUATERNARIO									

ASPECTO Y NATURALEZA DE LOS MAT. AFECTADOS

EL RELLENO

-Relación con las estructuras mayores o con otras fallas importantes:

Analisis realizado por:

Para todas las fallas

TECTO-SEDIMENTACION

FALLA DETECTADA POR ESTE METODO	SI	<input type="checkbox"/>
	NO	<input type="checkbox"/>

RUMBO PROB.	<input type="checkbox"/>	BUZ. PROB.	<input type="checkbox"/>
LONG. PROB.	<input type="checkbox"/>	TIPO PROB.	<input type="checkbox"/>

Breve descripción de la influencia en las características de la sedimentación y edad de los materiales

GEOMORFOLOGIA

FALLA DETECTADA POR ESTE METODO	<input type="checkbox"/>
SE OBSERVA COMO LINEAMIENTO?	<input type="checkbox"/>

RUMBO PROB.	<input type="checkbox"/>	BUZ. PROB.	<input type="checkbox"/>
LONG. PROB.	<input type="checkbox"/>	TIPO PROB.	<input type="checkbox"/>

ANOMALIAS GEOMORFOLOGICAS LIGADAS Y/O PROB. LIGADAS

EN EL RELIEVE O LADERAS

Escarpe de fallas	<input type="checkbox"/>
Caras afacetadas	<input type="checkbox"/>
Basculamientos	<input type="checkbox"/>
Encajamientos	<input type="checkbox"/>
Solapes	<input type="checkbox"/>

EN LA RED HIDROG.

Valles colgados	<input type="checkbox"/>
Capturas	<input type="checkbox"/>
Encajamientos	<input type="checkbox"/>
Inflexiones	<input type="checkbox"/>
Difluencias	<input type="checkbox"/>
Cambios bruscos en el perfil	<input type="checkbox"/>

OTROS

GEOFISICA

FALLA DETECTADA POR ESTE METODO	X
---------------------------------	---

RUMBO PROB.	NE	BUZ. PROB.	55°N
LONG. PROB.	11 Km	TIPO PROB.	normal

Por el metodo	Electrico	<input checked="" type="checkbox"/>
	Sismico	<input checked="" type="checkbox"/>
	Gravimetrico	<input type="checkbox"/>

Profundidad de la estructura

4 km.
Edad mat. a los que afecta
1000. m/-medios

Edad mat. a los que afecta

**GEOTERMISMO/VOLCANISMO ASOCIADO**

Volcanismo	Quimismo o clase _____	Geotermismo	Manantiales	<input type="text"/>	Temperatura	<input type="text"/>
	Edad absoluta _____		Sondeo	<input type="text"/>	Profundidad	<input type="text"/>

**SISMICIDAD ASOCIADA**

HISTORICA

Nº SISMOS \_\_\_\_\_

INTENS. MAX. \_\_\_\_\_

ISOSISTAS \_\_\_\_\_

Relación con la estructura:

CORRELACION

B

P

M

INSTRUMENTAL

Nº SISMOS \_\_\_\_\_ MAGNITUDES MAX. \_\_\_\_\_

PROFUNDIDADES MEDIAS \_\_\_\_\_ REPLICAS \_\_\_\_\_

RUMBO DE LAS MISMAS \_\_\_\_\_

ERROR EPICENTRO \_\_\_\_\_ ERROR PROF. \_\_\_\_\_

CORRELACION CON LA FALLA

B

P

M

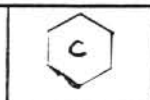
B (Buena)  
P (Probable)  
M (Mala)

CLASE DE ACTIVIDAD

- APECTA AL CUATERNARIO
- APECTA A LA MORFOLOGIA
- ASOCIADA A SISMICIDAD
- GEOTERMISMO

	SI	NO	?
APECTA AL CUATERNARIO		X	
APECTA A LA MORFOLOGIA		X	
ASOCIADA A SISMICIDAD		X	
GEOTERMISMO		X	

CLASIFICACION  
SEGUN TABLA I



**FICHA DE FALLA**

Nº83 DENOMINACION SITUACION  
 SISTEMA CARRASCOY ZONA BETICA  
 FALLA Oeste Carrascoy DOMINIO \_\_\_\_\_  
 SECTOR \_\_\_\_\_ CUENCA GUADALENTIN-FUENTE ALAMO  
 Fecha: 16-10-90 Autor: L.M. BARRERO

Para las fallas bien visibles en superficie:

GEOMETRIA

LONGITUD  
RUMBO  
BUZAMIENTO

ANALISIS TECTO/NEO/EVOLUTIVO

Sobre la misma estructura       En estructuras menores asociadas

EDAD DE LOS MATERIALES AFECTADOS	TIPIFICACION				REGIMEN TECTONICO		ESFUERZOS	SALTOS	
	NORMAL	DESGARRE		INVERSA	COMPRESION	DISTENSION	DIRECCION DE $\sigma_1$ O $\sigma_3$ EN LA HORIZONTAL	EN	EN
		MIXTA	L					D	MIXTA
PRE-TORT.									
TORT-INF.									
TORT-SUP.									
MESSIN.									
PLIOCENO									
PLIO-CUAT.									
CUATERNARIO									

ASPECTO Y NATURALEZA DE LOS MAT. AFECTADOS

EL RELLENO

-Relación con las estructuras mayores o con otras fallas importantes:

Analisis realizado por:

Para todas las fallas

TECTO-SEDIMENTACION

FALLA DETECTADA POR ESTE METODO	SI
	NO

RUMBO PROB.		BUZ. PROB.	
LONG. PROB.		TIPO PROB.	

Breve descripción de la influencia en las características de la sedimentación y edad de los materiales  
*Sondeos mecánicos muestran una gran diferencia de espesor del Plió-cuaternario a ambos lados de la falla.*

GEOMORFOLOGIA

FALLA DETECTADA POR ESTE METODO	.
SE OBSERVA COMO LINEAMIENTO?	X

RUMBO PROB.		BUZ. PROB.	
LONG. PROB.		TIPO PROB.	

ANOMALIAS GEOMORFOLOGICAS LIGADAS Y/O PROB. LIGADAS

EN EL RELIEVE O LADERAS

Escarpe de fallas	<input type="checkbox"/>
Caras afacetadas	<input type="checkbox"/>
Basculamientos	<input type="checkbox"/>
Encajamientos	<input type="checkbox"/>
Solapes	<input type="checkbox"/>

EN LA RED HIDROG.

Valles colgados	<input type="checkbox"/>
Capturas	<input type="checkbox"/>
Encajamientos	<input type="checkbox"/>
Inflexiones	<input type="checkbox"/>
Difluencias	<input type="checkbox"/>
Cambios bruscos en el perfil	<input type="checkbox"/>

OTROS

GEOFISICA

FALLA DETECTADA POR ESTE METODO	X
---------------------------------	---

RUMBO PROB.	160°E	BUZ. PROB.	W
LONG. PROB.	5 km	TIPO PROB.	normal

Por el metodo	Electrico - sondeos	<input checked="" type="checkbox"/>
	Sismico	<input type="checkbox"/>
	Gravimetrico	<input checked="" type="checkbox"/>

Profundidad de la estructura	200 m
Edad mat. a los que afecta	Mioc. Sup. Plioc. y Q.?

**GEOTERMISMO/VOLCANISMO ASOCIADO**

Volcanismo	Quimismo o clase _____	Geotermismo	Manantiales	<input type="checkbox"/>	Temperatura	27-42°
	Edad absoluta _____		Sondeo	<input checked="" type="checkbox"/>	Profundidad	

**SISMICIDAD ASOCIADA**

HISTORICA

No SISMOS \_\_\_\_\_ CORRELACION B   
 INTENS. MAX. \_\_\_\_\_ P   
 ISOSISTAS \_\_\_\_\_ M   
 Relación con la estructura:

INSTRUMENTAL

No SISMOS \_\_\_\_\_ MAGNITUDES MAX. \_\_\_\_\_  
 PROFUNDIDADES MEDIAS \_\_\_\_\_ REPLICAS \_\_\_\_\_  
 RUMBO DE LAS MISMAS \_\_\_\_\_  
 ERROR EPICENTRO \_\_\_\_\_ ERROR PROF. \_\_\_\_\_

CORRELACION CON LA FALLA B

B (Buena)  
 P (Probable)  
 M (Mala)

CLASE DE ACTIVIDAD

AFECTA AL CUATERNARIO  
 AFECTA A LA MORFOLOGIA  
 ASOCIADA A SISMICIDAD  
 GEOTERMISMO

SI	NO	?	CLASIFICACION SEGUN TABLA I
		x	<div style="border: 1px solid black; padding: 5px; display: inline-block;">           b-2         </div>
		x	
		x	
x			



**FICHA DE FALLA**

Nº 84 DENOMINACION SITUACION  
 SISTEMA PREBETICO ZONA PREBETICA  
 FALLA Del Moro - La Puerta DOMINIO MERIDIONAL  
 SECTOR La Plera CUENCA \_\_\_\_\_  
 Fecha: \_\_\_\_\_ Autor: L.M. Barrauco

Para las fallas bien visibles en superficie:

**GEOMETRIA**

LONGITUD > 15 Km.  
 RUMBO N 50° E  
 BUZAMIENTO 85° N

**ANALISIS TECTO/NEO/EVOLUTIVO**

Sobre la misma estructura       En estructuras menores asociadas

EDAD DE LOS MATERIALES AFECTADOS	TIPIFICACION				REGIMEN TECTONICO		ESFUERZOS	SALTOS	
	NORMAL	DESGARRE		INVERSA	COMPRESION	DISTENSION	DIRECCION DE $\sigma_1$ O $\sigma_3$ EN LA HORIZONTAL	EN	EN
	MIXTA	L	D	MIXTA				HORIZ.	VERT
PRE-TORT.	x						$\sigma_1 \sim N130^{\circ}E$		
TORT-IMP.									
TORT-SUP.									
MESSIN.									
PLIOCENO							$\sigma_3 \sim N130^{\circ}E$ ?		
PLIO-CUAT.									
CUATERNARIO									

**ASPECTO Y NATURALEZA DE LOS MAT. AFECTADOS**

*Afecta al Plioceno inferior y medio*

**EL RELLENO**

-Relación con las estructuras mayores o con otras fallas importantes:

Analisis realizado por:

*idem*

Para todas las fallas

TECTO-SEDIMENTACION

FALLA DETECTADA POR ESTE METODO	SI	RUMBO PROB.	BUZ. PROB.
	NO	LONG. PROB.	TIPO PROB.

Breve descripción de la influencia en las características de la sedimentación y edad de los materiales

GEOMORFOLOGIA

FALLA DETECTADA POR ESTE METODO		RUMBO PROB.	50°E	BUZ. PROB.	
SE OBSERVA COMO LINEAMIENTO?	X	LONG. PROB.	15 km	TIPO PROB.	

ANOMALIAS GEOMORFOLOGICAS LIGADAS Y/O PROB. LIGADAS

EN EL RELIEVE O LADERAS

- Escarpe de fallas
- Caras afacetadas
- Basculamientos
- Encajamientos
- Solapes

EN LA RED HIDROG.

- Valles colgados
- Capturas
- Encajamientos
- Inflexiones
- Difluencias
- Cambios bruscos en el perfil

OTROS

GEOFISICA

FALLA DETECTADA POR ESTE METODO	X	RUMBO PROB.	50°E	BUZ. PROB.	85°N ?
		LONG. PROB.	15 km	TIPO PROB.	normal

Por el metodo	Electrico	<input checked="" type="checkbox"/>
	Sismico	<input checked="" type="checkbox"/>
	Gravimetrico	<input type="checkbox"/>

Profundidad de la estructura	5 km.
Edad mat. a los que afecta	Hasta el Mioc. medio

zona de antiguos rebalgamientos reactivada a la actualidad ?

**GEOTERMISMO/VOLCANISMO ASOCIADO**

Volcanismo	Quimismo o clase.....	Geotermismo	Manantiales	<input type="text"/>	Temperatura	<input type="text"/>
	Edad absoluta.....		Sondeo	<input type="text"/>	Profundidad	<input type="text"/>

**SISMICIDAD ASOCIADA**

HISTORICA

Nº SISMOS 5 CORRELACION B

INTENS. MAX. 8 P

BOSSISTAS 5 M

Relación con la estructura:

26-10-1941 - Si  
 24-11-1941 - Si  
 23-06-1948 - Duda

INSTRUMENTAL

NOSISMOS 1(2) MAGNITUDES MAX. 3.5

PROFUNDIDADES MEDIAS 5 REPLICAS.....

RUMBO DE LAS MISMAS.....

ERROR EPICENTRO 5(29) ERROR PROF. 12(?)

CORRELACION CON LA FALLA B

B (Buena)  
 P (Probable)  
 M (Mala)

CLASE DE ACTIVIDAD

APECTA AL CUATERNARIO

APECTA A LA MORFOLOGIA

ASOCIADA A SISMICIDAD

GEOTERMISMO

SI	NO	?	CLASIFICACION SEGUN TABLA I
		x	<b>B-1</b>
		x	
x			
	x		

**FICHA DE FALLA**

Nº85 DENOMINACION SISTEMA SUBBETICO SITUACION ZONA SUBBETICA  
 FALLA MUNDERAS DOMINIO EXTERNO  
 SECTOR MUNDERAS CUENCA TAMBOYAS  
 Fecha: Autor: L. H. Barrauco

Para las fallas bien visibles en superficie:

**GEOMETRIA**

LONGITUD  
 RUMBO N20°E  
 BUZAMIENTO 75°S

**ANALISIS TECTO/NEO/EVOLUTIVO**

Sobre la misma estructura       En estructuras menores asociadas

EDAD DE LOS MATERIALES AFECTADOS	TIPIFICACION				REGIMEN TECTONICO		ESFUERZOS	SALTOS	
	NORMAL	DESGARRE		INVERSA	COMPRESION	DISTENSION	DIRECCION DE $\sigma_1$ , $\sigma_2$ , $\sigma_3$ EN LA HORIZONTAL	EN	EN
		MIXTA	L					D	MIXTA
PRE-TORT.									
TORT-IMP.									
TORT-SUP.									
MESSIN.									
PLIOCENO									
PLIO-CUAT.									
CUATERNARIO	x					x	$\sigma_3 \sim N110E$		

**ASPECTO Y NATURALEZA DE LOS MAT. AFECTADOS**

Conglomerados calizas en contacto con arcilla roja con intercalaciones de arenisca y conglomerado.

**EL RELLENO**

Zona de falla.

-Relación con las estructuras mayores o con otras fallas importantes:

corresponde a una familia de fallas noroeste que conforman zona principal de deformación de dirección ENE

Analisis realizado por:

L. M. Barrauco  
y T. Rodriguez Estrella.

Para todas las fallas

TECTO-SEDIMENTACION

FALLA DETECTADA POR ESTE METODO	SI		RUMBO PROB.		BUZ. PROB.	
	NO		LONG. PROB.		TIPO PROB.	

Breve descripción de la influencia en las características de la sedimentación y edad de los materiales

GEOMORFOLOGIA

FALLA DETECTADA POR ESTE METODO	X	RUMBO PROB.		BUZ. PROB.	
SE OBSERVA COMO LINEAMIENTO?	X	LONG. PROB.		TIPO PROB.	

ANOMALIAS GEOMORFOLOGICAS LIGADAS Y/O PROB. LIGADAS

EN EL RELIEVE O LADERAS		EN LA RED HIDROG.		OTROS
Escarpe de fallas	<input type="checkbox"/>	Valles colgados	<input type="checkbox"/>	
Caras afacetadas	<input type="checkbox"/>	Capturas	<input type="checkbox"/>	
Basculamientos	<input checked="" type="checkbox"/>	Encajamientos	<input type="checkbox"/>	
Encajamientos	<input type="checkbox"/>	Inflexiones	<input type="checkbox"/>	
Solapes	<input type="checkbox"/>	Difluencias	<input type="checkbox"/>	
		Cambios bruscos en el perfil	<input type="checkbox"/>	

GEOFISICA

FALLA DETECTADA POR ESTE METODO		RUMBO PROB.		BUZ. PROB.	
		LONG. PROB.		TIPO PROB.	

Por el metodo	Electrico	<input type="checkbox"/>
	Sismico	<input type="checkbox"/>
	Gravimetrico	<input type="checkbox"/>

Profundidad de la estructura	<input type="text"/>
Edad mat. a los que afecta	<input type="text"/>

GEOTERMISMO/VOLCANISMO ASOCIADO

Volcanismo	Quimismo o clase _____	Geotermismo	Manantiales	<input type="text"/>	Temperatura	<input type="text"/>
	Edad absoluta _____		Sondeo	<input type="text"/>	Profundidad	<input type="text"/>

SISMICIDAD ASOCIADA

HISTORICA

Nº SISMOS \_\_\_\_\_

INTENS. MAX. \_\_\_\_\_

ISOSISTAS \_\_\_\_\_

Relación con la estructura:

INSTRUMENTAL

Nº SISMOS 1 MAGNITUDES MAX. 4.1

PROFUNDIDADES MEDIAS 2 km REPLICAS \_\_\_\_\_

RUMBO DE LAS MISMAS \_\_\_\_\_

ERROR EPICENTRO \_\_\_\_\_ ERROR PROF. \_\_\_\_\_

CORRELACION B

P

M

CORRELACION CON LA FALLA B

B (Buena)

P (Probable)

M (Mala)

P

M

CLASE DE ACTIVIDAD

- APECTA AL CUATERNARIO
- APECTA A LA MORFOLOGIA
- ASOCIADA A SISMICIDAD
- GEOTERMISMO

	SI	NO	?	CLASIFICACION SEGUN TABLA I
APECTA AL CUATERNARIO	x			<div style="border: 1px solid black; padding: 5px; display: inline-block;">                     a-III                 </div>
APECTA A LA MORFOLOGIA	x			
ASOCIADA A SISMICIDAD			y	
GEOTERMISMO		x		

**FICHA DE FALLA**

Nº86 DENOMINACION SITUACION  
 SISTEMA PREBETICO ZONA PREBETICO  
 FALLA Muytas DOMINIO INTERNO  
 SECTOR \_\_\_\_\_ CUENCA Moyaballa  
 Fecha: 16-10-90 Autor: L.M. Barrauco

Para las fallas bien visibles en superficie:

**GEOMETRIA**

LONGITUD 2.2 km  
 RUMBO 80°E  
 BUZAMIENTO 50°

**ANALISIS TECTO/NEO/EVOLUTIVO**

Sobre la misma estructura       En estructuras menores asociadas

EDAD DE LOS MATERIALES AFECTADOS	TIPIFICACION				REGIMEN TECTONICO		ESFUERZOS	SALTOS	
	NORMAL	DESGARRE		INVERSA	COMPRESION	DISTENSION	DIRECCION DE $\sigma_1$ , $0$ $\sigma_2$ EN LA HORIZONTAL	EN	EN
	MIXTA	L	D	MIXTA				HORIZ.	VERT
PRE-TORT.									
TORT-IMP.									
TORT-SUP.									
MESSIN.									
PLIOCENO									
PLIO-CUAT.									
CUATERNARIO									

ASPECTO Y NATURALEZA DE LOS MAT. AFECTADOS

*Margen, caliza y areniscas del Mioceno medio*

EL RELLENO

-Relación con las estructuras mayores o con otras fallas importantes:

*Afectada por el desgarre dorsal de Socaves*

Analisis realizado por:

Para todas las fallas

TECTO-SEDIMENTACION

FALLA DETECTADA POR ESTE METODO	SI	
	NO	

RUMBO PROB.		BUZ. PROB.	
LONG. PROB.		TIPO PROB.	

Breve descripción de la influencia en las características de la sedimentación y edad de los materiales

GEOMORFOLOGIA

FALLA DETECTADA POR ESTE METODO	
SE OBSERVA COMO LINEAMIENTO?	

RUMBO PROB.		BUZ. PROB.	
LONG. PROB.		TIPO PROB.	

ANOMALIAS GEOMORFOLOGICAS LIGADAS Y/O PROB. LIGADAS

EN EL RELIEVE O LADERAS

Escarpe de fallas	
Caras afacetadas	
Basculamientos	
Encajamientos	
Solapes	

EN LA RED HIDROG.

Valles colgados	
Capturas	
Encajamientos	
Inflexiones	
Difluencias	
Cambios bruscos en el perfil	

OTROS

GEOFISICA

FALLA DETECTADA POR ESTE METODO	X
---------------------------------	---

RUMBO PROB.	75°E	BUZ. PROB.	61. S. hond.
LONG. PROB.	16 km.	TIPO PROB.	?

Por el metodo	Electrico	X
	Sismico	X
	Gravimetrico	

Profundidad de la estructura	4 km.
Edad mat. a los que afecta	Mioc. medio.



GEOTERMISMO/VOLCANISMO ASOCIADO

Volcanismo	Quimismo o clase	Geotermismo	Manantiales	<input type="text"/>	Temperatura	<input type="text"/>
	Edad absoluta		Sondeo	<input type="text"/>	Profundidad	<input type="text"/>

SISMICIDAD ASOCIADA

HISTORICA

Nº SISMOS \_\_\_\_\_ CORRELACION B   
 INTENS. MAX. \_\_\_\_\_ P   
 ISOSISTAS \_\_\_\_\_ M   
 Relación con la estructura:

INSTRUMENTAL


Nº SISMOS \_\_\_\_\_ MAGNITUDES MAX. \_\_\_\_\_  
 PROFUNDIDADES MEDIAS \_\_\_\_\_ REPLICAS \_\_\_\_\_  
 RUMBO DE LAS MISMAS \_\_\_\_\_  
 ERROR EPICENTRO \_\_\_\_\_ ERROR PROF. \_\_\_\_\_

CORRELACION CON LA FALLA B

B (Buena)  
 P (Probable)  
 M (Mala)

CLASE DE ACTIVIDAD

- APECTA AL CUATERNARIO
- APECTA A LA MORFOLOGIA
- ASOCIADA A SISMICIDAD
- GEOTERMISMO

	SI	NO	?	CLASIFICACION SEGUN TABLA I
APECTA AL CUATERNARIO			X	
APECTA A LA MORFOLOGIA	X			
ASOCIADA A SISMICIDAD		X		
GEOTERMISMO		X		

**FICHA DE FALLA**

Nº 87 DENOMINACION SITUACION  
 SISTEMA GUADALENTIN ZONA BETICA  
 FALLA COSA PALACIO DOMINIO \_\_\_\_\_  
 SECTOR SIN de LAYCA CUENCA GUADALENTIN  
 Fecha: \_\_\_\_\_ Autor: L.M. BARRONCO

Para las fallas bien visibles en superficie:

GEOMETRIA

LONGITUD  
RUMBO  
BUZAMIENTO

ANALISIS TECTO/NEO/EVOLUTIVO

Sobre la misma estructura       En estructuras menores asociadas

EDAD DE LOS MATERIALES AFFECTADOS	TIPIFICACION				REGIMEN TECTONICO		ESFUERZOS	SALTOS	
	NORMAL	DESGARRE		INVERSA	COMPRESION	DISTENSION	DIRECCION DE $\sigma_1$ , $0$ $\sigma_2$ EN LA HORIZONTAL	EN HORIZ.	EN VERT.
	MIXTA	L	D	MIXTA					
PRE-TORT.									
TORT-INF.									
TORT-SUP.									
MESSIN.									
PLIOCENO									
PLIO-CUAT.									
CUATERNARIO									

ASPECTO Y NATURALEZA DE LOS MAT. AFFECTADOS

EL RELLENO

-Relación con las estructuras mayores o con otras fallas importantes:

Analisis realizado por:

Para todas las fallas

TECTO-SEDIMENTACION

FALLA DETECTADA POR ESTE METODO	SI	
	NO	

RUMBO PROB.		BUZ. PROB.	
LONG. PROB.		TIPO PROB.	

Breve descripción de la influencia en las características de la sedimentación y edad de los materiales

GEOMORFOLOGIA

FALLA DETECTADA POR ESTE METODO	
SE OBSERVA COMO LINEAMIENTO?	

RUMBO PROB.		BUZ. PROB.	
LONG. PROB.		TIPO PROB.	

ANOMALIAS GEOMORFOLOGICAS LIGADAS Y/O PROB. LIGADAS

EN EL RELIEVE O LADERAS

Escarpe de fallas	<input type="checkbox"/>
Caras afacetadas	<input type="checkbox"/>
Basculamientos	<input type="checkbox"/>
Encajamientos	<input type="checkbox"/>
Solapes	<input type="checkbox"/>

EN LA RED HIDROG.

Valles colgados	<input type="checkbox"/>
Capturas	<input type="checkbox"/>
Encajamientos	<input type="checkbox"/>
Inflexiones	<input type="checkbox"/>
Difluencias	<input type="checkbox"/>
Cambios bruscos en el perfil	<input type="checkbox"/>

OTROS

GEOFISICA

FALLA DETECTADA POR ESTE METODO	SI
---------------------------------	----

RUMBO PROB.	WNW	BUZ. PROB.	
LONG. PROB.	10 Km.	TIPO PROB.	normal - dextrales

Por el metodo	Electrico	<input checked="" type="checkbox"/>
	Sismico	<input type="checkbox"/>
	Gravimetrico	<input type="checkbox"/>

Profundidad de la estructura	~ 600 m
Edad mat. a los que afecta	Pliocenarvonic

GEOTERMISMO/VOLCANISMO ASOCIADO

Volcanismo	Quimismo o clase	Geotermismo	Manantiales	<input type="checkbox"/>	Temperatura	<input type="checkbox"/>
	Edad absoluta		Sondeo	<input type="checkbox"/>	Profundidad	<input type="checkbox"/>

SISMICIDAD ASOCIADA

HISTORICA

NO SISMOS \_\_\_\_\_  
 INTENS. MAY. \_\_\_\_\_  
 ISOSISTAS \_\_\_\_\_  
 Relación con la estructura:

INSTRUMENTAL

CORRELACION B P M	NO SISMOS	1	MAGNITUDES MAX.	4.3
	PROFUNDIDADES MEDIAS	7	REPLICAS	
	RUMBO DE LAS MISMAS			
	ERROR EPICENTRO	9	ERROR PROF.	9

CORRELACION CON LA FALLA B

B	<input type="checkbox"/>	B (Buena)
P	<input checked="" type="checkbox"/>	P (Probable)
M	<input type="checkbox"/>	M (Mala)

CLASE DE ACTIVIDAD

- APECTA AL CUATERNARIO
- APECTA A LA MORFOLOGIA
- ASOCIADA A SISMICIDAD
- GEOTERMISMO

SI	NO	?	CLASIFICACION SEGUN TABLA I
		X	[A-III]
	X		
		X	
	X		

**FICHA DE FALLA**

Nº 88 DENOMINACION SITUACION  
 SISTEMA GUADALENTIN ZONA BETICA  
 FALLA Cortal Rubio DOMINIO \_\_\_\_\_  
 SECTOR Tatua-Lorca CUENCA GUADALENTIN  
 Fecha: Autor: L.H. Barroco

Para las fallas bien visibles en superficie:

GEOMETRIA

LONGITUD  
RUMBO  
BOZAMIENTO

ANALISIS TECTO/NEO/EVOLUTIVO

Sobre la misma estructura       En estructuras menores asociadas

EDAD DE LOS MATERIALES AFECTADOS	TIPIFICACION				REGIMEN TECTONICO		ESFUERZOS	SALTOS	
	NORMAL	DESGARRE		INVERSA	COMPRESION	DISTENSION	DIRECCION DE $\sigma_1$ $\sigma_2$ $\sigma_3$ EN LA HORIZONTAL	EN	EN
		MIXTA	L					D	MIXTA
PRE-TORT.									
TORT-INF.									
TORT-SUP.									
MESSIN.									
PLIOCENO									
PLIO-CUAT.									
CUATERNARIO									

ASPECTO Y NATURALEZA DE LOS MAT. AFECTADOS

EL RELLENO

-Relación con las estructuras mayores o con otras fallas importantes:

Analisis realizado por:

Para todas las fallas

TECTO-SEDIMENTACION

FALLA DETECTADA POR ESTE METODO	SI	
	NO	

RUMBO PROB.		BUZ. PROB.	
LONG. PROB.		TIPO PROB.	

Breve descripción de la influencia en las características de la sedimentación y edad de los materiales

GEOMORFOLOGIA

FALLA DETECTADA POR ESTE METODO	
SE OBSERVA COMO LINEAMIENTO?	

RUMBO PROB.		BUZ. PROB.	
LONG. PROB.		TIPO PROB.	

ANOMALIAS GEOMORFOLOGICAS LIGADAS Y/O PROB. LIGADAS

EN EL RELIEVE O LADERAS

Escarpe de fallas	
Caras afacetadas	
Basculamientos	
Encajamientos	
Solapes	

EN LA RED HIDROG.

Valles colgados	
Capturas	
Encajamientos	
Inflexiones	
Difluencias	
Cambios bruscos en el perfil	

OTROS


GEOFISICA

FALLA DETECTADA POR ESTE METODO	SI
---------------------------------	----

RUMBO PROB.	NNE	BUZ. PROB.	W
LONG. PROB.	7 km.	TIPO PROB.	normal

Por el metodo	Electrico	X
	Sismico	
	Gravimetrico	

Profundidad de la estructura	2 km.
Edad mat. a los que afecta	mioc y pleistoceno

**GEOTERMISMO/VOLCANISMO ASOCIADO**

Volcanismo	Quimismo o clase _____	Geotermismo	Manantiales	<input type="text"/>	Temperatura	<input type="text"/>
	Edad absoluta _____		Sondeo	<input type="text"/>	Profundidad	<input type="text"/>

**SISMICIDAD ASOCIADA**

HISTORICA

Nº SISMOS \_\_\_\_\_

INTENS. MAX. \_\_\_\_\_

ISOSISTAS \_\_\_\_\_

Relación con la estructura:

INSTRUMENTAL

CORRELACION B P M	Nº SISMOS <u>5</u>	MAGNITUDES MAX. <u>3.2</u>
	PROFUNDIDADES MEDIAS <u>5 km</u>	REPLICAS _____
	RUMBO DE LAS MISMAS _____	
	ERROR EPICENTRO <u>1-7 km</u>	ERROR PROF. <u>1-6 km</u>

CORRELACION CON LA FALLA B

<input checked="" type="checkbox"/>
<input type="checkbox"/>
<input type="checkbox"/>

B (Buena)  
P (Probable)  
M (Mala)


CLASE DE ACTIVIDAD

AFECTA AL CUATERNARIO

AFECTA A LA MORFOLOGIA

ASOCIADA A SISMICIDAD

GEOTERMISMO

SI	NO	?	CLASIFICACION SEGUN TABLA I
		X	
	X		
X			
		X	

**FICHA DE FALLA**

Nº 89 DENOMINACION SITUACION  
 SISTEMA GUADALENTIN ZONA BETICA  
 FALLA Venta de la Ribja DOMINIO \_\_\_\_\_  
 SECTOR Tobago - Lorca CUENCA GUADALENTIN  
 Fecha: Autor: L.H. BARRERO

Para las fallas bien visibles en superficie:

GEOMETRIA

LONGITUD  
 RUMBO  
 BUZAMIENTO

ANALISIS TECTO/NEO/EVOLUTIVO

Sobre la misma estructura       En estructuras menores asociadas

EDAD DE LOS MATERIALES AFECTADOS	TIPIFICACION				REGIMEN TECTONICO		ESFUERZOS	SALTOS	
	NORMAL	DESGARRE		INVERSA	COMPRESION	DISTENSION	DIRECCION DE $\sigma_1$ 0 $\sigma_3$ EN LA HORIZONTAL	EN	EN
	MIXTA	L	D	MIXTA				HORIZ.	VERT
PRE-TORT.									
TORT-INF.									
TORT-SUP.									
MESSIN.									
PLIOCENO									
PLIO-CUAT.									
CUATERNARIO									

ASPECTO Y NATURALEZA DE LOS MAT. AFECTADOS

EL RELLENO

-Relación con las estructuras mayores o con otras fallas importantes:

Analisis realizado por:



Para todas las fallas

TECTO-SEDIMENTACION

FALLA DETECTADA POR ESTE METODO	SI	RUMBO PROB.	BUZ. PROB.
	NO	LONG. PROB.	TIPO PROB.

Breve descripción de la influencia en las características de la sedimentación y edad de los materiales

GEOMORFOLOGIA

FALLA DETECTADA POR ESTE METODO	RUMBO PROB.	BUZ. PROB.
SE OBSERVA COMO LINEAMIENTO?	LONG. PROB.	TIPO PROB.

ANOMALIAS GEOMORFOLOGICAS LIGADAS Y/O PROB. LIGADAS

EN EL RELIEVE O LADERAS

Escarpe de fallas	<input type="checkbox"/>
Caras afacetadas	<input type="checkbox"/>
Basculamientos	<input type="checkbox"/>
Encajamientos	<input type="checkbox"/>
Solapes	<input type="checkbox"/>

EN LA RED HIDROG.

Valles colgados	<input type="checkbox"/>
Capturas	<input type="checkbox"/>
Encajamientos	<input type="checkbox"/>
Inflexiones	<input type="checkbox"/>
Difluencias	<input type="checkbox"/>
Cambios bruscos en el perfil	<input type="checkbox"/>

OTROS

GEOFISICA

FALLA DETECTADA POR ESTE METODO	×	RUMBO PROB.	NW	BUZ. PROB.	NE
		LONG. PROB.	6 Km.	TIPO PROB.	Normal

Por el metodo	Electrico	×
	Sismico	<input type="checkbox"/>
	Gravimetrico	<input type="checkbox"/>

Profundidad de la estructura	300 m.
Edad mat. a los que afecta	Pliocenozoico

GEOTERMISMO/VOLCANISMO ASOCIADO

Volcanismo	Quimismo o clase _____ Edad absoluta _____	Geotermismo	Manantiales <input type="checkbox"/> Sondeo <input type="checkbox"/>	Temperatura <input type="text"/> Profundidad <input type="text"/>
------------	---	-------------	---	--

SISMICIDAD ASOCIADA

HISTORICA

Nº SISMOS \_\_\_\_\_  
 INTENS. MAX. \_\_\_\_\_  
 ISOSISTAS \_\_\_\_\_  
 Relación con la estructura:

INSTRUMENTAL

CORRELACION B	B	Nº SISMOS <u>5</u>	MAGNITUDES MAX. <u>3.2</u>
P	P	PROFUNDIDADES MEDIAS <u>5 km</u>	REPLICAS _____
M	M	RUNBO DE LAS MISMAS _____	ERROR EPICENTRO <u>1-7</u>
			ERROR PROF. <u>1-16</u>

CORRELACION CON LA FALLA B

B	X	B (Buena)
P		P (Probable)
M		M (Mala)

CLASE DE ACTIVIDAD

- APECTA AL CUATERNARIO
- APECTA A LA MORFOLOGIA
- ASOCIADA A SISMICIDAD
- GEOTERMISMO

	SI	NO	?	CLASIFICACION SEGUN TABLA I
APECTA AL CUATERNARIO			X	<div style="text-align: center; border: 1px solid black; width: 50px; height: 50px; margin: 0 auto;"> <span style="font-size: 24px; font-weight: bold;">A-II</span> </div>
APECTA A LA MORFOLOGIA		X		
ASOCIADA A SISMICIDAD	X			
GEOTERMISMO		X		

**FICHA DE FALLA**

Nº 90 DENOMINACION SITUACION  
 SISTEMA LOTCA-ALHAMA ZONA BETICA  
 FALLA Las Fioles DOMINIO \_\_\_\_\_  
 SECTOR Alhama-Totana CUENCA GUADALENTIN  
 Fecha: Autor: L. H. Barbaico

Para las fallas bien visibles en superficie:

GEOMETRIA

LONGITUD 2 km  
 RUMBO NE  
 BUZAMIENTO

ANALISIS TECTO/NEO/EVOLUTIVO

Sobre la misma estructura       En estructuras menores asociadas

EDAD DE LOS MATERIALES AFECTADOS	TIPIFICACION				REGIMEN TECTONICO		ESFUERZOS	SALTOS	
	NORMAL MIXTA	DESGARRE L D		INVERSA MIXTA	COMPRESION	DISTENSION	DIRECCION DE $\sigma_1$ O $\sigma_2$ EN LA HORIZONTAL	EN HORIZ.	EN VERT.
PRE-TORT.									
TORT-INF.									
TORT-SUP.									
MESSIN.									
PLIOCENO									
PLIO-CUAT.									
CUATERNARIO									

ASPECTO Y NATURALEZA DE LOS MAT. AFECTADOS

EL RELLENO

-Relación con las estructuras mayores o con otras fallas importantes:

| Analisis realizado por:

Para todas las fallas

TECTO-SEDIMENTACION

FALLA DETECTADA POR ESTE METODO	SI		RUMBO PROB.		BUZ. PROB.	
	NO		LONG. PROB.		TIPO PROB.	

Breve descripción de la influencia en las características de la sedimentación y edad de los materiales

GEOMORFOLOGIA

FALLA DETECTADA POR ESTE METODO		RUMBO PROB.		BUZ. PROB.	
SE OBSERVA COMO LINEAMIENTO?		LONG. PROB.		TIPO PROB.	

ANOMALIAS GEOMORFOLOGICAS LIGADAS Y/O PROB. LIGADAS

EN EL RELIEVE O LADERAS

EN LA RED HIDROG.

OTROS

Escarpe de fallas

Valles colgados

Caras afacetadas

Capturas

Basculamientos

Encajamientos

Encajamientos

Inflexiones

Solapes

Difluencias

Cambios bruscos en el perfil

GEOFISICA

FALLA DETECTADA POR ESTE METODO	X
---------------------------------	---

RUMBO PROB.	NE	BUZ. PROB.	70 S.
LONG. PROB.	30 km	TIPO PROB.	normal

Por el metodo	Electrico	X
	Sismico	X
	Gravimetrico	

Profundidad de la estructura

600 m.

Edad mat. a los que afecta

Pliocuaternario

GEOTERMISMO/VOLCANISMO ASOCIADO

Volcanismo	Quimismo o clase _____ Geotermismo	Manantiales <input style="width: 20px; height: 20px;" type="text"/>	Temperatura <input style="width: 40px; height: 20px;" type="text"/>
	Edad absoluta _____	Sondeo <input style="width: 20px; height: 20px;" type="text"/>	Profundidad <input style="width: 40px; height: 20px;" type="text"/>

SISMICIDAD ASOCIADA

HISTORICA

Nº SISMOS \_\_\_\_\_ 2 \_\_\_\_\_

INTENS. MAX. \_\_\_\_\_ V \_\_\_\_\_

ISOSISTAS \_\_\_\_\_

Relación con la estructura:

INSTRUMENTAL

CORRELACION B	<input style="width: 20px; height: 20px;" type="text"/>	Nº SISMOS _____ 3 _____	MAGNITUDES MAX. _____ 2.9 _____
P	<input style="width: 20px; height: 20px;" type="text"/>	PROPUNDADES MEDIAS _____ 5 _____	REPLICAS _____
M	<input style="width: 20px; height: 20px;" type="text"/>	RUMBO DE LAS MISMAS _____	ERROR EPICENTRO _____ 2 _____
			ERROR PROF. _____ 3 _____

CORRELACION CON LA FALLA B

B	X	B (Buena)
P		P (Probable)
M		M (Mala)

CLASE DE ACTIVIDAD

- APECTA AL CUATERNARIO
- APECTA A LA MORFOLOGIA
- ASOCIADA A SISMICIDAD
- GEOTERMISMO

	SI	NO	?	CLASIFICACION SEGUN TABLA I
APECTA AL CUATERNARIO	X			<div style="border: 1px solid black; padding: 2px; display: inline-block;">                     A-III ←                 </div>
APECTA A LA MORFOLOGIA			X	
ASOCIADA A SISMICIDAD	X			
GEOTERMISMO		X		

**FICHA DE FALLA**

Nº 91 DENOMINACION SITUACION  
 SISTEMA GUADALENTIN ZONA BETICA  
 FALLA Las Viñas DOMINIO \_\_\_\_\_  
 SECTOR Alhama CUENCA GUADALENTIN  
 Fecha: \_\_\_\_\_ Autor: L. M. BARRERO

Para las fallas bien visibles en superficie:

GEOMETRIA

LONGITUD  
RUMBO  
BUZAMIENTO

ANALISIS TECTO/NEO/EVOLUTIVO

Sobre la misma estructura       En estructuras menores asociadas

EDAD DE LOS MATERIALES AFECTADOS	TIPIFICACION				REGIMEN TECTONICO		ESFUERZOS	SALTOS	
	NORMAL	DESGARRE		INVERSA	COMPRESION	DISTENSION	DIRECCION DE $\sigma_1$ , $0$ $\sigma_3$ EN LA HORIZONTAL	EN	EN
	MIXTA	L	D	MIXTA				HORIZ.	VERT.
PRE-TORT.									
TORT-INF.									
TORT-SUP.									
MESSIN.									
PLIOCENO									
PLIO-CUAT.									
CUATERNARIO									

ASPECTO Y NATURALEZA DE LOS MAT. AFECTADOS

EL RELLENO

-Relación con las estructuras mayores o con otras fallas importantes:

Analisis realizado por:

Para todas las fallas

TECTO-SEDIMENTACION

FALLA DETECTADA POR ESTE METODO	SI	
	NO	

RUMBO PROB.		BUZ. PROB.	
LONG. PROB.		TIPO PROB.	

Breve descripción de la influencia en las características de la sedimentación y edad de los materiales

GEOMORFOLOGIA

FALLA DETECTADA POR ESTE METODO	
SE OBSERVA COMO LINEAMIENTO?	

RUMBO PROB.		BUZ. PROB.	
LONG. PROB.		TIPO PROB.	

ANOMALIAS GEOMORFOLOGICAS LIGADAS Y/O PROB. LIGADAS

EN EL RELIEVE O LADERAS

EN LA RED HIDROG.

OTROS

Escarpe de fallas	
Caras afacetadas	
Basculamientos	
Encajamientos	
Solapes	

Valles colgados	
Capturas	
Encajamientos	
Inflexiones	
Difluencias	
Cambios bruscos en el perfil	

GEOFISICA

FALLA DETECTADA POR ESTE METODO	SI
---------------------------------	----

RUMBO PROB.	NW	BUZ. PROB.	S
LONG. PROB.		TIPO PROB.	normal

Por el metodo	Electrico	X
	Sismico	
	Gravimetrico	

Profundidad de la estructura	400 m
Edad mat. a los que afecta	Pliocuaternario

**GEOTERMISMO/VOLCANISMO ASOCIADO**

Volcanismo	Quimismo o clase.....	Geotermismo	Manantiales	/	Temperatura	240
	Edad absoluta.....		Sondeo		Profundidad	

**SISMICIDAD ASOCIADA**

HISTORICA

Nº SISMOS 2

INTENS. MAX. ✓

ISOSISTAS.....

Relación con la estructura:

INSTRUMENTAL

CORRELACION B	NO SISMOS.....	MAGNITUDES MAX.....
	PROFUNDIDADES MEDIAS.....	REPLICAS.....
	RUMBO DE LAS MISMAS.....	
	ERROR EPICENTRO.....	ERROR PROF.....
M	<input checked="" type="checkbox"/>	

CORRELACION CON LA FALLA B

B	(Buena)
P	(Probable)
M	(Mala)
M	<input checked="" type="checkbox"/>

CLASE DE ACTIVIDAD

APECTA AL CUATERNARIO

APECTA A LA MORFOLOGIA

ASOCIADA A SISMICIDAD

GEOTERMISMO

SI	NO	?	CLASIFICACION SEGUN TABLA I
		<input checked="" type="checkbox"/>	(A-U)
		<input checked="" type="checkbox"/>	
		<input checked="" type="checkbox"/>	
<input checked="" type="checkbox"/>			



**FICHA DE FALLA**

Nº 92 DENOMINACION SITUACION  
 SISTEMA GUADALENTIN ZONA BETICA  
 FALLA Las Cabilas DOMINIO \_\_\_\_\_  
 SECTOR Alhama CUENCA GUADALENTIN  
 Fecha: Autor: L.M. Bermejo

Para las fallas bien visibles en superficie:

GEOMETRIA

LONGITUD  
 RUMBO  
 BUZAMIENTO

ANALISIS TECTO/NEO/EVOLUTIVO

Sobre la misma estructura       En estructuras menores asociadas

EDAD DE LOS MATERIALES AFECTADOS	TIPIFICACION				REGIMEN TECTONICO		ESFUERZOS	SALTOS	
	NORMAL	DESGARRE		INVERSA	COMPRESION	DISTENSION	DIRECCION DE $\sigma_1$ , $0$ $\sigma_3$ EN LA HORIZONTAL	EN	EN
		MIXTA	L					D	MIXTA
PRE-TORT.									
TORT-INF.									
TORT-SUP.									
MESSIN.									
PLIOCENO									
PLIO-CUAT.									
CUATERNARIO									

ASPECTO Y NATURALEZA DE LOS MAT. AFECTADOS

EL RELLENO

-Relación con las estructuras mayores o con otras fallas importantes:

Analisis realizado por:

Para todas las fallas

TECTO-SEDIMENTACION

FALLA DETECTADA POR ESTE METODO	SI	RUMBO PROB.	BUZ. PROB.
	NO	LONG. PROB.	TIPO PROB.

Breve descripción de la influencia en las características de la sedimentación y edad de los materiales

GEOMORFOLOGIA

FALLA DETECTADA POR ESTE METODO	RUMBO PROB.	BUZ. PROB.
SE OBSERVA COMO LINEAMIENTO?	LONG. PROB.	TIPO PROB.

ANOMALIAS GEOMORFOLOGICAS LIGADAS Y/O PROB. LIGADAS

EN EL RELIEVE O LADERAS

- Escarpe de fallas
- Caras afacetadas
- Basculamientos
- Encajamientos
- Solapes


EN LA RED HIDROG.

- Valles colgados
- Capturas
- Encajamientos
- Inflexiones
- Difluencias
- Cambios bruscos en el perfil


OTROS

GEOFISICA

FALLA DETECTADA POR ESTE METODO	si	RUMBO PROB.	NE	BUZ. PROB.
		LONG. PROB.	15 km	TIPO PROB.

Por el metodo	Electrico	x
	Sismico	
	Gravimetrico	x

Profundidad de la estructura	1 km
Edad mat. a los que afecta	Pliocenozoario

GEOTERMISMO/VOLCANISMO ASOCIADO

Volcanismo	Quimismo o clase _____	Geotermismo	Manantiales		Temperatura	27°
	Edad absoluta _____		Sondeo	X	Profundidad	

SISMICIDAD ASOCIADA

HISTORICA

Nº SISMOS \_\_\_\_\_  
 INTENS. MAX. \_\_\_\_\_  
 ISOSISTAS \_\_\_\_\_  
 Relación con la estructura:

INSTRUMENTAL

Nº SISMOS \_\_\_\_\_ MAGNITUDES MAX. \_\_\_\_\_  
 PROFUNDIDADES MEDIAS \_\_\_\_\_ REPLICAS \_\_\_\_\_  
 RUMBO DE LAS MISMAS \_\_\_\_\_  
 ERROR EPICENTRO \_\_\_\_\_ ERROR PROF. \_\_\_\_\_

CORRELACION B  
 P  
 M

CORRELACION CON LA FALLA B

B  
 P  
 M

B (Buena)  
 P (Probable)  
 M (Mala)

CLASE DE ACTIVIDAD

APECTA AL CUATERNARIO  
 APECTA A LA MORFOLOGIA  
 ASOCIADA A SISMICIDAD  
 GEOTERMISMO

	SI	NO	?
APECTA AL CUATERNARIO			X
APECTA A LA MORFOLOGIA			X
ASOCIADA A SISMICIDAD		X	
GEOTERMISMO	X		

CLASIFICACION  
 SEGUN TABLA I



**FICHA DE FALLA**

Nº 93 DENOMINACION SITUACION  
 SISTEMA GUADALENTIN ZONA BETICA  
 FALLA LIBRILLA-CARRASCOY DOMINIO \_\_\_\_\_  
 SECTOR ARKAME CUENCA GUADALENTIN  
 Fecha: \_\_\_\_\_ Autor: L. M. BARRANCO

Para las fallas bien visibles en superficie:

GEOMETRIA

LONGITUD  
 RUMBO  
 BUZAMIENTO

ANALISIS TECTO/NEO/EVOLUTIVO

Sobre la misma estructura       En estructuras menores asociadas

EDAD DE LOS MATERIALES AFECTADOS	TIPIFICACION				REGIMEN TECTONICO		ESFUERZOS	SALTOS	
	NORMAL	DESGARRE		INVERSA	COMPRESION	DISTENSION	DIRECCION DE $\sigma_1$ O $\sigma_2$ EN LA HORIZONTAL	EN	EN
	MIXTA	L	D	MIXTA				HORIZ.	VERT
PRE-TORT.									
TORT-INF.									
TORT-SUP.									
MESSIN.									
PLIOCENO									
PLIO-CUAT.									
CUATERNARIO									

ASPECTO Y NATURALEZA DE LOS MAT. AFECTADOS

EL RELLENO

-Relación con las estructuras mayores o con otras fallas importantes:

Analisis realizado por:

Para todas las fallas

TECTO-SEDIMENTACION

FALLA DETECTADA POR ESTE METODO	SI	<input checked="" type="checkbox"/>	RUMBO PROB.	N-S	BUZ. PROB.	al W
	NO	<input type="checkbox"/>	LONG. PROB.	5 km	TIPO PROB.	normal

Breve descripción de la influencia en las características de la sedimentación y edad de los materiales

GEOMORFOLOGIA

FALLA DETECTADA POR ESTE METODO	<input type="checkbox"/>	RUMBO PROB.	<input type="checkbox"/>	BUZ. PROB.	<input type="checkbox"/>
SE OBSERVA COMO LINEAMIENTO?	<input type="checkbox"/>	LONG. PROB.	<input type="checkbox"/>	TIPO PROB.	<input type="checkbox"/>

ANOMALIAS GEOMORFOLOGICAS LIGADAS Y/O PROB. LIGADAS

EN EL RELIEVE O LADERAS

Escarpe de fallas	<input type="checkbox"/>
Caras afacetadas	<input type="checkbox"/>
Basculamientos	<input type="checkbox"/>
Encajamientos	<input type="checkbox"/>
Solapes	<input type="checkbox"/>

EN LA RED HIDROG.

Valles colgados	<input type="checkbox"/>
Capturas	<input type="checkbox"/>
Encajamientos	<input type="checkbox"/>
Inflexiones	<input type="checkbox"/>
Difluencias	<input type="checkbox"/>
Cambios bruscos en el perfil	<input type="checkbox"/>

OTROS

GEOFISICA

FALLA DETECTADA POR ESTE METODO	<input checked="" type="checkbox"/>	RUMBO PROB.	N-S	BUZ. PROB.	W
		LONG. PROB.	> 10 km	TIPO PROB.	normal

Por el metodo	Electrico	<input checked="" type="checkbox"/>
	Sismico	<input type="checkbox"/>
	Gravimetrico	<input checked="" type="checkbox"/>

Profundidad de la estructura	500 m.
Edad mat. a los que afecta	Pliocenoceno

GEOTERMISMO/VOLCANISMO ASOCIADO

Volcanismo	Quimismo o clase _____ Edad absoluta _____	Geotermismo	Manantiales <input type="checkbox"/> Sondeo <input checked="" type="checkbox"/>	Temperatura	42°
				Profundidad	

SISMICIDAD ASOCIADA

HISTORICA

Nº SISMOS \_\_\_\_\_ CORRELACION B   
 INTENS. MAY. \_\_\_\_\_ P   
 ISOSISTAS \_\_\_\_\_ M   
 Relación con la estructura:

INSTRUMENTAL

Nº SISMOS \_\_\_\_\_ MAGNITUDES MAX. \_\_\_\_\_  
 PROFUNDIDADES MEDIAS \_\_\_\_\_ REPLICAS \_\_\_\_\_  
 RUMBO DE LAS MISMAS \_\_\_\_\_  
 ERROR EPICENTRO \_\_\_\_\_ ERROR PROF. \_\_\_\_\_

CORRELACION CON LA FALLA B

B		B (Buena)
P		P (Probable)
M		M (Mala)

CLASE DE ACTIVIDAD

	SI	NO	?	CLASIFICACION		
				SEGUN	TABLA	I
APECTA AL CUATERNARIO	×			<div style="border: 1px solid black; padding: 10px; display: inline-block;">                     b-2                 </div>		
APECTA A LA MORFOLOGIA	×					
ASOCIADA A SISMICIDAD		×				
GEOTERMISMO	×					

### FICHA DE FALLA

Nº 94 DENOMINACION \_\_\_\_\_ SITUACION \_\_\_\_\_  
 SISTEMA GORCA - ALHAMA ZONA BETICA  
 FALLA La Vereda DOMINIO \_\_\_\_\_  
 SECTOR Alcatorillo - Alhama CUENCA GUADALENTIN  
 Fecha: \_\_\_\_\_ Autor: L.M. BARRERO

Para las fallas bien visibles en superficie:

GEOMETRIA

LONGITUD  
 RUMBO  
 BUZAMIENTO

ANALISIS TECTO/NEO/EVOLUTIVO

Sobre la misma estructura

En estructuras menores asociadas

EDAD DE LOS MATERIALES AFECTADOS	TIPIFICACION				REGIMEN TECTONICO		ESFUERZOS	SALTOS	
	NORMAL	DESGARRE		INVERSA	COMPRESION	DISTENSION	DIRECCION DE $\sigma_1$ , $0$ $\sigma_3$ EN LA HORIZONTAL	EN	EN
	MIXTA	L	D	MIXTA				HORIZ.	VERT
PRE-TORT.									
TORT-INF.									
TORT-SUP.									
MESSIN.									
PLIOCENO									
PLIO-CUAT.									
CUATERNARIO									

ASPECTO Y NATURALEZA DE LOS MAT. AFECTADOS

EL RELLENO

-Relación con las estructuras mayores o con otras fallas importantes:

Analisis realizado por:

Para todas las fallas

TECTO-SEDIMENTACION

FALLA DETECTADA POR ESTE METODO	SI	
	NO	

RUMBO PROB.		BUZ. PROB.	
LONG. PROB.		TIPO PROB.	

Breve descripción de la influencia en las características de la sedimentación y edad de los materiales

GEOMORFOLOGIA

FALLA DETECTADA POR ESTE METODO	
SE OBSERVA COMO LINEAMIENTO?	

RUMBO PROB.		BUZ. PROB.	
LONG. PROB.		TIPO PROB.	

ANOMALIAS GEOMORFOLOGICAS LIGADAS Y/O PROB. LIGADAS

EN EL RELIEVE O LADERAS

- Escarpe de fallas
- Caras afacetadas
- Bascamientos
- Encajamientos
- Solapes

EN LA RED HIDROG.

- Valles colgados
- Capturas
- Encajamientos
- Inflexiones
- Difluencias
- Cambios bruscos en el perfil

OTROS

GEOFISICA

FALLA DETECTADA POR ESTE METODO	X
---------------------------------	---

RUMBO PROB.	ENE	BUZ. PROB.	al S.
LONG. PROB.	25 km.	TIPO PROB.	

Por el metodo	Electrico	X
	Sismico	
	Gravimetrico	

Profundidad de la estructura	700 m.
Edad mat. a los que afecta	Mioc. y Pliocenarvio?



**GEOTERMISMO/VOLCANISMO ASOCIADO**

Volcanismo	Quimismo o clase _____	Geotermismo	Manantiales	<input type="text"/>	Temperatura	<input type="text"/>
	Edad absoluta _____		Sondeo	<input type="text"/>	Profundidad	<input type="text"/>

**SISMICIDAD ASOCIADA**

HISTORICA

Nº SISMOS \_\_\_\_\_

INTENS. MAX. \_\_\_\_\_

ISOSISTAS \_\_\_\_\_

Relación con la estructura:

INSTRUMENTAL

CORRELACION B P M	<input type="text"/>	Nº SISMOS _____	MAGNITUDES MAX. _____
	<input type="text"/>	PROFUNDIDADES MEDIAS _____	REPLICAS _____
	<input type="text"/>	RUMBO DE LAS MISMAS _____	
	<input type="text"/>	ERROR EPICENTRO _____	ERROR PROF. _____

CORRELACION CON LA FALLA B

<input type="text"/>	B (Buena)
<input type="text"/>	P (Probable)
<input type="text"/>	M (Mala)

CLASE DE ACTIVIDAD

- APECTA AL CUATERNARIO
- APECTA A LA MORFOLOGIA
- ASOCIADA A SISMICIDAD
- GEOTERMISMO

SI	NO	?	CLASIFICACION SEGUN TABLA I
	X		[A-IV]
	X		
		X	
	X		

**FICHA DE FALLA**

Nº 95 DENOMINACION SITUACION  
 SISTEMA GUADALENTIN ZONA BETICA  
 FALLA DEL ACUEDUCTO DOMINIO \_\_\_\_\_  
 SECTOR ALHAMBRA - BÉJAR CUENCA GUADALENTIN  
 Fecha: \_\_\_\_\_ Autor: L.M. Barbaño

Para las fallas bien visibles en superficie:

GEOMETRIA

LONGITUD  
RUMBO  
BUZAMIENTO

ANALISIS TECTO/NEO/EVOLUTIVO

Sobre la misma estructura       En estructuras menores asociadas

EDAD DE LOS MATERIALES AFECTADOS	TIPIFICACION				REGIMEN TECTONICO		ESFUERZOS	SALTOS	
	NORMAL	DESGARRE		INVERSA	COMPRESION	DISTENSION	DIRECCION DE $\sigma_1$ , $0$ $\sigma_3$ EN LA HORIZONTAL	EN	EN
	MIXTA	L	D	MIXTA				HORIZ.	VERT
PRE-TORT.									
TORT-INF.									
TORT-SUP.									
MESSIN.									
PLIOCENO									
PLIO-CUAT.									
CUATERNARIO									

ASPECTO Y NATURALEZA DE LOS MAT. AFECTADOS

EL RELLENO

-Relación con las estructuras mayores o con otras fallas importantes:

Analisis realizado por:

Para todas las fallas

TECTO-SEDIMENTACION

FALLA DETECTADA POR ESTE METODO	SI	RUMBO PROB.	BUZ. PROB.
	NO	LONG. PROB.	TIPO PROB.

Breve descripción de la influencia en las características de la sedimentación y edad de los materiales

GEOMORFOLOGIA

FALLA DETECTADA POR ESTE METODO	RUMBO PROB.	BUZ. PROB.
SE OBSERVA COMO LINEAMIENTO?	LONG. PROB.	TIPO PROB.

ANOMALIAS GEOMORFOLOGICAS LIGADAS Y/O PROB. LIGADAS

EN EL RELIEVE O LADERAS

EN LA RED HIDROG.

OTROS

Escarpe de fallas  
Caras afacetadas  
Basculamientos  
Encajamientos  
Solapes


Valles colgados  
Capturas  
Encajamientos  
Inflexiones  
Difluencias  
Cambios bruscos en el perfil


GEOFISICA

FALLA DETECTADA POR ESTE METODO	X
---------------------------------	---

RUMBO PROB.	NE	BUZ. PROB.	70-90 SE *
LONG. PROB.	17 km	TIPO PROB.	Normal

\* Puede llegar a 40° en profundidad.

Por el metodo	Electrico	
	Sismico	X
	Gravimetrico	X

Profundidad de la estructura	1.200 m
Edad mat. a los que afecta	Todos

GEOTERMISMO/VOLCANISMO ASOCIADO

Volcanismo	Quimismo o clase _____ Edad absoluta _____	Geotermismo	Manantiales <input type="checkbox"/> Sondeo <input type="checkbox"/>	Temperatura <input style="width: 100%;" type="text"/> Profundidad <input style="width: 100%;" type="text"/>
------------	---	-------------	---	--

SISMICIDAD ASOCIADA

HISTORICA

Nº SISMOS \_\_\_\_\_ / \_\_\_\_\_  
 INTENS. MAX. \_\_\_\_\_ V \_\_\_\_\_  
 ISOSISTAS \_\_\_\_\_  
 Relación con la estructura:

INSTRUMENTAL

CORRELACION B	<input type="checkbox"/>	Nº SISMOS _____	MAGNITUDES MAX. _____
	<input type="checkbox"/>	PROFUNDIDADES MEDIAS _____	REPLICAS _____
P	<input type="checkbox"/>	RUMBO DE LAS MISMAS _____	
M	<input checked="" type="checkbox"/>	ERROR EPICENTRO _____	ERROR PROF. _____

CORRELACION CON LA FALLA B

	<input type="checkbox"/>	B (Buena)
P	<input type="checkbox"/>	P (Probable)
M	<input checked="" type="checkbox"/>	M (Mala)

CLASE DE ACTIVIDAD

- APECTA AL CUATERNARIO
- APECTA A LA MORFOLOGIA
- ASOCIADA A SISMICIDAD
- GEOTERMISMO

	SI	NO	?	CLASIFICACION SEGUN TABLA I
APECTA AL CUATERNARIO			X	(A-III)
APECTA A LA MORFOLOGIA	X			
ASOCIADA A SISMICIDAD			X	
GEOTERMISMO		X		

**FICHA DE FALLA**

No 96 DENOMINACION SITUACION  
 SISTEMA CAMPO CARTAGENA ZONA BETICA  
 FALLA Fuente-Alamo DOMINIO \_\_\_\_\_  
 SECTOR W. Sierra de los Victoria CUENCA Fuente-Alamo  
 Fecha: \_\_\_\_\_ Autor: L. H. Barrauca

Para las fallas bien visibles en superficie:

GEOMETRIA

LONGITUD  
 RUMBO  
 BUZAMIENTO

ANALISIS TECTO/NEO/EVOLUTIVO

Sobre la misma estructura       En estructuras menores asociadas

EDAD DE LOS MATERIALES AFECTADOS	TIPIFICACION				REGIMEN TECTONICO		ESFUERZOS	SALTOS	
	NORMAL	DESGARRE		INVERSA	COMPRESION	DISTENSION	DIRECCION DE $\sigma_1$ , $\sigma_2$ EN LA HORIZONTAL	EN	EN
	MIXTA	L	D	MIXTA				HORIZ.	VERT
PRE-TORT.									
TORT-INF.									
TORT-SUP.									
MESSIN.									
PLIOCENO									
PLIO-CUAT.									
CUATERNARIO									

ASPECTO Y NATURALEZA DE LOS MAT. AFECTADOS

EL RELLENO

-Relación con las estructuras mayores o con otras fallas importantes:

Analisis realizado por:

Para todas las fallas

TECTO-SEDIMENTACION

FALLA DETECTADA POR ESTE METODO	SI	
	NO	

RUMBO PROB.		BUZ. PROB.	
LONG. PROB.		TIPO PROB.	

Breve descripción de la influencia en las características de la sedimentación y edad de los materiales

GEOMORFOLOGIA

FALLA DETECTADA POR ESTE METODO	
SE OBSERVA COMO LINEAMIENTO?	

RUMBO PROB.		BUZ. PROB.	
LONG. PROB.		TIPO PROB.	

ANOMALIAS GEOMORFOLOGICAS LIGADAS Y/O PROB. LIGADAS

EN EL RELIEVE O LADERAS

Escarpe de fallas	
Caras afacetadas	
Basculamientos	
Encajamientos	
Solapes	

EN LA RED HIDROG.

Valles colgados	
Capturas	
Encajamientos	
Inflexiones	
Difluencias	
Cambios bruscos en el perfil	

OTROS

GEOFISICA

FALLA DETECTADA POR ESTE METODO	X
---------------------------------	---

RUMBO PROB.	NNW	BUZ. PROB.	80°W
LONG. PROB.	10 Km	TIPO PROB.	normal

Por el metodo	Electrico	X
	Sismico	X
	Gravimetrico	X

Profundidad de la estructura	1-6 Km.
Edad mat. a los que afecta	Toda (Plioceno).

GEOTERMISMO/VOLCANISMO. ASOCIADO

Volcanismo	Quimismo o clase _____	Geotermismo	Manantiales	<input type="checkbox"/>	Temperatura	<input type="checkbox"/>
	Edad absoluta _____		Sondeo	<input type="checkbox"/>	Profundidad	<input type="checkbox"/>

SISMICIDAD ASOCIADA

HISTORICA

Nº SISMOS \_\_\_\_\_

INTENS. MAX. \_\_\_\_\_

ISOSISTAS \_\_\_\_\_

Relación con la estructura:

CORRELACION B

P

M

INSTRUMENTAL

Nº SISMOS 1 MAGNITUDES MAX. 2.9

PROPUNDDIDADES MEDIAS 5 REPLICAS \_\_\_\_\_

RUMBO DE LAS MISMAS \_\_\_\_\_

ERROR EPICENTRO 9 ERROR PROF. 11

CORRELACION CON LA FALLA B

B (Buena)

P (Probable)

M (Mala)

CLASE DE ACTIVIDAD

- APECTA AL CUATERNARIO
- APECTA A LA MORFOLOGIA
- ASOCIADA A SISMICIDAD
- GEOTERMISMO

	SI	NO	?	CLASIFICACION SEGUN TABLA I
APECTA AL CUATERNARIO		X		A-III
APECTA A LA MORFOLOGIA	X			
ASOCIADA A SISMICIDAD	X			
GEOTERMISMO		X		

**FICHA DE FALLA**

Nº 97 DENOMINACION SITUACION  
 SISTEMA Campo Cortageus ZONA BETICA  
 FALLA La Pinilla DOMINIO \_\_\_\_\_  
 SECTOR \_\_\_\_\_ CUENCA Fuente-Alcans  
 Fecha: \_\_\_\_\_ Autor: L.M. Barauco

Para las fallas bien visibles en superficie:

GEOMETRIA

LONGITUD  
RUMBO  
BUZAMIENTO

ANALISIS TECTO/NEO/EVOLUTIVO

Sobre la misma estructura       En estructuras menores asociadas

EDAD DE LOS MATERIALES AFECTADOS	TIPIFICACION				REGIMEN TECTONICO		ESFUERZOS	SALTOS	
	NORMAL	DESGARRE		INVERSA	COMPRESION	DISTENSION	DIRECCION DE $\sigma_1$ O $\sigma_3$ EN LA HORIZONTAL	EN HORIZ.	EN VERT.
		MIXTA	L						
PRE-TORT.									
TORT-INF.									
TORT-SUP.									
MESSIN.									
PLIOCENO									
PLIO-CUAT.									
CUATERNARIO									

ASPECTO Y NATURALEZA DE LOS MAT. AFECTADOS

EL RELLENO

-Relación con las estructuras mayores o con otras fallas importantes:

Analisis realizado por:



Para todas las fallas

TECTO-SEDIMENTACION

FALLA DETECTADA POR ESTE METODO	SI	<input checked="" type="checkbox"/>
	NO	<input type="checkbox"/>

RUMBO PROB.	E-W	BUZ. PROB.	
LONG. PROB.	14 km.	TIPO PROB.	

Breve descripción de la influencia en las características de la sedimentación y edad de los materiales

Falla que bordea el borde Norte y condiciona la sedimentación del Mioceno y Plioceno.

GEOMORFOLOGIA

FALLA DETECTADA POR ESTE METODO	<input type="checkbox"/>
SE OBSERVA COMO LINEAMIENTO?	<input type="checkbox"/>

RUMBO PROB.		BUZ. PROB.	
LONG. PROB.		TIPO PROB.	

ANOMALIAS GEOMORFOLOGICAS LIGADAS Y/O PROB. LIGADAS

EN EL RELIEVE O LADERAS

Escarpe de fallas	<input type="checkbox"/>
Caras afacetadas	<input type="checkbox"/>
Basculamientos	<input type="checkbox"/>
Encajamientos	<input type="checkbox"/>
Solapes	<input type="checkbox"/>

EN LA RED HIDROG.

Valles colgados	<input type="checkbox"/>
Capturas	<input type="checkbox"/>
Encajamientos	<input type="checkbox"/>
Inflexiones	<input type="checkbox"/>
Difluencias	<input type="checkbox"/>
Cambios bruscos en el perfil	<input type="checkbox"/>

OTROS

GEOFISICA

FALLA DETECTADA POR ESTE METODO	<input checked="" type="checkbox"/>
---------------------------------	-------------------------------------

RUMBO PROB.	E-W	BUZ. PROB.	40-60N
LONG. PROB.	14 km	TIPO PROB.	

Por el metodo	Electrico	<input type="checkbox"/>
	Sismico	<input checked="" type="checkbox"/>
	Gravimetrico	<input checked="" type="checkbox"/>

Profundidad de la estructura	1.8 Km.
Edad mat. a los que afecta	Toda (Plioceno)

GEOTERMISMO/VOLCANISMO ASOCIADO

Volcanismo	Quimismo o clase _____	Geotermismo	Manantiales	<input type="checkbox"/>	Temperatura	<input type="checkbox"/>
	Edad absoluta _____		Sondeo	<input type="checkbox"/>	Profundidad	<input type="checkbox"/>

SISMICIDAD ASOCIADA

HISTORICA

No SISMOS \_\_\_\_\_

INTENS. MAX. \_\_\_\_\_

ISOSISTAS \_\_\_\_\_

Relación con la estructura:

INSTRUMENTAL


CORRELACION	B	NO SISMOS <u>2</u>	MAGNITUDES MAX. <u>3.3</u>
	P	PROPUNDDIDADES MEDIAS <u>5</u>	REPLICAS _____
	M	RUMBO DE LAS MISMAS _____	ERROR EPICENTRO <u>6-9</u> ERROR PROF. <u>11-13</u>

CORRELACION CON LA FALLA B

B	<input checked="" type="checkbox"/>	B (Buena)
P	<input type="checkbox"/>	P (Probable)
M	<input type="checkbox"/>	M (Mala)

CLASE DE ACTIVIDAD

- APECTA AL CUATERNARIO
- APECTA A LA MORFOLOGIA
- ASOCIADA A SISMICIDAD
- GEOTERMISMO

	SI	NO	?	CLASIFICACION		
				SEGUN	TABLA	I
APECTA AL CUATERNARIO			X	<div style="border: 1px solid black; padding: 5px; display: inline-block;">  </div>		
APECTA A LA MORFOLOGIA	X					
ASOCIADA A SISMICIDAD	X					
GEOTERMISMO		X				

**FICHA DE FALLA**

Nº 98 DENOMINACION \_\_\_\_\_ SITUACION \_\_\_\_\_  
 SISTEMA Campo de Cartagena ZONA BETICA  
 FALLA Los Maldonados DOMINIO \_\_\_\_\_  
 SECTOR \_\_\_\_\_ CUENCA Fuente-Alamo  
 Fecha: \_\_\_\_\_ Autor: L. M. Barrauco

Para las fallas bien visibles en superficie:

GEOMETRIA

LONGITUD  
 RUMBO  
 BUZAMIENTO

ANALISIS TECTO/NEO/EVOLUTIVO

Sobre la misma estructura       En estructuras menores asociadas

EDAD DE LOS MATERIALES AFECTADOS	TIPIFICACION				REGIMEN TECTONICO		ESFUERZOS	SALTOS	
	NORMAL	DESGARRE		INVERSA	COMPRESION	DISTENSION	DIRECCION DE $\sigma_1$ , $0$ $\sigma_3$ EN LA HORIZONTAL	EN HORIZ.	EN VERT.
	MIXTA	L	D	MIXTA					
PRE-TORT.									
TORT-INF.									
TORT-SUP.									
MESSIN.									
PLIOCENO									
PLIO-CUAT.									
CUATERNARIO									

ASPECTO Y NATURALEZA DE LOS MAT. AFECTADOS

EL RELLENO

-Relación con las estructuras mayores o con otras fallas importantes:

Analisis realizado por:

Para todas las fallas

TECTO-SEDIMENTACION

FALLA DETECTADA POR ESTE METODO	SI	<input checked="" type="checkbox"/>
	NO	<input type="checkbox"/>

RUMBO PROB.		BUZ. PROB.	
LONG. PROB.		TIPO PROB.	

Breve descripción de la influencia en las características de la sedimentación y edad de los materiales  
*Hunde el bloque Sur y condiciona la sedimentación de la cuenca de Fuenca - Alamo. Afecta al Pleistoceno.*

GEOMORFOLOGIA

FALLA DETECTADA POR ESTE METODO	<input type="checkbox"/>
SE OBSERVA COMO LINEAMIENTO?	<input type="checkbox"/>

RUMBO PROB.		BUZ. PROB.	
LONG. PROB.		TIPO PROB.	

ANOMALIAS GEOMORFOLOGICAS LIGADAS Y/O PROB. LIGADAS

EN EL RELIEVE O LADERAS

- Escarpe de fallas
- Caras afacetadas
- Basculamientos
- Encajamientos
- Solapes

EN LA RED HIDROG.

- Valles colgados
- Capturas
- Encajamientos
- Inflexiones
- Difluencias
- Cambios bruscos en el perfil

OTROS

GEOFISICA

FALLA DETECTADA POR ESTE METODO	<input checked="" type="checkbox"/>
---------------------------------	-------------------------------------

RUMBO PROB.	E-W	BUZ. PROB.	60-70°S
LONG. PROB.	12 km	TIPO PROB.	normal

Por el metodo	Electrico	<input type="checkbox"/>
	Sismico	<input checked="" type="checkbox"/>
	Gravimetrico	<input type="checkbox"/>

Profundidad de la estructura	3 km.
Edad mat. a los que afecta	Pleistoceno.

GEOTERMISMO/VOLCANISMO ASOCIADO

Volcanismo	Quimismo o clase _____	Geotermismo	Manantiales		Temperatura	
	Edad absoluta _____		Sondeo		Profundidad	

SISMICIDAD ASOCIADA

HISTORICA

Nº SISMOS \_\_\_\_\_ CORRELACION B

INTENS. MAX. \_\_\_\_\_ P

ISOSISTAS \_\_\_\_\_ M

Relación con la estructura:

INSTRUMENTAL

Nº SISMOS \_\_\_\_\_ MAGNITUDES MAX. \_\_\_\_\_

PROFUNDIDADES MEDIAS \_\_\_\_\_ REPLICAS \_\_\_\_\_

RUMBO DE LAS MISMAS \_\_\_\_\_

ERROR EPICENTRO \_\_\_\_\_ ERROR PROF. \_\_\_\_\_

CORRELACION CON LA FALLA B

|

P

M

B (Buena)  
P (Probable)  
M (Mala)

CLASE DE ACTIVIDAD

- APECTA AL CUATERNARIO
- APECTA A LA MORFOLOGIA
- ASOCIADA A SISMICIDAD
- GEOTERMISMO

	SI	NO	?	CLASIFICACION SEGUN TABLA I
APECTA AL CUATERNARIO			X	<div style="border: 1px solid black; padding: 10px; display: inline-block;"> </div>
APECTA A LA MORFOLOGIA		X		
ASOCIADA A SISMICIDAD		X		
GEOTERMISMO			X	

**FICHA DE FALLA**

Nº 99 DENOMINACION SITUACION  
 SISTEMA GUADALENTIN ZONA BETICA  
 FALLA Arrones DOMINIO \_\_\_\_\_  
 SECTOR S. de Carraxoy CUENCA Fuente-Alcorno  
 Fecha: \_\_\_\_\_ Autor: L. M. Barauco  
Para las fallas bien visibles en superficie: P. Silva

GEOMETRIA

LONGITUD  
 RUMBO  
 BUZAMIENTO

ANALISIS TECTO/NEO/EVOLUTIVO

Sobre la misma estructura       En estructuras menores asociadas

EDAD DE LOS MATERIALES AFECTADOS	TIPIFICACION				REGIMEN TECTONICO		ESFUERZOS	SALTOS	
	NORMAL	DESGARRE		INVERSA	COMPRESION	DISTENSION	DIRECCION DE $\sigma_1$ O $\sigma_3$ EN LA HORIZONTAL	EN	EN
	MIXTA	L	D	MIXTA				HORIZ.	VERT
PRE-TORT.									
TORT-INF.									
TORT-SUP.									
MESSIN.									
PLIOCENO									
PLIO-CUAT.									
CUATERNARIO									

ASPECTO Y NATURALEZA DE LOS MAT. AFECTADOS

EL RELLENO

-Relación con las estructuras mayores o con otras fallas importantes:

Analisis realizado por:

Para todas las fallas

TECTO-SEDIMENTACION

FALLA DETECTADA POR ESTE METODO	SI	
	NO	

RUMBO PROB.		BUZ. PROB.	
LONG. PROB.		TIPO PROB.	

Breve descripción de la influencia en las características de la sedimentación y edad de los materiales

GEOMORFOLOGIA

FALLA DETECTADA POR ESTE METODO	SI
SE OBSERVA COMO LINEAMIENTO?	

RUMBO PROB.		BUZ. PROB.	
LONG. PROB.		TIPO PROB.	

ANOMALIAS GEOMORFOLOGICAS LIGADAS Y/O PROB. LIGADAS

EN EL RELIEVE O LADERAS

Escarpe de fallas	<input type="checkbox"/>
Caras afacetadas	<input type="checkbox"/>
Basculamientos	<input checked="" type="checkbox"/>
Encajamientos	<input type="checkbox"/>
Solapes	<input type="checkbox"/>

EN LA RED HIDROG.

Valles colgados	<input type="checkbox"/>
Capturas	<input type="checkbox"/>
Encajamientos	<input type="checkbox"/>
Inflexiones	<input type="checkbox"/>
Difluencias	<input type="checkbox"/>
Cambios bruscos en el perfil	<input type="checkbox"/>

OTROS

GEOFISICA

FALLA DETECTADA POR ESTE METODO	X
---------------------------------	---

RUMBO PROB.	NNW	BUZ. PROB.	70-80° W
LONG. PROB.	8 km.	TIPO PROB.	

Por el metodo	Electrico	<input type="checkbox"/>
	Sismico	<input checked="" type="checkbox"/>
	Gravimetrico	<input checked="" type="checkbox"/>

Profundidad de la estructura	1.2 km.
Edad mat. a los que afecta	Plioceno

Definir un umbral N-S.

GEOTERMISMO/VOLCANISMO ASOCIADO

Volcanismo | Quimismo o clase \_\_\_\_\_ Geotermismo | Manantiales  Temperatura   
 Edad absoluta \_\_\_\_\_ | Sondeo  Profundidad

SISMICIDAD ASOCIADA

HISTORICA

Nº SISMOS \_\_\_\_\_  
 INTENS. MAX. \_\_\_\_\_  
 ISOSISTAS \_\_\_\_\_  
 Relación con la estructura:

INSTRUMENTAL

CORRELACION B   
 P   
 M

Nº SISMOS \_\_\_\_\_ MAGNITUDES MAX. \_\_\_\_\_  
 PROFUNDIDADES MEDIAS \_\_\_\_\_ REPLICAS \_\_\_\_\_  
 RUMBO DE LAS MISMAS \_\_\_\_\_  
 ERROR EPICENTRO \_\_\_\_\_ ERROR PROF. \_\_\_\_\_

CORRELACION CON LA FALLA B  B (Buena)  
 P  P (Probable)  
 M  M (Mala)

CLASE DE ACTIVIDAD

- APECTA AL CUATERNARIO
- APECTA A LA MORFOLOGIA
- ASOCIADA A SISMICIDAD
- GEOTERMISMO

	SI	NO	?	CLASIFICACION SEGUN TABLA I		
APECTA AL CUATERNARIO			X	<div style="border: 1px solid black; padding: 5px; display: inline-block;">b-2</div>		
APECTA A LA MORFOLOGIA	X					
ASOCIADA A SISMICIDAD		X				
GEOTERMISMO		X				



**FICHA DE FALLA**

Nº/00 DENOMINACION SITUACION  
 SISTEMA CANARIA PALENTIN ZONA BETICA  
 FALLA La Molata DOMINIO \_\_\_\_\_  
 SECTOR S. de Carrascoy CUENCA Guadalefin  
 Fecha: \_\_\_\_\_ Autor: L. M. Barrauco

Para las fallas bien visibles en superficie:

GEOMETRIA

LONGITUD  
 RUMBO  
 BUZAMIENTO

ANALISIS TECTO/NEO/EVOLUTIVO

Sobre la misma estructura       En estructuras menores asociadas

EDAD DE LOS MATERIALES AFECTADOS	TIPIFICACION				REGIMEN TECTONICO		ESFUERZOS DIRECCION DE $\sigma_1$ O $\sigma_2$ EN LA HORIZONTAL	SALTOS	
	NORMAL MIXTA	DESGARRE L D		INVERSA MIXTA	COMPRESION	DISTENSION		EN HORIZ.	EN VERT
PRE-TORT.									
TORT-INF.									
TORT-SUP.									
MESSIN.									
PLIOCENO									
PLIO-CUAT.									
CUATERNARIO									

ASPECTO Y NATURALEZA DE LOS MAT. AFECTADOS

EL RELLENO

-Relación con las estructuras mayores o con otras fallas importantes:

| Analisis realizado por:

Para todas las fallas

TECTO-SEDIMENTACION

FALLA DETECTADA POR ESTE METODO	SI	
	NO	

RUMBO PROB.		BUZ. PROB.	
LONG. PROB.		TIPO PROB.	

Breve descripción de la influencia en las características de la sedimentación y edad de los materiales

GEOMORFOLOGIA

FALLA DETECTADA POR ESTE METODO	Si
SE OBSERVA COMO LINEAMIENTO?	

RUMBO PROB.		BUZ. PROB.	
LONG. PROB.		TIPO PROB.	

ANOMALIAS GEOMORFOLOGICAS LIGADAS Y/O PROB. LIGADAS

EN EL RELIEVE O LADERAS

Escarpe de fallas	
Caras afacetadas	
Basculamientos	X
Encajamientos	
Solapes	

EN LA RED HIDROG.

Valles colgados	
Capturas	
Encajamientos	
Inflexiones	
Difluencias	
Cambios bruscos en el perfil	

OTROS


GEOFISICA

FALLA DETECTADA POR ESTE METODO	X
---------------------------------	---

RUMBO PROB.	NW	BUZ. PROB.	70-80 E
LONG. PROB.	6 Km.	TIPO PROB.	

Por el metodo	Electrico	
	Sismico	X
	Gravimetrico	X

Profundidad de la estructura	1.2 Km.
Edad mat. a los que afecta	Plioceno

Delimita un umbral N-S.

GEOTERMISMO/VOLCANISMO ASOCIADO

Volcanismo	Quimismo o clase _____	Geotermismo	Manantiales	<input type="checkbox"/>	Temperatura	<input type="checkbox"/>
	Edad absoluta _____		Sondeo	<input type="checkbox"/>	Profundidad	<input type="checkbox"/>

SISMICIDAD ASOCIADA

HISTORICA

Nº SISMOS \_\_\_\_\_

INTENS. MAX. \_\_\_\_\_

ISOSISTAS \_\_\_\_\_

Relación con la estructura:

INSTRUMENTAL

Nº SISMOS \_\_\_\_\_ MAGNITUDES MAX. \_\_\_\_\_

PROFUNDIDADES MEDIAS \_\_\_\_\_ REPLICAS \_\_\_\_\_

RUMBO DE LAS MISMAS \_\_\_\_\_

ERROR EPICENTRO \_\_\_\_\_ ERROR PROF. \_\_\_\_\_

CORRELACION B

P

M

CORRELACION CON LA FALLA B

P

M

B (Buena)

P (Probable)

M (Mala)

CLASE DE ACTIVIDAD

- APECTA AL CUATERNARIO
- APECTA A LA MORFOLOGIA
- ASOCIADA A SISMICIDAD
- GEOTERMISMO

	SI	NO	?
APECTA AL CUATERNARIO			X
APECTA A LA MORFOLOGIA	X		
ASOCIADA A SISMICIDAD		X	
GEOTERMISMO		X	

CLASIFICACION SEGUN TABLA I

b-2

### FICHA DE FALLA

Nº 10/ DENOMINACION \_\_\_\_\_ SITUACION \_\_\_\_\_  
 SISTEMA LORCA - ALHAMA ZONA BETICA  
 FALLA ESPARRAGOSILLA DOMINIO \_\_\_\_\_  
 SECTOR Margen SE. 5ª Cumbre CUENCA GUADALQUIVIA  
 Fecha: \_\_\_\_\_ Autor: P. SILVA

Para las fallas bien visibles en superficie:

**GEOMETRIA**

LONGITUD 0.5 Km  
 RUMBO N°60°E  
 BUZAMIENTO 74°SE

**ANALISIS TECTO/NEO/EVOLUTIVO**

Sobre la misma estructura       En estructuras menores asociadas

EDAD DE LOS MATERIALES AFECTADOS	TIPIFICACION				REGIMEN TECTONICO		ESFUERZOS	SALTOS	
	NORMAL	DESGARRE		INVERSA	COMPRESION	DISTENSION	DIRECCION DE $\sigma_1, \sigma_2$ EN LA HORIZONTAL	EN	EN
	MIXTA	L	D	MIXTA				HORIZ.	VERT
PRE-TORT.									
TORT-INF.									
TORT-SUP.									
MESSIN.									
PLIOCENO									
PLIO-CUAT.		x?			x				
CUATERNARIO									

**ASPECTO Y NATURALEZA DE LOS MAT. AFECTADOS**

*Afecta a una sucesión de conglomerados/areniscas y arcillas/limos con paleosuelos de edad Plioceno o Pliocuaternal (??).  
 Pícuo de falla con estrías verticales.*

**EL RELLENO**

-Relación con las estructuras mayores o con otras fallas importantes:

*Se trata de una falla normal generada a favor de un solape del accidente principal.*

Analisis realizado por:

*Idem*

Para todas las fallas

TECTO-SEDIMENTACION

FALLA DETECTADA POR ESTE METODO	SI	
	NO	

RUMBO PROB.		BUZ. PROB.	
LONG. PROB.		TIPO PROB.	

Breve descripción de la influencia en las características de la sedimentación y edad de los materiales

GEOMORFOLOGIA

FALLA DETECTADA POR ESTE METODO	SI
SE OBSERVA COMO LINEAMIENTO?	NO

RUMBO PROB.	N 70° E	BUZ. PROB.	SE. ? Subvert.
LONG. PROB.	0.5 km	TIPO PROB.	normal - dextral

ANOMALIAS GEOMORFOLOGICAS LIGADAS Y/O PROB. LIGADAS

EN EL RELIEVE O LADERAS

Escarpe de fallas	<input checked="" type="checkbox"/>
Caras afacetadas	<input type="checkbox"/>
Basculamientos	<input checked="" type="checkbox"/>
Encajamientos	<input type="checkbox"/>
Solapes	<input type="checkbox"/>

EN LA RED HIDROG.

Valles colgados	<input type="checkbox"/>
Capturas	<input type="checkbox"/>
Encajamientos	<input type="checkbox"/>
Inflexiones	<input type="checkbox"/>
Difluencias	<input type="checkbox"/>
Cambios bruscos en el perfil	<input type="checkbox"/>

OTROS

GEOFISICA

FALLA DETECTADA POR ESTE METODO	
---------------------------------	--

RUMBO PROB.		BUZ. PROB.	
LONG. PROB.		TIPO PROB.	

Por el metodo	Electrico	<input type="checkbox"/>
	Sismico	<input type="checkbox"/>
	Gravimetrico	<input type="checkbox"/>

Profundidad de la estructura	<input type="checkbox"/>
Edad mat. a los que afecta	<input type="checkbox"/>

**GEOTERMISMO/VOLCANISMO ASOCIADO**

Volcanismo	Quimismo o clase _____	Geotermismo	Manantiales	<input type="checkbox"/>	Temperatura	<input type="checkbox"/>
	Edad absoluta _____		Sondeo	<input type="checkbox"/>	Profundidad	<input type="checkbox"/>

**SISMICIDAD ASOCIADA**

HISTORICA

Nº SISMOS \_\_\_\_\_

INTENS. MAX. \_\_\_\_\_

ISOSISTAS \_\_\_\_\_

Relación con la estructura:

INSTRUMENTAL


CORRELACION	B P M	NO SISMOS _____	MAGNITUDES MAX. _____
		PROPUNDDIDADES MEDIAS _____	REPLICAS _____
		RUMBO DE LAS MISMAS _____	
		ERROR EPICENTRO _____	ERROR PROF. _____

CORRELACION CON LA FALLA B

<input type="checkbox"/>	B (Buena)
<input type="checkbox"/>	P (Probable)
<input type="checkbox"/>	M (Mala)

CLASE DE ACTIVIDAD

- APECTA AL CUATERNARIO
- APECTA A LA MORFOLOGIA
- ASOCIADA A SISMICIDAD
- GEOTERMISMO

	SI	NO	?	CLASIFICACION		
				SEGUN	TABLA	I
APECTA AL CUATERNARIO			X			
APECTA A LA MORFOLOGIA	X					
ASOCIADA A SISMICIDAD		X				
GEOTERMISMO		X				

### FICHA DE FALLA

Nº 102 DENOMINACION \_\_\_\_\_ SITUACION \_\_\_\_\_  
 SISTEMA PALOMARES-ALMENA ZONA BETIC  
 FALLA ESCARIHUELA DOMINIO \_\_\_\_\_  
 SECTOR Cabeza del MOTO CUENCA N. Pulpí  
 Fecha: \_\_\_\_\_ Autor: P. Silva

Para las fallas bien visibles en superficie:

**GEOMETRIA**

LONGITUD ?  
 RUMBO N 80° E  
 BUZAMIENTO 85 NW

**ANALISIS TECTO/NEO/EVOLUTIVO**

Sobre la misma estructura       En estructuras menores asociadas

EDAD DE LOS MATERIALES AFECTADOS	TIPIFICACION				REGIMEN TECTONICO		ESFUERZOS	SALTOS	
	NORMAL	DESGARRE		INVERSA	COMPRESION	DISTENSION	DIRECCION DE $\sigma_1, 0 \sigma_2$ EN LA HORIZONTAL	EN	EN
	MIXTA	L	D	MIXTA				HORIZ.	VERT
PRE-TORT.									
TORT-IMP.									
TORT-SUP.									
MESSIN.									
PLIOCENO									
PLIO-CUAT.									
CUATERNARIO	x						$\sigma_1 = N 170^\circ E$	?	0.3m.

**ASPECTO Y NATURALEZA DE LOS MAT. AFECTADOS**

*Afecta a las paleosuelos que se forman en las facies distales de las abanicos aluviales del Pleistoceno inferior/medio, desplazados cada vez menos hacia techo, donde únicamente se repliega (no visible en superficie). Causa de presión en el plano de falla.*

**EL RELLENO**

-Relación con las estructuras mayores o con otras fallas importantes:  
*Aproximadamente perpendicular a la dirección de la SE de Almuñeca.*

Analisis realizado por:  
P. Silva

Para todas las fallas

TECTO-SEDIMENTACION

FALLA DETECTADA POR ESTE METODO	SI	RUMBO PROB.	BUZ. PROB.
	NO	LONG. PROB.	TIPO PROB.

Breve descripción de la influencia en las características de la sedimentación y edad de los materiales

GEOMORFOLOGIA

FALLA DETECTADA POR ESTE METODO	RUMBO PROB.	BUZ. PROB.
SE OBSERVA COMO LINEAMIENTO?	LONG. PROB.	TIPO PROB.

ANOMALIAS GEOMORFOLOGICAS LIGADAS Y/O PROB. LIGADAS

EN EL RELIEVE O LADERAS

- Escarpe de fallas
- Caras afacetadas
- Basculamientos
- Encajamientos
- Solapes


EN LA RED HIDROG.

- Valles colgados
- Capturas
- Encajamientos
- Inflexiones
- Difluencias
- Cambios bruscos en el perfil


OTROS

GEOFISICA

FALLA DETECTADA POR ESTE METODO	RUMBO PROB.	BUZ. PROB.
	LONG. PROB.	TIPO PROB.

- Por el metodo
- Electrico
  - Sismico
  - Gravimetrico


- Profundidad de la estructura
- Edad mat. a los que afecta




GEOTERMISMO/VOLCANISMO ASOCIADO

Volcanismo	Quimismo o clase _____	Geotermismo	Manantiales	<input type="text"/>	Temperatura	<input type="text"/>
	Edad absoluta _____		Sondeo	<input type="text"/>	Profundidad	<input type="text"/>

SISMICIDAD ASOCIADA

HISTORICA

Nº SISMOS \_\_\_\_\_  
 INTENS. MAX. \_\_\_\_\_  
 ISOSISTAS \_\_\_\_\_  
 Relación con la estructura:

INSTRUMENTAL


CORRELACION B P M	Nº SISMOS _____	MAGNITUDES MAX. _____
	PROFUNDIDADES MEDIAS _____	REPLICAS _____
	RUMBO DE LAS MISMAS _____	
	ERROR EPICENTRO _____	ERROR PROF. _____

CORRELACION CON LA FALLA B

<input type="text"/>	B (Buena)
<input type="text"/>	P (Probable)
<input type="text"/>	M (Mala)

CLASE DE ACTIVIDAD

APECTA AL CUATERNARIO  
 APECTA A LA MORFOLOGIA  
 ASOCIADA A SISMICIDAD  
 GEOTERMISMO

SI	NO	?	CLASIFICACION SEGUN TABLA I
X			
	X		
	X		
	X		

**FICHA DE FALLA**

Nº 103 DENOMINACION \_\_\_\_\_ SITUACION \_\_\_\_\_  
 SISTEMA LORCA-ALTAMA ZONA BETICA  
 FALLA Conjetera DOMINIO \_\_\_\_\_  
 SECTOR Pto. Lumbreses CUENCA GUADALENTIN  
 Fecha: \_\_\_\_\_ Autor: P. Silva

Para las fallas bien visibles en superficie:

GEOMETRIA

LONGITUD 1.55 km  
 RUMBO N34°E  
 BUZAMIENTO 81°NW

ANALISIS TECTO/NEO/EVOLUTIVO

Sobre la misma estructura       En estructuras menores asociadas

EDAD DE LOS MATERIALES AFECTADOS	TIPIFICACION				REGIMEN TECTONICO		ESFUERZOS	SALTOS	
	NORMAL	DESGARRE		INVERSA	COMPRESION	DISTENSION	DIRECCION DE $\sigma_1$ O $\sigma_3$ EN LA HORIZONTAL	EN HORIZ.	EN VERT
		MIXTA	L						
PRE-TORT.									
TORT-IMP.									
TORT-SUP.									
MESSIN.									
PLIOCENO				x	x		$\sigma_1 \approx N169E$	?	?
PLIO-CUAT.				x	x				
CUATERNARIO				x	x		$\sigma_1 \approx N169E$	?	?

ASPECTO Y NATURALEZA DE LOS MAT. AFECTADOS

*Pone en contacto las margas amarillas del Tortoniense II con materiales del aluvial aluvial plioceno y pleistoceno inferior, que se encuentra basculado hacia la depresion.*

EL RELLENO

-Relación con las estructuras mayores o con otras fallas importantes:

*Se trata de una zona del accidente principal*

Analisis realizado por:

*idem*

Para todas las fallas

TECTO-SEDIMENTACION

FALLA DETECTADA POR ESTE METODO	SI	RUMBO PROB.	BUZ. PROB.
	NO	LONG. PROB.	TIPO PROB.

Breve descripción de la influencia en las características de la sedimentación y edad de los materiales

GEOMORFOLOGIA

FALLA DETECTADA POR ESTE METODO	<input checked="" type="checkbox"/>	RUMBO PROB.	N 35° E	BUZ. PROB.	Vertical
SE OBSERVA COMO LINEAMIENTO?	<input checked="" type="checkbox"/>	LONG. PROB.	1.55 km	TIPO PROB.	INVERTIDO - DIRECTO

ANOMALIAS GEOMORFOLOGICAS LIGADAS Y/O PROB. LIGADAS

EN EL RELIEVE O LADERAS

Escarpe de fallas	<input type="checkbox"/>
Caras afacetadas	<input type="checkbox"/>
Basculamientos	<input checked="" type="checkbox"/>
Encajamientos	<input type="checkbox"/>
Solapes	<input type="checkbox"/>

EN LA RED HIDROG.

Valles colgados	<input type="checkbox"/>
Capturas	<input type="checkbox"/>
Encajamientos	<input type="checkbox"/>
Inflexiones	<input type="checkbox"/>
Difluencias	<input type="checkbox"/>
Cambios bruscos en el perfil	<input type="checkbox"/>

OTROS

GEOFISICA

FALLA DETECTADA POR ESTE METODO	<input checked="" type="checkbox"/>	RUMBO PROB.	BUZ. PROB.
		LONG. PROB.	TIPO PROB.

Por el metodo	Electrico	<input checked="" type="checkbox"/>
	Sismico	<input type="checkbox"/>
	Gravimetrico	<input type="checkbox"/>

Profundidad de la estructura	<input type="text"/>
Edad mat. a los que afecta	<input type="text"/>

GEOTERMISMO/VOLCANISMO ASOCIADO

Volcanismo	Quimismo o clase	Geotermismo	Manantiales	<input type="text"/>	Temperatura	<input type="text"/>
	Edad absoluta		Sondeo	<input type="text"/>	Profundidad	<input type="text"/>

SISMICIDAD ASOCIADA

HISTORICA

Nº SISMOS \_\_\_\_\_  
 INTENS. MAX. \_\_\_\_\_  
 ISOSISTAS \_\_\_\_\_  
 Relación con la estructura:

INSTRUMENTAL


CORRELACION B P M	Nº SISMOS _____	MAGNITUDES MAX. _____
	PROFUNDIDADES MEDIAS _____	REPLICAS _____
	RUMBO DE LAS MISMAS _____	
	ERROR EPICENTRO _____	ERROR PROF. _____

CORRELACION CON LA FALLA B

<input type="text"/>	B (Buena)
<input type="text"/>	P (Probable)
<input type="text"/>	M (Mala)

CLASE DE ACTIVIDAD

- APECTA AL CUATERNARIO
- APECTA A LA MORFOLOGIA
- ASOCIADA A SISMICIDAD
- GEOTERMISMO

	SI	NO	?	CLASIFICACION		
				SEGUN	TABLA	I
APECTA AL CUATERNARIO	X					
APECTA A LA MORFOLOGIA	X					
ASOCIADA A SISMICIDAD		X				
GEOTERMISMO		X				

### FICHA DE FALLA

Nº/04 DENOMINACION \_\_\_\_\_ SITUACION \_\_\_\_\_  
 SISTEMA LORCA-ALHAMA ZONA BETIC  
 FALLA Venta Molár DOMINIO \_\_\_\_\_  
 SECTOR Lorca CUENCA GUADALENTÍN  
 Fecha: \_\_\_\_\_ Autor: P. Silva

Para las fallas bien visibles en superficie:

#### GEOMETRIA

LONGITUD 1.1 Km  
 RUMBO N 82° E  
 BUZAMIENTO 69° NW

#### ANALISIS TECTO/NEO/EVOLUTIVO

Sobre la misma estructura       En estructuras menores asociadas

EDAD DE LOS MATERIALES AFECTADOS	TIPIFICACION				REGIMEN TECTONICO		ESFUERZOS	SALTOS	
	NORMAL	DESGARRE		INVERSA	COMPRESION	DISTENSION	DIRECCION DE $\sigma_1, \sigma_2, \sigma_3$ EN LA HORIZONTAL	EN HORIZ.	EN VERT.
		MIXTA	L						
PRE-TORT.				X	X	?			
TORT-INF.									
TORT-SUP.				X	X	?			
MESSIN.									
PLIOCENO				X ?	X		$\sigma_1 \sim N170^\circ E$		
PLIO-CUAT.		X		X ?	X		$\sigma_1 \sim N170^\circ E$		
CUATERNARIO									

#### ASPECTO Y NATURALEZA DE LOS MAT. AFECTADOS

Falla inversa con carácter levogiro que pone en contacto margas arcuosas del Tortonense II con conglomerados pliocenos o pliocuaternarios (abau. del terciario) que poseen cantas del Subbético.

#### EL RELLENO

Brecha de falla muy cementada (3-3m de potencia) compuesta por cantas de cuarzo, cuarcitas, areniscas melajuidas, esquistas, calizas, margas y filitas. Alguna cantas deformadas zigzagoidalmente.

-Relación con las estructuras mayores o con otras fallas importantes:

Funciona como un solape del accidente principal que genera falla inversa

Analisis realizado por:

Idem.

Para todas las fallas

TECTO-SEDIMENTACION

FALLA DETECTADA POR ESTE METODO	SI	
	NO	

RUMBO PROB.		BUZ. PROB.	
LONG. PROB.		TIPO PROB.	

Breve descripción de la influencia en las características de la sedimentación y edad de los materiales

GEOMORFOLOGIA

FALLA DETECTADA POR ESTE METODO	SI
SE OBSERVA COMO LINEAMIENTO?	SI

RUMBO PROB.	N80°E	BUZ. PROB.	vertical
LONG. PROB.	1.1km.	TIPO PROB.	inversa - sin central

ANOMALIAS GEOMORFOLOGICAS LIGADAS Y/O PROB. LIGADAS

EN EL RELIEVE O LADERAS

EN LA RED HIDROG.

OTROS

Escarpe de fallas	<input checked="" type="checkbox"/>
Caras afacetadas	<input type="checkbox"/>
Basculamientos	<input checked="" type="checkbox"/>
Encajamientos	<input type="checkbox"/>
Solapes	<input type="checkbox"/>

Valles colgados	<input type="checkbox"/>
Capturas	<input type="checkbox"/>
Encajamientos	<input type="checkbox"/>
Inflexiones	<input checked="" type="checkbox"/>
Difluencias	<input type="checkbox"/>
Cambios bruscos en el perfil	<input type="checkbox"/>

GEOFISICA

FALLA DETECTADA POR ESTE METODO	
---------------------------------	--

RUMBO PROB.		BUZ. PROB.	
LONG. PROB.		TIPO PROB.	

Por el metodo	Electrico	<input type="checkbox"/>
	Sismico	<input type="checkbox"/>
	Gravimetrico	<input type="checkbox"/>

Profundidad de la estructura	<input type="text"/>
Edad mat. a los que afecta	<input type="text"/>

**GOTERMISMO/VOLCANISMO ASOCIADO**

Volcanismo	Quimismo o clase _____	Geotermismo	Manantiales	<input type="text"/>	Temperatura	<input type="text"/>
	Edad absoluta _____		Sondeo	<input type="text"/>	Profundidad	<input type="text"/>

**SISMICIDAD ASOCIADA**

HISTORICA

Nº SISMOS \_\_\_\_\_ / \_\_\_\_\_  
 INTENS. MAX. \_\_\_\_\_ ✓  
 ISOSISTAS \_\_\_\_\_  
 Relación con la estructura:

INSTRUMENTAL

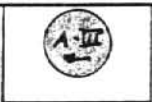
CORRELACION	B	<input checked="" type="checkbox"/>	Nº SISMOS _____	MAGNITUDES MAX. _____
	P	<input type="checkbox"/>	PROFUNDIDADES MEDIAS _____	REPLICAS _____
	M	<input type="checkbox"/>	RUMBO DE LAS MISMAS _____	
		<input type="checkbox"/>	ERROR EPICENTRO _____	ERROR PROF. _____

CORRELACION CON LA FALLA B

B	<input type="checkbox"/>	B (Buena)
P	<input checked="" type="checkbox"/>	P (Probable)
M	<input type="checkbox"/>	M (Mala)

CLASE DE ACTIVIDAD

APECTA AL CUATERNARIO  
 APECTA A LA MORFOLOGIA  
 ASOCIADA A SISMICIDAD  
 GOTERMISMO

	SI	NO	?	CLASIFICACION		
				SEGUN	TABLA	I
APECTA AL CUATERNARIO			<input checked="" type="checkbox"/>			
APECTA A LA MORFOLOGIA	<input checked="" type="checkbox"/>					
ASOCIADA A SISMICIDAD			<input checked="" type="checkbox"/>			
GOTERMISMO		<input checked="" type="checkbox"/>				

**FICHA DE FALLA**

Nº 105 DENOMINACION SITUACION  
 SISTEMA ALHAMA-LORCA ZONA BETICA  
 FALLA Huerto chico-Carboneras DOMINIO \_\_\_\_\_  
 SECTOR Lorca-Totusa CUENCA GUADALENTIN  
 Fecha: \_\_\_\_\_ Autor: P-Silva

Para las fallas bien visibles en superficie:

GEOMETRIA

LONGITUD 2 km  
 RUMBO N 37° E  
 BUZAMIENTO 75° SE

ANALISIS TECTO/NEO/EVOLUTIVO

Sobre la misma estructura       En estructuras menores asociadas

EDAD DE LOS MATERIALES AFECTADOS	TIPIFICACION				REGIMEN TECTONICO		ESFUERZOS	SALTOS	
	NORMAL	DESGARRE		INVERSA	COMPRESION	DISTENSION	DIRECCION DE $\sigma_1$ O $\sigma_3$ EN LA HORIZONTAL	EN	EN
	MIXTA	L	D	MIXTA				HORIZ.	VERT
PRE-TORT.									
TORT-INF.									
TORT-SUP.									
MESSIN.									
PLIOCENO									
PLIO-CUAT.									
CUATERNARIO		x	x		x		?		

ASPECTO Y NATURALEZA DE LOS MAT. AFECTADOS

Pone en contacto yesos messinense con materia de abanica aluvial cuaternario, probablemente del Plioceno medio-inferior, basculada 10° a contrapendiente

EL RELLENO

-Relación con las estructuras mayores o con otras fallas importantes:

Paralela al accidente principal pero mas al SE.

Analisis realizado por:

Idem



Para todas las fallas

TECTO-SEDIMENTACION

FALLA DETECTADA POR ESTE METODO	SI		RUMBO PROB.		BUZ. PROB.	
	NO		LONG. PROB.		TIPO PROB.	

Breve descripción de la influencia en las características de la sedimentación y edad de los materiales

GEOMORFOLOGIA

FALLA DETECTADA POR ESTE METODO	Si	RUMBO PROB.	N 30° E	BUZ. PROB.	vertical (?)
SE OBSERVA COMO LINEAMIENTO?		LONG. PROB.	2 km.	TIPO PROB.	normal - sinuoidal

ANOMALIAS GEOMORFOLOGICAS LIGADAS Y/O PROB. LIGADAS

EN EL RELIEVE O LADERAS		EN LA RED HIDROG.		OTROS
Escarpe de fallas	<input type="checkbox"/>	Valles colgados	<input type="checkbox"/>	
Caras afacetadas	<input type="checkbox"/>	Capturas	<input type="checkbox"/>	
Basculamientos	<input checked="" type="checkbox"/>	Encajamientos	<input type="checkbox"/>	
Encajamientos	<input type="checkbox"/>	Inflexiones	<input type="checkbox"/>	
Solapes	<input type="checkbox"/>	Difluencias	<input type="checkbox"/>	
		Cambios bruscos en el perfil	<input type="checkbox"/>	

GEOFISICA

FALLA DETECTADA POR ESTE METODO		RUMBO PROB.		BUZ. PROB.	
		LONG. PROB.		TIPO PROB.	

Por el metodo	Electrico	<input type="checkbox"/>	Profundidad de la estructura	<input type="checkbox"/>
	Sismico	<input type="checkbox"/>	Edad mat. a los que afecta	<input type="checkbox"/>
	Gravimetrico	<input type="checkbox"/>		

GEOTERMISMO/VOLCANISMO ASOCIADO

Volcanismo	Quimismo o clase _____	Geotermismo	Manantiales	Temperatura	
	Edad absoluta _____		Sondeo	Profundidad	

SISMICIDAD ASOCIADA

HISTORICA

Nº SISMOS \_\_\_\_\_  
 INTENS. MAX. \_\_\_\_\_  
 ISOSISTAS \_\_\_\_\_  
 Relación con la estructura:

INSTRUMENTAL

B	Nº SISMOS	1	MAGNITUDES MAX.	3.5
P	PROFUNDIDADES MEDIAS	< 20 km	REPLICAS	
M	RUMBO DE LAS MISMAS			
	ERROR EPICENTRO	> 10 km	ERROR PROF.	< 5 km

CORRELACION CON LA FALLA B

B	B (Buena)
P	P (Probable)
M	M (Mala)

P ✓

CLASE DE ACTIVIDAD

- APECTA AL CUATERNARIO
- APECTA A LA MORFOLOGIA
- ASOCIADA A SISMICIDAD
- GEOTERMISMO

	SI	NO	?	CLASIFICACION SEGUN TABLA I
APECTA AL CUATERNARIO	×			<div style="border: 1px solid black; padding: 5px; display: inline-block;">A-I</div>
APECTA A LA MORFOLOGIA	×			
ASOCIADA A SISMICIDAD	×			
GEOTERMISMO		×		

**FICHA DE FALLA**

Nº 106 DENOMINACION SITUACION  
 SISTEMA PALOMARES-ALBUENARA ZONA BETICA  
 FALLA EL ROMERO. DOMINIO \_\_\_\_\_  
 SECTOR Entre Sta. Gilmeuena y Corraoay CUENCA GUADALENTIN  
 Fecha: \_\_\_\_\_ Autor: L.M. Barroco

Para las fallas bien visibles en superficie:

GEOMETRIA

LONGITUD  
 RUMBO  
 BUZAMIENTO

ANALISIS TECTO/NEO/EVOLUTIVO

Sobre la misma estructura       En estructuras menores asociadas

EDAD DE LOS MATERIALES AFECTADOS	TIPIFICACION				REGIMEN TECTONICO		ESFUERZOS	SALTOS	
	NORMAL	DESGARRE		INVERSA	COMPRESION	DISTENSION	DIRECCION DE $\sigma_1$ O $\sigma_2$ EN LA HORIZONTAL	EN HORIZ.	EN VERT.
	MIXTA	L	D	MIXTA					
PRE-TORT.									
TORN-INT.									
TORN-SUP.									
MESSIN.									
PLIOCENO									
PLIO-CUAT.									
CUATERNARIO									

ASPECTO Y NATURALEZA DE LOS MAT. AFECTADOS

EL RELLENO

-Relación con las estructuras mayores o con otras fallas importantes:

Analisis realizado por:

Para todas las fallas

TECTO-SEDIMENTACION

FALLA DETECTADA POR ESTE METODO	SI	
	NO	

RUMBO PROB.		BUZ. PROB.	
LONG. PROB.		TIPO PROB.	

Breve descripción de la influencia en las características de la sedimentación y edad de los materiales

GEOMORFOLOGIA

FALLA DETECTADA POR ESTE METODO	
SE OBSERVA COMO LINEAMIENTO?	

RUMBO PROB.		BUZ. PROB.	
LONG. PROB.		TIPO PROB.	

ANOMALIAS GEOMORFOLOGICAS LIGADAS Y/O PROB. LIGADAS

EN EL RELIEVE O LADERAS

EN LA RED HIDROG.

OTROS

Escarpe de fallas	<input type="checkbox"/>	Valles colgados	<input type="checkbox"/>
Caras afacetadas	<input type="checkbox"/>	Capturas	<input type="checkbox"/>
Basculamientos	<input type="checkbox"/>	Encajamientos	<input type="checkbox"/>
Encajamientos	<input type="checkbox"/>	Inflexiones	<input type="checkbox"/>
Solapes	<input type="checkbox"/>	Difluencias	<input type="checkbox"/>
		Cambios bruscos en el perfil	<input type="checkbox"/>

GEOFISICA

FALLA DETECTADA POR ESTE METODO	SI
---------------------------------	----

RUMBO PROB.	ENE	BUZ. PROB.	60 N
LONG. PROB.	10 km	TIPO PROB.	normal?

Por el metodo	Electrico	<input type="checkbox"/>
	Sismico	X
	Gravimetrico	<input type="checkbox"/>

Profundidad de la estructura	1.5 km.
Edad mat. a los que afecta	Plioceno

GEOTERMISMO/VOLCANISMO ASOCIADO

Volcanismo	Quimismo o clase _____	Geotermismo	Manantiales	<input type="text"/>	Temperatura	<input type="text"/>
	Edad absoluta _____		Sondeo	<input type="text"/>	Profundidad	<input type="text"/>

SISMICIDAD ASOCIADA

HISTORICA

Nº SISMOS \_\_\_\_\_

INTENS. MAX. \_\_\_\_\_

ISOSISTAS \_\_\_\_\_

Relación con la estructura:

INSTRUMENTAL

CORRELACION B P M	Nº SISMOS _____ / _____	MAGNITUDES MAX. _____ 3.1
	PROFUNDIDADES MEDIAS _____	REPLICAS _____
	RUMBO DE LAS MISMAS _____	
	ERROR EPICENTRO _____ 2	ERROR PROF. _____ 2

CORRELACION CON LA FALLA B


P

M

B (Buena)  
P (Probable)  
M (Mala)

CLASE DE ACTIVIDAD

- APECTA AL CUATERNARIO
- APECTA A LA MORFOLOGIA
- ASOCIADA A SISMICIDAD
- GEOTERMISMO

	SI	NO	?	CLASIFICACION		
				SEGUN	TABLA	I
APECTA AL CUATERNARIO			X			
APECTA A LA MORFOLOGIA			X			
ASOCIADA A SISMICIDAD	X					
GEOTERMISMO		X				

**FICHA DE FALLA**

Nº 107 DENOMINACION SITUACION  
 SISTEMA LORCA-ALHAMA ZONA BETICA  
 FALLA CIMBRE DOMINIO \_\_\_\_\_  
 SECTOR Mto Lombroso CUENCA GUADALENTIN  
 Fecha: \_\_\_\_\_ Autor: P. Silva

Para las fallas bien visibles en superficie:

GEOMETRIA

Es continuacion de la 103

LONGITUD 1.55 km  
 RUMBO N 45° E  
 BUZAMIENTO 68° NW

ANALISIS TECTO/NEO/EVOLUTIVO

Sobre la misma estructura       En estructuras menores asociadas

EDAD DE LOS MATERIALES AFECTADOS	TIPIFICACION				REGIMEN TECTONICO		ESFUERZOS	SALTOS	
	NORMAL	DESGARRE		INVERSA	COMPRESION	DISTENSION	DIRECCION DE $\sigma_1$ O $\sigma_2$ EN LA HORIZONTAL	EN	EN
	MIXTA	L	D	MIXTA				HORIZ.	VERT.
PRE-TORT.									
TORT-INF.									
TORT-SUP.	← x →				x				
MESSIN.									
PLIOCENO		x →			x		D <sub>1</sub> 2 N188°		
PLIO-COAT.									
CUATERNARIO									

ASPECTO Y NATURALEZA DE LOS MAT. AFECTADOS

Por su contacto con los areniscas amarillentas del Tortonense II con conglomerada y arena de tonos amarillentos del Plioc. inf- messiniense.

EL RELLENO

-Relación con las estructuras mayores o con otras fallas importantes:

Accidente principal que posee una dirección N42°E en esta zona y que posee en contacto el tort. II con la materia del substrato alpujarride.

Analisis realizado por:

idem.

Para todas las fallas

TECTO-SEDIMENTACION

FALLA DETECTADA POR ESTE METODO	SI	
	NO	

RUMBO PROB.		BUZ. PROB.	
LONG. PROB.		TIPO PROB.	

Breve descripción de la influencia en las características de la sedimentación y edad de los materiales

GEOMORFOLOGIA

FALLA DETECTADA POR ESTE METODO	SI
SE OBSERVA COMO LINEAMIENTO?	SI

RUMBO PROB.	N35°E	BUZ. PROB.	Vertical
LONG. PROB.	1.55 km	TIPO PROB.	INVERSA -DIRECCIONAL

ANOMALIAS GEOMORFOLOGICAS LIGADAS Y/O PROB. LIGADAS

EN EL RELIEVE O LADERAS

Escarpe de fallas	X
Caras afacetadas	
Basculamientos	X
Encajamientos	
Solapes	

EN LA RED HIDROG.

Valles colgados	
Capturas	
Encajamientos	
Inflexiones	
Difluencias	
Cambios bruscos en el perfil	

OTROS

GEOFISICA

FALLA DETECTADA POR ESTE METODO	SI
---------------------------------	----

RUMBO PROB.		BUZ. PROB.	
LONG. PROB.		TIPO PROB.	

Por el metodo	Electrico	X
	Sismico	
	Gravimetrico	

Profundidad de la estructura	
Edad mat. a los que afecta	

**GEOTERMISMO/VOLCANISMO ASOCIADO**

Volcanismo	Quimismo o clase.....	Geotermismo	Manantiales	<input type="checkbox"/>	Temperatura	<input type="checkbox"/>
	Edad absoluta.....		Sondeo	<input type="checkbox"/>	Profundidad	<input type="checkbox"/>

**SISMICIDAD ASOCIADA**

HISTORICA

Nº SISMOS.....

INTENS. MAX.....

ISOSISTAS.....

Relación con la estructura:

INSTRUMENTAL

CORRELACION B P M	<input type="checkbox"/>	Nº SISMOS.....	MAGNITUDES MAX.....
	<input type="checkbox"/>	PROFUNDIDADES MEDIAS.....	REPLICAS.....
	<input type="checkbox"/>	RUMBO DE LAS MISMAS.....	
	<input type="checkbox"/>	ERROR EPICENTRO.....	ERROR PROF.....

CORRELACION CON LA FALLA B

<input type="checkbox"/>	B (Buena)
<input type="checkbox"/>	P (Probable)
<input type="checkbox"/>	M (Mala)

CLASE DE ACTIVIDAD

APECTA AL CUATERNARIO

APECTA A LA MORFOLOGIA

ASOCIADA A SISMICIDAD

GEOTERMISMO

SI	NO	?
	X	
X		
		X
	X	

CLASIFICACION  
SEGUN TABLA I





**FICHA DE FALLA**

Nº 108 DENOMINACION SITUACION  
 SISTEMA LORCA-ALHAMA ZONA BETICA  
 FALLA Carroclaca DOMINIO \_\_\_\_\_  
 SECTOR SE Torca CUENCA GUADALENTINA  
 Fecha: \_\_\_\_\_ Autor: P. Silva

Para las fallas bien visibles en superficie:

GEOMETRIA

LONGITUD 8.05 km  
 RUMBO N76°E - N52°E  
 BUZAMIENTO 40°NW

ANALISIS TECTO/NEO/EVOLUTIVO

Sobre la misma estructura       En estructuras menores asociadas

EDAD DE LOS MATERIALES AFECTADOS	TIPIFICACION				REGIMEN TECTONICO		ESFUERZOS	SALTOS	
	NORMAL	DESGARRE		INVERSA	COMPRESION	DISTENSION	DIRECCION DE $\sigma_1, \sigma_2$ EN LA HORIZONTAL	EN	EN
	MIXTA	L	D	MIXTA				HORIZ.	VERT.
PRE-TORT.				X?					
TORT-INF.				X	X				
TORT-SUP.									
MESSIN.									
PLIOCENO									
PLIO-CUAT.		X	X		X		$\sigma_1 ? N169°E$		>20m
CUATERNARIO									

**ASPECTO Y NATURALEZA DE LOS MAT. AFECTADOS**

Pone en contacto conglomerada roja del Tort. II con materiales conglomeráticos de abanico aluvial pliocuaternario, o más reciente.

**EL RELLENO**

Esta formado por una brecha de conglomerada de T-II, y en la base travertinos laminares manchada de óxido de hierro. Posiblemente consecuencia de actividad hidrotermal en la zona de falla.

-Relación con las estructuras mayores o con otras fallas importantes:

Analisis realizado por:

Es oblicua a la dirección del accidente principal (en esta zona N55°E). Se trata de un zócalo horizontal o pequeña curvatura de la zona de falla.

idem.

Para todas las fallas

TECTO-SEDIMENTACION

FALLA DETECTADA POR ESTE METODO	SI
	NO

RUMBO PROB.		BUZ. PROB.	
LONG. PROB.		TIPO PROB.	

Breve descripción de la influencia en las características de la sedimentación y edad de los materiales

GEOMORFOLOGIA

FALLA DETECTADA POR ESTE METODO	SI
SE OBSERVA COMO LINEAMIENTO?	

RUMBO PROB.	N 80° E	BUZ. PROB.	40 NW
LONG. PROB.	8 km.	TIPO PROB.	INVERSA

ANOMALIAS GEOMORFOLOGICAS LIGADAS Y/O PROB. LIGADAS

EN EL RELIEVE O LADERAS

EN LA RED HIDROG.

OTROS

Escarpe de fallas	<input checked="" type="checkbox"/>	Valles colgados	<input checked="" type="checkbox"/>
Caras afacetadas	<input checked="" type="checkbox"/>	Capturas	<input type="checkbox"/>
Basculamientos	<input checked="" type="checkbox"/>	Encajamientos	<input checked="" type="checkbox"/>
Encajamientos	<input type="checkbox"/>	Inflexiones	<input type="checkbox"/>
Solapes	<input checked="" type="checkbox"/>	Difluencias	<input type="checkbox"/>
		Cambios bruscos en el perfil	<input checked="" type="checkbox"/>

GEOFISICA

FALLA DETECTADA POR ESTE METODO	
---------------------------------	--

RUMBO PROB.		BUZ. PROB.	
LONG. PROB.		TIPO PROB.	

Por el metodo	Electrico	<input type="checkbox"/>
	Sismico	<input type="checkbox"/>
	Gravimetrico	<input type="checkbox"/>

Profundidad de la estructura	<input type="text"/>
Edad mat. a los que afecta	<input type="text"/>

**GEOTERMISMO/VOLCANISMO ASOCIADO**

Volcanismo	Quimismo o clase _____	Geotermismo	Manantiales	<input checked="" type="checkbox"/>	Temperatura	?
	Edad absoluta _____		Sondeo	<input type="checkbox"/>	Profundidad	

*Antiguas termas romanas 100 C.C.*

**SISMICIDAD ASOCIADA**

HISTORICA

Nº SISMOS \_\_\_\_\_ CORRELACION B

INTENS. MAX. \_\_\_\_\_ P

ISOSISTAS \_\_\_\_\_ M

Relación con la estructura:

INSTRUMENTAL

Nº SISMOS 1 MAGNITUDES MAX. 3.5

PROFUNDIDADES MEDIAS <20 REPLICAS \_\_\_\_\_

RUMBO DE LAS MISMAS \_\_\_\_\_

ERROR EPICENTRO >10 ERROR PROF. >5

CORRELACION CON LA FALLA B

B	<input type="checkbox"/>	B (Buena)
P	<input type="checkbox"/>	P (Probable)
M	<input checked="" type="checkbox"/>	M (Mala)

CLASE DE ACTIVIDAD

CLASE DE ACTIVIDAD	SI NO ?			CLASIFICACION SEGUN TABLA I		
	APECTA AL CUATERNARIO	x			<div style="border: 1px solid black; padding: 5px; width: fit-content; margin: auto;">A-II</div>	
APECTA A LA MORFOLOGIA	x					
ASOCIADA A SISMICIDAD	x					
GEOTERMISMO	x					

**FICHA DE FALLA**

No 109 DENOMINACION SITUACION  
 SISTEMA LORCA - ALHAMA ZONA BETICA  
 FALLA 82-CAJATE DOMINIO \_\_\_\_\_  
 SECTOR Lorca CUENCA GUADALENTIN  
 Fecha: \_\_\_\_\_ Autor: P. SILVE

Para las fallas bien visibles en superficie:

GEOMETRIA

LONGITUD 1.1 Km.  
 RUMBO N 90° E  
 BUZAMIENTO 55° SE

ANALISIS TECTO/NEO/EVOLUTIVO

Sobre la misma estructura       En estructuras menores asociadas

EDAD DE LOS MATERIALES AFECTADOS	TIPIFICACION				REGIMEN TECTONICO		ESFUERZOS	SALTOS	
	NORMAL	DESGARRE		INVERSA	COMPRESION	DISTENSION	DIRECCION DE $\sigma_1$ , $0 \sigma_2$ EN LA HORIZONTAL	EN	EN
	MIXTA	L	D	MIXTA				HORIZ.	VERT.
PRE-TORT.									
TORT-INF.									
TORT-SUP.									
MESSIN.		X			X				
PLIOCENO		X			X		$\sigma_1$ 3 N 180° E		
PLIO-CUAT.									
CUATERNARIO									

ASPECTO Y NATURALEZA DE LOS MAT. AFECTADOS

*Conglomerados y arenas areniscas en el labio levantado y conglomerados continuables plioceno en el hundido*

EL RELLENO

-Relación con las estructuras mayores o con otras fallas importantes:

*Paralela a la falla de Venta Molinar (104).*

Analisis realizado por:

*idem.*

Para todas las fallas

TECTO-SEDIMENTACION

FALLA DETECTADA POR ESTE METODO	SI	
	NO	

RUMBO PROB.		BUZ. PROB.	
LONG. PROB.		TIPO PROB.	

Breve descripción de la influencia en las características de la sedimentación y edad de los materiales

GEOMORFOLOGIA

FALLA DETECTADA POR ESTE METODO	Si
SE OBSERVA COMO LINEAMIENTO?	

RUMBO PROB.	N 90° E	BUZ. PROB.	SE
LONG. PROB.	750 m.	TIPO PROB.	normal

ANOMALIAS GEOMORFOLOGICAS LIGADAS Y/O PROB. LIGADAS

EN EL RELIEVE O LADERAS

Escarpe de fallas	
Caras afacetadas	
Basculamientos	X
Encajamientos	
Solapes	

EN LA RED HIDROG.

Valles colgados	
Capturas	
Encajamientos	
Inflexiones	
Difluencias	
Cambios bruscos en el perfil	

OTROS

*Pendientes cuádrados de la abanica cuaternaria.*

GEOFISICA

FALLA DETECTADA POR ESTE METODO	
---------------------------------	--

RUMBO PROB.		BUZ. PROB.	
LONG. PROB.		TIPO PROB.	

Por el metodo	Electrico	
	Sismico	
	Gravimetrico	

Profundidad de la estructura	
Edad mat. a los que afecta	

**GEOTERMISMO/VOLCANISMO ASOCIADO**

Volcanismo	Quimismo o clase _____	Geotermismo	Manantiales	[ ]	Temperatura	[ ]
	Edad absoluta _____		Sondeo	[ ]	Profundidad	[ ]

**SISMICIDAD ASOCIADA**

HISTORICA

No SISMOS \_\_\_\_\_

INTENS. MAX. \_\_\_\_\_

ISOSISTAS \_\_\_\_\_

Relación con la estructura:

INSTRUMENTAL

B	NOSISMOS _____	MAGNITUDES MAX. _____
P	PROPUNDADES MEDIAS _____	REPLICAS _____
M	RUMBO DE LAS MISMAS _____	ERROR EPICENTRO _____
		ERROR PROF. _____

CORRELACION CON LA FALLA

B	[ ]	B (Buena)
P	[ ]	P (Probable)
M	[ ]	M (Mala)

CLASE DE ACTIVIDAD

- APECTA AL CUATERNARIO
- APECTA A LA MORFOLOGIA
- ASOCIADA A SISMICIDAD
- GEOTERMISMO

	SI	NO	?	CLASIFICACION SEGUN TABLA I
APECTA AL CUATERNARIO	[ ]	X	[ ]	[A-III]
APECTA A LA MORFOLOGIA	X	[ ]	[ ]	
ASOCIADA A SISMICIDAD	[ ]	[ ]	X	
GEOTERMISMO	[ ]	X	[ ]	

**FICHA DE FALLA**

Nº 110 DENOMINACION SITUACION  
 SISTEMA GUADALENTIN ZONA BETICA  
 FALLA Salinas DOMINIO \_\_\_\_\_  
 SECTOR Alhambra - Totuque CUENCA GUADALENTIN  
 Fecha: \_\_\_\_\_ Autor: L. M. Barranco

Para las fallas bien visibles en superficie:

GEOMETRIA

LONGITUD  
RUMBO  
BUZAMIENTO

ANALISIS TECTO/NEO/EVOLUTIVO

Sobre la misma estructura       En estructuras menores asociadas

EDAD DE LOS MATERIALES AFECTADOS	TIPIFICACION				REGIMEN TECTONICO		ESFUERZOS	SALTOS	
	NORMAL	DESGARRE		INVERSA	COMPRESION	DISTENSION	DIRECCION DE $\sigma_1$ O $\sigma_3$ EN LA HORIZONTAL	EN HORIZ.	EN VERT.
	MIXTA	L	D	MIXTA					
PRE-TORT.									
TORT-INF.									
TORT-SUP.									
MESSIN.									
PLIOCENO									
PLIO-CUAT.									
CUATERNARIO									

ASPECTO Y NATURALEZA DE LOS MAT. AFECTADOS

EL RELLENO

-Relación con las estructuras mayores o con otras fallas importantes:

Analisis realizado por:

Para todas las fallas

TECTO-SEDIMENTACION

FALLA DETECTADA POR ESTE METODO	SI	
	NO	

RUMBO PROB.		BUZ. PROB.	
LONG. PROB.		TIPO PROB.	

Breve descripción de la influencia en las características de la sedimentación y edad de los materiales

GEOMORFOLOGIA

FALLA DETECTADA POR ESTE METODO	
SE OBSERVA COMO LINEAMIENTO?	

RUMBO PROB.		BUZ. PROB.	
LONG. PROB.		TIPO PROB.	

ANOMALIAS GEOMORFOLOGICAS LIGADAS Y/O PROB. LIGADAS

EN EL RELIEVE O LADERAS

EN LA RED HIDROG.

OTROS

- Escarpe de fallas
- Caras afacetadas
- Basculamientos
- Encajamientos
- Solapes


- Valles colgados
- Capturas
- Encajamientos
- Inflexiones
- Difluencias
- Cambios bruscos en el perfil


GEOFISICA

FALLA DETECTADA POR ESTE METODO	X
---------------------------------	---

RUMBO PROB.	ENE	BUZ. PROB.	70°S
LONG. PROB.	10 km.	TIPO PROB.	

Por el metodo	Electrico	X
	Sismico	X
	Gravimetrico	

Profundidad de la estructura  
Edad mat. a los que afecta

1 km
Pliocuaternario



**GEOTERMISMO/VOLCANISMO ASOCIADO**

Volcanismo	Quimismo o clase _____	Geotermismo	Manantiales <input type="checkbox"/>	Temperatura <input type="text"/>
	Edad absoluta _____		Sondeo <input type="checkbox"/>	Profundidad <input type="text"/>

**SISMICIDAD ASOCIADA**

HISTORICA

No SISMOS 1

INTENS. MAX. V

ISOSISTAS \_\_\_\_\_

Relación con la estructura:

INSTRUMENTAL

CORRELACION	B	# SISMOS <u>3</u>	MAGNITUDES MAX. <u>3.2</u>
		PROFUNDIDADES MEDIAS <u>5</u>	REPLICAS _____
	P	RUMBO DE LAS MISMAS _____	
	M	ERROR EPICENTRO <u>1.2</u>	ERROR PROF. <u>1.6</u>

CORRELACION CON LA FALLA

B		B (Buena)
P	X	P (Probable)
M		M (Mala)

CLASE DE ACTIVIDAD

- APECTA AL CUATERNARIO
- APECTA A LA MORFOLOGIA
- ASOCIADA A SISMICIDAD
- GEOTERMISMO

	SI	NO	?	CLASIFICACION SEGUN TABLA I
APECTA AL CUATERNARIO			X	<div style="border: 1px solid black; padding: 5px; display: inline-block;">A-III</div>
APECTA A LA MORFOLOGIA			X	
ASOCIADA A SISMICIDAD			X	
GEOTERMISMO		X		

**FICHA DE FALLA**

Nº 111 DENOMINACION SITUACION  
 SISTEMA Campo Cartagena ZONA BETICA  
 FALLA W. Cabeza gorda DOMINIO \_\_\_\_\_  
 SECTOR Campo de Cartagena CUENCA Cartagena  
 Fecha: \_\_\_\_\_ Autor: L. H. Barrauco

Para las fallas bien visibles en superficie:

GEOMETRIA

LONGITUD  
 RUMBO  
 BUZAMIENTO

ANALISIS TECTO/NEO/EVOLUTIVO

Sobre la misma estructura       En estructuras menores asociadas

EDAD DE LOS MATERIALES AFECTADOS	TIPIFICACION				REGIMEN TECTONICO		ESFUERZOS	SALTOS	
	NORMAL	DESGARRE		INVERSA	COMPRESION	DISTENSION	DIRECCION DE $\sigma_1$ O $\sigma_2$ EN LA HORIZONTAL	EN	EN
	MIXTA	L	D	MIXTA				HORIZ.	VERT
PRE-TORT.									
TORT-INF.									
TORT-SUP.									
MESSIN.									
PLIOCENO									
PLIO-CUAT.									
CUATERNARIO									

ASPECTO Y NATURALEZA DE LOS MAT. AFECTADOS

EL RELLENO

-Relación con las estructuras mayores o con otras fallas importantes:

Analisis realizado por:

Para todas las fallas

TECTO-SEDIMENTACION

FALLA DETECTADA POR ESTE METODO	SI	
	NO	

RUMBO PROB.		BUZ. PROB.	
LONG. PROB.		TIPO PROB.	

Breve descripción de la influencia en las características de la sedimentación y edad de los materiales

GEOMORFOLOGIA

FALLA DETECTADA POR ESTE METODO	
SE OBSERVA COMO LINEAMIENTO?	SI

RUMBO PROB.	NNW	BUZ. PROB.	
LONG. PROB.	30 km	TIPO PROB.	

ANOMALIAS GEOMORFOLOGICAS LIGADAS Y/O PROB. LIGADAS

EN EL RELIEVE O LADERAS

- Escarpe de fallas
- Caras afacetadas
- Basculamientos
- Encajamientos
- Solapes


EN LA RED HIDROG.

- Valles colgados
- Capturas
- Encajamientos
- Inflexiones
- Difluencias
- Cambios bruscos en el perfil


OTROS

GEOFISICA

FALLA DETECTADA POR ESTE METODO	X
---------------------------------	---

RUMBO PROB.	NNW	BUZ. PROB.	al W
LONG. PROB.	30 km	TIPO PROB.	normal

Por el metodo	Electrico	X
	Sismico	
	Gravimetrico	X

Profundidad de la estructura

Edad mat. a los que afecta

plio que

GEOTERMISMO/VOLCANISMO ASOCIADO

Volcanismo	Quimismo o clase <u>calco-alkalino</u>	Geotermismo	Manantiales	<input type="checkbox"/>	Temperatura	<u>51°</u>
	Edad absoluta <u>2 7 m.a</u>		Sondeo	<input checked="" type="checkbox"/>	Profundidad	

SISMICIDAD ASOCIADA

HISTORICA

Nº SISMOS 1 CORRELACION B

INTENS. MAX. ✓ P

ISOSISTAS                      M

Relación con la estructura:

INSTRUMENTAL

Nº SISMOS 3 MAGNITUDES MAX. 3.7

PROFUNDIDADES MEDIAS 5-9 REPLICAS                     

RUMBO DE LAS MISMAS                     

ERROR EPICENTRO 2-15 ERROR PROF. 2-7

CORRELACION CON LA FALLA B

	B (Buena)
P	P (Probable)
M	M (Mala)

CLASE DE ACTIVIDAD

- AFECTA AL CUATERNARIO
- AFECTA A LA MORFOLOGIA
- ASOCIADA A SISMICIDAD
- GEOTERMISMO

	SI	NO	?	CLASIFICACION SEGUN TABLA I
AFECTA AL CUATERNARIO			×	A-III
AFECTA A LA MORFOLOGIA	×			
ASOCIADA A SISMICIDAD	×			
GEOTERMISMO	×			

### FICHA DE FALLA

Nº 112 DENOMINACION SITUACION  
 SISTEMA PALOMARES-ALMENARA ZONA BETICA  
 FALLA N. de Pulpi DOMINIO \_\_\_\_\_  
 SECTOR Escomulg CUENCA Pulpi  
 Fecha: \_\_\_\_\_ Autor: P. Silva

Para las fallas bien visibles en superficie:

GEOMETRIA

LONGITUD 4 Km.  
 RUMBO N 29° E  
 BUZAMIENTO SE.

ANALISIS TECTO/NEO/EVOLUTIVO

Sobre la misma estructura
  En estructuras menores asociadas

EDAD DE LOS MATERIALES AFECTADOS	TIPIFICACION				REGIMEN TECTONICO		ESFUERZOS	SALTOS	
	NORMAL	DESGARRE		INVERSA	COMPRESION	DISTENSION	DIRECCION DE $\sigma_1$ O $\sigma_3$ EN LA HORIZONTAL	EN	EN
	MIXTA	L	D	MIXTA				HORIZ.	VERT
PRE-TORT.									
TORT-INF.									
TORT-SUP.									
MESSIN.									
PLIOCENO									
PLIO-CUAT.				x?					
CUATERNARIO									

ASPECTO Y NATURALEZA DE LOS MAT. AFECTADOS

EL RELLENO

-Relación con las estructuras mayores o con otras fallas importantes:

*Paralela a la ⑥.*

Analisis realizado por:

*idem.*

Para todas las fallas

TECTO-SEDIMENTACION

FALLA DETECTADA POR ESTE METODO	SI	
	NO	

RUMBO PROB.		BUZ. PROB.	
LONG. PROB.		TIPO PROB.	

Breve descripción de la influencia en las características de la sedimentación y edad de los materiales

GEOMORFOLOGIA

FALLA DETECTADA POR ESTE METODO	Si
SE OBSERVA COMO LINEAMIENTO?	

RUMBO PROB.	N29°E	BUZ. PROB.	> 45°SE
LONG. PROB.	4 km.	TIPO PROB.	INVERSA

ANOMALIAS GEOMORFOLOGICAS LIGADAS Y/O PROB. LIGADAS

EN EL RELIEVE O LADERAS

Escarpe de fallas	<input checked="" type="checkbox"/>
Caras afacetadas	<input type="checkbox"/>
Basculamientos	<input checked="" type="checkbox"/>
Encajamientos	<input type="checkbox"/>
Solapes	<input type="checkbox"/>

EN LA RED HIDROG.

Valles colgados	<input type="checkbox"/>
Capturas	<input type="checkbox"/>
Encajamientos	<input type="checkbox"/>
Inflexiones	<input type="checkbox"/>
Difluencias	<input type="checkbox"/>
Cambios bruscos en el perfil	<input type="checkbox"/>

OTROS

GEOFISICA

FALLA DETECTADA POR ESTE METODO	Si
---------------------------------	----

RUMBO PROB.		BUZ. PROB.	
LONG. PROB.		TIPO PROB.	

Por el metodo	Electrico	<input checked="" type="checkbox"/>
	Sismico	<input type="checkbox"/>
	Gravimetrico	<input type="checkbox"/>

Profundidad de la estructura	
Edad mat. a los que afecta	

**GEOTERMISMO/VOLCANISMO ASOCIADO**

Volcanismo	Quimismo o clase _____	Geotermismo	Manantiales	[ ]	Temperatura	[ ]
	Edad absoluta _____		Sondeo	[ ]	Profundidad	[ ]

**SISMICIDAD ASOCIADA**

HISTORICA

Nº SISMOS \_\_\_\_\_ CORRELACION B [ ]

INTENS. MAX. \_\_\_\_\_ P [ ]

ISOSISTAS \_\_\_\_\_ M [ ]

Relación con la estructura:

INSTRUMENTAL

Nº SISMOS 1 MAGNITUDES MAX. 3.5

PROFUNDIDADES MEDIAS < 20 km REPLICAS \_\_\_\_\_

RUMBO DE LAS MISMAS \_\_\_\_\_

ERROR EPICENTRO 6-10 ERROR PROF. > 5 km

CORRELACION CON LA FALLA B

B	[ ]	B (Buena)
P	[ ]	P (Probable)
M	[ X ]	M (Mala)


CLASE DE ACTIVIDAD

APECTA AL CUATERNARIO

APECTA A LA MORFOLOGIA

ASOCIADA A SISMICIDAD

GEOTERMISMO

	SI	NO	?	CLASIFICACION SEGUN TABLA I
APECTA AL CUATERNARIO			X	
APECTA A LA MORFOLOGIA	X			
ASOCIADA A SISMICIDAD	X			
GEOTERMISMO		X		

**FICHA DE FALLA**

Nº 113 DENOMINACION SITUACION  
 SISTEMA Campo de Cartagena ZONA BETICA  
 FALLA E. de las Victorias DOMINIO \_\_\_\_\_  
 SECTOR C. de Cartagena CUENCA Cartagena  
 Fecha: \_\_\_\_\_ Autor: L. M. Barrauco

Para las fallas bien visibles en superficie:

GEOMETRIA

LONGITUD  
RUMBO  
BUZAMIENTO

ANALISIS TECTO/NEO/EVOLUTIVO

Sobre la misma estructura       En estructuras menores asociadas

EDAD DE LOS MATERIALES AFECTADOS	TIPIFICACION				REGIMEN TECTONICO		ESFUERZOS	SALTOS	
	NORMAL	DESGARRE		INVERSA	COMPRESION	DISTENSION	DIRECCION DE $\sigma_1$ , $0$ $\sigma_3$ EN LA HORIZONTAL	EN	EN
	MIXTA	L	D	MIXTA				HORIZ.	VERT
PRE-TORT.									
TORT-INF.									
TORT-SUP.									
MESSIN.									
PLIOCENO									
PLIO-CUAT.									
CUATERNARIO									

ASPECTO Y NATURALEZA DE LOS MAT. AFECTADOS

EL RELLENO

-Relación con las estructuras mayores o con otras fallas importantes:

Analisis realizado por:



Para todas las fallas

TECTO-SEDIMENTACION

FALLA DETECTADA POR ESTE METODO	SI
	NO

RUMBO PROB.		BUZ. PROB.	
LONG. PROB.		TIPO PROB.	

Breve descripción de la influencia en las características de la sedimentación y edad de los materiales

GEOMORFOLOGIA

FALLA DETECTADA POR ESTE METODO	
SE OBSERVA COMO LINEAMIENTO?	

RUMBO PROB.		BUZ. PROB.	
LONG. PROB.		TIPO PROB.	

ANOMALIAS GEOMORFOLOGICAS LIGADAS Y/O PROB. LIGADAS

EN EL RELIEVE O LADERAS

EN LA RED HIDROG.

OTROS

Escarpe de fallas	<input type="checkbox"/>	Valles colgados	<input type="checkbox"/>
Caras afacetadas	<input type="checkbox"/>	Capturas	<input type="checkbox"/>
Basculamientos	<input type="checkbox"/>	Encajamientos	<input type="checkbox"/>
Encajamientos	<input type="checkbox"/>	Inflexiones	<input type="checkbox"/>
Solapes	<input type="checkbox"/>	Difluencias	<input type="checkbox"/>
		Cambios bruscos en el perfil	<input type="checkbox"/>

GEOFISICA

FALLA DETECTADA POR ESTE METODO	X
---------------------------------	---

RUMBO PROB.	NNW	BUZ. PROB.	al E
LONG. PROB.	27 km	TIPO PROB.	normal

Por el metodo	Electrico	<input checked="" type="checkbox"/>
	Sismico	<input type="checkbox"/>
	Gravimetrico	<input checked="" type="checkbox"/>

Profundidad de la estructura	
Edad mat. a los que afecta	Plioceno

**GEOTERMISMO/VOLCANISMO ASOCIADO**

Volcanismo	Quimismo o clase <i>calco-alkalino</i>	Geotermismo	Manantiales	<input type="checkbox"/>	Temperatura	2 V2°
	Edad absoluta <i>27 ma</i>		Sondeo	<input checked="" type="checkbox"/>	Profundidad	

**SISMICIDAD ASOCIADA**

HISTORICA

Nº SISMOS \_\_\_\_\_

INTENS. MAX. \_\_\_\_\_

ISOSISTAS \_\_\_\_\_

Relación con la estructura:

INSTRUMENTAL

B	Nº SISMOS <i>1</i>	MAGNITUDES MAX. <i>3.9</i>	
P	PROFUNDIDADES MEDIAS _____	REPLICAS _____	
M	RUMBO DE LAS MISMAS <i>r</i>	ERROR EPICENTRO <i>12</i>	ERROR PROF. <i>18</i>

CORRELACION CON LA FALLA B

B (Buena)

P (Probable)

M (Mala)

CLASE DE ACTIVIDAD

- APECTA AL CUATERNARIO
- APECTA A LA MORFOLOGIA
- ASOCIADA A SISMICIDAD
- GEOTERMISMO

	SI	NO	?	CLASIFICACION SEGUN TABLA I
APECTA AL CUATERNARIO		x		<div style="border: 1px solid black; padding: 5px; width: fit-content; margin: 0 auto;">                     I-III                 </div>
APECTA A LA MORFOLOGIA	x			
ASOCIADA A SISMICIDAD			x	
GEOTERMISMO	x			

**FICHA DE FALLA**

Nº 114 DENOMINACION SITUACION  
 SISTEMA Campo de Cortagena ZONA BETICA  
 FALLA Cortagena DOMINIO \_\_\_\_\_  
 SECTOR Cortagena CUENCA Cortagena  
 Fecha: \_\_\_\_\_ Autor: L. M. Barroca

Para las fallas bien visibles en superficie:

GEOMETRIA

LONGITUD  
RUMBO  
BUZAMIENTO

ANALISIS TECTO/NEO/EVOLUTIVO

Sobre la misma estructura       En estructuras menores asociadas

EDAD DE LOS MATERIALES AFECTADOS	TIPIFICACION				REGIMEN TECTONICO		ESFUERZOS	SALTOS	
	NORMAL	DESGARRE		INVERSA	COMPRESION	DISTENSION	DIRECCION DE $\sigma_1$ , $0$ $\sigma_3$ EN LA HORIZONTAL	EN	EN
	MIXTA	L	D	MIXTA				HORIZ.	VERT
PRE-TORT.									
TORT-INF.									
TORT-SUP.									
MESSIN.									
PLIOCENO									
PLIO-CUAT.									
CUATERNARIO									

ASPECTO Y NATURALEZA DE LOS MAT. AFECTADOS

EL RELLENO

-Relación con las estructuras mayores o con otras fallas importantes:

Analisis realizado por:

Para todas las fallas

TECTO-SEDIMENTACION

FALLA DETECTADA POR ESTE METODO	SI	<input checked="" type="checkbox"/>
	NO	<input type="checkbox"/>

RUMBO PROB.	ENE	BUZ. PROB.	CL SUR
LONG. PROB.	18 KM	TIPO PROB.	

Breve descripción de la influencia en las características de la sedimentación y edad de los materiales  
*condiciona la sedimentación del Pleoceno*

GEOMORFOLOGIA

FALLA DETECTADA POR ESTE METODO	<input checked="" type="checkbox"/>
SE OBSERVA COMO LINEAMIENTO?	<input checked="" type="checkbox"/>

RUMBO PROB.		BUZ. PROB.	
LONG. PROB.		TIPO PROB.	

ANOMALIAS GEOMORFOLOGICAS LIGADAS Y/O PROB. LIGADAS

EN EL RELIEVE O LADERAS

Escarpe de fallas	<input type="checkbox"/>
Caras afacetadas	<input type="checkbox"/>
Basculamientos	<input checked="" type="checkbox"/>
Encajamientos	<input type="checkbox"/>
Solapes	<input type="checkbox"/>

EN LA RED HIDROG.

Valles colgados	<input type="checkbox"/>
Capturas	<input type="checkbox"/>
Encajamientos	<input type="checkbox"/>
Inflexiones	<input type="checkbox"/>
Difluencias	<input type="checkbox"/>
Cambios bruscos en el perfil	<input type="checkbox"/>

OTROS

GEOFISICA

FALLA DETECTADA POR ESTE METODO	<input checked="" type="checkbox"/>
---------------------------------	-------------------------------------

RUMBO PROB.	ENE	BUZ. PROB.	S.
LONG. PROB.	18 KM	TIPO PROB.	

Por el metodo	Electrico	<input checked="" type="checkbox"/>
	Sismico	<input type="checkbox"/>
	Gravimetrico	<input checked="" type="checkbox"/>

Profundidad de la estructura

Edad mat. a los que afecta

<i>Plioceno</i>

**GEOTERMISMO/VOLCANISMO ASOCIADO**

Volcanismo	Quimismo o clase <u>calco-alkalino</u> <u>felsico</u>	Geotermismo	Manantiales	<input type="checkbox"/>	Temperatura	32°
	Edad absoluta <u>~ 7 m.a</u>		Sondeo	<input checked="" type="checkbox"/>	Profundidad	

**SISMICIDAD ASOCIADA**

HISTORICA

No SISMOS \_\_\_\_\_  
 INTENS. MAX. \_\_\_\_\_  
 ISOSISTAS \_\_\_\_\_  
 Relación con la estructura:

INSTRUMENTAL

CORRELACION	B	NO SISMOS _____	MAGNITUDES MAX. _____
	P	PROFUNDIDADES MEDIAS _____	REPLICAS _____
	M	RUMBO DE LAS MISMAS _____	ERROR EPICENTRO _____
		ERROR PROF. _____	

CORRELACION CON LA FALLA

B	B (Buena)
P	P (Probable)
M	M (Mala)

CLASE DE ACTIVIDAD

- Afecta al Cuaternario
- Afecta a la morfología
- Asociada a sismicidad
- Geotermismo

	SI	NO	?	CLASIFICACION		
				SEGUN	TABLA	I
Afecta al Cuaternario		X				
Afecta a la morfología	X					
Asociada a sismicidad		X				
Geotermismo	X					



**FICHA DE FALLA**

Nº 115 DENOMINACION SITUACION  
 SISTEMA LORCA-ALHAMA ZONA BETIC  
 FALLA Ranbla Comares - Pt. Lumbreras DOMINIO \_\_\_\_\_  
 SECTOR Pta. Lumbreras CUENCA GUADALENTIA  
 Fecha: \_\_\_\_\_ Autor: P. Silva

Para las fallas bien visibles en superficie:

**GEOMETRIA**

LONGITUD 8,35 Km.  
 RUMBO N 36° E  
 BUZAMIENTO > 45° SE

**ANALISIS TECTO/NEO/EVOLUTIVO**

Sobre la misma estructura       En estructuras menores asociadas

EDAD DE LOS MATERIALES AFECTADOS	TIPIFICACION				REGIMEN TECTONICO		ESFUERZOS DIRECCION DE $\sigma_1$ O $\sigma_2$ EN LA HORIZONTAL	SALTOS	
	NORMAL	DESGARRE		INVERSA	COMPRESION	DISTENSION		EN HORIZ.	EN VERT.
		MIXTA	L D	MIXTA					
PRE-TORT.									
TORT-INF.									
TORT-SUP.				x					
MESSIN.				x					
PLIOCENO				x					
PLIO-CUAT.				x ?					
CUATERNARIO			x →	x ?		x			

ASPECTO Y NATURALEZA DE LOS MAT. AFECTADOS

EL RELLENO

-Relación con las estructuras mayores o con otras fallas importantes:

Analisis realizado por:

idem.

Para todas las fallas

TECTO-SEDIMENTACION

FALLA DETECTADA POR ESTE METODO	SI	RUMBO PROB.	BUZ. PROB.
	NO	LONG. PROB.	TIPO PROB.

Breve descripción de la influencia en las características de la sedimentación y edad de los materiales

GEOMORFOLOGIA

FALLA DETECTADA POR ESTE METODO	SI	RUMBO PROB.	N 36° E	BUZ. PROB.	> 45° SE
SE OBSERVA COMO LINEAMIENTO?	SI	LONG. PROB.	7.9 km	TIPO PROB.	INVERSA - DIFUSIONAL

ANOMALIAS GEOMORFOLOGICAS LIGADAS Y/O PROB. LIGADAS

EN EL RELIEVE O LADERAS

EN LA RED HIDROG.

OTROS

Escarpe de fallas	<input checked="" type="checkbox"/>	Valles colgados	<input type="checkbox"/>
Caras afacetadas	<input checked="" type="checkbox"/>	Capturas	<input type="checkbox"/>
Basculamientos	<input checked="" type="checkbox"/>	Encajamientos	<input type="checkbox"/>
Encajamientos	<input type="checkbox"/>	Inflexiones	<input checked="" type="checkbox"/>
Solapes	<input checked="" type="checkbox"/>	Difluencias	<input type="checkbox"/>
		Cambios bruscos en el perfil	<input checked="" type="checkbox"/>

GEOFISICA

FALLA DETECTADA POR ESTE METODO	SI	RUMBO PROB.	BUZ. PROB.
		LONG. PROB.	TIPO PROB.

Por el metodo	Electrico	<input checked="" type="checkbox"/>
	Sismico	<input type="checkbox"/>
	Gravimetrico	<input type="checkbox"/>

Profundidad de la estructura	
Edad mat. a los que afecta	

**GEOTERMISMO/VOLCANISMO ASOCIADO**

Volcanismo	Quimismo o clase _____	Geotermismo	Manantiales	<input type="text"/>	Temperatura	<input type="text"/>
	Edad absoluta _____		Sondeo	<input type="text"/>	Profundidad	<input type="text"/>

**SISMICIDAD ASOCIADA**

HISTORICA

Nº SISMOS \_\_\_\_\_

INTENS. MAX. \_\_\_\_\_

ISOSISTAS \_\_\_\_\_

Relación con la estructura:

INSTRUMENTAL

CORRELACION	B	Nº SISMOS _____	MAGNITUDES MAX. _____
	P	PROFUNDIDADES MEDIAS _____	REPLICAS _____
	M	RUMBO DE LAS MISMAS _____	
		ERROR EPICENTRO _____	ERROR PROF. _____

CORRELACION CON LA FALLA B

<input type="text"/>	B (Buena)
<input type="text"/>	P (Probable)
<input type="text"/>	M (Mala)


CLASE DE ACTIVIDAD

APECTA AL CUATERNARIO

APECTA A LA MORFOLOGIA

ASOCIADA A SISMICIDAD

GEOTERMISMO

	SI	NO	?	CLASIFICACION SEGUN TABLA I
APECTA AL CUATERNARIO	x			
APECTA A LA MORFOLOGIA	x			
ASOCIADA A SISMICIDAD			x	
GEOTERMISMO	x			



### FICHA DE FALLA

Nº 116 DENOMINACION \_\_\_\_\_ SITUACION \_\_\_\_\_  
 SISTEMA LORCA - ALHAMA ZONA \_\_\_\_\_  
 FALLA Barqueros. DOMINIO \_\_\_\_\_  
 SECTOR \_\_\_\_\_ CUENCA MULA  
 Fecha: \_\_\_\_\_ Autor: L. M. Barroco

Para las fallas bien visibles en superficie:

GEOMETRIA

LONGITUD 20 km  
 RUMBO UNE  
 BUZAMIENTO \_\_\_\_\_

ANALISIS TECTO/NEO/EVOLUTIVO

Sobre la misma estructura       En estructuras menores asociadas

EDAD DE LOS MATERIALES AFECTADOS	TIPIFICACION				REGIMEN TECTONICO		ESFUERZOS	SALTOS	
	NORMAL	DESGARRE		INVERSA	COMPRESION	DISTENSION	DIRECCION DE $\sigma_1$ 0 $\sigma_2$ EN LA HORIZONTAL	EN	EN
	MIXTA	L	D	MIXTA				HORIZ.	VERT
PRE-TORT.									
TORT-INF.									
TORT-SUP.									
MESSIN.									
PLIOCENO									
PLIO-CUAT.									
CUATERNARIO									

ASPECTO Y NATURALEZA DE LOS MAT. AFECTADOS

EL RELLENO

-Relación con las estructuras mayores o con otras fallas importantes:

Analisis realizado por:

Para todas las fallas

TECTO-SEDIMENTACION

FALLA DETECTADA POR ESTE METODO	SI	RUMBO PROB.	BUZ. PROB.
	NO	LONG. PROB.	TIPO PROB.

Breve descripción de la influencia en las características de la sedimentación y edad de los materiales

GEOMORFOLOGIA

FALLA DETECTADA POR ESTE METODO	RUMBO PROB.	BUZ. PROB.
SE OBSERVA COMO LINEAMIENTO?	LONG. PROB.	TIPO PROB.

ANOMALIAS GEOMORFOLOGICAS LIGADAS Y/O PROB. LIGADAS

EN EL RELIEVE O LADERAS

EN LA RED HIDROG.

OTROS

Escarpe de fallas  
Caras afacetadas  
Basculamientos  
Encajamientos  
Solapes


Valles colgados  
Capturas  
Encajamientos  
Inflexiones  
Difluencias  
Cambios bruscos en el perfil


GEOFISICA

FALLA DETECTADA POR ESTE METODO	X
---------------------------------	---

RUMBO PROB.	NNE	BUZ. PROB.	S.
LONG. PROB.	20 km	TIPO PROB.	normal - mixta

Por el metodo	Electrico	X ?
	Sismico	X
	Gravimetrico	

Profundidad de la estructura  
Edad mat. a los que afecta

1-2 km.
Mioc. Sup y Plioceno

GEOTERMISMO/VOLCANISMO ASOCIADO

Volcanismo	Quimismo o clase <u>Lamproites</u>	Geotermismo	Manantiales	<input type="checkbox"/>	Temperatura	<input type="text"/>
	Edad absoluta <u>26.6 M.A</u>		Sondeo	<input type="checkbox"/>	Profundidad	<input type="text"/>

SISMICIDAD ASOCIADA

HISTORICA

No SISMOS 1

INTENS. MAX. V<sub>1</sub>

ISOSISTAS \_\_\_\_\_

Relación con la estructura:

INSTRUMENTAL

B	NOSISMOS <u>3</u>	MAGNITUDES MAX. <u>3.2</u>	
P	PROPUNDDIDADES MEDIAS <u>&gt; 5</u>	REPLICAS _____	
M	RUMBO DE LAS MISMAS _____	ERROR EPICENTRO <u>&gt; 2</u>	ERROR PROF. <u>&gt; 3</u>

CORRELACION CON LA FALLA

B	<input checked="" type="checkbox"/>
P	<input type="checkbox"/>
M	<input type="checkbox"/>


B (Buena)

P (Probable)

M (Mala)

CLASE DE ACTIVIDAD

- APECTA AL CUATERNARIO
- APECTA A LA MORFOLOGIA
- ASOCIADA A SISMICIDAD
- GEOTERMISMO

	SI	NO	?	CLASIFICACION SEGUN TABLA I
APECTA AL CUATERNARIO			x	<div style="border: 1px solid black; padding: 10px; display: inline-block;">  </div>
APECTA A LA MORFOLOGIA	x			
ASOCIADA A SISMICIDAD	x			
GEOTERMISMO		x		

**FICHA DE FALLA**

Nº 117 DENOMINACION SISTEMA LORCA-ALMANA SITUACION ZONA BETICA  
 FALLA Tercia Septentrional DOMINIO \_\_\_\_\_  
 SECTOR Clavac CUENCA LORCA  
 Fecha: \_\_\_\_\_ Autor: P. Silva

Para las fallas bien visibles en superficie:

GEOMETRIA

LONGITUD 4.3 km  
 RUMBO N67°E  
 BUZAMIENTO >45°NW

ANALISIS TECTO/NEO/EVOLUTIVO

Sobre la misma estructura       En estructuras menores asociadas

EDAD DE LOS MATERIALES AFECTADOS	TIPIFICACION				REGIMEN TECTONICO		ESFUERZOS	SALTOS	
	NORMAL	DESGARRE		INVERSA	COMPRESION	DISTENSION	DIRECCION DE $\sigma_1$ , $0$ $\sigma_3$ EN LA HORIZONTAL	EN	EN
	MIXTA	L	D	MIXTA				HORIZ.	VERT
PRE-TORT.									
TORT-INF.									
TORT-SUP.									
MESSIN.									
PLIOCENO									
PLIO-CUAT.									
CUATERNARIO									

ASPECTO Y NATURALEZA DE LOS MAT. AFECTADOS

EL RELLENO

-Relación con las estructuras mayores o con otras fallas importantes:

Analisis realizado por:

Idem.

Para todas las fallas

TECTO-SEDIMENTACION

FALLA DETECTADA POR ESTE METODO	SI
	NO

RUMBO PROB.		BUZ. PROB.	
LONG. PROB.		TIPO PROB.	

Breve descripción de la influencia en las características de la sedimentación y edad de los materiales

GEOMORFOLOGIA

FALLA DETECTADA POR ESTE METODO	SI
SE OBSERVA COMO LINEAMIENTO?	

RUMBO PROB.	N67°E	BUZ. PROB.	~ 45° NW
LONG. PROB.	4.3 km	TIPO PROB.	diagonal

ANOMALIAS GEOMORFOLOGICAS LIGADAS Y/O PROB. LIGADAS

EN EL RELIEVE O LADERAS

Escarpe de fallas	<input type="checkbox"/>
Caras afacetadas	<input type="checkbox"/>
Basculamientos	<input type="checkbox"/>
Encajamientos	<input type="checkbox"/>
Solapes	<input type="checkbox"/>

EN LA RED HIDROG.

Valles colgados	<input type="checkbox"/>
Capturas	<input checked="" type="checkbox"/>
Encajamientos	<input type="checkbox"/>
Inflexiones	<input checked="" type="checkbox"/>
Difluencias	<input type="checkbox"/>
Cambios bruscos en el perfil	<input type="checkbox"/>

OTROS

Cauces obrepasados.

GEOFISICA

FALLA DETECTADA POR ESTE METODO	
---------------------------------	--

RUMBO PROB.		BUZ. PROB.	
LONG. PROB.		TIPO PROB.	

Por el metodo	Electrico	<input type="checkbox"/>
	Sismico	<input type="checkbox"/>
	Gravimetrico	<input type="checkbox"/>

Profundidad de la estructura	<input type="text"/>
Edad mat. a los que afecta	<input type="text"/>

GEOTERMISMO/VOLCANISMO ASOCIADO

Volcanismo	Quimismo o clase _____ Geotermismo Edad absoluta _____	Manantiales Sondeo	Temperatura Profundidad	<input style="width: 100%; height: 20px;" type="text"/> <input style="width: 100%; height: 20px;" type="text"/>
------------	---	-----------------------	----------------------------	--

SISMICIDAD ASOCIADA

HISTORICA

Nº SISMOS \_\_\_\_\_  
 INTENS. MAX. \_\_\_\_\_  
 ISOSISTAS \_\_\_\_\_  
 Relación con la estructura:

INSTRUMENTAL

	CORRELACION	B	NOSISMOS _____	MAGNITUDES MAX. _____
	P		PROPUNDDIDADES MEDIAS _____	REPLICAS _____
	M		RUMBO DE LAS MISMAS _____	ERROR EPICENTRO _____
			ERROR PROF. _____	

CORRELACION CON LA FALLA

	B	B (Buena)
	P	P (Probable)
	M	M (Mala)

CLASE DE ACTIVIDAD

- APECTA AL CUATERNARIO
- APECTA A LA MORFOLOGIA
- ASOCIADA A SISMICIDAD
- GEOTERMISMO

	SI	NO	?	CLASIFICACION SEGUN TABLA I
APECTA AL CUATERNARIO		X		<div style="border: 1px solid black; padding: 10px; width: fit-content; margin: 0 auto;">                     D-1                 </div>
APECTA A LA MORFOLOGIA	X			
ASOCIADA A SISMICIDAD			X	
GEOTERMISMO		X		

### FICHA DE FALLA

Nº 118 DENOMINACION \_\_\_\_\_ SITUACION \_\_\_\_\_  
 SISTEMA \_\_\_\_\_ ZONA BATICA  
 FALLA Catalar DOMINIO \_\_\_\_\_  
 SECTOR Fortuna CUENCA Fortuna  
 Fecha: \_\_\_\_\_ Autor: L.M. Baranco

Para las fallas bien visibles en superficie:

GEOMETRIA

LONGITUD 6 km  
 RUMBO N-S  
 BUZAMIENTO \_\_\_\_\_

ANALISIS TECTO/NEO/EVOLUTIVO

Sobre la misma estructura       En estructuras menores asociadas

EDAD DE LOS MATERIALES AFECTADOS	TIPIFICACION				REGIMEN TECTONICO		ESFUERZOS	SALTOS	
	NORMAL	DESGARRE		INVERSA	COMPRESION	DISTENSION	DIRECCION DE $\sigma_1$ O $\sigma_2$ EN LA HORIZONTAL	EN	EN
		MIXTA	L					D	MIXTA
PRE-TORT.									
TORT-IMP.									
TORT-SUP.									
MESSIN.	x	x	x		x		$\sigma_1 \approx N-S$		
PLIOCENO			x		x		$\sigma_1 N115^\circ E$		
PLIO-CUAT.									
CUATERNARIO			x		x		$\sigma_1 \approx N150^\circ E$		

ASPECTO Y NATURALEZA DE LOS MAT. AFECTADOS

Afecta a los yesos púrpura-rosados y controla la erupción volcánica de Cabezo Negro.

EL RELLENO

-Relación con las estructuras mayores o con otras fallas importantes:

Conecta las fallas de Abanilla y Morca N. o sea las de Morca-Alhama y Nord-batica

Análisis realizado por:

idem

Para todas las fallas

TECTO-SEDIMENTACION

FALLA DETECTADA POR ESTE METODO	SI	<input checked="" type="checkbox"/>
	NO	<input type="checkbox"/>

RUMBO PROB.		BUZ. PROB.	
LONG. PROB.		TIPO PROB.	

Breve descripción de la influencia en las características de la sedimentación y edad de los materiales  
 En el Messiniense sup. se pone la sedimentación. En el terminal afecta a los yesos y en el Plioceno y Cuaternario determina la disposición de lomos y zonas pantanosas.

GEOMORFOLOGIA

FALLA DETECTADA POR ESTE METODO	<input checked="" type="checkbox"/>
SE OBSERVA COMO LINEAMIENTO?	<input checked="" type="checkbox"/>

RUMBO PROB.		BUZ. PROB.	
LONG. PROB.		TIPO PROB.	

ANOMALIAS GEOMORFOLOGICAS LIGADAS Y/O PROB. LIGADAS

EN EL RELIEVE O LADERAS

EN LA RED HIDROG.

OTROS

- Escarpe de fallas
- Caras afacetadas
- Basculamientos
- Encajamientos
- Solapes

- Valles colgados
- Capturas
- Encajamientos
- Inflexiones
- Difluencias
- Cambios bruscos en el perfil

GEOFISICA

FALLA DETECTADA POR ESTE METODO	<input checked="" type="checkbox"/>
---------------------------------	-------------------------------------

RUMBO PROB.		BUZ. PROB.	
LONG. PROB.		TIPO PROB.	

- Por el metodo
- Electrico
  - Sismico
  - Gravimetrico

Profundidad de la estructura   
 Edad mat. a los que afecta



**GEOTERMISMO/VOLCANISMO ASOCIADO**

Volcanismo	Quimismo o clase <u>Lamproitas</u>	Geotermismo	Manantiales	[ ]	Temperatura	[ ]
	Edad absoluta <u>26.1 m.a</u>		Sondeo	[ ]	Profundidad	[ ]

**SISMICIDAD ASOCIADA**

HISTORICA

Nº SISMOS 3 CORRELACION B [ ]  
 INTENS. MAX. VII P [x]  
 ISOSISTAS 1944-1958-1964 M [ ]  
 Relación con la estructura: Clara

INSTRUMENTAL

Nº SISMOS 5 MAGNITUDES MAX. 3.2 (3.8?)  
 PROFUNDIDADES MEDIAS 5-18 km. REPLICAS \_\_\_\_\_  
 RUMBO DE LAS MISMAS \_\_\_\_\_  
 ERROR EPICENTRO 2 ERROR PROF. 4

CORRELACION CON LA FALLA B [x] B (Buena)  
 P [ ] P (Probable)  
 M [ ] M (Mala)

CLASE DE ACTIVIDAD

	SI	NO	?	CLASIFICACION SEGUN TABLA I		
	APECTA AL CUATERNARIO			x	<div style="border: 1px solid black; padding: 5px; display: inline-block;">                     A-VII                      →                 </div>	
APECTA A LA MORFOLOGIA	x					
ASOCIADA A SISMICIDAD	x					
GEOTERMISMO		x				

**FICHA DE FALLA**

Nº 119 DENOMINACION SISTEMA CUNA DE AGUILAS SITUACION ZONA BETICA  
 FALLA EL Cental DOMINIO \_\_\_\_\_  
 SECTOR \_\_\_\_\_ CUENCA Cape  
 Fecha: \_\_\_\_\_ Autor: T. Bardaji

Para las fallas bien visibles en superficie:

**GEOMETRIA**

LONGITUD > 3 km  
 RUMBO N60°E  
 BUZAMIENTO

**ANALISIS TECTO/NEO/EVOLUTIVO**

Sobre la misma estructura       En estructuras menores asociadas

EDAD DE LOS MATERIALES AFECTADOS	TIPIFICACION				REGIMEN TECTONICO		ESFUERZOS	SALTOS	
	NORMAL	DESGARRE		INVERSA	COMPRESION	DISTENSION	DIRECCION DE $\sigma_1$ O $\sigma_3$ EN LA HORIZONTAL	EN	EN
	MIXTA	L	D	MIXTA				HORIZ.	VERT
PRE-TORT.									
TORT-INF.									
TORT-SUP.									
MESSIN.									
PLIOCENO									
PLIO-CUAT.									
CUATERNARIO		x	*			x	$\sigma_1 \approx 180^\circ$		

**ASPECTO Y NATURALEZA DE LOS MAT. AFECTADOS**

Afecta a la albarricos aluviales Cuaternaria, que se disponen solapados. Esta fractura forma un frente de superposición de depósitos Cuaternaria

**EL RELLENO**

-Relación con las estructuras mayores o con otras fallas importantes:

Esta estructura esta "cortada" por la falla de la Rambla de la Galera.

Analisis realizado por:

Para todas las fallas

TECTO-SEDIMENTACION

FALLA DETECTADA POR ESTE METODO	SI	<input checked="" type="checkbox"/>
	NO	<input type="checkbox"/>

RUMBO PROB.	60°E	BUZ. PROB.	
LONG. PROB.		TIPO PROB.	

Breve descripción de la influencia en las características de la sedimentación y edad de los materiales  
*Activa como frente de escarpe por los depósitos de aluviones aluviales cuaternarios*

GEOMORFOLOGIA

FALLA DETECTADA POR ESTE METODO	<input checked="" type="checkbox"/>
SE OBSERVA COMO LINEAMIENTO?	<input type="checkbox"/>

RUMBO PROB.	60°E	BUZ. PROB.	
LONG. PROB.		TIPO PROB.	

ANOMALIAS GEOMORFOLOGICAS LIGADAS Y/O PROB. LIGADAS

EN EL RELIEVE O LADERAS

Escarpe de fallas	<input checked="" type="checkbox"/>
Caras afacetadas	<input checked="" type="checkbox"/>
Basculamientos	<input checked="" type="checkbox"/>
Encajamientos	<input type="checkbox"/>
Solapes	<input checked="" type="checkbox"/>

EN LA RED HIDROG.

Valles colgados	<input type="checkbox"/>
Capturas	<input type="checkbox"/>
Encajamientos	<input type="checkbox"/>
Inflexiones	<input type="checkbox"/>
Difluencias	<input type="checkbox"/>
Cambios bruscos en el perfil	<input checked="" type="checkbox"/>

OTROS

<input type="checkbox"/>
<input type="checkbox"/>
<input type="checkbox"/>
<input type="checkbox"/>
<input type="checkbox"/>
<input type="checkbox"/>
<input type="checkbox"/>

GEOFISICA

FALLA DETECTADA POR ESTE METODO	<input type="checkbox"/>
---------------------------------	--------------------------

RUMBO PROB.		BUZ. PROB.	
LONG. PROB.		TIPO PROB.	

Por el metodo	Electrico	<input type="checkbox"/>
	Sismico	<input type="checkbox"/>
	Gravimetrico	<input type="checkbox"/>

Profundidad de la estructura	<input type="checkbox"/>
Edad mat. a los que afecta	<input type="checkbox"/>

**GOTERMISMO/VOLCANISMO ASOCIADO**

Volcanismo	Quimismo o clase _____	Geotermismo	Manantiales	<input type="text"/>	Temperatura	<input type="text"/>
	Edad absoluta _____		Sondeo	<input type="text"/>	Profundidad	<input type="text"/>

**SISMICIDAD ASOCIADA**

HISTORICA

Nº SISMOS \_\_\_\_\_  
 INTENS. MAX. \_\_\_\_\_  
 ISOSISTAS \_\_\_\_\_  
 Relación con la estructura:

CORRELACION B

P  
 M

INSTRUMENTAL

Nº SISMOS \_\_\_\_\_ MAGNITUDES MAX. \_\_\_\_\_  
 PROFUNDIDADES MEDIAS \_\_\_\_\_ REPLICAS \_\_\_\_\_  
 RUMBO DE LAS MISMAS \_\_\_\_\_  
 ERROR EPICENTRO \_\_\_\_\_ ERROR PROF. \_\_\_\_\_

CORRELACION CON LA FALLA B

P  
 M

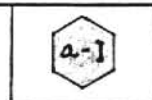
B (Buena)  
 P (Probable)  
 M (Mala)

CLASE DE ACTIVIDAD

APECTA AL CUATERNARIO  
 APECTA A LA MORFOLOGIA  
 ASOCIADA A SISMICIDAD  
 GOTERMISMO

	SI	NO	?
APECTA AL CUATERNARIO	X		
APECTA A LA MORFOLOGIA	X		
ASOCIADA A SISMICIDAD			X
GOTERMISMO		X	

CLASIFICACION  
 SEGUN TABLA I



**FICHA DE FALLA**

Nº 120 DENOMINACION SITUACION  
 SISTEMA CUÑA de AGUILAS ZONA BETICA  
 FALLA Garrovilla DOMINIO \_\_\_\_\_  
 SECTOR Cope CUENCA Cope  
 Fecha: \_\_\_\_\_ Autor: T. Bardaji

Para las fallas bien visibles en superficie:

GEOMETRIA

LONGITUD > 3 Km  
 RUMBO N20°E  
 BUZAMIENTO

ANALISIS TECTO/NEO/EVOLUTIVO

Sobre la misma estructura       En estructuras menores asociadas

EDAD DE LOS MATERIALES AFECTADOS	TIPIFICACION				REGIMEN TECTONICO		ESFUERZOS	SALTOS	
	NORMAL	DESGARRE		INVERSA	COMPRESION	DISTENSION	DIRECCION DE $\sigma_1, 0 \sigma_3$ EN LA HORIZONTAL	EN	EN
	MIXTA	L	D	MIXTA				HORIZ.	VERT
PRE-TORT.									
TORT-INF.									
TORT-SUP.									
MESSIN.									
PLIOCENO									
PLIO-CUAT.									
CUATERNARIO	X								

ASPECTO Y NATURALEZA DE LOS MAT. AFECTADOS

Afecta como flexura a los límites de los niveles del mar durante el Cuaternario, así como marca la actual línea de costa en el sector de Cope, entre el Sombrerío y Playa Larga.

EL RELLENO

-Relación con las estructuras mayores o con otras fallas importantes:

Analisis realizado por:

Idem.

Para todas las fallas

TECTO-SEDIMENTACION

FALLA DETECTADA POR ESTE METODO	SI	<input checked="" type="checkbox"/>	RUMBO PROB.	N20°E	BUZ. PROB.	
	NO	<input type="checkbox"/>	LONG. PROB.		TIPO PROB.	

Breve descripción de la influencia en las características de la sedimentación y edad de los materiales  
 marca los límites transgresivos durante el cuaternario, desde el Pleist. inferior hasta el Superior. Marca los límites de costa actual

GEOMORFOLOGIA

FALLA DETECTADA POR ESTE METODO	<input checked="" type="checkbox"/>	RUMBO PROB.	N20°E	BUZ. PROB.	SE
	SE OBSERVA COMO LINEAMIENTO?	<input checked="" type="checkbox"/>	LONG. PROB.		TIPO PROB.

ANOMALIAS GEOMORFOLOGICAS LIGADAS Y/O PROB. LIGADAS

EN EL RELIEVE O LADERAS

Escarpe de fallas	<input type="checkbox"/>
Caras afacetadas	<input type="checkbox"/>
Basculamientos	<input checked="" type="checkbox"/>
Encajamientos	<input type="checkbox"/>
Solapes	<input type="checkbox"/>

EN LA RED HIDROG.

Valles colgados	<input type="checkbox"/>
Capturas	<input type="checkbox"/>
Encajamientos	<input type="checkbox"/>
Inflexiones	<input checked="" type="checkbox"/>
Difluencias	<input type="checkbox"/>
Cambios bruscos en el perfil	<input type="checkbox"/>

OTROS

marca el límite de las cuerdas de los materiales cuaternarios

GEOFISICA

FALLA DETECTADA POR ESTE METODO	<input checked="" type="checkbox"/>	RUMBO PROB.	NE	BUZ. PROB.	
		LONG. PROB.	> 3 km	TIPO PROB.	

Por el metodo	Electrico	<input checked="" type="checkbox"/>
	Sismico	<input type="checkbox"/>
	Gravimetrico	<input type="checkbox"/>

Profundidad de la estructura	> 100 m
Edad mat. a los que afecta	Plioceno

**GEOTERMISMO/VOLCANISMO ASOCIADO**

Volcanismo	Quimismo o clase _____ Geotermismo Edad absoluta _____	Manantiales  Sondeo	<input style="width: 100%; height: 100%;" type="text"/> <input style="width: 100%; height: 100%;" type="text"/>	Temperatura  Profundidad
------------	---	---------------------------	--	--------------------------------

**SISMICIDAD ASOCIADA**

HISTORICA

Nº SISMOS \_\_\_\_\_  
 INTENS. MAX. \_\_\_\_\_  
 ISOSISTAS \_\_\_\_\_  
 Relación con la estructura:

INSTRUMENTAL

CORRELACION B	B	Nº SISMOS _____	MAGNITUDES MAX. _____
P	P	PROPUNDADES MEDIAS _____	REPLICAS _____
M	M	RUMBO DE LAS MISMAS _____	ERROR PROF. _____
		ERROR EPICENTRO _____	

CORRELACION CON LA FALLA B

B	B (Buena)
P	P (Probable)
M	M (Mala)

CLASE DE ACTIVIDAD

- AFECTA AL CUATERNARIO
- AFECTA A LA MORFOLOGIA
- ASOCIADA A SISMICIDAD
- GEOTERMISMO

	SI	NO	?	CLASIFICACION SEGUN TABLA I
AFECTA AL CUATERNARIO	×			
AFECTA A LA MORFOLOGIA	×			
ASOCIADA A SISMICIDAD			×	
GEOTERMISMO		×		

### FICHA DE FALLA

Nº 121 DENOMINACION SISTEMA FALLA SECTOR Fecha:  
NOAD - BETICO Los Calleros W. cuenca de Lorca  
SITUACION ZONA DOMINIO CUENCA Autor:  
BETICA Lorca P. Silva

Para las fallas bien visibles en superficie:

**GEOMETRIA**

LONGITUD 2-45 km.  
 RUMBO N 37° E  
 BUZAMIENTO < 45° SE

**ANALISIS TECTO/NEO/EVOLUTIVO**

Sobre la misma estructura
  En estructuras menores asociadas

EDAD DE LOS MATERIALES AFECTADOS	TIPIFICACION				REGIMEN TECTONICO		ESFUERZOS	SALTOS	
	NORMAL	DESGARRE		INVERSA	COMPRESION	DISTENSION	DIRECCION DE $\sigma_1$ O $\sigma_3$ EN LA HORIZONTAL	EN	EN
	MIXTA	L	D	MIXTA				HORIZ.	VERT
PRE-TORT.									
TORT-INF.									
TORT-SUP.									
MESSIN.									
PLIOCENO	x								
PLIO-CUAT.	x								
CUATERNARIO									

ASPECTO Y NATURALEZA DE LOS MAT. AFECTADOS

EL RELLENO

-Relación con las estructuras mayores o con otras fallas importantes:

Analisis realizado por:  
*idem*



Para todas las fallas

TECTO-SEDIMENTACION

FALLA DETECTADA POR ESTE METODO	SI	
	NO	

RUMBO PROB.		BUZ. PROB.	
LONG. PROB.		TIPO PROB.	

Breve descripción de la influencia en las características de la sedimentación y edad de los materiales

GEOMORFOLOGIA

FALLA DETECTADA POR ESTE METODO	SI
SE OBSERVA COMO LINEAMIENTO?	

RUMBO PROB.	N 37° E	BUZ. PROB.	< 45° SE
LONG. PROB.	2.45 km	TIPO PROB.	normal

ANOMALIAS GEOMORFOLOGICAS LIGADAS Y/O PROB. LIGADAS

EN EL RELIEVE O LADERAS

- Escarpe de fallas
- Caras afacetadas
- Basculamientos
- Encajamientos
- Solapes

EN LA RED HIDROG.

- Valles colgados
- Capturas
- Encajamientos
- Inflexiones
- Difluencias
- Cambios bruscos en el perfil

OTROS

Plano de falla exhumado

GEOFISICA

FALLA DETECTADA POR ESTE METODO	
---------------------------------	--

RUMBO PROB.		BUZ. PROB.	
LONG. PROB.		TIPO PROB.	

- Por el metodo
- Electrico
  - Sismico
  - Gravimetrico

- Profundidad de la estructura
- Edad mat. a los que afecta

GEOTERMISMO/VOLCANISMO ASOCIADO

Volcanismo	Quimismo o clase _____	Geotermismo	Manantiales	<input type="text"/>	Temperatura	<input type="text"/>
	Edad absoluta _____		Sondeo	<input type="text"/>	Profundidad	<input type="text"/>

SISMICIDAD ASOCIADA

HISTORICA

Nº SISMOS \_\_\_\_\_

INTENS. MAX. \_\_\_\_\_

ISOSISTAS \_\_\_\_\_

Relación con la estructura:

CORRELACION B

P

M

INSTRUMENTAL

Nº SISMOS \_\_\_\_\_ MAGNITUDES MAX. \_\_\_\_\_

PROFUNDIDADES MEDIAS \_\_\_\_\_ REPLICAS \_\_\_\_\_

RUMBO DE LAS MISMAS \_\_\_\_\_

ERROR EPICENTRO \_\_\_\_\_ ERROR PROF. \_\_\_\_\_

CORRELACION CON LA FALLA B

P

M

B (Buena)  
P (Probable)  
M (Mala)

CLASE DE ACTIVIDAD

- APECTA AL CUATERNARIO
- APECTA A LA MORFOLOGIA
- ASOCIADA A SISMICIDAD
- GEOTERMISMO

	SI	NO	?	CLASIFICACION SEGUN TABLA I
APECTA AL CUATERNARIO		X		<div style="border: 1px solid black; padding: 5px; display: inline-block;">           a-iv         </div>
APECTA A LA MORFOLOGIA	X			
ASOCIADA A SISMICIDAD		X		
GEOTERMISMO		X		

**FICHA DE FALLA**

No 122 DENOMINACION SITUACION  
SISTEMA SUBBETICO ZONA SUBBETICO  
FALLA Llano de las Cobras DOMINIO MEDIO  
SECTOR CUENCA Lorca  
 Fecha: Autor: P. Silva

Para las fallas bien visibles en superficie:

GEOMETRIA

LONGITUD 9.6 km.  
 RUMBO N 161° E  
 BUZAMIENTO > 45° SW

ANALISIS TECTO/NEO/EVOLUTIVO

Sobre la misma estructura  En estructuras menores asociadas

EDAD DE LOS MATERIALES AFECTADOS	TIPIFICACION				REGIMEN TECTONICO		ESFUERZOS	SALTOS	
	NORMAL	DESGARRE		INVERSA	COMPRESION	DISTENSION	DIRECCION DE $\sigma_1$ O $\sigma_2$ EN LA HORIZONTAL	EN	EN
	MIXTA	L	D	MIXTA				HORIZ.	VERT.
PRE-TORT.									
TORT-INF.									
TORT-SUP.									
MESSIN.									
PLIOCENO									
PLIO-CUAT.	✓?								
CUATERNARIO									

ASPECTO Y NATURALEZA DE LOS MAT. AFECTADOS

EL RELLENO

-Relación con las estructuras mayores o con otras fallas importantes:

Analisis realizado por:

*idem.*

Para todas las fallas

TECTO-SEDIMENTACION

FALLA DETECTADA POR ESTE METODO	SI	RUMBO PROB.	BUZ. PROB.
	NO	LONG. PROB.	TIPO PROB.

Breve descripción de la influencia en las características de la sedimentación y edad de los materiales

GEOMORFOLOGIA

FALLA DETECTADA POR ESTE METODO	SI	RUMBO PROB.	N 161° E	BUZ. PROB.	> 45° SW
SE OBSERVA COMO LINEAMIENTO?		LONG. PROB.	9.6 Km	TIPO PROB.	NORMAL

ANOMALIAS GEOMORFOLOGICAS LIGADAS Y/O PROB. LIGADAS

EN EL RELIEVE O LADERAS

EN LA RED HIDROG.

OTROS

Escarpe de fallas	<input type="checkbox"/>	Valles colgados	<input type="checkbox"/>
Caras afacetadas	<input checked="" type="checkbox"/>	Capturas	<input type="checkbox"/>
Basculamientos	<input checked="" type="checkbox"/>	Encajamientos	<input type="checkbox"/>
Encajamientos	<input type="checkbox"/>	Inflexiones	<input checked="" type="checkbox"/>
Solapes	<input type="checkbox"/>	Difluencias	<input type="checkbox"/>
		Cambios bruscos en el perfil	<input type="checkbox"/>

GEOFISICA

FALLA DETECTADA POR ESTE METODO		RUMBO PROB.	BUZ. PROB.
		LONG. PROB.	TIPO PROB.

Por el metodo	Electrico	<input type="checkbox"/>
	Sismico	<input type="checkbox"/>
	Gravimetrico	<input type="checkbox"/>

Profundidad de la estructura	<input type="text"/>
Edad mat. a los que afecta	<input type="text"/>

GEOTERMISMO/VOLCANISMO ASOCIADO

Volcanismo	Quimismo o clase _____	Geotermismo	Manantiales	<input type="text"/>	Temperatura	<input type="text"/>
	Edad absoluta _____		Sondeo	<input type="text"/>	Profundidad	<input type="text"/>

SISMICIDAD ASOCIADA

HISTORICA

Nº SISMOS \_\_\_\_\_

INTENS. MAX. \_\_\_\_\_

ISOSISTAS \_\_\_\_\_

Relación con la estructura:

INSTRUMENTAL


B	Nº SISMOS <u>1</u>	MAGNITUDES MAX. <u>3.9</u>
P	PROPUNDDIDADES MEDIAS <u>&lt;20 km</u>	REPLICAS _____
M	RUMBO DE LAS MISMAS _____	ERROR EPICENTRO <u>&gt;10 km</u>
		ERROR PROF. <u>&gt;5 km</u>

CORRELACION CON LA FALLA B

B	<input type="checkbox"/>	B (Buena)
P	<input checked="" type="checkbox"/>	P (Probable)
M	<input type="checkbox"/>	M (Mala)

CLASE DE ACTIVIDAD

- APECTA AL CUATERNARIO
- APECTA A LA MORFOLOGIA
- ASOCIADA A SISMICIDAD
- GEOTERMISMO

	SI	NO	?	CLASIFICACION SEGUN TABLA I
APECTA AL CUATERNARIO	X			
APECTA A LA MORFOLOGIA	X			
ASOCIADA A SISMICIDAD	X			
GEOTERMISMO		X		

### FICHA DE FALLA

Nº 123 DENOMINACION SITUACION  
 SISTEMA MAZARRON ZONA Berica  
 FALLA MAZARRON DOMINIO \_\_\_\_\_  
 SECTOR Bolnuevo CUENCA Mazarron  
 Fecha: \_\_\_\_\_ Autor: T. Borda

Para las fallas bien visibles en superficie:

**GEOMETRIA**

LONGITUD > 30 Km.  
 RUMBO N 100-110° E  
 BUZAMIENTO

**ANALISIS TECTO/NEO/EVOLUTIVO**

Sobre la misma estructura       En estructuras menores asociadas

EDAD DE LOS MATERIALES AFECTADOS	TIPIFICACION				REGIMEN TECTONICO		ESFUERZOS	SALTOS	
	NORMAL	DESGARRE		INVERSA	COMPRESION	DISTENSION	DIRECCION DE $\sigma_1$ O $\sigma_3$ EN LA HORIZONTAL	EN HORIZ.	EN VERT.
	MIXTA	L	D	MIXTA					
PRE-TORT.									
TORT-INF.									
TORT-SUP.									
MESSIN.									
PLIOCENO									
PLIO-CUAT.									
CUATERNARIO		x	x						

**ASPECTO Y NATURALEZA DE LOS MAT. AFECTADOS**

Afecta a la sedimentación marino-continental del sector comprendido entre Bolnuevo, Mazarron y Cabo Tiñoso

**EL RELLENO**

-Relación con las estructuras mayores o con otras fallas importantes:

Su desplazamiento durante el Plioceno Superior genera la cuenca de Mazarron, de alta subsidencia durante este periodo.

Analisis realizado por:

Idem.

Para todas las fallas

TECTO-SEDIMENTACION

FALLA DETECTADA POR ESTE METODO	SI	X	RUMBO PROB.	100-110°	BUZ. PROB.	
	NO		LONG. PROB.		TIPO PROB.	

Breve descripción de la influencia en las características de la sedimentación y edad de los materiales  
*Morras Sierritas transgresión durante el Cuaternario en el área entre Mazarrón y Cartagena (Cabo Tenorio).*

GEOMORFOLOGIA

FALLA DETECTADA POR ESTE METODO	X	RUMBO PROB.	N-110°	BUZ. PROB.	
SE OBSERVA COMO LINEAMIENTO?		LONG. PROB.		TIPO PROB.	

ANOMALIAS GEOMORFOLOGICAS LIGADAS Y/O PROB. LIGADAS

EN EL RELIEVE O LADERAS

EN LA RED HIDROG.

OTROS

Escarpe de fallas	<input type="checkbox"/>	Valles colgados	X
Caras afacetadas	<input type="checkbox"/>	Capturas	<input type="checkbox"/>
Basculamientos	X	Encajamientos	<input type="checkbox"/>
Encajamientos	X	Inflexiones	<input type="checkbox"/>
Solapes	X	Difluencias	<input type="checkbox"/>
		Cambios bruscos en el perfil	<input type="checkbox"/>

GEOFISICA

FALLA DETECTADA POR ESTE METODO		RUMBO PROB.		BUZ. PROB.	
		LONG. PROB.		TIPO PROB.	

Por el metodo	Electrico	<input type="checkbox"/>
	Sismico	<input type="checkbox"/>
	Gravimetrico	<input type="checkbox"/>

Profundidad de la estructura	<input type="checkbox"/>
Edad mat. a los que afecta	<input type="checkbox"/>

**GEOTERMISMO/VOLCANISMO ASOCIADO**

Volcanismo	Quimismo o clase _____	Geotermismo	Manantiales	<input type="text"/>	Temperatura	<input type="text"/>
	Edad absoluta _____		Sondeo	<input type="text"/>	Profundidad	<input type="text"/>

**SISMICIDAD ASOCIADA**

HISTORICA

Nº SISMOS \_\_\_\_\_ CORRELACION B

INTENS. MAX. \_\_\_\_\_ P

ISOSISTAS \_\_\_\_\_ M

Relación con la estructura:

INSTRUMENTAL

Nº SISMOS \_\_\_\_\_ MAGNITUDES MAX. \_\_\_\_\_

PROPUNDDIDADES MEDIAS \_\_\_\_\_ REPLICAS \_\_\_\_\_

RUMBO DE LAS MISMAS \_\_\_\_\_


ERROR EPICENTRO \_\_\_\_\_ ERROR PROF. \_\_\_\_\_

CORRELACION CON LA FALLA B

<input type="text"/>	B (Buena)
<input type="text"/>	P (Probable)
<input type="text"/>	M (Mala)

CLASE DE ACTIVIDAD

- AFECTA AL CUATERNARIO
- AFECTA A LA MORFOLOGIA
- ASOCIADA A SISMICIDAD
- GEOTERMISMO

	SI	NO	?	CLASIFICACION SEGUN TABLA I
AFECTA AL CUATERNARIO	x			
AFECTA A LA MORFOLOGIA	x			
ASOCIADA A SISMICIDAD			x	
GEOTERMISMO		x		



**FICHA DE FALLA**

Nº 124 DENOMINACION SITUACION  
 SISTEMA LORCA-ALHAMA ZONA BETICA  
 FALLA N.R. Leboy DOMINIO \_\_\_\_\_  
 SECTOR Rancho Leboy y Venta Melilla CUENCA GUADALENTINA  
 Fecha: \_\_\_\_\_ Autor: P. Silva

Para las fallas bien visibles en superficie:

GEOMETRIA

LONGITUD 3.5 km.  
 RUMBO N 70° E  
 BUZAMIENTO 68° SE

ANALISIS TECTO/NEO/EVOLUTIVO

Sobre la misma estructura       En estructuras menores asociadas

EDAD DE LOS MATERIALES AFECTADOS	TIPIFICACION				REGIMEN TECTONICO		ESFUERZOS	SALTOS	
	NORMAL	DESGARRE		INVERSA	COMPRESION	DISTENSION	DIRECCION DE $\sigma_1$ $\sigma_2$ $\sigma_3$ EN LA HORIZONTAL	EN HORIZ.	EN VERT.
		MIXTA	L						
PRE-TORT.									
TORT-INF.									
TORT-SUP.									
MESSIN.									
PLIOCENO									
PLIO-CUAT.									
CUATERNARIO	x								

ASPECTO Y NATURALEZA DE LOS MAT. AFECTADOS

EL RELLENO

-Relación con las estructuras mayores o con otras fallas importantes:

Analisis realizado por:

*id est*

Para todas las fallas

TECTO-SEDIMENTACION

FALLA DETECTADA POR ESTE METODO	SI	RUMBO PROB.	BUZ. PROB.
	NO	LONG. PROB.	TIPO PROB.

Breve descripción de la influencia en las características de la sedimentación y edad de los materiales

GEOMORFOLOGIA

FALLA DETECTADA POR ESTE METODO	Si	RUMBO PROB.	N35°E	BUZ. PROB.	68°SE
SE OBSERVA COMO LINEAMIENTO?	Si	LONG. PROB.	3.5 km	TIPO PROB.	normal

ANOMALIAS GEOMORFOLOGICAS LIGADAS Y/O PROB. LIGADAS

EN EL RELIEVE O LADERAS		EN LA RED HIDROG.		OTROS
Escarpe de fallas		Valles colgados		
Caras afacetadas	X	Capturas		
Basculamientos	X	Encajamientos		
Encajamientos		Inflexiones		
Solapes	X	Difluencias		
		Cambios bruscos en el perfil		

GEOFISICA

FALLA DETECTADA POR ESTE METODO	Si	RUMBO PROB.	BUZ. PROB.
		LONG. PROB.	TIPO PROB.

Por el metodo	Electrico	X	Profundidad de la estructura	
	Sismico		Edad mat. a los que afecta	
	Gravimetrico			

**GEOTERMISMO/VOLCANISMO ASOCIADO**

Volcanismo	Quimismo o clase _____	Geotermismo	Manantiales	[ ]	Temperatura	[ ]
	Edad absoluta _____		Sondeo	[ ]	Profundidad	[ ]

**SISMICIDAD ASOCIADA**

HISTORICA

Nº SISMOS \_\_\_\_\_

INTENS. MAX. \_\_\_\_\_

ISOSISTAS \_\_\_\_\_

Relación con la estructura:

INSTRUMENTAL

B	CORRELACION	Nº SISMOS <u>1</u>	MAGNITUDES MAX. <u>3.1</u>
P		PROPUNDADES MEDIAS <u>&lt; 20</u>	REPLICAS _____
M		RUMBO DE LAS MISMAS _____	ERROR EPICENTRO <u>6-10</u>
			ERROR PROF. <u>&gt; 5</u>

CORRELACION CON LA FALLA

B	[ X ]	B (Buena)
P	[ ]	P (Probable)
M	[ ]	M (Mala)

CLASE DE ACTIVIDAD

- APECTA AL CUATERNARIO
- APECTA A LA MORFOLOGIA
- ASOCIADA A SISMICIDAD
- GEOTERMISMO

	SI	NO	?	CLASIFICACION SEGUN TABLA I
APECTA AL CUATERNARIO	X			<div style="border: 1px solid black; padding: 5px; display: inline-block;"> <u>A-II</u> ←                 </div>
APECTA A LA MORFOLOGIA	X			
ASOCIADA A SISMICIDAD	X			
GEOTERMISMO		X		

**FICHA DE FALLA**

No /25 DENOMINACION SITUACION  
 SISTEMA LORCA-ALHAMA ZONA BETICA  
 FALLA SISQUILLA DOMINIO \_\_\_\_\_  
 SECTOR TOTUC-ALHAMA CUENCA GUADALENTIA  
 Fecha: \_\_\_\_\_ Autor: P. SILVE

Para las fallas bien visibles en superficie:

**GEOMETRIA**

LONGITUD 3.10 km  
 RUMBO N60° E  
 BUZAMIENTO 545°SE

**ANALISIS TECTO/NEO/EVOLUTIVO**

Sobre la misma estructura       En estructuras menores asociadas

EDAD DE LOS MATERIALES AFECTADOS	TIPIFICACION			REGIMEN TECTONICO		ESFUERZOS	SALTOS	
	NORMAL MIXTA	DESGARRE L D	INVERSA MIXTA	COMPRESION	DISTENSION	DIRECCION DE $\sigma_1$ , $0$ $\sigma_3$ EN LA HORIZONTAL	EN HORIZ.	EN VERT.
PRE-TORT.								
TORT-INF.								
TORT-SUP.								
MESSIN.								
PLIOCENO								
PLIO-CUAT.								
CUATERNARIO	x							

ASPECTO Y NATURALEZA DE LOS MAT. AFECTADOS

EL RELLENO

Relación con las estructuras mayores o con otras fallas importantes:

Analisis realizado por:  
idem.

Para todas las fallas

TECTO-SEDIMENTACION

FALLA DETECTADA POR ESTE METODO	SI	RUMBO PROB.	BUZ. PROB.
	NO	LONG. PROB.	TIPO PROB.

Breve descripción de la influencia en las características de la sedimentación y edad de los materiales

GEOMORFOLOGIA

FALLA DETECTADA POR ESTE METODO	SI	RUMBO PROB.	N 60° E	BUZ. PROB.	> 45° SE
SE OBSERVA COMO LINEAMIENTO?	SI	LONG. PROB.	3.1 km	TIPO PROB.	normal

ANOMALIAS GEOMORFOLOGICAS LIGADAS Y/O PROB. LIGADAS

EN EL RELIEVE O LADERAS

EN LA RED HIDROG.

OTROS

Escarpe de fallas	<input checked="" type="checkbox"/>	Valles colgados	<input type="checkbox"/>
Caras afacetadas	<input checked="" type="checkbox"/>	Capturas	<input type="checkbox"/>
Basculamientos	<input checked="" type="checkbox"/>	Encajamientos	<input type="checkbox"/>
Encajamientos	<input type="checkbox"/>	Inflexiones	<input type="checkbox"/>
Solapes	<input checked="" type="checkbox"/>	Difluencias	<input type="checkbox"/>
		Cambios bruscos en el perfil	<input type="checkbox"/>

GEOFISICA

FALLA DETECTADA POR ESTE METODO	SI	RUMBO PROB.	BUZ. PROB.
		LONG. PROB.	TIPO PROB.

Por el metodo	Electrico	<input checked="" type="checkbox"/>
	Sismico	<input type="checkbox"/>
	Gravimetrico	<input type="checkbox"/>

Profundidad de la estructura	<input type="text"/>
Edad mat. a los que afecta	<input type="text"/>

**GOTERMISMO/VOLCANISMO ASOCIADO**

Volcanismo	Quimismo o clase _____	Geotermismo	Manantiales	<input type="text"/>	Temperatura	<input type="text"/>
	Edad absoluta _____		Sondeo	<input type="text"/>	Profundidad	<input type="text"/>

**SISMICIDAD ASOCIADA**

**HISTORICA**

**INSTRUMENTAL**

Nº SISMOS \_\_\_\_\_ CORRELACION B

INTENS. MAX. \_\_\_\_\_ P

ISOSISTAS \_\_\_\_\_ M

Relación con la estructura:

Nº SISMOS \_\_\_\_\_ MAGNITUDES MAX. \_\_\_\_\_

PROFUNDIDADES MEDIAS \_\_\_\_\_ REPLICAS \_\_\_\_\_

RUMBO DE LAS MISMAS \_\_\_\_\_

ERROR EPICENTRO \_\_\_\_\_ ERROR PROF. \_\_\_\_\_

CORRELACION CON LA FALLA B

P

M

B (Buena)  
P (Probable)  
M (Mala)


**CLASE DE ACTIVIDAD**

APECTA AL CUATERNARIO

APECTA A LA MORFOLOGIA

ASOCIADA A SISMICIDAD

GOTERMISMO

	SI	NO	?	CLASIFICACION		
				SEGUN	TABLA	I
APECTA AL CUATERNARIO	X					
APECTA A LA MORFOLOGIA	X					
ASOCIADA A SISMICIDAD			X			
GOTERMISMO		X				

**FICHA DE FALLA**

No 126 DENOMINACION SITUACION  
SISTEMA URCA-ALHAMA ZONA BETICA  
FALLA Cabezo Gordo DOMINIO \_\_\_\_\_  
SECTOR NE. Totue CUENCA GUADALENTIN  
 Fecha: \_\_\_\_\_ Autor: P. Silva

Para las fallas bien visibles en superficie:

GEOMETRIA

LONGITUD 1.9 km.  
 RUMBO N 17° E  
 BUZAMIENTO > 45° NW

ANALISIS TECTO/NEO/EVOLUTIVO

Sobre la misma estructura       En estructuras menores asociadas

EDAD DE LOS MATERIALES AFECTADOS	TIPIFICACION				REGIMEN TECTONICO		ESFUERZOS	SALTOS	
	NORMAL	DESGARRE		INVERSA	COMPRESION	DISTENSION	DIRECCION DE $\sigma_1$ , $0$ $\sigma_3$ EN LA HORIZONTAL	EN	EN
		MIXTA	L					D	MIXTA
PRE-TORT.									
TORT-INF.									
TORT-SUP.									
MESSIN.									
PLIOCENO									
PLIO-CUAT.				x					
CUATERNARIO				x					

ASPECTO Y NATURALEZA DE LOS MAT. AFECTADOS

EL RELLENO

-Relación con las estructuras mayores o con otras fallas importantes:

Analisis realizado por:

idem.

Para todas las fallas

TECTO-SEDIMENTACION

FALLA DETECTADA POR ESTE METODO	SI
	NO

RUMBO PROB.		BUZ. PROB.	
LONG. PROB.		TIPO PROB.	

Breve descripción de la influencia en las características de la sedimentación y edad de los materiales

GEOMORFOLOGIA

FALLA DETECTADA POR ESTE METODO	SI
SE OBSERVA COMO LINEAMIENTO?	

RUMBO PROB.	N 17° E	BUZ. PROB.	> 45° NW
LONG. PROB.	1.9 km	TIPO PROB.	inversa

ANOMALIAS GEOMORFOLOGICAS LIGADAS Y/O PROB. LIGADAS

EN EL RELIEVE O LADERAS

Escarpe de fallas (degradada)	X
Caras afacetadas	
Basculamientos	X
Encajamientos	
Solapes	

EN LA RED HIDROG.

Valles colgados	
Capturas	
Encajamientos	
Inflexiones	
Difluencias	
Cambios bruscos en el perfil	

OTROS


GEOFISICA

FALLA DETECTADA POR ESTE METODO	
---------------------------------	--

RUMBO PROB.		BUZ. PROB.	
LONG. PROB.		TIPO PROB.	

Por el metodo	Electrico	
	Sismico	
	Gravimetrico	

Profundidad de la estructura	
Edad mat. a los que afecta	



**GEOTERMISMO/VOLCANISMO ASOCIADO**

Volcanismo	Quimismo o clase _____	Geotermismo	Manantiales	<input type="text"/>	Temperatura	<input type="text"/>
	Edad absoluta _____		Sondeo	<input type="text"/>	Profundidad	<input type="text"/>

**SISMICIDAD ASOCIADA**

HISTORICA

Nº SISMOS \_\_\_\_\_ CORRELACION B

INTENS. MAX. \_\_\_\_\_ P

ISOSISTAS \_\_\_\_\_ M

Relación con la estructura:

INSTRUMENTAL

Nº SISMOS \_\_\_\_\_ MAGNITUDES MAX. \_\_\_\_\_

PROFUNDIDADES MEDIAS \_\_\_\_\_ REPLICAS \_\_\_\_\_

RUMBO DE LAS MISMAS \_\_\_\_\_

ERROR EPICENTRO \_\_\_\_\_ ERROR PROF. \_\_\_\_\_

CORRELACION CON LA FALLA B

P

M

B (Buena)  
P (Probable)  
M (Mala)

CLASE DE ACTIVIDAD

- AFECTA AL CUATERNARIO
- AFECTA A LA MORFOLOGIA
- ASOCIADA A SISMICIDAD
- GEOTERMISMO

	SI	NO	?
AFECTA AL CUATERNARIO	X		
AFECTA A LA MORFOLOGIA	X		
ASOCIADA A SISMICIDAD			X
GEOTERMISMO	X		

CLASIFICACION SEGUN TABLA I



**FICHA DE FALLA**

Nº 127 DENOMINACION SITUACION  
 SISTEMA LORCA-ALHAMA ZONA BÉTICA  
 FALLA SE. Sierra Espuña DOMINIO \_\_\_\_\_  
 SECTOR NE. Totana CUENCA GUADALENTIA  
 Fecha: \_\_\_\_\_ Autor: P. Silva

Para las fallas bien visibles en superficie:

GEOMETRIA

LONGITUD 4.7 Km  
 RUMBO N 71° E  
 BUZAMIENTO vertical

ANALISIS TECTO/NEO/EVOLUTIVO

Sobre la misma estructura
  En estructuras menores asociadas

EDAD DE LOS MATERIALES AFECTADOS	TIPIFICACION				REGIMEN TECTONICO		ESFUERZOS	SALTOS	
	NORMAL	DESGARRE		INVERSA	COMPRESION	DISTENSION	DIRECCION DE $\sigma_1$ O $\sigma_3$ EN LA HORIZONTAL	EN	EN
	MIXTA	L	D	MIXTA				HORIZ.	VERT.
PRE-TORT.									
TORT-INF.									
TORT-SUP.									
MESSIN.									
PLIOCENO									
PLIO-CUAT.			x						
CUATERNARIO			x						

ASPECTO Y NATURALEZA DE LOS MAT. AFECTADOS

EL RELLENO

-Relación con las estructuras mayores o con otras fallas importantes:

Analisis realizado por:

*idem*

Para todas las fallas

TECTO-SEDIMENTACION

FALLA DETECTADA POR ESTE METODO	SI	
	NO	

RUMBO PROB.		BUZ. PROB.	
LONG. PROB.		TIPO PROB.	

Breve descripción de la influencia en las características de la sedimentación y edad de los materiales

GEOMORFOLOGIA

FALLA DETECTADA POR ESTE METODO	Si
SE OBSERVA COMO LINEAMIENTO?	

RUMBO PROB.	N 71° E	BUZ. PROB.	vertical
LONG. PROB.	4.7 km	TIPO PROB.	sinestral

ANOMALIAS GEOMORFOLOGICAS LIGADAS Y/O PROB. LIGADAS

EN EL RELIEVE O LADERAS

EN LA RED HIDROG.

OTROS

Escarpe de fallas

Valles colgados

Caras afacetadas

Capturas

Basculamientos

Encajamientos

Encajamientos

Inflexiones

Solapes

Difluencias

Cambios bruscos en el perfil

GEOFISICA

FALLA DETECTADA POR ESTE METODO	
---------------------------------	--

RUMBO PROB.		BUZ. PROB.	
LONG. PROB.		TIPO PROB.	

Por el metodo

Electrico

Profundidad de la estructura

Sismico

Edad mat. a los que afecta

Gravimetrico

GEOTERMISMO/VOLCANISMO ASOCIADO

Volcanismo	Quimismo o clase _____	Geotermismo	Manantiales	<input type="checkbox"/>	Temperatura	<input type="checkbox"/>
	Edad absoluta _____		Sondeo	<input type="checkbox"/>	Profundidad	<input type="checkbox"/>

SISMICIDAD ASOCIADA

HISTORICA

Nº SISMOS 4

INTENS. MAX. VII

ISOSISTAS \_\_\_\_\_

Relación con la estructura:

INSTRUMENTAL

CORRELACION B

P

M

Nº SISMOS 1 MAGNITUDES MAX. 3.3

PROFUNDIDADES MEDIAS \_\_\_\_\_ REPLICAS \_\_\_\_\_

RUMBO DE LAS MISMAS \_\_\_\_\_

ERROR EPICENTRO \_\_\_\_\_ ERROR PROF. \_\_\_\_\_

CORRELACION CON LA FALLA B

P

M

B (Buena)  
P (Probable)  
M (Mala)

CLASE DE ACTIVIDAD

CLASE DE ACTIVIDAD	CLASIFICACION SEGUN TABLA I		
	SI	NO	?
AFECTA AL CUATERNARIO	<input checked="" type="checkbox"/>	<input type="checkbox"/>	<input type="checkbox"/>
AFECTA A LA MORFOLOGIA	<input checked="" type="checkbox"/>	<input type="checkbox"/>	<input type="checkbox"/>
ASOCIADA A SISMICIDAD	<input type="checkbox"/>	<input type="checkbox"/>	<input checked="" type="checkbox"/>
GEOTERMISMO	<input type="checkbox"/>	<input checked="" type="checkbox"/>	<input type="checkbox"/>



**FICHA DE FALLA**

Nº 128 DENOMINACION SITUACION  
SISTEMA GUADALENTIN ZONA BETICA  
FALLA HINOJAR DOMINIO \_\_\_\_\_  
SECTOR HINOJAR-COVEL CUENCA GUADALENTIN  
 Fecha: \_\_\_\_\_ Autor: P. Silva

Para las fallas bien visibles en superficie:

**GEOMETRIA**

LONGITUD 4.8 km  
 RUMBO N 65° E  
 BUZAMIENTO 545° NW

**ANALISIS TECTO/NEO/EVOLUTIVO**

Sobre la misma estructura
  En estructuras menores asociadas

EDAD DE LOS MATERIALES AFECTADOS	TIPIFICACION				REGIMEN TECTONICO		ESFUERZOS	SALTOS	
	NORMAL	DESGARRE		INVERSA	COMPRESION	DISTENSION	DIRECCION DE $\sigma_1, 0 \sigma_3$ EN LA HORIZONTAL	EN	EN
	MIXTA	L	D	MIXTA				HORIZ.	VERT.
PRE-TORT.									
TORT-INF.									
TORT-SUP.									
MESSIN.	x			x					
PLIOCENO									
PLIO-CUAT.									
CUATERNARIO	x			x					

ASPECTO Y NATURALEZA DE LOS MAT. AFECTADOS

EL RELLENO

-Relación con las estructuras mayores o con otras fallas importantes:

Analisis realizado por:  
Idem.

Para todas las fallas

TECTO-SEDIMENTACION

FALLA DETECTADA POR ESTE METODO	SI		RUMBO PROB.		BUZ. PROB.	
	NO		LONG. PROB.		TIPO PROB.	

Breve descripción de la influencia en las características de la sedimentación y edad de los materiales

GEOMORFOLOGIA

FALLA DETECTADA POR ESTE METODO	Si	RUMBO PROB.	N65°E	BUZ. PROB.	> 45° NW
SE OBSERVA COMO LINEAMIENTO?	Si	LONG. PROB.	4.8 km	TIPO PROB.	inversa

ANOMALIAS GEOMORFOLOGICAS LIGADAS Y/O PROB. LIGADAS

EN EL RELIEVE O LADERAS

Escarpe de fallas	
Caras afacetadas	x
Basculamientos	x
Encajamientos	
Solapes	x

EN LA RED HIDROG.

Valles colgados	
Capturas	
Encajamientos	
Inflexiones	
Difluencias	
Cambios bruscos en el perfil	

OTROS


GEOFISICA

FALLA DETECTADA POR ESTE METODO	
---------------------------------	--

RUMBO PROB.		BUZ. PROB.	
LONG. PROB.		TIPO PROB.	

Por el metodo	Electrico	
	Sismico	
	Gravimetrico	

Profundidad de la estructura	
Edad mat. a los que afecta	

GEOTERMISMO/VOLCANISMO ASOCIADO

Volcanismo	Quimismo o clase _____	Geotermismo	Manantiales	<input type="text"/>	Temperatura	<input type="text"/>
	Edad absoluta _____		Sondeo	<input type="text"/>	Profundidad	<input type="text"/>

SISMICIDAD ASOCIADA

HISTORICA

Nº SISMOS \_\_\_\_\_

INTENS. MAX. \_\_\_\_\_

ISOSISTAS \_\_\_\_\_

Relación con la estructura:

INSTRUMENTAL


CORRELACION	B	Nº SISMOS <u>1</u>	MAGNITUDES MAX. <u>3.1</u>
	P	PROFUNDIDADES MEDIAS <u>&lt; 20 km</u>	REPLICAS _____
	M	RUMBO DE LAS MISMAS _____	ERROR EPICENTRO <u>&gt; 10 km</u>
			ERROR PROF. <u>&lt; 5 km</u>

CORRELACION CON LA FALLA B

<input type="text"/>	B (Buena)
<input type="text"/>	P (Probable)
<input checked="" type="text"/>	M (Mala)

CLASE DE ACTIVIDAD

- APECTA AL CUATERNARIO
- APECTA A LA MORFOLOGIA
- ASOCIADA A SISMICIDAD
- GEOTERMISMO

	SI	NO	?	CLASIFICACION		
				SEGUN	TABLA	I
APECTA AL CUATERNARIO	X			<div style="border: 1px solid black; padding: 5px; text-align: center;">  </div>		
APECTA A LA MORFOLOGIA	X					
ASOCIADA A SISMICIDAD			X			
GEOTERMISMO		X				

**FICHA DE FALLA**

Nº 129 DENOMINACION SITUACION  
SISTEMA PALOMARES-ALMENA ZONA BETICA  
FALLA Canal del Guadalquivir DOMINIO  
SECTOR CUENCA GUADALENTIN  
 Fecha: Autor: P. Silva

Para las fallas bien visibles en superficie:

**GEOMETRIA**

LONGITUD 5.6 Km  
 RUMBO N35°E  
 BUZAMIENTO > 45°NW

**ANALISIS TECTO/NEO/EVOLUTIVO**

Sobre la misma estructura
  En estructuras menores asociadas

EDAD DE LOS MATERIALES AFECTADOS	TIPIFICACION				REGIMEN TECTONICO		ESFUERZOS	SALTOS	
	NORMAL	DESGARRE		INVERSA	COMPRESION	DISTENSION	DIRECCION DE $\sigma_1$ O $\sigma_3$ EN LA HORIZONTAL	EN	EN
	MIXTA	L	D	MIXTA				HORIZ.	VERT
PRE-TORT.									
TORT-INF.									
TORT-SUP.									
MESSIN.									
PLIOCENO									
PLIO-CUAT.	X								
CUATERNARIO	X								

ASPECTO Y NATURALEZA DE LOS MAT. AFECTADOS

EL RELLENO

-Relación con las estructuras mayores o con otras fallas importantes:

Analisis realizado por:  
 idem.



Para todas las fallas

TECTO-SEDIMENTACION

FALLA DETECTADA POR ESTE METODO	SI	RUMBO PROB.	BUZ. PROB.
	NO	LONG. PROB.	TIPO PROB.

Breve descripción de la influencia en las características de la sedimentación y edad de los materiales

GEOMORFOLOGIA

FALLA DETECTADA POR ESTE METODO	Si	RUMBO PROB.	N35°E	BUZ. PROB.	> 40° NW
SE OBSERVA COMO LINEAMIENTO?		LONG. PROB.	5.6 km	TIPO PROB.	normal

ANOMALIAS GEOMORFOLOGICAS LIGADAS Y/O PROB. LIGADAS

EN EL RELIEVE O LADERAS

Escarpe de fallas	X
Caras afacetadas	
Basculamientos	X
Encajamientos	
Solapes	

EN LA RED HIDROG.

Valles colgados	
Capturas	
Encajamientos	
Inflexiones	
Difluencias	
Cambios bruscos en el perfil	

OTROS

GEOFISICA

FALLA DETECTADA POR ESTE METODO	Si	RUMBO PROB.	BUZ. PROB.
		LONG. PROB.	TIPO PROB.

Por el metodo	Electrico	X
	Sismico	
	Gravimetrico	

Profundidad de la estructura	
Edad mat. a los que afecta	

GEOTERMISMO/VOLCANISMO ASOCIADO

Volcanismo	Quimismo o clase _____ Geotermismo	Manantiales	<input style="width: 100%; height: 15px;" type="text"/>	Temperatura	<input style="width: 100%; height: 15px;" type="text"/>
	Edad absoluta _____	Sondeo	<input style="width: 100%; height: 15px;" type="text"/>	Profundidad	<input style="width: 100%; height: 15px;" type="text"/>

SISMICIDAD ASOCIADA

HISTORICA

Nº SISMOS \_\_\_\_\_ CORRELACION B

INTENS. MAX. \_\_\_\_\_ P

ISOSISTAS \_\_\_\_\_ M

Relación con la estructura:

INSTRUMENTAL

Nº SISMOS \_\_\_\_\_ MAGNITUDES MAX. \_\_\_\_\_

PROFUNDIDADES MEDIAS \_\_\_\_\_ REPLICAS \_\_\_\_\_

RUMBO DE LAS MISMAS \_\_\_\_\_


ERROR EPICENTRO \_\_\_\_\_ ERROR PROF. \_\_\_\_\_

CORRELACION CON LA FALLA B

B		B (Buena)
P		P (Probable)
M		M (Mala)

CLASE DE ACTIVIDAD

- APECTA AL CUATERNARIO
- APECTA A LA MORFOLOGIA
- ASOCIADA A SISMICIDAD
- GEOTERMISMO

	SI	NO	?	CLASIFICACION SEGUN TABLA I
APECTA AL CUATERNARIO	X			
APECTA A LA MORFOLOGIA	X			
ASOCIADA A SISMICIDAD		X		
GEOTERMISMO		X		

**FICHA DE FALLA**

Nº 130 DENOMINACION SISTEMA LORCA-ALHAMA SITUACION ZONA BETICO  
FALLA Alhama-Alacuas DOMINIO \_\_\_\_\_  
SECTOR NE. de Alhama CUENCA GUADALENTIN  
 Fecha: \_\_\_\_\_ Autor: P. Silva

Para las fallas bien visibles en superficie:

**GEOMETRIA**

LONGITUD 5.6 km.  
 RUMBO N 52° E  
 BUZAMIENTO S 45° SE

**ANALISIS TECTO/NEO/EVOLUTIVO**

Sobre la misma estructura       En estructuras menores asociadas

EDAD DE LOS MATERIALES AFECTADOS	TIPIFICACION				REGIMEN TECTONICO		ESFUERZOS	SALTOS	
	NORMAL	DESGARRE		INVERSA	COMPRESION	DISTENSION	DIRECCION DE $\sigma_1$ O $\sigma_2$ EN LA HORIZONTAL	EN	EN
		MIXTA	L					D	MIXTA
PRE-TORT.									
TORT-INF.									
TORT-SUP.	x								
MESIN.	x								
PLIOCENO									
PLIO-CUAT.									
CUATERNARIO	x								

**ASPECTO Y NATURALEZA DE LOS MAT. AFECTADOS**

**EL RELLENO**

-Relación con las estructuras mayores o con otras fallas importantes:

Analisis realizado por:

*idem*

Para todas las fallas

TECTO-SEDIMENTACION

FALLA DETECTADA POR ESTE METODO	SI	
	NO	

RUMBO PROB.		BUZ. PROB.	
LONG. PROB.		TIPO PROB.	

Breve descripción de la influencia en las características de la sedimentación y edad de los materiales

GEOMORFOLOGIA

FALLA DETECTADA POR ESTE METODO	Si
SE OBSERVA COMO LINEAMIENTO?	Si

RUMBO PROB.	N52°E	BUZ. PROB.	> 45°SE
LONG. PROB.	5.6 km.	TIPO PROB.	normal

ANOMALIAS GEOMORFOLOGICAS LIGADAS Y/O PROB. LIGADAS

EN EL RELIEVE O LADERAS

EN LA RED HIDROG.

OTROS

Escarpe de fallas	<input checked="" type="checkbox"/>
Caras afacetadas	<input checked="" type="checkbox"/>
Basculamientos	<input type="checkbox"/>
Encajamientos	<input type="checkbox"/>
Solapes	<input checked="" type="checkbox"/>

Valles colgados	<input type="checkbox"/>
Capturas	<input type="checkbox"/>
Encajamientos	<input type="checkbox"/>
Inflexiones	<input type="checkbox"/>
Difluencias	<input type="checkbox"/>
Cambios bruscos en el perfil	<input type="checkbox"/>

GEOFISICA

FALLA DETECTADA POR ESTE METODO	Si
---------------------------------	----

RUMBO PROB.		BUZ. PROB.	
LONG. PROB.		TIPO PROB.	

Por el metodo	Electrico	<input checked="" type="checkbox"/>
	Sismico	<input checked="" type="checkbox"/>
	Gravimetrico	<input type="checkbox"/>

Profundidad de la estructura	
Edad mat. a los que afecta	

**GOTERMISMO/VOLCANISMO ASOCIADO**

Volcanismo	Quimismo o clase _____	Geotermismo	Manantiales	<input checked="" type="checkbox"/>	Temperatura	<input type="text"/>
	Edad absoluta _____		Sondeo	<input type="checkbox"/>	Profundidad	<input type="text"/>

**SISMICIDAD ASOCIADA**

HISTORICA

Nº SISMOS \_\_\_\_\_ 2 \_\_\_\_\_ CORRELACION B

INTENS. MAX. \_\_\_\_\_ V \_\_\_\_\_ P

ISOSISTAS \_\_\_\_\_ M

Relación con la estructura:

INSTRUMENTAL

Nº SISMOS \_\_\_\_\_ MAGNITUDES MAX. \_\_\_\_\_

PROFUNDIDADES MEDIAS \_\_\_\_\_ REPLICAS \_\_\_\_\_

RUMBO DE LAS MISMAS \_\_\_\_\_

ERROR EPICENTRO \_\_\_\_\_ ERROR PROF. \_\_\_\_\_

CORRELACION CON LA FALLA B

<input type="checkbox"/>	B (Buena)
<input checked="" type="checkbox"/>	P (Probable)
<input type="checkbox"/>	M (Mala)

CLASE DE ACTIVIDAD

APECTA AL CUATERNARIO

APECTA A LA MORFOLOGIA

ASOCIADA A SISMICIDAD

GEOTERMISMO

	SI	NO	?	CLASIFICACION		
				SEGUN	TABLA	I
APECTA AL CUATERNARIO	<input checked="" type="checkbox"/>	<input type="checkbox"/>	<input type="checkbox"/>			
APECTA A LA MORFOLOGIA	<input checked="" type="checkbox"/>	<input type="checkbox"/>	<input type="checkbox"/>			
ASOCIADA A SISMICIDAD	<input checked="" type="checkbox"/>	<input type="checkbox"/>	<input type="checkbox"/>			
GEOTERMISMO	<input checked="" type="checkbox"/>	<input type="checkbox"/>	<input type="checkbox"/>			

**FICHA DE FALLA**

Nº 131 DENOMINACION SITUACION  
 SISTEMA CAMPO DE CARTAGENA ZONA BETICA  
 FALLA La Puebla DOMINIO \_\_\_\_\_  
 SECTOR Campo de Cartagena CUENCA Cartagena  
 Fecha: \_\_\_\_\_ Autor: T. Berdaji

Para las fallas bien visibles en superficie:

**GEOMETRIA**

LONGITUD > 30 Km  
 RUMBO N90-100°E  
 BUZAMIENTO

**ANALISIS TECTO/NEO/EVOLUTIVO**

Sobre la misma estructura  En estructuras menores asociadas

EDAD DE LOS MATERIALES AFECTADOS	TIPIFICACION				REGIMEN TECTONICO		ESFUERZOS	SALTOS	
	NORMAL	DESGARRE		INVERSA	COMPRESION	DISTENSION	DIRECCION DE $\sigma_1, 0, \sigma_3$ EN LA HORIZONTAL	EN	EN
	MIXTA	L	D	MIXTA				HORIZ.	VERT
PRE-TORT.									
TORT-INF.									
TORT-SUP.									
MESSIN.									
PLIOCENO									
PLIO-CUAT.									
CUATERNARIO	x								

ASPECTO Y NATURALEZA DE LOS MAT. AFECTADOS

Afecta a la sedimentación cuaternaria y al grado de subsidencia durante el Cuaternario, de la cuenca del Mar Menor. Marca el eje de máxima subsidencia del Mar Menor

EL RELLENO

-Relación con las estructuras mayores o con otras fallas importantes:

Detectada como falla del buzamiento

Analisis realizado por:

idem.

Para todas las fallas

TECTO-SEDIMENTACION

FALLA DETECTADA POR ESTE METODO	SI	X
	NO	

RUMBO PROB.	100-90°	BUZ. PROB.	>30 km.
LONG. PROB.		TIPO PROB.	

Breve descripción de la influencia en las características de la sedimentación y edad de los materiales  
*Geusro un zona de dirección aproximada E-W, que secciona durante el Cuaternario como zona subsidente, y marca la red de drenaje*

GEOMORFOLOGIA

FALLA DETECTADA POR ESTE METODO	X
SE OBSERVA COMO LINEAMIENTO?	+

RUMBO PROB.		BUZ. PROB.	
LONG. PROB.		TIPO PROB.	

ANOMALIAS GEOMORFOLOGICAS LIGADAS Y/O PROB. LIGADAS

EN EL RELIEVE O LADERAS

Escarpe de fallas	
Caras afacetadas	
Basculamientos	
Encajamientos	
Solapes	

EN LA RED HIDROG.

Valles colgados	
Capturas	X
Encajamientos	
Inflexiones	X
Difluencias	
Cambios bruscos en el perfil	

OTROS

	X
	X

GEOFISICA

FALLA DETECTADA POR ESTE METODO	X
---------------------------------	---

RUMBO PROB.	100-90°	BUZ. PROB.	
LONG. PROB.		TIPO PROB.	

Por el metodo	Electrico	
	Sismico	
	Gravimetrico	X

Profundidad de la estructura	
Edad mat. a los que afecta	<i>hasta el basamento bitico.</i>

GEOTERMISMO/VOLCANISMO ASOCIADO

Volcanismo	Quimismo o clase _____	Geotermismo	Manantiales	<input type="checkbox"/>	Temperatura	<input type="checkbox"/>
	Edad absoluta _____		Sondeo	<input type="checkbox"/>	Profundidad	<input type="checkbox"/>

SISMICIDAD ASOCIADA

HISTORICA

No SISMOS \_\_\_\_\_  
 INTENS. MAX. \_\_\_\_\_  
 ISOSISTAS \_\_\_\_\_  
 Relación con la estructura:

INSTRUMENTAL


No SISMOS 3 MAGNITUDES MAX. 4.2  
 PROFUNDIDADES MEDIAS >> 20 REPLICAS \_\_\_\_\_  
 RUMBO DE LAS MISMAS \_\_\_\_\_  
 ERROR EPICENTRO >> 5 ERROR PROP. 35

CORRELACION CON LA FALLA B

<input checked="" type="checkbox"/>	B (Buena)
<input type="checkbox"/>	P (Probable)
<input type="checkbox"/>	M (Mala)

CLASE DE ACTIVIDAD

AFECTA AL CUATERNARIO  
 AFECTA A LA MORFOLOGIA  
 ASOCIADA A SISMICIDAD  
 GEOTERMISMO

	SI	NO	?	CLASIFICACION SEGUN TABLA I
AFECTA AL CUATERNARIO	X			<div style="border: 1px solid black; padding: 5px; display: inline-block;">  </div>
AFECTA A LA MORFOLOGIA	X			
ASOCIADA A SISMICIDAD	X			
GEOTERMISMO		X		



**FICHA DE FALLA**

Nº 132 DENOMINACION SITUACION  
 SISTEMA GUADALENTIN ZONA BETICA  
 FALLA SANGONERA LA VERDE DOMINIO \_\_\_\_\_  
 SECTOR \_\_\_\_\_ CUENCA GUADALENTIN-BATO SEGURA  
 Fecha: \_\_\_\_\_ Autor: P. SIVE

Para las fallas bien visibles en superficie:

**GEOMETRIA**

LONGITUD 8,3 km  
 RUMBO N75°E  
 BUZAMIENTO < 45° SE

**ANALISIS TECTO/NEO/EVOLUTIVO**

Sobre la misma estructura       En estructuras menores asociadas

EDAD DE LOS MATERIALES AFECTADOS	TIPIFICACION				REGIMEN TECTONICO		ESFUERZOS	SALTOS	
	NORMAL	DESGARRE		INVERSA	COMPRESION	DISTENSION	DIRECCION DE $\sigma_1$ O $\sigma_2$ EN LA HORIZONTAL	EN	EN
		MIXTA	L					D	MIXTA
PRE-TORT.									
TORT-INF.									
TORT-SUP.									
MESSIN.									
PLIOCENO	x								
PLIO-CUAT.									
CUATERNARIO									

ASPECTO Y NATURALEZA DE LOS MAT. AFECTADOS

EL RELLENO

-Relación con las estructuras mayores o con otras fallas importantes:

Analisis realizado por:  
idem.

Para todas las fallas

TECTO-SEDIMENTACION

FALLA DETECTADA POR ESTE METODO	SI	
	NO	

RUMBO PROB.		BUZ. PROB.	
LONG. PROB.		TIPO PROB.	

Breve descripción de la influencia en las características de la sedimentación y edad de los materiales

GEOMORFOLOGIA

FALLA DETECTADA POR ESTE METODO	SI
SE OBSERVA COMO LINEAMIENTO?	SI

RUMBO PROB.	N 75° E	BUZ. PROB.	> 45° SE
LONG. PROB.	8.3 Km	TIPO PROB.	Inversa

ANOMALIAS GEOMORFOLOGICAS LIGADAS Y/O PROB. LIGADAS

EN EL RELIEVE O LADERAS

Escarpe de fallas	X
Caras afacetadas	
Basculamientos	
Encajamientos	
Solapes	X

EN LA RED HIDROG.

Valles colgados	
Capturas	
Encajamientos	
Inflexiones	
Difluencias	
Cambios bruscos en el perfil	

OTROS

Frente rectilíneo con Predomóni asociados

GEOFISICA

FALLA DETECTADA POR ESTE METODO	X
---------------------------------	---

RUMBO PROB.		BUZ. PROB.	
LONG. PROB.		TIPO PROB.	

Por el metodo	Electrico	X
	Sismico	
	Gravimetrico	

Profundidad de la estructura	
Edad mat. a los que afecta	

GEOTERMISMO/VOLCANISMO ASOCIADO

Volcanismo | Quimismo o clase \_\_\_\_\_ Geotermismo | Manantiales  Temperatura   
 | Edad absoluta \_\_\_\_\_ | Sondeo  Profundidad

SISMICIDAD ASOCIADA

HISTORICA

Nº SISMOS \_\_\_\_\_ / \_\_\_\_\_  
 INTENS. MAX. \_\_\_\_\_  
 ISOSISTAS \_\_\_\_\_  
 Relación con la estructura:

INSTRUMENTAL

CORRELACION B   
 P   
 M

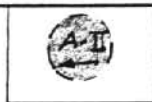
Nº SISMOS \_\_\_\_\_ MAGNITUDES MAX. \_\_\_\_\_  
 PROFUNDIDADES MEDIAS \_\_\_\_\_ REPLICAS \_\_\_\_\_  
 RUMBO DE LAS MISMAS \_\_\_\_\_  
 ERROR EPICENTRO \_\_\_\_\_ ERROR PROF. \_\_\_\_\_

CORRELACION CON LA FALLA B   
 P   
 M

B (Buena)  
 P (Probable)  
 M (Mala)

CLASE DE ACTIVIDAD

- APECTA AL CUATERNARIO
- APECTA A LA MORFOLOGIA
- ASOCIADA A SISMICIDAD
- GEOTERMISMO

	SI	NO	?	CLASIFICACION SEGUN TABLA I
APECTA AL CUATERNARIO			X	
APECTA A LA MORFOLOGIA	X			
ASOCIADA A SISMICIDAD	X			
GEOTERMISMO		X		

**FICHA DE FALLA**

No 133 DENOMINACION SISTEMA PREBETICO SITUACION ZONA PREBETICO  
 FALLA Del CHOPILLO DOMINIO EXTERNO  
 SECTOR \_\_\_\_\_ CUENCA \_\_\_\_\_  
 Fecha: \_\_\_\_\_ Autor: P. Silva.

Para las fallas bien visibles en superficie:

**GEOMETRIA**

LONGITUD 14. km  
 RUMBO N140°E  
 BUZAMIENTO ?

**ANALISIS TECTO/NEO/EVOLUTIVO**

Sobre la misma estructura       En estructuras menores asociadas

EDAD DE LOS MATERIALES AFECTADOS	TIPIFICACION				REGIMEN TECTONICO		ESFUERZOS	SALTOS	
	NORMAL	DESGARRE		INVERSA	COMPRESION	DISTENSION	DIRECCION DE $\sigma_1$ O $\sigma_3$ EN LA HORIZONTAL	EN HORIZ.	EN VERT.
	MIXTA	L	D	MIXTA					
PRE-TORT.									
TORT-IMP.									
TORT-SUP.									
MESSIN.									
PLIOCENO									
PLIO-CUAT.									
CUATERNARIO	x					x			

ASPECTO Y NATURALEZA DE LOS MAT. AFECTADOS

EL RELLENO

-Relación con las estructuras mayores o con otras fallas importantes:

Analisis realizado por:

Para todas las fallas

TECTO-SEDIMENTACION

FALLA DETECTADA POR ESTE METODO	SI	RUMBO PROB.	BUZ. PROB.
	NO	LONG. PROB.	TIPO PROB.

Breve descripción de la influencia en las características de la sedimentación y edad de los materiales

GEOMORFOLOGIA

FALLA DETECTADA POR ESTE METODO	Si	RUMBO PROB.	N 140° E	BUZ. PROB.	> 40° NE
SE OBSERVA COMO LINEAMIENTO?	Si	LONG. PROB.	14 km.	TIPO PROB.	NORMAL

ANOMALIAS GEOMORFOLOGICAS LIGADAS Y/O PROB. LIGADAS

EN EL RELIEVE O LADERAS

EN LA RED HIDROG.

OTROS

Escarpe de fallas

Valles colgados

Caras afacetadas

Capturas

Basculamientos

Encajamientos

Encajamientos

Inflexiones

Solapes

Difluencias

Cambios bruscos en el perfil

GEOFISICA

FALLA DETECTADA POR ESTE METODO

RUMBO PROB.

BUZ. PROB.

LONG. PROB.

TIPO PROB.

Por el metodo Electrico

Profundidad de la estructura

Sismico

Edad mat. a los que afecta

Gravimetrico


**GEOTERMISMO/VOLCANISMO ASOCIADO**

Volcanismo	Quimismo o clase <u>low profiles.</u> Geotermismo	Manantiales		Temperatura	
	Edad absoluta _____	Sondeo		Profundidad	

**SISMICIDAD ASOCIADA**

**HISTORICA**

Nº SISMOS 1

INTENS. MAX. 1.4

ISOSISTAS \_\_\_\_\_

Relación con la estructura:

**INSTRUMENTAL**

	CORRELACION B	Nº SISMOS <u>1</u>	MAGNITUDES MAX. <u>2.8</u>
	P	PROPUNDDIDADES MEDIAS <u>&lt; 20 km</u>	REPLICAS _____
	M	RUMBO DE LAS MISMAS _____	ERROR EPICENTRO <u>&gt; 10 km</u>
		ERROR PROF. <u>&lt; 5 km</u>	

CORRELACION CON LA FALLA B

	B	(Buena)
	P	(Probable)
	M	(Mala)
	M	X

**CLASE DE ACTIVIDAD**

- APECTA AL CUATERNARIO
- APECTA A LA MORFOLOGIA
- ASOCIADA A SISMICIDAD
- GEOTERMISMO

	SI	NO	?	CLASIFICACION SEGUN TABLA I
APECTA AL CUATERNARIO	X			<div style="border: 1px solid black; padding: 5px; display: inline-block;">A-II</div>
APECTA A LA MORFOLOGIA	X			
ASOCIADA A SISMICIDAD			X	
GEOTERMISMO		X		

**FICHA DE FALLA**

Nº134 DENOMINACION \_\_\_\_\_ SITUACION \_\_\_\_\_  
 SISTEMA CAMPO DE CARTAGENA ZONA BETICO  
 FALLA EL ESTACIO DOMINIO \_\_\_\_\_  
 SECTOR HOY MENOR CUENCA CARTAGENA  
 Fecha: \_\_\_\_\_ Autor: L. Somoza

Para las fallas bien visibles en superficie:

**GEOMETRIA**

LONGITUD ~ 30 Km  
 RUMBO N. 120° E  
 BUZAMIENTO \_\_\_\_\_

**ANALISIS TECTO/NEO/EVOLUTIVO**

Sobre la misma estructura       En estructuras menores asociadas

EDAD DE LOS MATERIALES AFECTADOS	TIPIFICACION				REGIMEN TECTONICO		ESFUERZOS	SALTOS	
	NORMAL	DESGARRE		INVERSA	COMPRESION	DISTENSION	DIRECCION DE $\sigma_1$ O $\sigma_3$ EN LA HORIZONTAL	EN	EN
	MIXTA	L	D	MIXTA				HORIZ.	VERT.
PRE-TORT.									
TORT-INF.									
TORT-SUP.									
MESSIN.									
PLIOCENO									
PLIO-CUAT.									
CUATERNARIO			x		x	$\sigma_1 \sim 170^\circ$			

**ASPECTO Y NATURALEZA DE LOS MAT. AFECTADOS**

*Agnita eólicas tirrombenses*

**EL RELLENO**

-Relación con las estructuras mayores o con otras fallas importantes:

Analisis realizado por:

*idem*

Para todas las fallas

TECTO-SEDIMENTACION

FALLA DETECTADA POR ESTE METODO	SI	<input checked="" type="checkbox"/>
	NO	<input type="checkbox"/>

RUMBO PROB.	120	BUZ. PROB.	?
LONG. PROB.	>30 km	TIPO PROB.	Normal

Breve descripción de la influencia en las características de la sedimentación y edad de los materiales  
 Límite sedimentación local por menor.

GEOMORFOLOGIA

FALLA DETECTADA POR ESTE METODO	<input checked="" type="checkbox"/>
SE OBSERVA COMO LINEAMIENTO?	<input checked="" type="checkbox"/>

RUMBO PROB.	120°E	BUZ. PROB.	
LONG. PROB.	>30 km	TIPO PROB.	

ANOMALIAS GEOMORFOLOGICAS LIGADAS Y/O PROB. LIGADAS

EN EL RELIEVE O LADERAS

Escarpe de fallas	<input type="checkbox"/>
Caras afacetadas	<input type="checkbox"/>
Basculamientos	<input type="checkbox"/>
Encajamientos	<input type="checkbox"/>
Solapes	<input type="checkbox"/>

EN LA RED HIDROG.

Valles colgados	<input checked="" type="checkbox"/>
Capturas	<input type="checkbox"/>
Encajamientos	<input type="checkbox"/>
Inflexiones	<input checked="" type="checkbox"/>
Difluencias	<input type="checkbox"/>
Cambios bruscos en el perfil	<input type="checkbox"/>

OTROS

GEOFISICA

FALLA DETECTADA POR ESTE METODO	<input checked="" type="checkbox"/>
---------------------------------	-------------------------------------

RUMBO PROB.	120°E	BUZ. PROB.	
LONG. PROB.	~30 km	TIPO PROB.	

Por el metodo	Electrico	<input type="checkbox"/>
	Sismico	<input type="checkbox"/>
	Gravimetrico	<input checked="" type="checkbox"/>

Profundidad de la estructura  
 Edad mat. a los que afecta

Falla de zocalo.



**GEOTERMISMO/VOLCANISMO ASOCIADO**

Volcanismo	Quimismo o clase _____	Geotermismo	Manantiales	[ ]	Temperatura	[ ]
	Edad absoluta _____		Sondeo	[ ]	Profundidad	[ ]

**SISMICIDAD ASOCIADA**

HISTORICA

Nº SISMOS \_\_\_\_\_ CORRELACION B [ ]  
 INTENS. MAX. \_\_\_\_\_ P [ ]  
 ISOSISTAS \_\_\_\_\_ M [ ]  
 Relación con la estructura:

INSTRUMENTAL

Nº SISMOS 1 MAGNITUDES MAX. 4.2  
 PROFUNDIDADES MEDIAS 20-40 REPLICAS \_\_\_\_\_  
 RUMBO DE LAS MISMAS \_\_\_\_\_  
 ERROR EPICENTRO 6-10 ERROR PROF. > 5

CORRELACION CON LA FALLA B [X]  
 P [ ]  
 M [ ]

B (Buena)  
 P (Probable)  
 M (Mala)

CLASE DE ACTIVIDAD

	SI	NO	?			
APECTA AL CUATERNARIO	X			CLASIFICACION SEGUN TABLA I <div style="border: 1px solid black; padding: 5px; width: fit-content; margin: 10px auto;">A-I</div>		
APECTA A LA MORFOLOGIA	X					
ASOCIADA A SISMICIDAD	X					
GEOTERMISMO			X			

**FICHA DE FALLA**

Nº 135 DENOMINACION SITUACION  
 SISTEMA Campo de Cartagena ZONA BETICO  
 FALLA CARTAGENA DOMINIO \_\_\_\_\_  
 SECTOR \_\_\_\_\_ CUENCA Cartagena  
 Fecha: \_\_\_\_\_ Autor: L. Somoza

Para las fallas bien visibles en superficie:

GEOMETRIA

LONGITUD \_\_\_\_\_  
 RUMBO NW  
 BUZAMIENTO \_\_\_\_\_

ANALISIS TECTO/NEO/EVOLUTIVO

Sobre la misma estructura       En estructuras menores asociadas

EDAD DE LOS MATERIALES AFECTADOS	TIPIFICACION				REGIMEN TECTONICO		ESFUERZOS	SALTOS	
	NORMAL	DESGARRE		INVERSA	COMPRESION	DISTENSION	DIRECCION DE $\sigma_1$ O $\sigma_2$ EN LA HORIZONTAL	EN	EN
		MIXTA	L					D	MIXTA
PRE-TORT.									
TORT-INF.									
TORT-SUP.									
MESSIN.			X				<u>0, N170°E</u>		
PLIOCENO									
PLIO-CUAT.									
CUATERNARIO	X								

ASPECTO Y NATURALEZA DE LOS MAT. AFECTADOS

Abocion aluvial de la Rambla de la Muerte (Campo de Cartagena)

EL RELLENO

-Relación con las estructuras mayores o con otras fallas importantes:

Analisis realizado por:

idem.

Para todas las fallas

TECTO-SEDIMENTACION

FALLA DETECTADA POR ESTE METODO	SI	X
	NO	

RUMBO PROB.	120°	BUZ. PROB.	
LONG. PROB.	45 km.	TIPO PROB.	

Breve descripción de la influencia en las características de la sedimentación y edad de los materiales

GEOMORFOLOGIA

FALLA DETECTADA POR ESTE METODO	X
SE OBSERVA COMO LINEAMIENTO?	SI

RUMBO PROB.	120° E	BUZ. PROB.	
LONG. PROB.	45 km	TIPO PROB.	

ANOMALIAS GEOMORFOLOGICAS LIGADAS Y/O PROB. LIGADAS

EN EL RELIEVE O LADERAS

EN LA RED HIDROG.

OTROS

Escarpe de fallas	<input type="checkbox"/>	Valles colgados	<input type="checkbox"/>
Caras afacetadas	<input type="checkbox"/>	Capturas	X
Basculamientos	<input type="checkbox"/>	Encajamientos	<input type="checkbox"/>
Encajamientos	<input type="checkbox"/>	Inflexiones	X
Solapes	<input type="checkbox"/>	Difluencias	<input type="checkbox"/>
		Cambios bruscos en el perfil	<input type="checkbox"/>

GEOFISICA

FALLA DETECTADA POR ESTE METODO	X
---------------------------------	---

RUMBO PROB.		BUZ. PROB.	
LONG. PROB.		TIPO PROB.	

Por el metodo	Electrico	<input type="checkbox"/>
	Sismico	<input type="checkbox"/>
	Gravimetrico	X

Profundidad de la estructura	<input type="checkbox"/>
Edad mat. a los que afecta	<input type="checkbox"/>

**GEOTERMISMO/VOLCANISMO ASOCIADO**

Volcanismo	Quimismo o clase _____	Geotermismo	Manantiales	<input type="checkbox"/>	Temperatura	<input type="checkbox"/>
	Edad absoluta _____		Sondeo	<input type="checkbox"/>	Profundidad	<input type="checkbox"/>

**SISMICIDAD ASOCIADA**

HISTORICA

Nº SISMOS 1

INTENS. MAX. ✓

ISOSISTAS \_\_\_\_\_

Relación con la estructura:

INSTRUMENTAL

CORRELACION B	<input checked="" type="checkbox"/>	Nº SISMOS <u>1</u>	MAGNITUDES MAX. <u>3.9</u>
		PROFUNDIDADES MEDIAS <u>&lt;20</u>	REPLICAS _____
		RUMBO DE LAS MISMAS _____	
		ERROR EPICENTRO <u>&gt;10</u>	ERROR PROF. <u>&gt;5</u>

CORRELACION CON LA FALLA B

P

M

B (Buena)  
P (Probable)  
M (Mala)

CLASE DE ACTIVIDAD

- APECTA AL CUATERNARIO
- APECTA A LA MORFOLOGIA
- ASOCIADA A SISMICIDAD
- GEOTERMISMO

	SI	NO	?	CLASIFICACION SEGUN TABLA I
APECTA AL CUATERNARIO	×			<div style="border: 1px solid black; padding: 5px; display: inline-block;">A-II</div>
APECTA A LA MORFOLOGIA	×			
ASOCIADA A SISMICIDAD	×			
GEOTERMISMO		×		

**FICHA DE FALLA**

No 136 DENOMINACION SISTEMA Campo de Cartagena SITUACION ZONA BETICA  
 FALLA Vento la Virgen DOMINIO \_\_\_\_\_  
 SECTOR \_\_\_\_\_ CUENCA Cartagena  
 Fecha: \_\_\_\_\_ Autor: L. Somoza

Para las fallas bien visibles en superficie:

**GEOMETRIA**

LONGITUD \_\_\_\_\_  
 RUMBO N 45-50° E  
 BUZAMIENTO \_\_\_\_\_

**ANALISIS TECTO/NEO/EVOLUTIVO**

Sobre la misma estructura       En estructuras menores asociadas

EDAD DE LOS MATERIALES AFECTADOS	TIPIFICACION				REGIMEN TECTONICO		ESFUERZOS	SALTOS	
	NORMAL	DESGARRE		INVERSA	COMPRESION	DISTENSION	DIRECCION DE $\sigma_1$ O $\sigma_3$ EN LA HORIZONTAL	EN	EN
	MIXTA	L	D	MIXTA				HORIZ.	VERT.
PRE-TORT.									
TORT-INF.									
TORT-SUP.									
MESSIN.									
PLIOCENO									
PLIO-CUAT.									
CUATERNARIO				<u>x</u>	<u>x</u>		<u><math>\sigma_1 \sim 170^\circ E</math></u>		

**ASPECTO Y NATURALEZA DE LOS MAT. AFECTADOS**

*Conglomerados, arena y arcilla; dolomita aluvial - Volcanismo asociado.*

**EL RELLENO**

-Relación con las estructuras mayores o con otras fallas importantes:

Analisis realizado por:

Para todas las fallas

TECTO-SEDIMENTACION

FALLA DETECTADA POR ESTE METODO	SI	<input checked="" type="checkbox"/>
	NO	<input type="checkbox"/>

RUMBO PROB.	170°E	BUZ. PROB.	
LONG. PROB.		TIPO PROB.	

Breve descripción de la influencia en las características de la sedimentación y edad de los materiales  
*colada de lavas basálticas interdigitadas con depósitos de aluviales del pleistoceno inferior. Controla los ejes de las abanicos*

GEOMORFOLOGIA

FALLA DETECTADA POR ESTE METODO	
SE OBSERVA COMO LINEAMIENTO?	

RUMBO PROB.		BUZ. PROB.	
LONG. PROB.		TIPO PROB.	

ANOMALIAS GEOMORFOLOGICAS LIGADAS Y/O PROB. LIGADAS

EN EL RELIEVE O LADERAS

EN LA RED HIDROG.

OTROS

Escarpe de fallas


Valles colgados


Caras afacetadas

Capturas

Basculamientos

Encajamientos

Encajamientos

Inflexiones

Solapes

Difluencias

Cambios bruscos en el perfil

GEOFISICA

FALLA DETECTADA POR ESTE METODO	
---------------------------------	--

RUMBO PROB.		BUZ. PROB.	
LONG. PROB.		TIPO PROB.	

Por el metodo Electrico


Profundidad de la estructura


Sismico

Edad mat. a los que afecta

Gravimetrico

**GEOTERMISMO/VOLCANISMO ASOCIADO**

Volcanismo	Quinismo o clase <u>basaltos</u>	Geotermismo	Manantiales	[ ]	Temperatura	[ ]
	Edad absoluta <u>1. u. a. V/Ar.</u>		Sondeo	[ ]	Profundidad	[ ]

**SISMICIDAD ASOCIADA**

HISTORICA

Nº SISMOS \_\_\_\_\_ CORRELACION B [ ]  
 INTENS. MAX. \_\_\_\_\_ P [ ]  
 ISOSISTAS \_\_\_\_\_ M [ ]  
 Relación con la estructura:


INSTRUMENTAL

Nº SISMOS \_\_\_\_\_ MAGNITUDES MAX. \_\_\_\_\_  
 PROFUNDIDADES MEDIAS \_\_\_\_\_ REPLICAS \_\_\_\_\_  
 RUMBO DE LAS MISMAS \_\_\_\_\_  
 ERROR EPICENTRO \_\_\_\_\_ ERROR PROF. \_\_\_\_\_

CORRELACION CON LA FALLA B [ ] B (Buena)  
 P [ ] P (Probable)  
 M [ ] M (Mala)

CLASE DE ACTIVIDAD

- APECTA AL CUATERNARIO
- APECTA A LA MORFOLOGIA
- ASOCIADA A SISMICIDAD
- GEOTERMISMO

	SI	NO	?	CLASIFICACION		
				SEGUN	TABLA	I
APECTA AL CUATERNARIO	×					
APECTA A LA MORFOLOGIA	×					
ASOCIADA A SISMICIDAD			×			
GEOTERMISMO			×			

**FICHA DE FALLA**

No 137 **DENOMINACION** SISTEMA *Campo de Cartagena* **SITUACION** ZONA *BETICA*  
**FALLA** *Cervera* **DOMINIO** \_\_\_\_\_  
**SECTOR** \_\_\_\_\_ **CUENCA** *Cartagena*  
**Fecha:** \_\_\_\_\_ **Autor:** *L. Somoza y L.M. Barranco*

**Para las fallas bien visibles en superficie:**

**GEOMETRIA**

LONGITUD *10-15 Km.*  
 RUMBO *N60°*  
 BUZAMIENTO *35° SE*

**ANALISIS TECTO/NEO/EVOLUTIVO**

Sobre la misma estructura       En estructuras menores asociadas

EDAD DE LOS MATERIALES AFECTADOS	TIPIFICACION				REGIMEN TECTONICO		ESFUERZOS	SALTOS	
	NORMAL	DESGARRE		INVERSA	COMPRESION	DISTENSION	DIRECCION DE $\sigma_1$ O $\sigma_3$ EN LA HORIZONTAL	EN	EN
	MIXTA	L	D	MIXTA				HORIZ.	VERT.
PRE-TORT.									
TORT-INF.									
TORT-SUP.									
MESSIN.									
PLIOCENO									
PLIO-CUAT.					x	x	<i><math>\sigma_1 \approx 150^\circ E</math></i>		
CUATERNARIO									

**ASPECTO Y NATURALEZA DE LOS MAT. AFECTADOS**

*Calcaremita marina del Plioc. Superior (P-II de Montcaut)*

**EL RELLENO**

-Relación con las estructuras mayores o con otras fallas importantes:

Analisis realizado por:  
*rdem*



Para todas las fallas

TECTO-SEDIMENTACION

FALLA DETECTADA POR ESTE METODO	SI	<input checked="" type="checkbox"/>	RUMBO PROB.	ENE	BUZ. PROB.	al Sur
	NO	<input type="checkbox"/>	LONG. PROB.	24 km.	TIPO PROB.	normal

Breve descripción de la influencia en las características de la sedimentación y edad de los materiales

GEOMORFOLOGIA

FALLA DETECTADA POR ESTE METODO	<input checked="" type="checkbox"/>	RUMBO PROB.		BUZ. PROB.	
SE OBSERVA COMO LINEAMIENTO?	<input type="checkbox"/>	LONG. PROB.		TIPO PROB.	

ANOMALIAS GEOMORFOLOGICAS LIGADAS Y/O PROB. LIGADAS

EN EL RELIEVE O LADERAS

EN LA RED HIDROG.

OTROS

Escarpe de fallas

Valles colgados

Caras afacetadas

Capturas

Basculamientos

Encajamientos

Encajamientos

Inflexiones

Solapes

Difluencias

Cambios bruscos en el perfil

GEOFISICA

FALLA DETECTADA POR ESTE METODO	Si	RUMBO PROB.	ENE	BUZ. PROB.	
		LONG. PROB.	24 km.	TIPO PROB.	

Por el metodo Electrico

Profundidad de la estructura

Sismico

Edad mat. a los que afecta

Gravimetrico

**GEOTERMISMO/VOLCANISMO ASOCIADO**

Volcanismo	Quimismo o clase _____	Geotermismo	Manantiales	<input type="checkbox"/>	Temperatura	<input type="checkbox"/>
	Edad absoluta _____		Sondeo	<input type="checkbox"/>	Profundidad	<input type="checkbox"/>

**SISMICIDAD ASOCIADA**

HISTORICA

Nº SISMOS \_\_\_\_\_ / CORRELACION B

INTENS. MAX. \_\_\_\_\_ V P

ISOSISTAS \_\_\_\_\_ M

Relación con la estructura:

INSTRUMENTAL

Nº SISMOS \_\_\_\_\_ MAGNITUDES MAX. \_\_\_\_\_

PROFUNDIDADES MEDIAS \_\_\_\_\_ REPLICAS \_\_\_\_\_

RUMBO DE LAS MISMAS \_\_\_\_\_

ERROR EPICENTRO \_\_\_\_\_ ERROR PROF. \_\_\_\_\_

CORRELACION CON LA FALLA B

<input type="checkbox"/>	B (Buena)
<input checked="" type="checkbox"/>	P (Probable)
<input type="checkbox"/>	M (Mala)


CLASE DE ACTIVIDAD

APECTA AL CUATERNARIO

APECTA A LA MORFOLOGIA

ASOCIADA A SISMICIDAD

GEOTERMISMO

SI	NO	?	CLASIFICACION SEGUN TABLA I
		x	
x			
		x	
	x		

**FICHA DE FALLA**

Nº 138 DENOMINACION SITUACION  
SISTEMA Campo de Cartagena ZONA BBTICo  
FALLA REBATE DOMINIO \_\_\_\_\_  
SECTOR Pto de Robala CUENCA Cartagena  
 Fecha: \_\_\_\_\_ Autor: L. Somoza

Para las fallas bien visibles en superficie:

GEOMETRIA

LONGITUD \_\_\_\_\_  
 RUMBO N-90°  
 BUZAMIENTO 55 N

ANALISIS TECTO/NEO/EVOLUTIVO

Sobre la misma estructura       En estructuras menores asociadas

EDAD DE LOS MATERIALES AFECTADOS	TIPIFICACION				REGIMEN TECTONICO		ESFUERZOS	SALTOS	
	NORMAL	DESGARRE		INVERSA	COMPRESION	DISTENSION	DIRECCION DE $\sigma_1$ O $\sigma_2$ EN LA HORIZONTAL	EN	EN
	MIXTA	L	D	MIXTA				HORIZ.	VERT
PRE-TORT.									
TORT-INF.									
TORT-SUP.									
MESSIN.									
PLIOCENO									
PLIO-CUAT.									
CUATERNARIO					x	x	5,2/180°		

ASPECTO Y NATURALEZA DE LOS MAT. AFECTADOS

Formacion San Pedro, de caliza lacustres pulverulentas de edad plio-cuaternal.  
 d Pleistoc. inferior?

EL RELLENO

-Relación con las estructuras mayores o con otras fallas importantes:

Analisis realizado por:

Para todas las fallas

TECTO-SEDIMENTACION

FALLA DETECTADA POR ESTE METODO	SI	
	NO	

RUMBO PROB.		BUZ. PROB.	
LONG. PROB.		TIPO PROB.	

Breve descripción de la influencia en las características de la sedimentación y edad de los materiales

GEOMORFOLOGIA

FALLA DETECTADA POR ESTE METODO	X
SE OBSERVA COMO LINEAMIENTO?	

RUMBO PROB.		BUZ. PROB.	
LONG. PROB.		TIPO PROB.	

ANOMALIAS GEOMORFOLOGICAS LIGADAS Y/O PROB. LIGADAS

EN EL RELIEVE O LADERAS

EN LA RED HIDROG.

OTROS

Escarpe de fallas	
Caras afacetadas	
Basculamientos	X
Encajamientos	
Solapes	

Valles colgados	
Capturas	
Encajamientos	
Inflexiones	
Difluencias	
Cambios bruscos en el perfil	

GEOFISICA

FALLA DETECTADA POR ESTE METODO	
---------------------------------	--

RUMBO PROB.		BUZ. PROB.	
LONG. PROB.		TIPO PROB.	

Por el metodo	Electrico	
	Sismico	
	Gravimetrico	

Profundidad de la estructura	
Edad mat. a los que afecta	

GEOTERMISMO/VOLCANISMO ASOCIADO

Volcanismo	Quimismo o clase _____	Geotermismo	Manantiales	[ ]	Temperatura	[ ]
	Edad absoluta _____		Sondeo	[ ]	Profundidad	[ ]

SISMICIDAD ASOCIADA

HISTORICA

Nº SISMOS \_\_\_\_\_ / \_\_\_\_\_ CORRELACION B [ ]

INTENS. MAX. \_\_\_\_\_ ✓ P [x]

ISOSISTAS \_\_\_\_\_ M [ ]

Relación con la estructura:

INSTRUMENTAL

Nº SISMOS \_\_\_\_\_ MAGNITUDES MAX. \_\_\_\_\_

PROFUNDIDADES MEDIAS \_\_\_\_\_ REPLICAS \_\_\_\_\_

RUMBO DE LAS MISMAS \_\_\_\_\_

ERROR EPICENTRO \_\_\_\_\_ ERROR PROF. \_\_\_\_\_


CORRELACION CON LA FALLA B [ ] B (Buena)

P [x] P (Probable)

M [ ] M (Mala)

CLASE DE ACTIVIDAD

- APECTA AL CUATERNARIO
- APECTA A LA MORFOLOGIA
- ASOCIADA A SISMICIDAD
- GEOTERMISMO

	SI	NO	?	CLASIFICACION SEGUN TABLA I
APECTA AL CUATERNARIO	x			
APECTA A LA MORFOLOGIA	x			
ASOCIADA A SISMICIDAD			x	
GEOTERMISMO		x		

**FICHA DE FALLA**

Nº 139 DENOMINACION SITUACION  
 SISTEMA CUÑA DE AGULLAS ZONA BETICA  
 FALLA Cabo Cape DOMINIO \_\_\_\_\_  
 SECTOR \_\_\_\_\_ CUENCA Cape  
 Fecha: \_\_\_\_\_ Autor: T. Bardojo

Para las fallas bien visibles en superficie:

**GEOMETRIA**

LONGITUD \_\_\_\_\_  
 RUMBO N 140° y N 50-45°  
 BUZAMIENTO 290°

**ANALISIS TECTO/NEO/EVOLUTIVO**

Sobre la misma estructura       En estructuras menores asociadas

EDAD DE LOS MATERIALES AFECTADOS	TIPIFICACION				REGIMEN TECTONICO		ESFUERZOS	SALTOS	
	NORMAL	DESGARRE		INVERSA	COMPRESION	DISTENSION	DIRECCION DE $\sigma_1$ , $\sigma_2$ , $\sigma_3$ EN LA HORIZONTAL	EN	EN
	MIXTA	L	D	MIXTA				HORIZ.	VERT.
PRE-TORT.									
TORT-INF.									
TORT-SUP.									
MESSIN.									
PLIOCENO									
PLIO-CUAT.									
CUATERNARIO	x				x		$\sigma_1 \approx 170^\circ E$		

ASPECTO Y NATURALEZA DE LOS MAT. AFECTADOS

*Playa conglomerática (Pleistoceno medio)*

EL RELLENO

-Relación con las estructuras mayores o con otras fallas importantes:

Analisis realizado por:

*idem.*

Para todas las fallas

TECTO-SEDIMENTACION

FALLA DETECTADA POR ESTE METODO	SI		RUMBO PROB.		BUZ. PROB.	
	NO		LONG. PROB.		TIPO PROB.	

Breve descripción de la influencia en las características de la sedimentación y edad de los materiales

GEOMORFOLOGIA

FALLA DETECTADA POR ESTE METODO		RUMBO PROB.		BUZ. PROB.	
SE OBSERVA COMO LINEAMIENTO?		LONG. PROB.		TIPO PROB.	

ANOMALIAS GEOMORFOLOGICAS LIGADAS Y/O PROB. LIGADAS

EN EL RELIEVE O LADERAS

EN LA RED HIDROG.

OTROS

Escarpe de fallas	<input type="checkbox"/>	Valles colgados	<input type="checkbox"/>
Caras afacetadas	<input type="checkbox"/>	Capturas	<input type="checkbox"/>
Basculamientos	<input type="checkbox"/>	Encajamientos	<input type="checkbox"/>
Encajamientos	<input type="checkbox"/>	Inflexiones	<input type="checkbox"/>
Solapes	<input type="checkbox"/>	Difluencias	<input type="checkbox"/>
		Cambios bruscos en el perfil	<input type="checkbox"/>

GEOFISICA

FALLA DETECTADA POR ESTE METODO		RUMBO PROB.		BUZ. PROB.	
		LONG. PROB.		TIPO PROB.	

Por el metodo	Electrico	<input type="checkbox"/>	Profundidad de la estructura	<input type="checkbox"/>
	Sismico	<input type="checkbox"/>	Edad mat. a los que afecta	<input type="checkbox"/>
	Gravimetrico	<input type="checkbox"/>		

**GEOTERMISMO/VOLCANISMO ASOCIADO**

Volcanismo	Quimismo o clase _____	Geotermismo	Manantiales	<input type="checkbox"/>	Temperatura	<input type="checkbox"/>
	Edad absoluta _____		Sondeo	<input type="checkbox"/>	Profundidad	<input type="checkbox"/>

**SISMICIDAD ASOCIADA**

HISTORICA

Nº SISMOS \_\_\_\_\_

INTENS. MAX. \_\_\_\_\_

ISOSISTAS \_\_\_\_\_

Relación con la estructura:

INSTRUMENTAL

CORRELACION B P M	Nº SISMOS _____	MAGNITUDES MAX. _____
	PROFUNDIDADES MEDIAS _____	REPLICAS _____
	RUMBO DE LAS MISMAS _____	
	ERROR EPICENTRO _____	ERROR PROF. _____

CORRELACION CON LA FALLA B


P

M

B (Buena)  
P (Probable)  
M (Mala)

CLASE DE ACTIVIDAD

- APECTA AL CUATERNARIO
- APECTA A LA MORFOLOGIA
- ASOCIADA A SISMICIDAD
- GEOTERMISMO

SI	NO	?	CLASIFICACION SEGUN TABLA I
X			
	X		
		X	
	X		



### FICHA DE FALLA

Nº 140 DENOMINACION SITUACION  
SISTEMA CUÑA DE AGUILAS ZONA BETICA  
FALLA FL COCON-CUATRO CALAS DOMINIO  
SECTOR CUENCA AGUILAS  
 Fecha: Autor: T. Borda

Para las fallas bien visibles en superficie:

#### GEOMETRIA

LONGITUD  
 RUMBO N 110-90° y N° 20°  
 BUZAMIENTO ~ 90°

#### ANALISIS TECTO/NEO/EVOLUTIVO

Sobre la misma estructura
  En estructuras menores asociadas

EDAD DE LOS MATERIALES AFECTADOS	TIPIFICACION				REGIMEN TECTONICO		ESFUERZOS	SALTOS	
	NORMAL	DESGARRE		INVERSA	COMPRESION	DISTENSION	DIRECCION DE $\sigma_1$ , $\sigma_2$ , EN LA HORIZONTAL	EN	EN
	MIXTA	L	D	MIXTA				HORIZ.	VERT.
PRE-TORT.									
TORT-INF.									
TORT-SUP.									
MESSIN.									
PLIOCENO									
PLIO-CUAT.									
CUATERNARIO	x			x			$\sigma_1$ 2170° E		

#### ASPECTO Y NATURALEZA DE LOS MAT. AFECTADOS

*Aluvion deltaicas ; conglomerada, arenica. (Pleistoceno inferior-medio)*

#### EL RELLENO

-Relación con las estructuras mayores o con otras fallas importantes:

Analisis realizado por:

*idem.*

Para todas las fallas

TECTO-SEDIMENTACION

FALLA DETECTADA POR ESTE METODO	SI	
	NO	

RUMBO PROB.		BUZ. PROB.	
LONG. PROB.		TIPO PROB.	

Breve descripción de la influencia en las características de la sedimentación y edad de los materiales

GEOMORFOLOGIA

FALLA DETECTADA POR ESTE METODO	
SE OBSERVA COMO LINEAMIENTO?	

RUMBO PROB.		BUZ. PROB.	
LONG. PROB.		TIPO PROB.	

ANOMALIAS GEOMORFOLOGICAS LIGADAS Y/O PROB. LIGADAS

EN EL RELIEVE O LADERAS

EN LA RED HIDROG.

OTROS

- Escarpe de fallas
- Caras afacetadas
- Basculamientos
- Encajamientos
- Solapes


- Valles colgados
- Capturas
- Encajamientos
- Inflexiones
- Difluencias
- Cambios bruscos en el perfil


GEOFISICA

FALLA DETECTADA POR ESTE METODO	
---------------------------------	--

RUMBO PROB.		BUZ. PROB.	
LONG. PROB.		TIPO PROB.	

- Por el metodo Electrico
- Sismico
- Gravimetrico


- Profundidad de la estructura
- Edad mat. a los que afecta


GEOTERMISMO/VOLCANISMO ASOCIADO

Volcanismo	Quimismo o clase _____	Geotermismo	Manantiales	<input type="checkbox"/>	Temperatura	<input type="checkbox"/>
	Edad absoluta _____		Sondeo	<input type="checkbox"/>	Profundidad	<input type="checkbox"/>

SISMICIDAD ASOCIADA

HISTORICA

Nº SISMOS \_\_\_\_\_

INTENS. MAX. \_\_\_\_\_

ISOSISTAS \_\_\_\_\_

Relación con la estructura:

INSTRUMENTAL

CORRELACION	B	Nº SISMOS _____ 1	MAGNITUDES MAX. _____ 2.9
	P	PROFUNDIDADES MEDIAS _____ <20	REPLICAS _____
	M	RUMBO DE LAS MISMAS _____	
		ERROR EPICENTRO _____ >10	ERROR PROF. _____ >5

CORRELACION CON LA FALLA

B	B (Buena)
P	P (Probable)
M	M (Mala)

CLASE DE ACTIVIDAD

- APECTA AL CUATERNARIO
- APECTA A LA MORFOLOGIA
- ASOCIADA A SISMICIDAD
- GEOTERMISMO

	SI	NO	?	CLASIFICACION SEGUN TABLA I
APECTA AL CUATERNARIO	X			<div style="border: 1px solid black; padding: 5px; display: inline-block;"> <b>A-II</b> </div>
APECTA A LA MORFOLOGIA		X		
ASOCIADA A SISMICIDAD			X	
GEOTERMISMO		X		

**FICHA DE FALLA**

Nº 141 DENOMINACION SISTEMA CUNÑA DE AGUILAS SITUACION  
FALLA LA GALERA ZONA BETICA  
SECTOR CUENCA COPE  
 Fecha: Autor: T. Bordaaji

Para las fallas bien visibles en superficie:

**GEOMETRIA**

LONGITUD > 5 km.  
 RUMBO NO-SE (N120°E)  
 BOZAMIENTO

**ANALISIS TECTO/NEO/EVOLUTIVO**

Sobre la misma estructura       En estructuras menores asociadas

EDAD DE LOS MATERIALES AFECTADOS	TIPIFICACION				REGIMEN TECTONICO		ESFUERZOS	SALTOS	
	NORMAL	DESGARRE		INVERSA	COMPRESION	DISTENSION	DIRECCION DE $\sigma_1$ , $0$ $\sigma_3$ EN LA HORIZONTAL	EN HORIZ.	EN VERT.
		MIXTA	L						
PRE-TORT.									
TORT-INF.									
TORT-SUP.									
MESSIN.									
PLIOCENO									
PLIO-CUAT.									
CUATERNARIO		X	X		X		$\sigma_1 \approx 180^\circ$		

**ASPECTO Y NATURALEZA DE LOS MAT. AFECTADOS**

Afecto a depósitos de abanico aluvial del Pleistoceno medio y a depósitos marinos tirrenienses (con *Strombus bubonius*), probablemente Tirreniense II (130 k.a)  
 Existe un salto entre los niveles de playa de  $\approx 2-4$  m.

**EL RELLENO**

-Relación con las estructuras mayores o con otras fallas importantes:

Analisis realizado por:

Afecto a la depósitos de salida de rambla marina marcando su dirección durante el Cuaternario

Para todas las fallas

TECTO-SEDIMENTACION

FALLA DETECTADA POR ESTE METODO	SI	X
	NO	

RUMBO PROB.	120°	BUZ. PROB.	
LONG. PROB.		TIPO PROB.	

Breve descripción de la influencia en las características de la sedimentación y edad de los materiales

Este sistema marca la dirección de salida de las "FAN-DELTA" Cuaternaria

GEOMORFOLOGIA

FALLA DETECTADA POR ESTE METODO	X
SE OBSERVA COMO LINEAMIENTO?	SI

RUMBO PROB.	120°	BUZ. PROB.	80.
LONG. PROB.	> 5 km.	TIPO PROB.	

ANOMALIAS GEOMORFOLOGICAS LIGADAS Y/O PROB. LIGADAS

EN EL RELIEVE O LADERAS

Escarpe de fallas	
Caras afacetadas	
Basculamientos	X
Encajamientos	
Solapes	X

EN LA RED HIDROG.

Valles colgados	
Capturas	
Encajamientos	
Inflexiones	
Difluencias	
Cambios bruscos en el perfil	X

OTROS


GEOFISICA

FALLA DETECTADA POR ESTE METODO	
---------------------------------	--

RUMBO PROB.		BUZ. PROB.	
LONG. PROB.		TIPO PROB.	

Por el metodo	Electrico	
	Sismico	
	Gravimetrico	

Profundidad de la estructura	
Edad mat. a los que afecta	

**GOTERMISMO/VOLCANISMO ASOCIADO**

Volcanismo	Quimismo o clase _____	Geotermismo	Manantiales	<input type="checkbox"/>	Temperatura	<input type="checkbox"/>
	Edad absoluta _____		Sondeo	<input type="checkbox"/>	Profundidad	<input type="checkbox"/>

**SISMICIDAD ASOCIADA**

HISTORICA

Nº SISMOS \_\_\_\_\_ CORRELACION B   
 INTENS. MAX. \_\_\_\_\_ P   
 ISOSISTAS \_\_\_\_\_ M   
 Relación con la estructura:


INSTRUMENTAL

Nº SISMOS \_\_\_\_\_ MAGNITUDES MAX. \_\_\_\_\_  
 PROFUNDIDADES MEDIAS \_\_\_\_\_ REPLICAS \_\_\_\_\_  
 RUMBO DE LAS MISMAS \_\_\_\_\_  
 ERROR EPICENTRO \_\_\_\_\_ ERROR PROF. \_\_\_\_\_

CORRELACION CON LA FALLA B  B (Buena)  
 P  P (Probable)  
 M  M (Mala)

CLASE DE ACTIVIDAD

- APECTA AL CUATERNARIO
- APECTA A LA MORFOLOGIA
- ASOCIADA A SISMICIDAD
- GEOTERMISMO

	SI	NO	?	CLASIFICACION SEGUN TABLA I
APECTA AL CUATERNARIO	×			
APECTA A LA MORFOLOGIA	×			
ASOCIADA A SISMICIDAD			×	
GEOTERMISMO		×		

**FICHA DE FALLA**

Nº 142 DENOMINACION SITUACION  
 SISTEMA DEL SEGURA ZONA BETICA  
 FALLA MOLINA DE SEGURA DOMINIO \_\_\_\_\_  
 SECTOR \_\_\_\_\_ CUENCA MULA-FORTUNO  
 Fecha: \_\_\_\_\_ Autor: P. Silva

Para las fallas bien visibles en superficie:

**GEOMETRIA**

LONGITUD 10.4 km.  
 RUMBO N 151° E  
 BUZAMIENTO > 45 SW

**ANALISIS TECTO/NEO/EVOLUTIVO**

Sobre la misma estructura       En estructuras menores asociadas

EDAD DE LOS MATERIALES AFECTADOS	TIPIFICACION				REGIMEN TECTONICO		ESFUERZOS	SALTOS	
	NORMAL	DESGARRE		INVERSA	COMPRESION	DISTENSION	DIRECCION DE $\sigma_1$ O $\sigma_3$ EN LA HORIZONTAL	EN	EN
	MIXTA	L	D	MIXTA				HORIZ.	VERT
PRE-TORT.									
TORT-INF.									
TORT-SUP.									
MESSIN.									
PLIOCENO									
PLIO-CUAT.									
CUATERNARIO									

ASPECTO Y NATURALEZA DE LOS MAT. AFECTADOS

EL RELLENO

-Relación con las estructuras mayores o con otras fallas importantes:

Analisis realizado por:  
idem

Para todas las fallas

TECTO-SEDIMENTACION

FALLA DETECTADA POR ESTE METODO	SI	RUMBO PROB.	BUZ. PROB.
	NO	LONG. PROB.	TIPO PROB.

Breve descripción de la influencia en las características de la sedimentación y edad de los materiales :

GEOMORFOLOGIA

FALLA DETECTADA POR ESTE METODO	Si	RUMBO PROB.	N 151° E	BUZ. PROB.	745 SE
SE OBSERVA COMO LINEAMIENTO?	Si	LONG. PROB.	10.4 Km	TIPO PROB.	normal

ANOMALIAS GEOMORFOLOGICAS LIGADAS Y/O PROB. LIGADAS

EN EL RELIEVE O LADERAS

Escarpe de fallas	<input type="checkbox"/>
Caras afacetadas	<input type="checkbox"/>
Basculamientos	<input type="checkbox"/>
Encajamientos	<input type="checkbox"/>
Solapes	<input checked="" type="checkbox"/>

EN LA RED HIDROG.

Valles colgados	<input type="checkbox"/>
Capturas	<input type="checkbox"/>
Encajamientos	<input type="checkbox"/>
Inflexiones	<input type="checkbox"/>
Difluencias	<input type="checkbox"/>
Cambios bruscos en el perfil	<input type="checkbox"/>

OTROS

Rectificación del curso de la  
ferrocarril del Pleistoceno Superior

GEOFISICA

FALLA DETECTADA POR ESTE METODO	Si	RUMBO PROB.	BUZ. PROB.
		LONG. PROB.	TIPO PROB.

Por el metodo	Electrico	<input checked="" type="checkbox"/>
	Sismico	<input type="checkbox"/>
	Gravimetrico	<input type="checkbox"/>

Profundidad de la estructura	<input type="text"/>
Edad mat. a los que afecta	<input type="text"/>



GEOTERMISMO/VOLCANISMO ASOCIADO

Volcanismo	Quimismo o clase _____ Edad absoluta _____	Geotermismo	Manantiales <input type="checkbox"/> Sondeo <input type="checkbox"/>	Temperatura <input type="text"/> Profundidad <input type="text"/>
------------	---	-------------	---	--

SISMICIDAD ASOCIADA

HISTORICA

Nº SISMOS 9 CORRELACION B   
 INTENS. MAX. VII P   
 ISOSISTAS \_\_\_\_\_ M   
 Relación con la estructura:


INSTRUMENTAL

Nº SISMOS \_\_\_\_\_ MAGNITUDES MAX. \_\_\_\_\_  
 PROFUNDIDADES MEDIAS \_\_\_\_\_ REPLICAS \_\_\_\_\_  
 RUMBO DE LAS MISMAS \_\_\_\_\_  
 ERROR EPICENTRO \_\_\_\_\_ ERROR PROF. \_\_\_\_\_

CORRELACION CON LA FALLA B  B (Buena)  
 P  P (Probable)  
 M  M (Mala)

CLASE DE ACTIVIDAD

- APECTA AL CUATERNARIO
- APECTA A LA MORFOLOGIA
- ASOCIADA A SISMICIDAD
- GEOTERMISMO

	SI	NO	?	CLASIFICACION		
				SEGUN	TABLA	I
APECTA AL CUATERNARIO			X	<div style="border: 1px solid black; padding: 5px; display: inline-block;">  </div>		
APECTA A LA MORFOLOGIA	X					
ASOCIADA A SISMICIDAD	X					
GEOTERMISMO		X				

**FICHA DE FALLA**

No 143 DENOMINACION SISTEMA CADIZ-ALICANTE SITUACION ZONA SUBBETICA  
 FALLA Archeng DOMINIO \_\_\_\_\_  
 SECTOR \_\_\_\_\_ CUENCA MULA  
 Fecha: \_\_\_\_\_ Autor: P. Silva

Para las fallas bien visibles en superficie:

**GEOMETRIA**

LONGITUD 9 km.  
 RUMBO N 80° E  
 BUZAMIENTO > 40° SE

**ANALISIS TECTO/NEO/EVOLUTIVO**

Sobre la misma estructura       En estructuras menores asociadas

EDAD DE LOS MATERIALES AFECTADOS	TIPIFICACION				REGIMEN TECTONICO		ESFUERZOS	SALTOS	
	NORMAL	DESGARRE		INVERSA	COMPRESION	DISTENSION	DIRECCION DE $\sigma_1$ O $\sigma_3$ EN LA HORIZONTAL	EN	EN
	MIXTA	L	D	MIXTA				HORIZ.	VERT
PRE-TORT.									
TORT-INF.									
TORT-SUP.									
MESSIN.									
PLIOCENO									
PLIO-CUAT.									
CUATERNARIO									

**ASPECTO Y NATURALEZA DE LOS MAT. AFECTADOS**

**EL RELLENO**

-Relación con las estructuras mayores o con otras fallas importantes:

Analisis realizado por:

Para todas las fallas

TECTO-SEDIMENTACION

FALLA DETECTADA POR ESTE METODO	SI	RUMBO PROB.	BUZ. PROB.
	NO	LONG. PROB.	TIPO PROB.

Breve descripción de la influencia en las características de la sedimentación y edad de los materiales

GEOMORFOLOGIA

FALLA DETECTADA POR ESTE METODO	SI	RUMBO PROB.	N5°E	BUZ. PROB.	> 45 SE
SE OBSERVA COMO LINEAMIENTO?	SI	LONG. PROB.	9 km	TIPO PROB.	normal

ANOMALIAS GEOMORFOLOGICAS LIGADAS Y/O PROB. LIGADAS

EN EL RELIEVE O LADERAS

EN LA RED HIDROG.

OTROS

- Escarpe de fallas
- Caras afacetadas
- Basculamientos
- Encajamientos
- Solapes


- Valles colgados
- Capturas
- Encajamientos
- Inflexiones
- Difluencias
- Cambios bruscos en el perfil

X

GEOFISICA

FALLA DETECTADA POR ESTE METODO	RUMBO PROB.	BUZ. PROB.
	LONG. PROB.	TIPO PROB.

- Por el metodo
- Electrico
  - Sismico
  - Gravimetrico


Profundidad de la estructura

Edad mat. a los que afecta


GEOTERMISMO/VOLCANISMO ASOCIADO

Volcanismo	Quimismo o clase _____	Geotermismo	Manantiales	<input type="checkbox"/>	Temperatura	<input type="checkbox"/>
	Edad absoluta _____		Sondeo	<input type="checkbox"/>	Profundidad	<input type="checkbox"/>

SISMICIDAD ASOCIADA

HISTORICA

INSTRUMENTAL

Nº SISMOS 3 CORRELACION B

INTENS. MAX. v P

ISOSISTAS \_\_\_\_\_ M

Relación con la estructura:

Nº SISMOS 2 MAGNITUDES MAX. 3.2

PROFUNDIDADES MEDIAS > 20 km REPLICAS \_\_\_\_\_

RUMBO DE LAS MISMAS \_\_\_\_\_

ERROR EPICENTRO > 10 km ERROR PROF. > 5 km

CORRELACION CON LA FALLA B

P

M

B (Buena)  
P (Probable)  
M (Mala)

CLASE DE ACTIVIDAD

- APECTA AL CUATERNARIO
- APECTA A LA MORFOLOGIA
- ASOCIADA A SISMICIDAD
- GEOTERMISMO

	SI	NO	?	CLASIFICACION		
				SEGUN	TABLA	I
APECTA AL CUATERNARIO		X		<div style="border: 1px solid black; padding: 5px; display: inline-block;">D-1</div>		
APECTA A LA MORFOLOGIA	X					
ASOCIADA A SISMICIDAD	X					
GEOTERMISMO		X				

**FICHA DE FALLA**

Nº 144 DENOMINACION SITUACION  
SISTEMA LORCA-ALHAMA ZONA BETIC  
FALLA Orhuel DOMINIO \_\_\_\_\_  
SECTOR Margen 129. del Segura CUENCA FORTUNA  
 Fecha: \_\_\_\_\_ Autor: P. Silva

Para las fallas bien visibles en superficie:

**GEOMETRIA**

LONGITUD 11 km.  
 RUMBO N 36° E  
 BUZAMIENTO \_\_\_\_\_

**ANALISIS TECTO/NEO/EVOLUTIVO**

Sobre la misma estructura       En estructuras menores asociadas

EDAD DE LOS MATERIALES AFECTADOS	TIPIFICACION				REGIMEN TECTONICO		ESFUERZOS	SALTOS	
	NORMAL	DESGARRE		INVERSA	COMPRESION	DISTENSION	DIRECCION DE $\sigma_1$ O $\sigma_3$ EN LA HORIZONTAL	EN	EN
	MIXTA	L	D	MIXTA				HORIZ.	VERT.
PRE-TORT.									
TORT-INF.									
TORT-SUP.									
MESSIN.									
PLIOCENO									
PLIO-CUAT.									
CUATERNARIO									

ASPECTO Y NATURALEZA DE LOS MAT. AFECTADOS

EL RELLENO

-Relación con las estructuras mayores o con otras fallas importantes:

Analisis realizado por:

Para todas las fallas

TECTO-SEDIMENTACION

FALLA DETECTADA POR ESTE METODO	SI	RUMBO PROB.	BUZ. PROB.
	NO	LONG. PROB.	TIPO PROB.

Breve descripción de la influencia en las características de la sedimentación y edad de los materiales

GEOMORFOLOGIA

FALLA DETECTADA POR ESTE METODO	Si	RUMBO PROB.	N36°E	BUZ. PROB.	
SE OBSERVA COMO LINEAMIENTO?	Si	LONG. PROB.	11 kms	TIPO PROB.	sinestral

ANOMALIAS GEOMORFOLOGICAS LIGADAS Y/O PROB. LIGADAS

EN EL RELIEVE O LADERAS..

- Escarpe de fallas
- Caras afacetadas
- Basculamientos
- Encajamientos
- Solapes


EN LA RED HIDROG.

- Valles colgados
- Capturas
- Encajamientos
- Inflexiones
- Difluencias
- Cambios bruscos en el perfil


OTROS

- \* alineación de Esmilán de formación superficial
- \* Desplazamiento de cristas.

GEOFISICA

FALLA DETECTADA POR ESTE METODO	Si	RUMBO PROB.	BUZ. PROB.
		LONG. PROB.	TIPO PROB.

- Por el metodo
- Electrico
  - Sismico
  - Gravimetrico

X

- Profundidad de la estructura
- Edad mat. a los que afecta


GEOTERMISMO/VOLCANISMO ASOCIADO

Volcanismo	Quimismo o clase _____ Edad absoluta _____	Geotermismo	Manantiales <input type="checkbox"/> Sondeo <input type="checkbox"/>	Temperatura <input type="text"/> Profundidad <input type="text"/>
------------	---	-------------	---	--

SISMICIDAD ASOCIADA

HISTORICA

Nº SISMOS \_\_\_\_\_ / \_\_\_\_\_  
 INTENS. MAX. \_\_\_\_\_ / V \_\_\_\_\_  
 ISOSISTAS \_\_\_\_\_  
 Relación con la estructura:

INSTRUMENTAL

Nº SISMOS \_\_\_\_\_ / \_\_\_\_\_ MAGNITUDES MAX. \_\_\_\_\_ ?  
 PROFUNDIDADES MEDIAS 20-40 REPLICAS \_\_\_\_\_  
 RUMBO DE LAS MISMAS \_\_\_\_\_  
 ERROR EPICENTRO >10 ERROR PROF. <5

CORRELACION B   
 P   
 M

CORRELACION CON LA FALLA B   
 P   
 M

B (Buena)  
 P (Probable)  
 M (Mala)

CLASE DE ACTIVIDAD

- APECTA AL CUATERNARIO
- APECTA A LA MORFOLOGIA
- ASOCIADA A SISMICIDAD
- GEOTERMISMO

	SI	NO	?	CLASIFICACION SEGUN TABLA I
APECTA AL CUATERNARIO			X	<div style="border: 1px solid black; padding: 5px; display: inline-block;">D-1</div>
APECTA A LA MORFOLOGIA	X			
ASOCIADA A SISMICIDAD	X			
GEOTERMISMO		X		

**FICHA DE FALLA**

Nº 145 DENOMINACION SISTEMA SUBBETICO SITUACION ZONA SUBBETICO  
 FALLA Sur Guegin DOMINIO EXTERNO  
 SECTOR \_\_\_\_\_ CUENCA \_\_\_\_\_  
 Fecha: \_\_\_\_\_ Autor: P. Silva

Para las fallas bien visibles en superficie:

**GEOMETRIA**

LONGITUD 9 km  
 RUMBO N60°E  
 BUZAMIENTO ?

**ANALISIS TECTO/NEO/EVOLUTIVO**

Sobre la misma estructura       En estructuras menores asociadas

EDAD DE LOS MATERIALES AFECTADOS	TIPIFICACION				REGIMEN TECTONICO		ESFUERZOS	SALTOS	
	NORMAL	DESGARRE		INVERSA	COMPRESION	DISTENSION	DIRECCION DE $\sigma_1$ O $\sigma_3$ EN LA HORIZONTAL	EN	EN
	MIXTA	L	D	MIXTA				HORIZ.	VERT
PRE-TORT.									
TORT-INF.									
TORT-SUP.									
MESSIN.									
PLIOCENO									
PLIO-CUAT.									
CUATERNARIO									

**ASPECTO Y NATURALEZA DE LOS MAT. AFECTADOS**

**EL RELLENO**

-Relación con las estructuras mayores o con otras fallas importantes:

Analisis realizado por:



Para todas las fallas

TECTO-SEDIMENTACION

FALLA DETECTADA POR ESTE METODO	SI	<input type="checkbox"/>
	NO	<input type="checkbox"/>

RUMBO PROB.	<input type="checkbox"/>	BUZ. PROB.	<input type="checkbox"/>
LONG. PROB.	<input type="checkbox"/>	TIPO PROB.	<input type="checkbox"/>

Breve descripción de la influencia en las características de la sedimentación y edad de los materiales

GEOMORFOLOGIA

FALLA DETECTADA POR ESTE METODO	Si	<input checked="" type="checkbox"/>
SE OBSERVA COMO LINEAMIENTO?		<input type="checkbox"/>

RUMBO PROB.	N60°E	BUZ. PROB.	> 40° SW
LONG. PROB.	5 km	TIPO PROB.	normal

ANOMALIAS GEOMORFOLOGICAS LIGADAS Y/O PROB. LIGADAS

EN EL RELIEVE O LADERAS

EN LA RED HIDROG.

OTROS

Escarpe de fallas


Valles colgados


Caras afacetadas

Capturas

Basculamientos

Encajamientos

Encajamientos

Inflexiones

Solapes

Difluencias

Cambios bruscos en el perfil

GEOFISICA

FALLA DETECTADA POR ESTE METODO	<input type="checkbox"/>
---------------------------------	--------------------------

RUMBO PROB.	<input type="checkbox"/>	BUZ. PROB.	<input type="checkbox"/>
LONG. PROB.	<input type="checkbox"/>	TIPO PROB.	<input type="checkbox"/>

Por el metodo Electrico


Profundidad de la estructura

Sismico

Edad mat. a los que afecta

Gravimetrico

**GEOTERMISMO/VOLCANISMO ASOCIADO**

Volcanismo	Quimismo o clase _____	Geotermismo	Manantiales <input type="checkbox"/>	Temperatura	
	Edad absoluta _____		Sondeo <input type="checkbox"/>	Profundidad	

**SISMICIDAD ASOCIADA**

HISTORICA

Nº SISMOS \_\_\_\_\_

INTENS. MAX. \_\_\_\_\_

ISOSISTAS \_\_\_\_\_

Relación con la estructura:

CORRELACION B

INSTRUMENTAL

Nº SISMOS 1 MAGNITUDES MAX. 2.9

PROFUNDIDADES MEDIAS <20 REPLICAS \_\_\_\_\_

RUMBO DE LAS MISMAS \_\_\_\_\_

ERROR EPICENTRO >10 ERROR PROF. <5

P

M

CORRELACION CON LA FALLA B

P

M


B (Buena)

P (Probable)

M (Mala)

CLASE DE ACTIVIDAD

- APECTA AL CUATERNARIO
- APECTA A LA MORFOLOGIA
- ASOCIADA A SISMICIDAD
- GEOTERMISMO

	SI	NO	?	CLASIFICACION SEGUN TABLA I
APECTA AL CUATERNARIO		X		<div style="border: 1px solid black; padding: 5px; width: fit-content; margin: 0 auto;">  </div>
APECTA A LA MORFOLOGIA	X			
ASOCIADA A SISMICIDAD	X			
GEOTERMISMO		X		

**FICHA DE FALLA**

Nº 146 DENOMINACION \_\_\_\_\_ SITUACION \_\_\_\_\_  
 SISTEMA SUBBETICO ZONA SUBBETICO  
 FALLA Cohesin DOMINIO EXTERNO  
 SECTOR \_\_\_\_\_ CUENCA \_\_\_\_\_  
 Fecha: \_\_\_\_\_ Autor: P. Silva

**Para las fallas bien visibles en superficie:**

GEOMETRIA

LONGITUD 8 km  
 RUMBO N40°E  
 BUZAMIENTO \_\_\_\_\_

ANALISIS TECTO/NEO/EVOLUTIVO

Sobre la misma estructura       En estructuras menores asociadas

EDAD DE LOS MATERIALES AFECTADOS	TIPIFICACION				REGIMEN TECTONICO		ESFUERZOS	SALTOS	
	NORMAL	DESGARRE		INVERSA	COMPRESION	DISTENSION	DIRECCION DE $\sigma_1$ O $\sigma_3$ EN LA HORIZONTAL	EN	EN
	MIXTA	L	D	MIXTA				HORIZ.	VERT.
PRE-TORT.									
TORT-INF.									
TORT-SUP.									
MESSIN.									
PLIOCENO									
PLIO-CUAT.									
CUATERNARIO									

ASPECTO Y NATURALEZA DE LOS MAT. AFECTADOS

EL RELLENO

-Relación con las estructuras mayores o con otras fallas importantes:

Analisis realizado por:

Para todas las fallas

TECTO-SEDIMENTACION

FALLA DETECTADA POR ESTE METODO	SI	
	NO	

RUMBO PROB.		BUZ. PROB.	
LONG. PROB.		TIPO PROB.	

Breve descripción de la influencia en las características de la sedimentación y edad de los materiales

GEOMORFOLOGIA

FALLA DETECTADA POR ESTE METODO	Si
SE OBSERVA COMO LINEAMIENTO?	Si

RUMBO PROB.	N40°E	BUZ. PROB.	?
LONG. PROB.	8 km	TIPO PROB.	normal

ANOMALIAS GEOMORFOLOGICAS LIGADAS Y/O PROB. LIGADAS

EN EL RELIEVE O LADERAS

- Escarpe de fallas
- Caras afacetadas
- Basculamientos
- Encajamientos
- Solapes

EN LA RED HIDROG.

- Valles colgados
- Capturas
- Encajamientos
- Inflexiones
- Difluencias
- Cambios bruscos en el perfil

OTROS

*Rectificación de la red.*

GEOFISICA

FALLA DETECTADA POR ESTE METODO	
---------------------------------	--

RUMBO PROB.		BUZ. PROB.	
LONG. PROB.		TIPO PROB.	

- Por el metodo Electrico
- Sismico
- Gravimetrico

Profundidad de la estructura	
Edad mat. a los que afecta	

**GEOTERMISMO/VOLCANISMO ASOCIADO**

Volcanismo	Quimismo o clase _____ Geotermismo Edad absoluta _____	Manantiales <input type="checkbox"/> Sondeo <input type="checkbox"/>	Temperatura <input type="text"/> Profundidad <input type="text"/>
------------	---	---	--

**SISMICIDAD ASOCIADA**

HISTORICA

Nº SISMOS 3 CORRELACION B   
 INTENS. MAX. VIII P   
 ISOSISTAS \_\_\_\_\_ M   
 Relación con la estructura:

INSTRUMENTAL

Nº SISMOS \_\_\_\_\_ MAGNITUDES MAX. \_\_\_\_\_  
 PROFUNDIDADES MEDIAS \_\_\_\_\_ REPLICAS \_\_\_\_\_  
 RUMBO DE LAS MISMAS \_\_\_\_\_  
 ERROR EPICENTRO \_\_\_\_\_ ERROR PROF. \_\_\_\_\_

CORRELACION CON LA FALLA

B		B (Buena)
P		P (Probable)
M		M (Mala)

CLASE DE ACTIVIDAD

- APECTA AL CUATERNARIO
- APECTA A LA MORFOLOGIA
- ASOCIADA A SISMICIDAD
- GEOTERMISMO

	SI	NO	?	CLASIFICACION SEGUN TABLA I
APECTA AL CUATERNARIO		X		<div style="border: 1px solid black; padding: 5px; display: inline-block;">                     (D-1)                 </div>
APECTA A LA MORFOLOGIA	X			
ASOCIADA A SISMICIDAD	X			
GEOTERMISMO		X		

**FICHA DE FALLA**

No/47 DENOMINACION

SITUACION

SISTEMA PREBBTICO

ZONA PREBBTICO

FALLA Sierra Larga

DOMINIO INTERNO

SECTOR \_\_\_\_\_

CUENCA Cieza

Fecha: \_\_\_\_\_

Autor: P. Silva y L.M. Barreco

Para las fallas bien visibles en superficie:

**GEOMETRIA**

LONGITUD 5 km  
 RUMBO N50°E  
 BUZAMIENTO > 40°SE

**ANALISIS TECTO/NEO/EVOLUTIVO**

Sobre la misma estructura

En estructuras menores asociadas

EDAD DE LOS MATERIALES AFECTADOS	TIPIFICACION				REGIMEN TECTONICO		ESFUERZOS	SALTOS	
	NORMAL	DESGARRE		INVERSA	COMPRESION	DISTENSION	DIRECCION DE $\sigma_1, \sigma_2, \sigma_3$ EN LA HORIZONTAL	EN	EN
	MIXTA	L	D	MIXTA				HORIZ.	VERT.
PRE-TORT.									
TORT-INF.									
TORT-SUP.									
MESSIN.									
PLIOCENO									
PLIO-CUAT.									
CUATERNARIO									

ASPECTO Y NATURALEZA DE LOS MAT. AFECTADOS

EL RELLENO

-Relación con las estructuras mayores o con otras fallas importantes:

Analisis realizado por:

Para todas las fallas

TECTO-SEDIMENTACION

FALLA DETECTADA POR ESTE METODO	SI	RUMBO PROB.	BUZ. PROB.
	NO	LONG. PROB.	TIPO PROB.

Breve descripción de la influencia en las características de la sedimentación y edad de los materiales

GEOMORFOLOGIA

FALLA DETECTADA POR ESTE METODO	Si	RUMBO PROB.	N50°E	BUZ. PROB.	>40°SE
SE OBSERVA COMO LINEAMIENTO?		LONG. PROB.	5 km	TIPO PROB.	normal

ANOMALIAS GEOMORFOLOGICAS LIGADAS Y/O PROB. LIGADAS

EN EL RELIEVE O LADERAS

EN LA RED HIDROG.

OTROS

Escarpe de fallas	<input type="checkbox"/>	Valles colgados	<input type="checkbox"/>
Caras afacetadas	<input checked="" type="checkbox"/>	Capturas	<input type="checkbox"/>
Basculamientos	<input type="checkbox"/>	Encajamientos	<input type="checkbox"/>
Encajamientos	<input type="checkbox"/>	Inflexiones	<input type="checkbox"/>
Solapes	<input checked="" type="checkbox"/>	Difluencias	<input type="checkbox"/>
		Cambios bruscos en el perfil	<input type="checkbox"/>

GEOFISICA

FALLA DETECTADA POR ESTE METODO	Si	RUMBO PROB.	NE	BUZ. PROB.	50-80°S
		LONG. PROB.	10 Km	TIPO PROB.	10- Cabalg. 2° normal.

Por el metodo	Electrico	<input checked="" type="checkbox"/>	Profundidad de la estructura	> 400 m
	Sismico	<input checked="" type="checkbox"/>	Edad mat. a los que afecta	Mioc. Sup.
	Gravimetrico	<input type="checkbox"/>		

El cabalgamiento de S. Ascoy sobre S. Larga puede alcanzar 5 km de profundidad.

**GEOTERMISMO/VOLCANISMO ASOCIADO**

Volcanismo	Quimismo o clase _____	Geotermismo	Manantiales	<input type="checkbox"/>	Temperatura	<input type="text"/>
	Edad absoluta _____		Sondeo	<input type="checkbox"/>	Profundidad	<input type="text"/>

**SISMICIDAD ASOCIADA**

HISTORICA

Nº SISMOS \_\_\_\_\_

INTENS. MAX. \_\_\_\_\_

ISOSISTAS \_\_\_\_\_

Relación con la estructura:

CORRELACION B

INSTRUMENTAL

Nº SISMOS 1 MAGNITUDES MAX. 4.2

PROFUNDIDADES MEDIAS < 20 km REPLICAS \_\_\_\_\_

RUMBO DE LAS MISMAS \_\_\_\_\_

ERROR EPICENTRO 6-10 km ERROR PROF. > 5 km

P

M

CORRELACION CON LA FALLA B

P

M

B (Buena)

P (Probable)

M (Mala)

CLASE DE ACTIVIDAD

APECTA AL CUATERNARIO

APECTA A LA MORFOLOGIA

ASOCIADA A SISMICIDAD

GEOTERMISMO

	SI	NO	?	CLASIFICACION		
				SEGUN	TABLA	I
APECTA AL CUATERNARIO			X			
APECTA A LA MORFOLOGIA	X					
ASOCIADA A SISMICIDAD			X			
GEOTERMISMO		X				





**FICHA DE FALLA**

Nº 148 DENOMINACION SITUACION  
 SISTEMA PREBBTICO ZONA PREBBTICA  
 FALLA Sor del Molar DOMINIO EXTERNO  
 SECTOR frontera CUENCA \_\_\_\_\_  
 Fecha: \_\_\_\_\_ Autor: P. Silva

Para las fallas bien visibles en superficie:

**GEOMETRIA**

LONGITUD 4 Km  
 RUMBO N60°E  
 BUZAMIENTO \_\_\_\_\_

**ANALISIS TECTO/NEO/EVOLUTIVO**

Sobre la misma estructura       En estructuras menores asociadas

EDAD DE LOS MATERIALES AFECTADOS	TIPIFICACION				REGIMEN TECTONICO		ESFUERZOS	SALTOS	
	NORMAL	DESGARRE		INVERSA	COMPRESION	DISTENSION	DIRECCION DE $\sigma_1, \sigma_2, \sigma_3$ EN LA HORIZONTAL	EN	EN
	MIXTA	L	D	MIXTA				HORIZ.	VERT.
PRE-TORT.									
TORT-INF.									
TORT-SUP.									
MESSIN.									
PLIOCENO									
PLIO-CUAT.									
CUATERNARIO									

ASPECTO Y NATURALEZA DE LOS MAT. AFECTADOS

EL RELLENO

-Relación con las estructuras mayores o con otras fallas importantes:

Analisis realizado por:

Para todas las fallas

TECTO-SEDIMENTACION

FALLA DETECTADA POR ESTE METODO	SI	<input type="checkbox"/>
	NO	<input type="checkbox"/>

RUMBO PROB.		BUZ. PROB.	
LONG. PROB.		TIPO PROB.	

Breve descripción de la influencia en las características de la sedimentación y edad de los materiales

GEOMORFOLOGIA

FALLA DETECTADA POR ESTE METODO	SI	<input type="checkbox"/>
SE OBSERVA COMO LINEAMIENTO?		<input type="checkbox"/>

RUMBO PROB.	N 60° E	BUZ. PROB.	> 40° SE
LONG. PROB.	4 km.	TIPO PROB.	normal

ANOMALIAS GEOMORFOLOGICAS LIGADAS Y/O PROB. LIGADAS

EN EL RELIEVE O LADERAS

Escarpe de fallas	<input type="checkbox"/>
Caras afacetadas	<input type="checkbox"/>
Basculamientos	<input type="checkbox"/>
Encajamientos	<input type="checkbox"/>
Solapes	<input type="checkbox"/>

EN LA RED HIDROG.

Valles colgados	<input type="checkbox"/>
Capturas	<input type="checkbox"/>
Encajamientos	<input type="checkbox"/>
Inflexiones	<input checked="" type="checkbox"/>
Difluencias	<input type="checkbox"/>
Cambios bruscos en el perfil	<input type="checkbox"/>

OTROS

*Rectificación límite de Formaciones superficiales del Pleistoceno medio*

GEOFISICA

FALLA DETECTADA POR ESTE METODO	SI	<input type="checkbox"/>
---------------------------------	----	--------------------------

RUMBO PROB.	NE	BUZ. PROB.	
LONG. PROB.	20 km.	TIPO PROB.	

Por el metodo	Electrico	<input type="checkbox"/>
	Sismico	<input checked="" type="checkbox"/>
	Gravimetrico	<input type="checkbox"/>

Profundidad de la estructura	5 km.
Edad mat. a los que afecta	Mioceno.

**GOTERMISMO/VOLCANISMO ASOCIADO**

Volcanismo	Quimismo o clase _____	Geotermismo	Manantiales	<input type="checkbox"/>	Temperatura	<input type="checkbox"/>
	Edad absoluta _____		Sondeo	<input type="checkbox"/>	Profundidad	<input type="checkbox"/>

**SISMICIDAD ASOCIADA**

HISTORICA

Nº SISMOS 1 CORRELACION B

INTENS. MAX. V1 P

ISOSISTAS \_\_\_\_\_ M

Relación con la estructura:

INSTRUMENTAL

Nº SISMOS \_\_\_\_\_ MAGNITUDES MAX. \_\_\_\_\_

PROFUNDIDADES MEDIAS \_\_\_\_\_ REPLICAS \_\_\_\_\_

RUMBO DE LAS MISMAS \_\_\_\_\_

ERROR EPICENTRO \_\_\_\_\_ ERROR PROF. \_\_\_\_\_

CORRELACION CON LA FALLA B

<input type="checkbox"/>	B (Buena)
<input checked="" type="checkbox"/>	P (Probable)
<input type="checkbox"/>	M (Mala)

CLASE DE ACTIVIDAD

APECTA AL CUATERNARIO

APECTA A LA MORFOLOGIA

ASOCIADA A SISMICIDAD

GOTERMISMO

	SI	NO	?	CLASIFICACION SEGUN TABLA I
APECTA AL CUATERNARIO			X	<input checked="" type="checkbox"/> (D-1)
APECTA A LA MORFOLOGIA	X			
ASOCIADA A SISMICIDAD			X	
GOTERMISMO		X		

**FICHA DE FALLA**

Nº 149 DENOMINACION \_\_\_\_\_ SITUACION \_\_\_\_\_  
 SISTEMA PREBBETICO ZONA PREBBETICO  
 FALLA W. del Cordue DOMINIO INTERNO  
 SECTOR \_\_\_\_\_ CUENCA \_\_\_\_\_  
 Fecha: \_\_\_\_\_ Autor: P. Silva

Para las fallas bien visibles en superficie:

GEOMETRIA

LONGITUD 3 km.  
 RUMBO N10°E  
 BUZAMIENTO \_\_\_\_\_

ANALISIS TECTO/NEO/EVOLUTIVO

Sobre la misma estructura       En estructuras menores asociadas

EDAD DE LOS MATERIALES AFECTADOS	TIPIFICACION				REGIMEN TECTONICO		ESFUERZOS DIRECCION DE $\sigma_1, 0, \sigma_3$ EN LA HORIZONTAL	SALTOS	
	NORMAL MIXTA	DESGARRE L D		INVERSA MIXTA	COMPRESION	DISTENSION		EN HORIZ.	EN VERT
PRE-TORT.									
TORT-INF.									
TORT-SUP.									
MESIN.									
PLIOCENO									
PLIO-CUAT.									
CUATERNARIO									

ASPECTO Y NATURALEZA DE LOS MAT. AFECTADOS

EL RELLENO

-Relación con las estructuras mayores o con otras fallas importantes:

Analisis realizado por:

Para todas las fallas

TECTO-SEDIMENTACION

FALLA DETECTADA POR ESTE METODO	SI	
	NO	

RUMBO PROB.		BUZ. PROB.	
LONG. PROB.		TIPO PROB.	

Breve descripción de la influencia en las características de la sedimentación y edad de los materiales

GEOMORFOLOGIA

FALLA DETECTADA POR ESTE METODO	Si
SE OBSERVA COMO LINEAMIENTO?	

RUMBO PROB.	N 10° E	BUZ. PROB.	> 40° W
LONG. PROB.	3 km	TIPO PROB.	normal

ANOMALIAS GEOMORFOLOGICAS LIGADAS Y/O PROB. LIGADAS

EN EL RELIEVE O LADERAS

EN LA RED HIDROG.

OTROS

Escarpe de fallas

Valles colgados

Caras afacetadas

Capturas

Basculamientos

Encajamientos

Encajamientos

Inflexiones

Solapes

Difluencias

Cambios bruscos en el perfil

GEOFISICA

FALLA DETECTADA POR ESTE METODO	
---------------------------------	--

RUMBO PROB.		BUZ. PROB.	
LONG. PROB.		TIPO PROB.	

Por el metodo Electrico

Profundidad de la estructura

Sismico

Edad mat. a los que afecta

Gravimetrico

**GEOTERMISMO/VOLCANISMO ASOCIADO**

Volcanismo	Quimismo o clase _____	Geotermismo	Manantiales	Temperatura	
	Edad absoluta _____		Sondeo	Profundidad	

**SISMICIDAD ASOCIADA**

HISTORICA

Nº SISMOS \_\_\_\_\_  
 INTENS. MAX. \_\_\_\_\_  
 ISOSISTAS \_\_\_\_\_  
 Relación con la estructura:

CORRELACION B

B
P
M

INSTRUMENTAL

Nº SISMOS 1 MAGNITUDES MAX. 2.7  
 PROFUNDIDADES MEDIAS <20 REPLICAS \_\_\_\_\_  
 RUMBO DE LAS MISMAS \_\_\_\_\_  
 ERROR EPICENTRO >10 ERROR PROF. <5

CORRELACION CON LA FALLA B

B
P
M

B (Buena)  
 P (Probable)  
 M (Mala)

CLASE DE ACTIVIDAD

- APECTA AL CUATERNARIO
- APECTA A LA MORFOLOGIA
- ASOCIADA A SISMICIDAD
- GEOTERMISMO

	SI	NO	?
APECTA AL CUATERNARIO	X		
APECTA A LA MORFOLOGIA	X		
ASOCIADA A SISMICIDAD	X		
GEOTERMISMO		X	

CLASIFICACION  
 SEGUN TABLA I



**FICHA DE FALLA**

NO 150 DENOMINACION SISTEMA PREBETICO SITUACION ZONA PREBETICO  
 FALLA Sur del Cariche DOMINIO INTERNO  
 SECTOR \_\_\_\_\_ CUENCA \_\_\_\_\_  
 Fecha: \_\_\_\_\_ Autor: P. Silva

Para las fallas bien visibles en superficie:

**GEOMETRIA**

LONGITUD 4 km  
 RUMBO N 70° E  
 BUZAMIENTO > 40° SE

**ANALISIS TECTO/NEO/EVOLUTIVO**

Sobre la misma estructura       En estructuras menores asociadas

EDAD DE LOS MATERIALES AFECTADOS	TIPIFICACION				REGIMEN TECTONICO		ESFUERZOS	SALTOS	
	NORMAL	DESGARRE		INVERSA	COMPRESION	DISTENSION	DIRECCION DE $\sigma_1, \sigma_2, \sigma_3$ EN LA HORIZONTAL	EN	EN
	MIXTA	L	D	MIXTA				HORIZ.	VERT.
PRE-TORT.									
TORT-INF.									
TORT-SUP.									
NESSIN.									
PLIOCENO									
PLIO-CUAT.									
CUATERNARIO									

**ASPECTO Y NATURALEZA DE LOS MAT. AFECTADOS**

**EL RELLENO**

-Relación con las estructuras mayores o con otras fallas importantes:

Analisis realizado por:

Para todas las fallas

TECTO-SEDIMENTACION

FALLA DETECTADA POR ESTE METODO	SI	
	NO	

RUMBO PROB.		BUZ. PROB.	
LONG. PROB.		TIPO PROB.	

Breve descripción de la influencia en las características de la sedimentación y edad de los materiales

GEOMORFOLOGIA

FALLA DETECTADA POR ESTE METODO	SI
SE OBSERVA COMO LINEAMIENTO?	

RUMBO PROB.	N70°E	BUZ. PROB.	> 40°SE
LONG. PROB.	4 km.	TIPO PROB.	normal

ANOMALIAS GEOMORFOLOGICAS LIGADAS Y/O PROB. LIGADAS

EN EL RELIEVE O LADERAS

EN LA RED HIDROG.

OTROS

- Escarpe de fallas
- Caras afacetadas
- Basculamientos
- Encajamientos
- Solapes

- Valles colgados
- Capturas
- Encajamientos
- Inflexiones
- Difluencias
- Cambios bruscos en el perfil

GEOFISICA

FALLA DETECTADA POR ESTE METODO	
---------------------------------	--

RUMBO PROB.		BUZ. PROB.	
LONG. PROB.		TIPO PROB.	

- Por el metodo
- Electrico
  - Sismico
  - Gravimetrico

Profundidad de la estructura	
Edad mat. a los que afecta	



GEOTERMISMO/VOLCANISMO ASOCIADO

Volcanismo	Quimismo o clase _____	Geotermismo	Manantiales	Temperatura	
	Edad absoluta _____		Sondeo	Profundidad	

SISMICIDAD ASOCIADA

HISTORICA

Nº SISMOS \_\_\_\_\_

INTENS. MAX. \_\_\_\_\_

ISOSISTAS \_\_\_\_\_

Relación con la estructura:

INSTRUMENTAL

Nº SISMOS \_\_\_\_\_ MAGNITUDES MAX. \_\_\_\_\_

PROFUNDIDADES MEDIAS \_\_\_\_\_ REPLICAS \_\_\_\_\_

RUMBO DE LAS MISMAS \_\_\_\_\_

ERROR EPICENTRO \_\_\_\_\_ ERROR PROF. \_\_\_\_\_

CORRELACION B

P

M

CORRELACION CON LA FALLA B

B

P

M

B (Buena)

P (Probable)

M (Mala)

CLASE DE ACTIVIDAD

- APECTA AL CUATERNARIO
- APECTA A LA MORFOLOGIA
- ASOCIADA A SISMICIDAD
- GEOTERMISMO

	SI	NO	?
APECTA AL CUATERNARIO		X	
APECTA A LA MORFOLOGIA	X		
ASOCIADA A SISMICIDAD		X	
GEOTERMISMO		X	

CLASIFICACION SEGUN TABLA I



**FICHA DE FALLA**

Nº/51 DENOMINACION SITUACION  
 SISTEMA PREBETICO ZONA PREBETICO  
 FALLA W. Pinoso DOMINIO INTERNO  
 SECTOR \_\_\_\_\_ CUENCA \_\_\_\_\_  
 Fecha: \_\_\_\_\_ Autor: P. Silva

Para las fallas bien visibles en superficie:

**GEOMETRIA**

LONGITUD 2 km  
 RUMBO N65°E  
 BUZAMIENTO > 40°SE

**ANALISIS TECTO/NEO/EVOLUTIVO**

Sobre la misma estructura       En estructuras menores asociadas

EDAD DE LOS MATERIALES AFECTADOS	TIPIFICACION				REGIMEN TECTONICO		ESFUERZOS	SALTOS	
	NORMAL	DESGARRE		INVERSA	COMPRESION	DISTENSION	DIRECCION DE $\sigma_1$ O $\sigma_3$ EN LA HORIZONTAL	EN	EN
		MIXTA	L					D	MIXTA
PRE-TORT.									
TORT-INF.									
TORT-SUP.									
MESSIN.									
PLIOCENO									
PLIO-CUAT.									
CUATERNARIO									

**ASPECTO Y NATURALEZA DE LOS MAT. AFECTADOS**

**EL RELLENO**

-Relación con las estructuras mayores o con otras fallas importantes:

Analisis realizado por:

Para todas las fallas

TECTO-SEDIMENTACION

FALLA DETECTADA POR ESTE METODO	SI	<input type="checkbox"/>
	NO	<input type="checkbox"/>

RUNBO PROB.	<input type="checkbox"/>	BUZ. PROB.	<input type="checkbox"/>
LONG. PROB.	<input type="checkbox"/>	TIPO PROB.	<input type="checkbox"/>

Breve descripción de la influencia en las características de la sedimentación y edad de los materiales

GEOMORFOLOGIA

FALLA DETECTADA POR ESTE METODO	Si	<input type="checkbox"/>
SE OBSERVA COMO LINEAMIENTO?	<input type="checkbox"/>	<input type="checkbox"/>

RUNBO PROB.	N65°E	BUZ. PROB.	> 40 SE
LONG. PROB.	2 Km	TIPO PROB.	normal

ANOMALIAS GEOMORFOLOGICAS LIGADAS Y/O PROB. LIGADAS

EN EL RELIEVE O LADERAS

EN LA RED HIDROG.

OTROS

Escarpe de fallas	<input checked="" type="checkbox"/>
Caras afacetadas	<input type="checkbox"/>
Basculamientos	<input type="checkbox"/>
Encajamientos	<input type="checkbox"/>
Solapes	<input type="checkbox"/>

Valles colgados	<input type="checkbox"/>
Capturas	<input type="checkbox"/>
Encajamientos	<input type="checkbox"/>
Inflexiones	<input type="checkbox"/>
Difluencias	<input type="checkbox"/>
Cambios bruscos en el perfil	<input type="checkbox"/>

*Alineamiento form. superficiales*

GEOFISICA

FALLA DETECTADA POR ESTE METODO	<input type="checkbox"/>
---------------------------------	--------------------------

RUNBO PROB.	<input type="checkbox"/>	BUZ. PROB.	<input type="checkbox"/>
LONG. PROB.	<input type="checkbox"/>	TIPO PROB.	<input type="checkbox"/>

Por el metodo	Electrico	<input type="checkbox"/>
	Sismico	<input type="checkbox"/>
	Gravimetrico	<input type="checkbox"/>

Profundidad de la estructura	<input type="checkbox"/>
Edad mat. a los que afecta	<input type="checkbox"/>

**GEOTERMISMO/VOLCANISMO ASOCIADO**

Volcanismo	Quimismo o clase _____ Edad absoluta _____	Geotermismo	Manantiales <input type="checkbox"/> Sondeo <input type="checkbox"/>	Temperatura	
				Profundidad	

**SISMICIDAD ASOCIADA**

HISTORICA

Nº SISMOS \_\_\_\_\_  
 INTENS. MAX. \_\_\_\_\_  
 ISOSISTAS \_\_\_\_\_  
 Relación con la estructura:

INSTRUMENTAL

CORRELACION B	B	Nº SISMOS <u>1</u>	MAGNITUDES MAX. <u>3.7</u>
P	P	PROPUNDDIDADES MEDIAS <u>&lt;20</u>	REPLICAS _____
M	M	RUMBO DE LAS MISMAS _____	ERROR EPICENTRO <u>&gt;10</u>
			ERROR PROF. <u>&lt;5</u>

CORRELACION CON LA FALLA B  B (Buena)  
 P  P (Probable)  
 M  M (Mala)

CLASE DE ACTIVIDAD

- APECTA AL CUATERNARIO
- APECTA A LA MORFOLOGIA
- ASOCIADA A SISMICIDAD
- GEOTERMISMO

	SI	NO	?	CLASIFICACION SEGUN TABLA I
APECTA AL CUATERNARIO			X	<div style="border: 1px solid black; padding: 2px; display: inline-block;">                             A-B                              ←                         </div>
APECTA A LA MORFOLOGIA	X			
ASOCIADA A SISMICIDAD	X			
GEOTERMISMO		X		